

การควบคุมมอเตอร์กระแสตรงไร้แปรงถ่านในย่านกำลังไฟฟ้าคงที่ด้วยหลักการชดเชยมุม
เฟสก้าวหน้าด้วยการประยุกต์ใช้บอร์ดประมวลผลสัญญาณดิจิทัล dsPIC30F2010

THE CONSTANT POWER MODE CONTROL OF BRUSTLESS DC MOTOR BY
PHASE ADVANCED ANGLE COMMUTATION TECHNIQUE USING
dsPIC30F2010 BOARD

ตำเริ่ง เต็มราม

วิทยานิพนธ์นี้เป็นส่วนหนึ่งของการศึกษาตามหลักสูตร
ปริญญาวิศวกรรมศาสตรมหาบัณฑิต สาขาวิชาวิศวกรรมไฟฟ้า

คณะวิศวกรรมศาสตร์

มหาวิทยาลัยเทคโนโลยีราชมงคลธัญบุรี


ปีการศึกษา 2556

ลิขสิทธิ์ของมหาวิทยาลัยเทคโนโลยีราชมงคลธัญบุรี

ลิขสิทธิ์ของมหาวิทยาลัยเทคโนโลยีราชมงคลธัญบุรี



การควบคุมมอเตอร์กระแสตรงไร้แปรงถ่านในย่านกำลังไฟฟ้าคงที่ด้วยหลักการชดเชยมุม
เฟสก้าวหน้าด้วยการประยุกต์ใช้บอร์ดประมวลผลสัญญาณดิจิทัล dsPIC30F2010



สำเร็จ เต็มราม

วิทยานิพนธ์นี้เป็นส่วนหนึ่งของการศึกษาตามหลักสูตร
ปริญญาวิศวกรรมศาสตรมหาบัณฑิต สาขาวิชาวิศวกรรมไฟฟ้า

คณะวิศวกรรมศาสตร์

มหาวิทยาลัยเทคโนโลยีราชมงคลธัญบุรี

ปีการศึกษา 2556

ลิขสิทธิ์ของมหาวิทยาลัยเทคโนโลยีราชมงคลธัญบุรี

หัวข้อวิทยานิพนธ์	การควบคุมมอเตอร์กระแสตรงไร้แปรงถ่านในย่านกำลังไฟฟ้าคงที่ด้วยหลักการชดเชยมุมเฟสก้าวน้ำด้วยการประยุกต์ใช้บอร์ดประมวลผลสัญญาณดิจิทัล dsPIC30F2010
ชื่อ - นามสกุล	นายสำเริง เต็มราม
สาขาวิชา	วิศวกรรมไฟฟ้า
อาจารย์ที่ปรึกษา	ผู้ช่วยศาสตราจารย์วันชัย ทรัพย์สิงห์, Ph.D.
ปีการศึกษา	2556

บทคัดย่อ

งานวิจัยนี้มีวัตถุประสงค์เพื่อควบคุมการขับเคลื่อนมอเตอร์กระแสตรงไร้แปรงถ่านซึ่งเป็นมอเตอร์ความเร็วสูงที่ใช้กันอย่างแพร่หลายในงานอุตสาหกรรม ในส่วนขยายความเร็วและแรงบิดในย่านการทำงานกำลังไฟฟ้าคงที่ด้วยหลักการชดเชยมุมเฟสก้าวน้ำระหว่างกระแสขาเข้ากับแรงดันต้านกลับของมอเตอร์ โดยศึกษาผลการตอบสนองของด้านความเร็วและแรงบิดมอเตอร์ขณะมีการชดเชยมุมเฟสที่ค่าต่างๆ เพื่อเป็นแนวทางในการออกแบบชุดควบคุมการขับเคลื่อนมอเตอร์กระแสตรงไร้แปรงถ่านให้ได้ประสิทธิภาพสูงสุด

งานวิจัยแบ่งออกเป็นสองส่วนคือ ในส่วนแรกเป็นการสร้างแบบจำลองของมอเตอร์กระแสตรงไร้แปรงถ่านด้วยโปรแกรม MATLAB/Simulink เพื่อศึกษาพฤติกรรมความเร็วและแรงบิดของมอเตอร์ทั้งขณะไม่มีการชดเชยมุมเฟส และขณะมีการชดเชยมุมเฟสก้าวน้ำที่ค่าต่างๆ ส่วนที่สองเป็นการประยุกต์ใช้บอร์ดประมวลผลสัญญาณดิจิทัลรุ่น dsPIC30F2010 ในการควบคุมการขับเคลื่อนมอเตอร์กระแสตรงไร้แปรงถ่านขนาดพิกัดกำลังไฟฟ้า 500 วัตต์ แรงดัน 48 VDC พร้อมทั้งแสดงผลการทดสอบโดยใช้โปรแกรม Graphic User Interface เพื่อนำผลที่ได้จากชุดทดสอบเชิงปฏิบัติเปรียบเทียบกับผลที่ได้กับผลที่ได้จากแบบจำลอง

ผลที่ได้จากชุดทดสอบการควบคุมการขับเคลื่อนมอเตอร์ไฟฟ้ากระแสตรงไร้แปรงถ่านเชิงปฏิบัติพบว่า เมื่อโหลดมีพิกัดที่ 0.28 นิวตัน-เมตร และมอเตอร์จะความเร็วที่ 300 รอบ/นาที เมื่อไม่มีการชดเชยมุมเฟส และเมื่อมีการปรับค่ามุมเฟสก้าวน้ำเป็น 5° , 10° และ 15° มอเตอร์จะมีความเร็วที่ 412, 442 และ 451 รอบ/นาที ตามลำดับ ซึ่งจะเห็นได้ว่ามอเตอร์กระแสตรงไร้แปรงถ่านสามารถเพิ่มค่าความเร็วขึ้นได้ด้วยหลักการชดเชยมุมเฟสก้าวน้ำในย่านกำลังไฟฟ้าคงที่

คำสำคัญ : การชดเชยมุมเฟสก้าวน้ำ มอเตอร์ไฟฟ้ากระแสตรงไร้แปรงถ่าน

Thesis Title	The Constant Power Mode Control of Brushless DC Motor by Phase Advanced Angle Commutation Technique using dsPIC30F2010 Board
Name – Surname	Mr. Samraeng Temram
Program	Electrical Engineering
Thesis Advisor	Assistant Professor Wanchai Subsingha, Ph.D.
Academic Year	2013

ABSTRACT

This research is purposed to control a Brushless DC (BLDC) motor, which is a high speed motor and widely uses in various industrial applications. It concentrates in increasing motor speed and torque in constant power operating using a Phase Advanced Angle Compensation (PAAC) technique. This PAAC technique is to control phase angle between input current and back EMF of such motor. This leads into the studying of the motor speed response and its torque in various values of the phase advanced angle in order to design a BLDC drive control for a better performance.

This thesis is separated into two steps. Firstly, a BLDC motor is modeled and simulated using MATLAB/Simulink program in order to investigate a motor speed and its torque both with and without the compensation of such phase angle in PAAC technique. Secondly, a control of BLDC motor of 500 Watt, 48 VDC power rating is built using the PAAC technique. However, the control is implemented by dsPIC30F2010 DSP board and Graphic User Interfacing program in order to display the experimental results.

From the experimental results of the BLDC motor control, it shows that when the motor load is at 0.28 N-m motor is at 300 rpm. when the control has no compensation of such PAAC angle. And at the same motor load, when the phase advanced angle is at 5° , 10° and 15° , motor speed is about 412, 442 and 451 rpm., respectively. It means that the BLDC motor control that using PAAC technique can raise the motor speed in a constant power operating mode.

Keywords: phase advance angle commutation, brushless DC motor

กิตติกรรมประกาศ

วิทยานิพนธ์ฉบับนี้สำเร็จลุล่วงลงไปด้วยความช่วยเหลือเป็นอย่างดีจากผู้ช่วยศาสตราจารย์ ดร.วันชัย ทรัพย์สิงห์ อาจารย์ที่ปรึกษาวิทยานิพนธ์ ดร.สุรินทร์ แห่งมงาม ดร.ณัฐภัทร พันธุ์คง กรรมการสอบ และรองศาสตราจารย์เสถียร ชาญญศิริรัตน์ ผู้ทรงคุณวุฒิ ที่กรุณาให้คำแนะนำและให้คำปรึกษาตลอดจนให้ความช่วยเหลือแก้ไขข้อบกพร่องต่างๆ เพื่อให้วิทยานิพนธ์ฉบับนี้มีความสมบูรณ์ ผู้วิจัยขอขอบคุณเป็นอย่างสูงไว้ ณ โอกาสนี้

ขอขอบคุณคณาจารย์ทุกท่านของมหาวิทยาลัยเทคโนโลยีราชมงคลธัญบุรี คณะวิศวกรรมศาสตร์ สาขาวิชาวิศวกรรมศาสตร์อุตสาหกรรมทุกท่านที่ได้อบรมสั่งสอนและประสิทธิ์ประสาทวิชาต่างๆให้ตลอดระยะเวลาที่ได้ศึกษา

สำเร็จ เต็มราม



สารบัญ

	หน้า
บทคัดย่อภาษาไทย.....	(3)
บทคัดย่อภาษาอังกฤษ.....	(4)
กิตติกรรมประกาศ.....	(5)
สารบัญ.....	(6)
สารบัญตาราง.....	(8)
สารบัญรูป.....	(10)
บทที่	
1 บทนำ.....	15
1.1 ความเป็นมาและความสำคัญของปัญหา.....	15
1.2 ความสำคัญของปัญหา.....	15
1.3 วัตถุประสงค์ของงานวิจัย.....	19
1.4 ขอบเขตงานวิจัย.....	19
1.5 ประโยชน์ที่คาดว่าจะได้รับ.....	19
2 เอกสารงานวิจัยและทฤษฎีที่เกี่ยวข้อง.....	20
2.1 บทนำ.....	20
2.2 พื้นฐานเกี่ยวกับมอเตอร์ไฟฟ้ากระแสตรงไร้แปรงถ่าน.....	21
2.3 แรงดันต้านกลับ (Back EMF) ในมอเตอร์ไฟฟ้ากระแสตรงไร้แปรงถ่าน.....	23
2.4 กระบวนการคอมมิวเตชัน.....	24
2.5 แบบจำลองทางคณิตศาสตร์ของมอเตอร์ไฟฟ้ากระแสตรงไร้แปรงถ่าน.....	26
2.6 การขับเคลื่อนมอเตอร์ไฟฟ้ากระแสตรงไร้แปรงถ่าน.....	29
2.7 การเพิ่มความเร็วและแรงบิดในย่านกำลังคงที่ใน Brushless DC Motor.....	32
2.8 การออกแบบระบบควบคุมมอเตอร์ไฟฟ้ากระแสตรงไร้แปรงถ่านในย่านกำลังคงที่ด้วย หลักการชดเชยมุมเฟสก้าวหน้า.....	33
2.9 เอกสารงานวิจัยที่เกี่ยวข้อง.....	65

สารบัญ (ต่อ)

บทที่	หน้า
3 ขั้นตอนการดำเนินงานวิจัย	71
3.1 บทนำ	71
3.2 การสร้างระบบจำลองทางคณิตศาสตร์เพื่อศึกษาพฤติกรรมของมอเตอร์กระแสตรงไร้ แปรงถ่าน ในย่านกำลังคงที่ด้วยหลักการชดเชยมุมเฟสก้าวหน้า.....	73
3.3 ชุดทดสอบระบบชดเชยมุมเฟสก้าวหน้ามอเตอร์ไฟฟ้ากระแสตรงไร้แปรงถ่านพิกัด 500 W 48 volt	79
4 ผลการทดลอง	105
4.1 การวัดสัญญาณมุมต่างเฟสของ Hall sensor จาก BLDC Motor ($H_A H_B H_C$)	106
4.2 การวัดสัญญาณมุมต่างเฟสของ Hall sensor จาก BLDC Motor ($H_A H_B H_C$) เทียบกับ สัญญาณที่ผ่านหน่วย ชดเชยมุมเฟสก้าวหน้า ($H'_A H'_B H'_C$) ที่มุมเฟสก้าว หน้าต่าง ๆ	108
4.3 วิเคราะห์สัญญาณแรงดันตกคร่อมขดลวดมอเตอร์ที่ความเร็วต่างๆ	112
4.4 การเปรียบเทียบผลที่ได้จากการทดลองกับผลที่ได้จากการจำลองระบบ	113
5 สรุปผลการวิจัยและข้อเสนอแนะ	117
5.1 สรุปผลการวิจัย.....	117
5.2 ข้อเสนอแนะและแนวทางการพัฒนา	118
รายการอ้างอิง.....	119
ภาคผนวก	121
ภาคผนวก ก Source Code Advance Angle Processing และ Central Processing Unit.....	122
ภาคผนวก ข Source Code BLDC Drive	144
ภาคผนวก ค Source Code Visual Basic GUI And Data Analysis	157
ภาคผนวก ง Source Code Matlab (S –Function)	192
ภาคผนวก จ งานนำเสนอบทความ	267
ประวัติผู้เขียน	296

สารบัญตาราง

ตารางที่	หน้า
2.1 คุณสมบัติของ Brushless DC Motor และ Brushed Motor ที่ 80 % ของพิกัด 150 HP.....	21
2.2 ชนิดและวิธีการปรับใช้ตัวแปร	38
2.3 ตัวดำเนินการทางคณิตศาสตร์	40
2.4 Operator ที่ใช้ดำเนินการต่างๆ ทางลอจิก.....	40
2.5 กลุ่มที่ใช้ดำเนินการเปรียบเทียบข้อมูล (Relational Operator).....	41
2.6 กลุ่มที่ใช้ดำเนินการ การเข้าถึงข้อมูลในหน่วยความจำ	41
2.7 กลุ่มคำสั่ง Branching.....	41
2.8 กลุ่มคำสั่ง Iteration.....	42
2.9 กลุ่มคำสั่ง Condition	42
2.10 Register PWMCON1 Upper Byte(bit8 – bit15).....	50
2.11 Register PWMCON1 Lower Byte(Bit0 – Bit7).....	50
2.12 Register PWMCON2 Upper Byte(bit8 – bit15).....	51
2.13 Register PWMCON2 Lower Byte(bit0 – bit7)	51
2.14 Register DTCON1 Upper Byte(bit8 – bit15).....	52
2.15 Register DTCON1 Lower Byte(bit0 – bit7).....	52
2.16 Register FLTACON Upper Byte(bit8 – bit15)	52
2.17 Register FLTACON Lower Byte(bit0 – bit7).....	53
2.18 Register FLTBCON Upper Byte(bit8 – bit15).....	54
2.19 Register FLTBCON Lower Byte(bit0 – bit7)	54
2.20 Register PTCON Uper Byte(bit8 – bit15).....	55
2.21 Register PTCON Lower Byte(bit0 – bit7)	55
2.22 Register PTMR Uper Byte(bit8 – bit15).....	56
2.23 Register PTMR Lwer Byte(bit0 – bit7).....	56
2.24 Register PTPER Uper Byte(bit8 – bit15).....	57
2.25 Register PTPER Lower Byte(bit0 – bit7)	57
2.26 Register PTPER Uper Byte(bit8 – bit15)	57
2.27 Register PTPER Lower Byte(bit0 – bit7)	57

สารบัญตาราง (ต่อ)

ตารางที่	หน้า
2.28 Register PDC1 PDC2 PDC3 Uper Byte(bit8 – bit15).....	58
2.29 Register PDC1 PDC2 PDC3 Lower Byte(bit8 – bit15).....	58
2.30 Address ของ Register ที่เกี่ยวข้องกับ Motor Control PWM Module	59
4.1 พารามิเตอร์ของมอเตอร์ที่ใช้ในการทดสอบ	114
4.2 ผลการทดลองจากชุดทดสอบที่สร้างขึ้น	114
4.3 ผลที่ได้จากการจำลอง	115
5.1 เปรียบเทียบผลที่ได้จากชุดควบคุมที่สร้างขึ้นเทียบกับผลที่ได้จากการจำลอง	117



สารบัญรูป

รูปที่	หน้า
1.1	คุณลักษณะระหว่างความเร็วและแรงบิดของการทำงานในย่านแรงบิดคงที่และกำลังคงที่..... 15
1.2	ความสัมพันธ์ระหว่างแรงบิดกับความเร็วที่ Advance Angle commutation แตกต่างกัน 17
2.1	โครงสร้าง BLDC Motor ที่มีการวางตำแหน่งตัวหมุนกับขดลวดสเตเตอร์..... 22
2.2	แสดงความสัมพันธ์ระหว่างองศาทางกลกับองศาทางไฟฟ้าของมอเตอร์ 4 pole 22
2.3	รูปคลื่นแรงดันรูปคลื่นสี่เหลี่ยมคางหมู..... 23
2.4	รูปคลื่นแรงดันรูปคลื่นซายน์ 24
2.5	โครงสร้างของ Brushed DC Motor และ Brushless DC Motor 25
2.6	สัญญาณจาก Hall Sensor และรูปคลื่น Back EMF ใน BLDC Motor ชนิด 3 Phase..... 26
2.7	ตำแหน่งติดตั้งของ Hall Sensor และทิศทางการไหลในขดลวดสเตเตอร์ใน 1 ไชเกิล 26
2.8	วงจรสมมูลทางไฟฟ้าและแบบจำลองทางกลของ BLDC Motor 27
2.9	แสดงระบบจำลองทางคณิตศาสตร์ของ Brushless DC Motor..... 28
2.10	องค์ประกอบระบบขับเคลื่อนของ Brushless DC Motor แบบลูปเปิด..... 29
2.11	รูปคลื่นของแรงดัน Back EMF กระแสไหลในขดลวดสเตเตอร์ และแรงบิดที่เกิดขึ้นในแต่ละเฟส ของ Brushless DC Motor..... 30
2.12	วงจรอินเวอร์เตอร์และสัญญาณควบคุม 31
2.13	ค่าเวลาในการเปิด/ปิดสวิตซ์ตามหลักการ PWM 32
2.14	ชุดชดเชยมุมเฟสก้าวหน้า (Advanced Phase Angle) 33
2.15	ความสัมพันธ์ระหว่างความเร็วและแรงบิดมอเตอร์ที่มุมเฟสก้าวหน้า 0 ,15 ,30 และ 40 องศา 33
2.16	ระบบควบคุมมอเตอร์ไฟฟ้ากระแสตรงไร้แปรงถ่านในย่านกำลังคงที่ด้วยหลักการชดเชยมุมเฟสก้าวหน้า 34
2.17	User Interface Of PIC C V4.08 36
2.18	Structure pic c compiler 37
2.19	project wizard Step 1 43

สารบัญรูป (ต่อ)

รูปที่	หน้า
2.20 Step 2 register config	44
2.21 step 1 เส้นทางสู่ การเลือก source file.....	46
2.22 เลือก Device	46
2.23 การ manual create project เสร็จสมบูรณ์	47
2.24 ก) ลักษณะทางกายภาพของ DSPIC30F2010 ข) องค์ประกอบภายใน DSPIC30F2010	
2.25 Block Diagram of Motor Control PWM	47
2.26 ตารางแสดงความสัมพันธ์ระหว่าง POVDxx และ POUTxx.....	58
2.27 การเปลี่ยนแปลงคาบเวลาของสัญญาณ PWM ที่ขึ้นอยู่กับค่าใน Register PTER ในโหมด Free running	59
2.28 ความสัมพันธ์ของ REGISTER PTPER,PTMR,PDC ในการกำหนด DUTY CYCLE ของ สัญญาณ PWM.....	60
2.29 ความถี่ หรือ คาบเวลาของสัญญาณ PWM ที่ขึ้นอยู่กับค่าใน Register PTER	60
2.30 ความสัมพันธ์ของ Register PTPER,PTMR,PDC ในการกำหนด Duty Cycle.....	61
2.31 PMOD1 = 0 PWM1 ทำงานเป็น Complementary	61
2.32 วงจร Switching ที่จำเป็นต้องมีค่า Dead Time.....	62
2.33 ค่าใน Register DTCON1.....	63
2.34 ค่า Dead Time.....	63
2.35 การใช้งาน FAULT PIN.....	64
2.36 วงจรชดเชยมุมเฟสก้าวหน้าโดยทั่วไป (Conventional phase advance circuit)	66
2.37 วงจรชดเชยมุมเฟสก้าวหน้าที่นำเสนอ (Proposed phase advance circuit)	66
2.38 ผลการทดลองสัญญาณเอาต์พุตของ Hall Sensor ที่ได้จากวงจรชดเชยมุมเฟสก้าวหน้าทั่วไป.....	66
2.39 ผลการทดลองสัญญาณเอาต์พุตของ Hall Sensor ที่ได้จากวงจรชดเชยมุมเฟสก้าวหน้าที่นำเสนอ	67
2.40 มอเตอร์กระแสตรงไร้แปรงถ่านใช้ Programmable rotary encoder บอกตำแหน่งของแกนหมุน	68
2.41 Block diagram programmable rotary encoder.....	68

สารบัญรูป (ต่อ)

รูปที่	หน้า
2.42 ระบบชดเชยมุมเฟสก้าวน้ำโดยใช้ Programmable Rotary Encoder.....	69
2.43 ผลการทดสอบระบบชดเชยมุมเฟสโดยใช้ Programmable Rotary Encoder Encoder ...	70
3.1 ขั้นตอนการดำเนินงานวิจัย	72
3.2 แบบจำลองมอเตอร์ไฟฟ้ากระแสตรงไร้แปรงถ่าน	73
3.3 S – Function แรงดันต้านกลับ และ สัญญาณ Hall Sensor.....	74
3.4 S – Function Inverter.....	75
3.5 S-Function Phase Advance	77
3.6 แบบจำลองมอเตอร์กระแสตรงไร้แปรงถ่านที่มีการชดเชยมุมเฟสก้าวน้ำ.....	78
3.7 กราฟผลที่ได้ จากการจำลองการชดเชยมุมเฟสก้าวน้ำ.....	79
3.8 องค์ประกอบชุดทดสอบมอเตอร์ไฟฟ้ากระแสตรงไร้แปรงถ่านพิกัด 500 W 48 volt.....	80
3.9 ชุดทดสอบมอเตอร์ไฟฟ้ากระแสตรงไร้แปรงถ่านพิกัด 500 W 48 VDC.....	80
3.10 ก) H'_A ล้าหลัง H_A ข) H'_A นำหน้า H_A	81
3.11 องค์ประกอบการทำงานของหน่วยชดเชยมุมเฟสก้าวน้ำ	82
3.12 แผนวงจรหน่วยการชดเชยมุมเฟสก้าวน้ำ	82
3.13 วงจรระบบปฏิบัติการ การชดเชยมุมเฟสก้าวน้ำ (Advance Angle Operating System Circuit)	83
3.14 คู่สัญญาณการสร้าง H'_A H'_B และ H'_C	84
3.15 การใช้สัญญาณ H_A สร้าง H'_C	84
3.16 Block diagram ของหน่วยประเมินผลกลาง.....	85
3.17 รายละเอียดวงจรหน่วยประเมินผลกลาง (Central Processing Unit).....	86
3.18 แผนวงจรหน่วยประเมินผลกลาง (Central Processing Unit)	86
3.19 หลักการวัดความเร็วระบบดิจิทัล	87
3.20 ตำแหน่งติดตั้งแม่เหล็กถาวรและ Hall Sensor เพื่อตรวจจับความเร็วรอบมอเตอร์	88
3.21 วิธีการตรวจจับความเร็วมอเตอร์.....	88
3.22 สัญญาณอินพุตที่ขา INT0 , INT2.....	89
3.23 การนับสัญญาณนาฬิกาของ Counter 1	89
3.24 วงจรโดยสังเขปของหน่วยความคุมแรงบิดโหลด.....	91

สารบัญรูป (ต่อ)

รูปที่	หน้า
3.25 ชุดจำลองแรงบิดโหลด	91
3.26 อัตราส่วนระหว่างค่าของอนาล็อกกับดิจิทัลที่ความละเอียด 10 บิต.....	92
3.27 ไดอะแกรมชุดควบคุมการขับเคลื่อน BLDC Motor	94
3.28 วงจรชุด Controller	95
3.29 แผงวงจรชุด Controller.....	95
3.30 วงจรชุด Gate Drive และ Power Switch.....	96
3.31 แผงวงจรชุด Gate Drive	96
3.32 หน้าต่างโปรแกรม GUI And Data Analysis.....	97
3.33 เมนู RUN MODE	98
3.34 เมนู GRAPH.....	99
3.35 หน้าต่างใช้ปรับสเกล แรงบิด และ ความเร็ว มอเตอร์	99
3.36 การใช้เมนู BACK COLOR	100
3.37 เมนู DRIVE	101
3.38 Frame Load Control	101
3.39 Frame Advance Angle.....	102
3.40 Frame Monitor.....	102
3.41 Command Button	103
3.42 กราฟแสดงแรงบิดและความเร็วมอเตอร์ที่มีการชดเชยมุมเฟสก้าวหน้าแตกต่างกัน	104
3.43 นำค่าแรงบิดและความเร็วมอเตอร์จากกราฟเขียนลงโปรแกรม Excel.....	104
4.1 ชุดทดสอบ BLDC Motor	105
4.2 สัญญาณ H_A กับ H_B	106
4.3 สัญญาณ H_B กับ H_C	107
4.4 สัญญาณ H_C กับ H_A	107
4.5 สัญญาณ H_A กับ H'_A ที่มุมเฟสก้าวหน้าเป็นศูนย์.....	108
4.6 สัญญาณ H_B กับ H'_B ที่มุมเฟสก้าวหน้าเป็นศูนย์.....	109
4.7 สัญญาณ H_C กับ H'_C ที่มุมเฟสก้าวหน้าเป็นศูนย์.....	109
4.8 สัญญาณ H_A กับ H'_A ที่มุมเฟสก้าวหน้า 15 องศา	110

สารบัญรูป (ต่อ)

รูปที่		หน้า
4.9	สัญญาณ H_B กับ H'_B ที่มุมเฟสก้าวหน้า 15 องศา	110
4.10	สัญญาณ H_C กับ H'_C ที่มุมเฟสก้าวหน้า 15 องศา	111
4.11	แรงดันตกคร่อมชุดขดลวด V_{AB} ของมอเตอร์ที่ความเร็วรอบ 109 RPM	112
4.12	แรงดันตกคร่อมชุดขดลวด V_{AB} ของมอเตอร์ที่ความเร็วรอบ 389 RPM	112
4.13	แรงดันตกคร่อมชุดขดลวด V_{AB} ของมอเตอร์ที่ความเร็วรอบ 484 RPM	113
4.14	กราฟแรงบิดโหลกับความเร็วมอเตอร์ที่ได้โปรแกรม GUI And Data Analysis	115
4.15	กราฟแรงบิดโหลกับความเร็วมอเตอร์จากโปรแกรม MatLab/Simulink	116



บทที่ 1

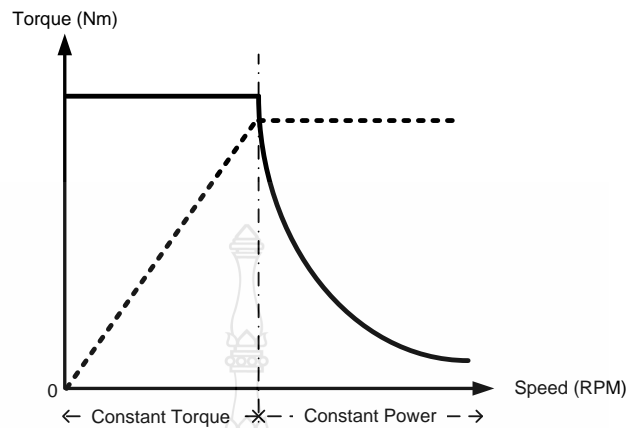
บทนำ

1.1 ความเป็นมาและความสำคัญของปัญหา

ปัจจุบันการพัฒนาเทคโนโลยีชุดควบคุมการขับเคลื่อนเครื่องกลไฟฟ้า ให้ได้ประสิทธิภาพสูงสุดนับได้ว่ามีความจำเป็นอย่างสูงในภาวะที่โลกเผชิญกับวิกฤติพลังงาน ในภาคอุตสาหกรรมการพยายามลดต้นทุนด้านพลังงานในการผลิตสินค้าถือเป็นความจำเป็นอย่างยิ่ง ทั้งนี้เครื่องกลไฟฟ้าเป็นส่วนหนึ่งของเครื่องจักรในการผลิตในกระบวนการผลิต ดังนั้นการเลือกใช้เครื่องกลไฟฟ้าที่มีประสิทธิภาพสูงเป็นปัจจัยที่สำคัญในการลดต้นทุนในการผลิตเช่นกัน มอเตอร์ไฟฟ้ากระแสตรงแบบไร้แปรงถ่าน (Brushless DC Motor) เป็นที่นิยมในปัจจุบัน เนื่องจากมีคุณลักษณะข้อดีหลายประการ เมื่อเทียบกับการใช้มอเตอร์ไฟฟ้าชนิดอื่น เช่น ประสิทธิภาพการใช้งานซึ่งจะให้ค่าอัตราแรงบิด/ขนาดพิกัดมอเตอร์ (Torque/Size) ก่อนข้างสูง และจากการรบกวนสนามแม่เหล็ก (Electromagnetic emissions) ขณะใช้งานก็มีค่าต่ำ การสนองต่อการเปลี่ยนแปลงความเร็วค่อนข้างดี มีอายุการใช้งานยาวนาน และไม่เกิดประกายไฟขณะทำงานจากการ Commutate ทางกล

อย่างไรก็ตาม การขับเคลื่อนในรถไฟปัจจุบันได้ให้ความสนใจต่อการประยุกต์ใช้มอเตอร์ไฟฟ้ากระแสตรงแบบไร้แปรงถ่าน (Brushless DC Motor) หรือ BLDC Motor กันมากขึ้น รวมไปถึงระบบขับเคลื่อนทางไฟฟ้าในรถยนต์ที่ทำงานร่วมกับเครื่องยนต์แบบสันดาปด้วยเช่นกัน การออกแบบวิธีการขับเคลื่อน BLDC Motor ต้องอาศัยเทคนิคการควบคุมกระบวนการไหลของกระแสไฟฟ้าเพื่อควบคุมการหมุน (Electronic Commutation) ของมอเตอร์ ซึ่งเป็นการควบคุมการสร้างสนามแม่เหล็กหมุนในขดลวดสเตเตอร์ (Stator) ให้สัมพันธ์กับตำแหน่งในส่วนหมุน (Rotor) โดยการตรวจจับตำแหน่งในขดลวด Rotor หลักการตรวจจับตำแหน่งของ Rotor ในปัจจุบันมี 2 แบบคือ การใช้ Hall Sensor ในการตรวจจับการเปลี่ยนแปลงของสนามแม่เหล็ก และการตรวจจับจุดกำเนิดของแรงดันไฟฟ้าต้านกลับ (Back EMF) ในขดขดลวด Stator ด้วยหลักการ Zero Crossing detect จุดสำคัญในการออกแบบ Electronic Commutation ใน BLDC Motor นั่นคือจะต้องครอบคลุมการทำงานของมอเตอร์ในทุกย่านการทำงานได้อย่างมีประสิทธิภาพ ทั้งนี้ คุณสมบัติย่านการทำงานของ BLDC Motor จะมี 2 ย่านการทำงาน [1] [2] ซึ่งเหมือนกันกับคุณสมบัติย่านการทำงานของมอเตอร์ไฟฟ้ากระแสตรงแบบใช้แปรงถ่าน (Brush DC Motor) ทั่วไปทุกประการ คือ ประกอบด้วย ย่านการ

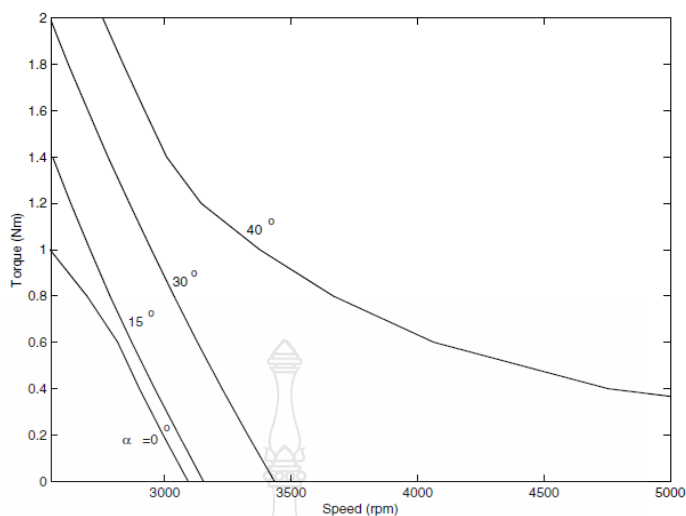
ทำงานแบบแรงบิดคงที่ (Constant Torque) และย่านการทำงานแบบกำลังไฟฟ้าคงที่ (Constant Power) ดังแสดงในรูปที่ 1.1



รูปที่ 1.1 คุณลักษณะของความเร็ว-แรงบิดในทั้งสองย่านการทำงานของ BLDC Motor

ในย่านการทำงานแบบแรงบิดคงที่ ความเร็วของมอเตอร์จะมีค่าไม่เกินกว่าความเร็วพิกัด (Rated Speed) ของมอเตอร์นั้น ซึ่งค่าแรงบิดของมอเตอร์จะแปรผันโดยตรงกับกระแสที่ไหลในชุดขดลวดสเตเตอร์ เนื่องจากสนามแม่เหล็กที่เกิดขึ้นในส่วนตัวหมุนของมอเตอร์จะมีค่าคงที่ อย่างไรก็ตาม เนื่องจากส่วนตัวหมุน (Rotor) ของ BLDC Motor เป็นแม่เหล็กถาวรและมีความหนาแน่นของสนามแม่เหล็กคงที่ตลอดเวลาใช้งาน จะทำให้เป็นปัญหายากในการควบคุมมอเตอร์ขณะทำงานสูงกว่าความเร็วพิกัดในย่านการทำงานแบบกำลังไฟฟ้าคงที่ (Constant Power)

การแก้ปัญหาของการทำงาน BLDC Motor ในย่านทำงานแบบกำลังไฟฟ้าคงที่นั้น สามารถทำได้โดยการควบคุมกระแสสเตเตอร์ในแต่ละเฟสให้เกิดขึ้นก่อนแรงดันต้านกลับ (Back EMF) ในแต่ละเฟสของมอเตอร์นั้น ทั้งนี้ความสัมพันธ์ระหว่างค่าแรงบิดกับความเร็วมอเตอร์ในย่านการทำงานแบบกำลังคงที่จะไม่เป็นเชิงเส้น ดังแสดงในรูปที่ 1.1 ดังนั้นการหาค่ามุมเฟสก้าวหน้า (Advanced Phase Angle) ที่เหมาะสม เพื่อนำไปใช้ในการนำกระแสล่วงหน้าของกระแสสเตเตอร์ในแต่ละเฟสในแต่ละย่านความเร็ว ดังแสดงในรูปที่ 1.2 จึงมีความสำคัญต่อการนำไปประยุกต์ใช้ควบคุมการทำงานของ BLDC Motor ในย่านกำลังคงที่



รูปที่ 1.2 ความสัมพันธ์ระหว่างค่าแรงบิดกับความเร็วที่ค่ามุมเฟสก้าวหน้าต่างๆ [1]

จากการสืบค้นงานวิจัยที่เกี่ยวข้องกับหลักการหาค่ามุมเฟสก้าวหน้า(Advanced Phase Angle) และการประยุกต์ใช้ในย่านการทำงานแบบกำลังคงที่ของ BLDC Motor นั้นที่สำคัญมีอยู่ 2 วิธี

วิธีแรก [3] เป็นการประยุกต์ใช้วงจรที่สร้างขึ้นสำเร็จรูปเพื่อใช้ปรับให้สัญญาณขาออกของ วงจรมีเฟสนำหน้าสัญญาณขาเข้าของวงจร ได้ตามที่กำหนดในวงจรนั้นๆ ซึ่งจากการประยุกต์ใช้จะทำให้กระแสเตเตอร์ของมอเตอร์มีค่ามูมเฟสนำหน้าแรงดันต้านกลับ (Back EMF) ของมอเตอร์ในแต่ละเฟสได้ตามต้องการ ซึ่งจะเห็นว่าการใช้วงจรสำเร็จรูปดังกล่าวมีข้อดีที่สามารถประยุกต์ได้โดยง่าย ไม่ซับซ้อนแต่ผลตอบแทนแรงบิดที่ได้มีความคลาดเคลื่อนจากค่าที่ต้องการ เนื่องจากในย่านการทำงานแบบกำลังคงที่นั้นความสัมพันธ์ระหว่างแรงบิดกับความเร็วไม่เป็นเชิงเส้น

วิธีที่สอง [4] เป็นการใช้ตัวตรวจจับระยะทางซึ่งในงานวิจัยนี้จะมีลักษณะเป็นวงกลม โดยระบบควบคุมจะเป็นแบบที่สามารถตั้งโปรแกรมการทำงานได้ (Programmable Rotary Encoder) เพื่อสร้างสัญญาณอ้างอิงตำแหน่งการหมุนของมอเตอร์ และนำไปใช้เป็นตัวกำหนดมุมเฟสล่วงหน้า (Advanced Phase Angle) ของกระแสเตเตอร์ตามที่ได้กล่าวมาข้างต้น ซึ่งข้อดีของวิธีนี้ก็คือลดขั้นตอนการคำนวณของตัวประเมินผล แต่มีข้อเสียคือไม่สามารถเปลี่ยนแปลงมุมเฟสก้าวหน้าในขณะที่มอเตอร์กำลังทำงานได้ จึงไม่มีความยืดหยุ่นพอในการนำไปใช้งานเชิงปฏิบัติ

จากงานวิจัยที่ได้กล่าวมาแล้ว ผู้วิจัยจึงมีแนวคิดในการแก้ปัญหาโดยการประยุกต์ใช้บอร์ด ไมโครคอนโทรลเลอร์ในการสร้างตัวควบคุมการชดเชยมุมเฟสก้าวหน้า (Advanced Phase Angle) โดยสามารถกำหนดค่ามุมเฟสก้าวหน้าที่เปลี่ยนแปลงไปตามค่าความเร็วจริงขณะที่มอเตอร์ทำงานอยู่

โดยมีจุดประสงค์หลักคือ เพื่อศึกษาการทำงานของมอเตอร์ในย่านกำลังคงที่ในขณะที่มีค่าการชดเชย มุมเฟสก้าวหน้าที่ค่าต่างๆ

1.2 ความสำคัญของปัญหา

เนื่องจากความสัมพันธ์ระหว่างความเร็ว และแรงบิด ของมอเตอร์ไฟฟ้ากระแสตรง แบบไร้แปรงถ่าน (BLDC Motor) ในย่านการทำงานแบบกำลังคงที่ (Constant Power Mode) ไม่เป็นเชิงเส้น ดังแสดงในรูปที่ 1.1 ตลอดจนค่ามุมที่ได้จากการตรวจจับจาก Hall Sensor ในระบบควบคุมมีสัญญาณรบกวน จึงทำให้การพัฒนาโปรแกรมเพื่อควบคุมการทำงานในบอร์ดไมโครคอนโทรลเลอร์ เพื่อใช้ในการหาค่าชดเชยมุมเฟสก้าวหน้า (Advanced Phase Commutation) นั้นอาจมีความยุ่งยากพอสมควร และอาจเป็นผลให้ผลทดสอบในย่านทำงานแบบกำลังคงที่ของมอเตอร์เชิงปฏิบัติ จากชุดทดสอบการทำงานของ BLDC Motor โดยการประยุกต์ใช้บอร์ดไมโครคอนโทรลเลอร์ของวิทยานิพนธ์นี้ได้ ซึ่งเป็นผลให้ค่าแรงบิดขาออกไม่ตรงตามที่ต้องการในทุกค่าความเร็วที่ทดสอบ

อย่างไรก็ตาม การแสดงผลการวิเคราะห์จากการทดสอบมีความจำเป็นอย่างยิ่งต่อการศึกษาการทำงานของมอเตอร์ทั้งสองย่านการทำงาน เพื่อสามารถนำไปใช้ในการวิเคราะห์และพัฒนาระบบควบคุม BLDC Motor ต่อไป ดังนั้นในโครงการนี้จึงได้พัฒนาการแสดงผลวิเคราะห์การทดสอบแบบ General User Interface (GUI) โดยการประยุกต์ใช้โปรแกรม Visual Basic

1.3 วัตถุประสงค์ของงานวิจัย

- ศึกษาหลักการทำงานของ BLDC Motor
- ศึกษาพฤติกรรมการทำงานของ BLDC Motor ในย่าน Constant Torque และ Constant Power
- ศึกษาหลักการชดเชยมุมเฟสก้าวหน้า (Advanced Phase Angle Commutation) ใน BLDC Motor
- ออกแบบสร้างระบบจำลองการชดเชยมุมเฟสก้าวหน้าใน BLDC Motor
- ออกแบบสร้างชุดทดสอบและระบบควบคุมการทำงานของ BLDC Motor
- เปรียบเทียบการทำงานของ BLDC Motor ทั้งขณะไม่มีการชดเชยมุมเฟสก้าวหน้าและมีการชดเชยมุมเฟสก้าวหน้า

1.4 ขอบเขตงานวิจัย

- ออกแบบและสร้างระบบจำลองการควบคุม BLDC Motor ด้วยหลักการชดเชยมุมเฟส
ก้าวหน้า
(Advanced Phase Angle Commutation)
- ออกแบบและสร้างชุดทดลองการทำงานของมอเตอร์ไฟฟ้ากระแสตรงแบบไร้แปรงถ่าน
(BLDC Motor) ขนาดพิกัดกำลังไฟฟ้า 500 W. พร้อมระบบควบคุมโดยการประยุกต์ใช้
บอร์ดประมวลผลสัญญาณรุ่น dsPIC33F2010
- วิเคราะห์ผลการทำงานของระบบจากชุดทดลองเปรียบเทียบกับผลที่ได้จากการจำลองระบบ

1.5 ประโยชน์ที่คาดว่าจะได้รับ

- เป็นแนวทางในการนำไปสร้างชุดขับเคลื่อนมอเตอร์ไฟฟ้ากระแสตรงแบบไร้แปรงถ่านให้
เหมาะสมกับการนำไปใช้งานเชิงปฏิบัติ
- เป็นแนวทางในการพัฒนาระบบควบคุมการขับเคลื่อนมอเตอร์ไฟฟ้ากระแสตรงแบบไร้แปรง
ถ่านในอนาคต

บทที่ 2

เอกสารงานวิจัยและทฤษฎีที่เกี่ยวข้อง

2.1 บทนำ

มอเตอร์ไฟฟ้ากระแสตรงแบบไร้แปรงถ่าน (Brushless DC Motor) เกิดขึ้นในปี ค.ศ 1962 เมื่อ T.G. Wilson และ P.H. Trickey [5] ได้สร้างมอเตอร์ไฟฟ้ากระแสตรงโดยใช้อุปกรณ์ทางอิเล็กทรอนิกส์เป็นชุดควบคุมการไหลของกระแสในขดลวดสเตเตอร์ ซึ่งเรียกว่า Electronic Commutation ซึ่งถูกพัฒนาให้เป็นเครื่องกลไฟฟ้าที่มีแรงบิดสูงและ ตอบสนองต่อการใช้งานเฉพาะทางได้อย่างดีเยี่ยม เช่น เครื่องเล่นเทป อุปกรณ์อ่านข้อมูลในระบบคอมพิวเตอร์ ระบบควบคุมตำแหน่งในงานอุตสาหกรรมแบบต่างๆ รวมทั้งการประยุกต์ใช้งานในเทคโนโลยีอากาศยานด้วย แต่ในช่วงเวลานั้น Brushless DC Motor มีพิกัดกำลังไฟฟ้าไม่เกิน 5 HP. เท่านั้น แต่หลังจากการค้นพบแม่เหล็กถาวรแบบกำลังสูง เช่น Neodymium (NdFeB) พร้อมทั้งความก้าวหน้าทางเทคโนโลยีทางด้านอิเล็กทรอนิกส์กำลังที่อุปกรณ์สวิตซ์อิเล็กทรอนิกส์กำลังมีพิกัดกำลังไฟฟ้าสูงขึ้น และตอบสนองต่อความถี่สวิตซ์ได้สูงขึ้นมาก ในราวๆ กลางทศวรรษที่ 80 (ค.ศ. 1980) จึงทำให้สามารถสร้าง Brushless DC Motor ที่มีพิกัดกำลังไฟฟ้าสูงขึ้นได้ โดย Brushless DC motor ขนาดพิกัดกำลังไฟฟ้าที่ 50 HP. ถูกสร้างขึ้นโดย Robert E. Lordo จากบริษัท Industrial Corporation และหลังจากนั้นจึงได้เริ่มมีการผลิต Brushless DC Motor ที่พิกัดกำลังไฟฟ้าต่างๆ ตั้งแต่ 0.5 HP. ถึง 300 HP. ตั้งแต่ปี 1980 จนถึงปัจจุบัน

เนื่องจาก Brushless DC Motor มีคุณลักษณะการทำงานที่ใกล้เคียงกับ Brush DC Motor ซึ่งเป็นมอเตอร์ไฟฟ้ากระแสตรงแบบใช้แปรงถ่านที่คุ้นเคยและใช้งานกันมานานแล้ว รวมทั้ง Brushless DC Motor มีประสิทธิภาพการทำงานค่อนข้างสูง (มากกว่า 90 %) มีคุณสมบัติทางกายภาพที่เหมาะสมต่อการใช้งานได้หลายประเภท มีค่าแรงบิดเฉื่อย (Moment of Inertia) ที่ค่อนข้างต่ำ เป็นผลให้มีอัตราเร่งความเร็วได้สูง และตอบสนองต่อการเปลี่ยนแปลงความเร็วได้ดีกว่า อีกทั้งประสิทธิภาพของชุดควบคุมการขับเคลื่อนในปัจจุบันที่สูงถึงประมาณ 97 % จึงทำให้ Brushless DC Motor เป็นที่นิยมใช้ในงานอุตสาหกรรมอย่างกว้างขวางเช่นกัน

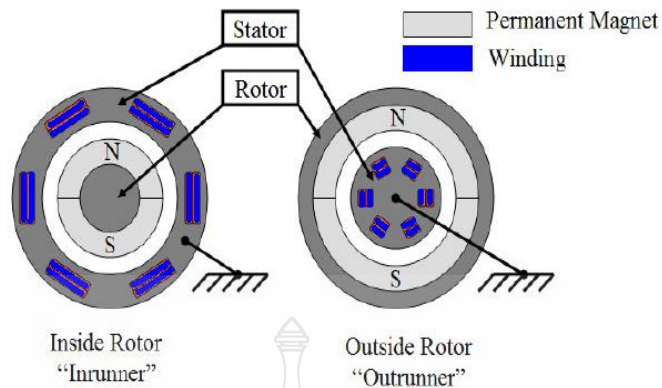
คุณลักษณะเปรียบเทียบระหว่าง Brushless DC Motor กับ Brushed DC Motor ขนาดพิกัดกำลังไฟฟ้า 150 HP. ขณะทำงานที่ 80 % ของพิกัด แสดงดังในตารางที่ 2.1

ตารางที่ 2.1 คุณสมบัติของ Brushless DC Motor และ Brushed Motor ที่ 80 % ของพิกัด 150 HP.

คุณลักษณะ	Brushed DC Motor	Brushless DC Motor	หน่วย
TORQUE OUTPUT	360	360	Lbs-ft
SPEED	1400	1400	RPM
POWER OUTPUT	71616	71616	WATT
MOTOR VOLTAGE	400	206	VDC/VAC
MOTOR CURRENT	196	206	ADC/AAC
POWER TO MOTOR	79400	75845	WATT
MOTOR EFFICIENCY	90.2	94.4	%
CONTROLLER LOSS	1007	1562	WATT
INPUT POWER	80407	77407	WATT
AC LINE CURRENT	160	102	A.
POWER FACTOR	0.63	0.96	
KVA PER KW	1.59	1.05	

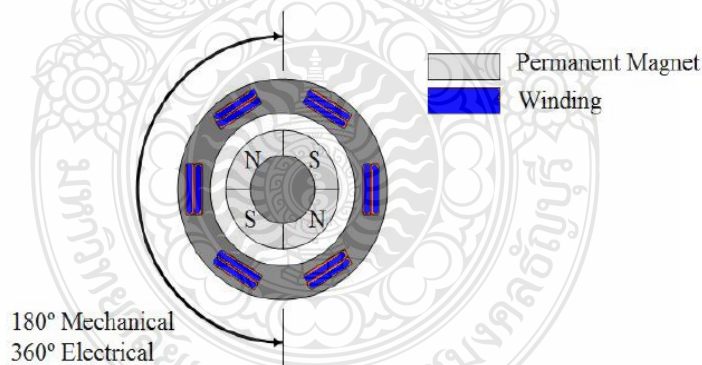
2.2 พื้นฐานเกี่ยวกับมอเตอร์ไฟฟ้ากระแสตรงไร้แปรงถ่าน

มอเตอร์ไฟฟ้ากระแสตรงแบบไร้แปรงถ่าน (Brushless DC Motor หรือ BLDC Motor) มีองค์ประกอบทางกายภาพเหมือนกับมอเตอร์เหนี่ยวนำไฟฟ้ากระแสสลับทั่วไป คือ ประกอบด้วยส่วนขดลวดอยู่กับที่ หรือสเตเตอร์ (Stator) และส่วนขดลวดหมุน หรือ โรเตอร์ (Rotor) โดยส่วน Stator จะเป็นที่รองรับขดลวดสเตเตอร์ (จำนวน 1 ชุดต่อเฟส) และส่วน Rotor จะเป็นแม่เหล็กถาวร ทั้งนี้ Brushless DC Motor ที่ใช้อยู่ในปัจจุบัน จะมีทั้งแบบตัวหมุน (ติดตั้งแม่เหล็กถาวร) อยู่ด้านใน และแบบตัวหมุนอยู่ด้านนอก ดังแสดงในรูปที่ 2.1 ตามลำดับ



รูปที่ 2.1 โครงสร้าง BLDC Motor ที่มีการวางตำแหน่งตัวหมุนกับขดลวดสเตเตอร์ [6]

Brushless DC Motor ที่มีใช้อยู่ในปัจจุบันมีตั้งแต่ 1 เฟส 2 เฟส หรือ 3 เฟส ขึ้นอยู่กับจำนวนของขดลวดสเตเตอร์ ซึ่งที่เป็นที่นิยมกันมากที่สุดเป็นแบบ Brushless DC Motor ชนิด 3 เฟส ทั้งนี้จำนวนขั้วแม่เหล็กของมอเตอร์จะขึ้นอยู่กับจำนวนขั้วแม่เหล็กถาวรที่ Rotor ซึ่งต้องมีอย่างน้อย 2 ขั้วแม่เหล็ก ประกอบด้วยขั้วเหนือและขั้วใต้ ส่วนมอเตอร์ที่มีจำนวนขั้วแม่เหล็กถาวรมากกว่า 2 ขั้วนั้นจะมีผลต่อความสัมพันธ์ระหว่างองศาทางกลกับองศาทางไฟฟ้าของตัวหมุนเท่านั้น ดังแสดงในรูปที่ 2.2



รูปที่ 2.2 ความสัมพันธ์ระหว่างองศาทางกลกับองศาทางไฟฟ้าของมอเตอร์ 4 ขั้วแม่เหล็ก [6]

ความสัมพันธ์ระหว่างองศาทางกลกับองศาทางไฟฟ้าแสดงให้เห็นตามสมการที่ 2.1 และ 2.2

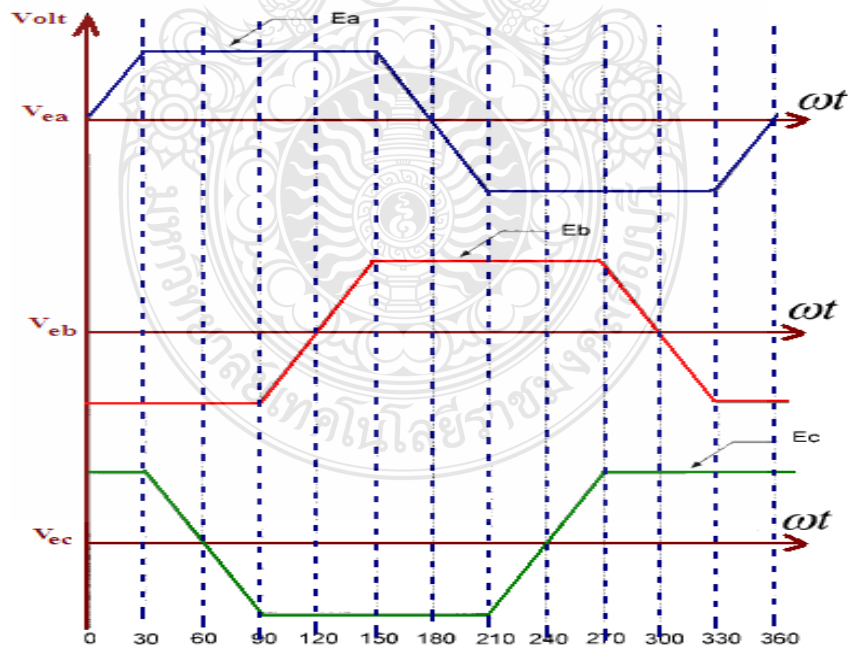
$$\theta_e = \frac{P}{2} \cdot \theta_m \quad (2.1)$$

$$\omega_e = P\omega_m \quad (2.2)$$

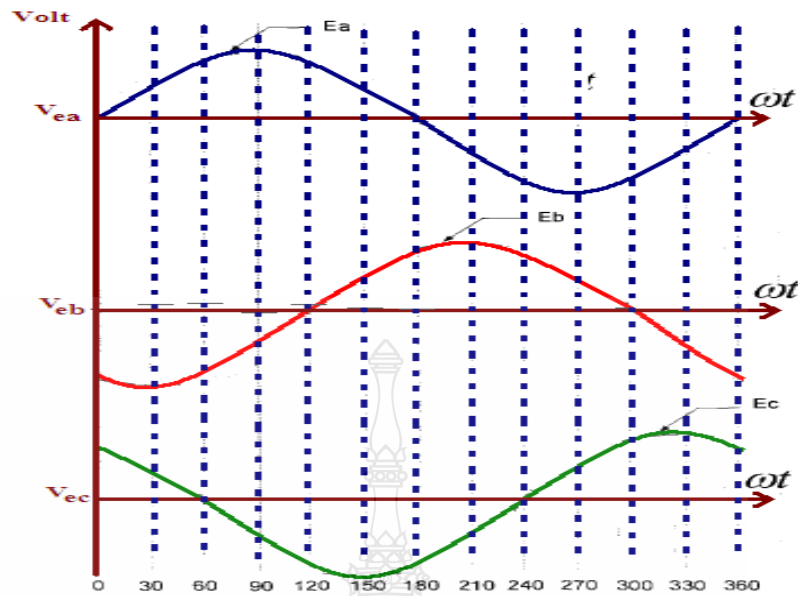
โดย θ_e องศาทางไฟฟ้า ω_e ความเร็วเชิงมุมทางไฟฟ้า
 θ_m องศาทางกล ω_m ความเร็วเชิงมุมทางกล
 P จำนวน pole

2.3 แรงดันต้านกลับ (Back EMF) ในมอเตอร์ไฟฟ้ากระแสตรงไร้แปรงถ่าน [7]

มอเตอร์ไฟฟ้ากระแสตรงไร้แปรงถ่านยังสามารถแบ่งออกได้ตามลักษณะของแรงดันต้านกลับ (Back EMF) ที่เกิดขึ้นในมอเตอร์นี้ได้เป็น 2 แบบคือ แบบที่ Back EMF มีลักษณะเป็น Trapezoidal Back EMF (สัญญาณรูปสี่เหลี่ยมคางหมู) และ Sinusoidal Back EMF (สัญญาณรูปไซน์) ซึ่งเป็นการเรียกตามลักษณะของรูปคลื่นแรงดัน Back EMF ทั้งนี้ความแตกต่างของรูปคลื่นแรงดัน Back EMF มาจากลักษณะการพันขดลวด Stator ลักษณะของรูปคลื่นแรงดัน Back EMF แบบ Trapezoidal และ Sinusoidal แสดงดังรูปที่ 2.3 และรูปที่ 2.4 ตามลำดับ



รูปที่ 2.3 รูปคลื่นแรงดันรูปคลื่นสี่เหลี่ยมคางหมู



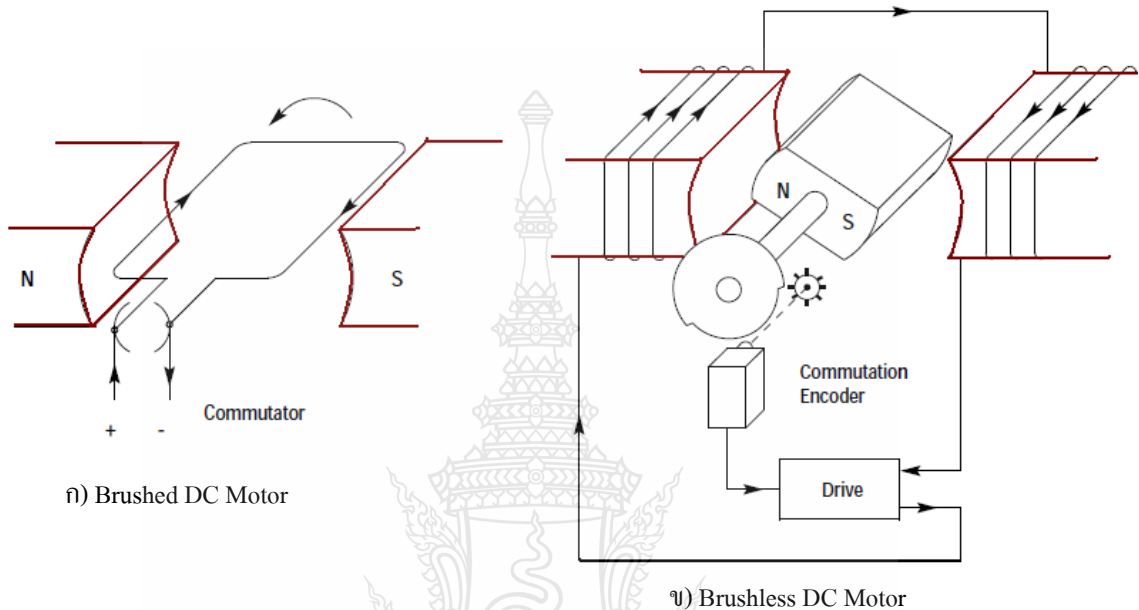
รูปที่ 2.4 รูปคลื่นแรงดันรูปคลื่นซายน์

จากความแตกต่างของรูปคลื่นแรงดัน Back EMF ดังกล่าว จะส่งผลถึงการออกแบบชุดขับเคลื่อนที่ที่แตกต่างกันเช่นกัน ซึ่งทั้งนี้จะต้องออกแบบระบบควบคุมมอเตอร์ให้มีการจ่ายกระแสเคลื่อนที่ให้มีรูปร่างใกล้เคียงกับแรงดัน Back EMF มากที่สุด เนื่องจากจะส่งผลโดยตรงต่อประสิทธิภาพของแรงบิดขาออกของมอเตอร์ ทั้งนี้การสังวรควบคุมสำหรับ BLDC Motor แบบ Sinusoidal Back EMF จะมีความยุ่งยากมากกว่า การสังวรควบคุมสำหรับ BLDC Motor แบบ Trapezoidal Back EMF จึงทำให้ BLDC Motor แบบ Trapezoidal Back EMF มีการนำไปประยุกต์ใช้งานทั่วไปมากกว่าแบบ Sinusoidal Back EMF

2.4 กระบวนการคอมมิวเตชัน [8]

โดยทั่วไป Brushed DC Motor จะใช้แปรงถ่านทำหน้าที่ควบคุมการไหลของกระแสในขดลวดส่วนหมุน เพื่อสร้างสนามแม่เหล็กหมุนระหว่างขดลวดทั้งสอง ซึ่งเป็นการควบคุมทิศทางกระแสแบบทางกล (Mechanical Commutation) ปัญหาที่เกิดขึ้น คือการเกิดประกายไฟที่แปรงถ่าน ซึ่งจะไม่เหมาะสมกับการนำไปใช้งานที่ต้องหลีกเลี่ยงการเกิดประกายไฟ และเกิดการสึกหรอจากการเสียดสีที่แปรงถ่านนั้น จึงต้องมีช่วงเวลาในการซ่อมบำรุงที่แน่นอน

Brushless DC Motor ซึ่งเป็นวิวัฒนาการของ brushed DC Motor ได้เปลี่ยนวิธีการควบคุมการไหลของกระแสในขดลวด จากวิธีการคอมมิวเตชันทางกล (Mechanical Commutation) เป็นวิธีการคอมมิวเตชันทางอิเล็กทรอนิกส์ (Electronic commutation) ซึ่งจะไม่มีการสัมผัสทางกลเนื่องจากไม่ใช้แปรงถ่านในส่วน Rotor นั้นเอง

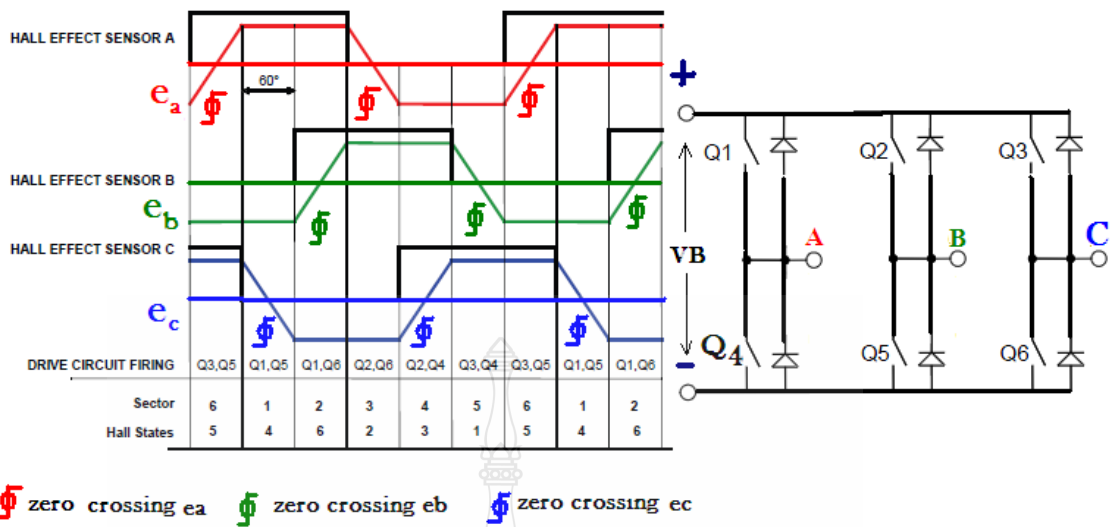


รูปที่ 2.5 โครงสร้างของ Brushed DC Motor และ Brushless DC Motor

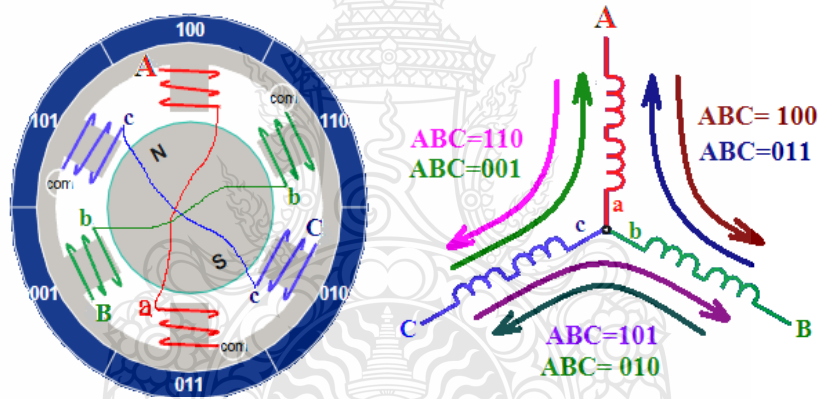
จากรูปที่ 2.5 จะเห็นว่าการจ่ายกระแสให้กับขดลวด Stator ทั้งในแบบ Brushed DC Motor และแบบ Brushless DC Motor จะมีความสัมพันธ์กับตำแหน่งของตัวหมุน (Rotor) เสมอ

ตัวตรวจจับตำแหน่งของตัวหมุน (rotor) สำหรับ Brushless DC Motor มีหลายรูปแบบ แต่ที่นิยมใช้ในปัจจุบัน แบบแรกจะเป็นตัวตรวจจับแบบ Hall Sensor ซึ่งเป็นตัวตรวจจับสัญญาณจากการเปลี่ยนแปลงสนามแม่เหล็ก และแบบที่สอง จะเป็นการตรวจจับหาตำแหน่งของตัวหมุนจากจุดที่แรงดัน Back EMF ตกลงสู่ค่าศูนย์ (Zero crossing of Back EMF)

รูปที่ 2.6 และรูปที่ 2.7 แสดงสัญญาณจาก Hall Sensor และรูปคลื่นแรงดัน Back EMF สำหรับใช้ในการคอมมิวเตชันกระแสไหลในขดลวดสเตเตอร์ของ Brushless DC Motor ชนิด 3 เฟส



รูปที่ 2.6 สัญญาณจาก Hall Sensor และรูปคลื่น Back EMF ใน BLDC Motor ชนิด 3 Phase

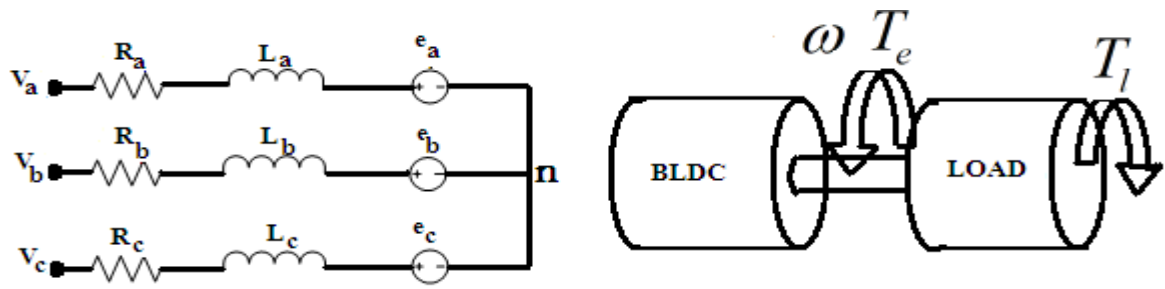


รูปที่ 2.7 ตำแหน่งติดตั้งของ Hall Sensor และทิศทางกระแสไหลในขดลวดสเตเตอร์ใน 1 ไซเคิล

2.5 แบบจำลองทางคณิตศาสตร์ของมอเตอร์ไฟฟ้ากระแสตรงไร้แปรงถ่าน [9]

โดยทั่วไป เราสามารถใช้สมการทางคณิตศาสตร์ในการอธิบายการเปลี่ยนแปลงกำลังไฟฟ้าเป็นกำลังงานกล (Power developed) ตามหลักพลศาสตร์ ในมอเตอร์ไฟฟ้ากระแสตรงแบบไร้แปรงถ่านได้เช่นเดียวกับในมอเตอร์ชนิดอื่นๆ

รูปที่ 2.8 แสดงวงจรสมมูลทางไฟฟ้าและแบบจำลองทางกลของมอเตอร์ไฟฟ้ากระแสตรงแบบไร้แปรงถ่าน (Brushless DC Motor)



รูปที่ 2.8 วงจรสมมูลทางไฟฟ้าและแบบจำลองทางกลของ BLDC Motor

จากวงจรสมมูลของ BLDC Motor สามารถเขียนอยู่ในรูปสมการทางคณิตศาสตร์ได้

$$V_a = Ri_a + L \frac{di_a}{dt} + e_a \quad (2.3)$$

$$V_b = Ri_b + L \frac{di_b}{dt} + e_b \quad (2.4)$$

$$V_c = Ri_c + L \frac{di_c}{dt} + e_c \quad (2.5)$$

โดย

- L เป็นค่าความเหนี่ยวนำของขดลวดสเตเตอร์ (Stator coil's inductance) [H]
- R เป็นค่าความต้านทานของขดลวดสเตเตอร์ (Stator coil's resistance) [Ω]
- V_{an}, V_{bn}, V_{cn} เป็นแรงดันตกคร่อมขดลวดสเตเตอร์ [V]
- i_a, i_b, i_c เป็นกระแสไหลในขดลวดสเตเตอร์ (Motor input current) [A]
- e_a, e_b, e_c เป็นแรงดัน Back EMF ของขดลวดสเตเตอร์ในแต่ละเฟส [V]

ใน Brushless DC Motor ชนิด 3 เฟส แรงดัน Back EMF จะสัมพันธ์กับตำแหน่งในส่วนหมุน (Rotor) ซึ่งแรงดัน Back EMF ในแต่ละเฟสจะทำมุมกัน 120° ไฟฟ้า ดังแสดงในสมการที่ (2.4) (2.5) และ (2.6) ตามลำดับ

$$e_a = K_w f(\theta_e) \omega \quad (2.6)$$

$$e_b = K_w f(\theta_e - 2\pi/3) \omega \quad (2.7)$$

$$e_c = K_w f(\theta_e + 2\pi/3) \omega \quad (2.8)$$

โดย K_w ค่าคงที่ของแรงดันต้านกลับ (Back EMF Constant of each phase) [v/rad. s^{-1}]

θ_e ค่ามุมทางไฟฟ้าของตัวหมุน (electric rotor angle) [$^\circ el$]

ω ความเร็วของตัวหมุน (rotor speed) [rad. s^{-1}]

แรงบิดทางไฟฟ้าที่ได้เป็นการรวมแรงกันในแต่ละเฟสซึ่งอธิบายได้ตามสมการที่ (2.7)

$$T_e = \frac{e_a i_a + e_b i_b + e_c i_c}{\omega} \quad (2.9)$$

โดย T_e เป็นแรงบิดรวมทางไฟฟ้า (Total Electromagnetic Torque) [N.m]

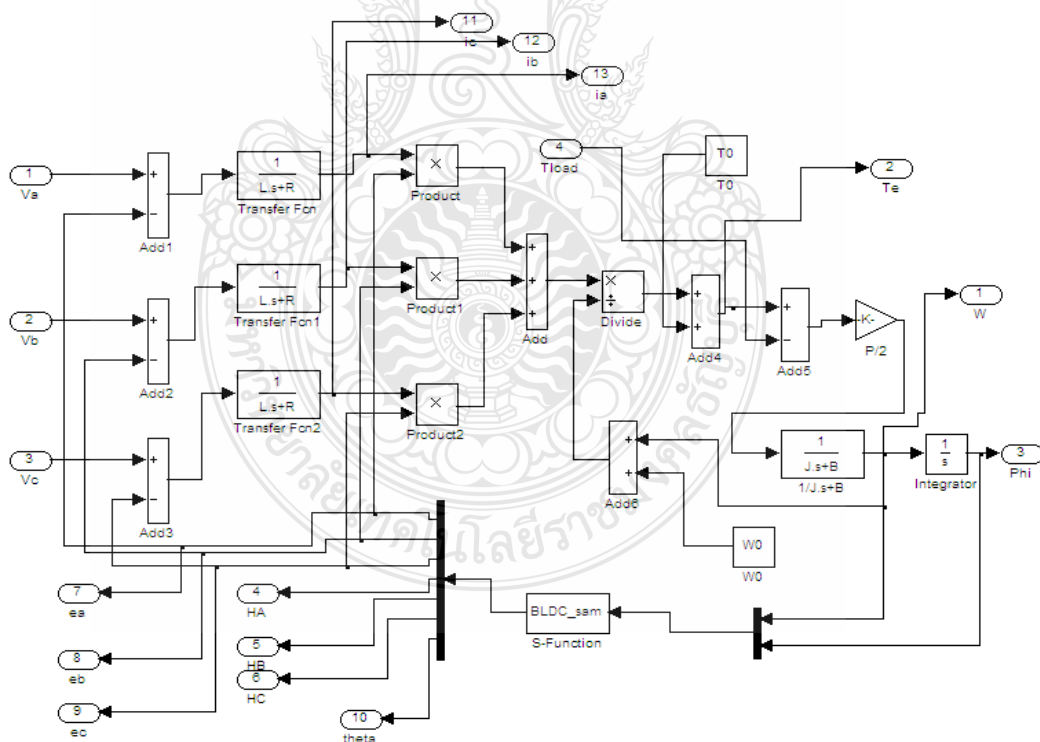
ในส่วนของสมการทางกลอธิบายให้เห็นได้ตามสมการที่ (2.8)

$$T_e - T_l = J \frac{d\omega}{dt} + B\omega \quad (2.10)$$

โดย T_l เป็นแรงบิดที่โหลด (Load Torque) [N.m]

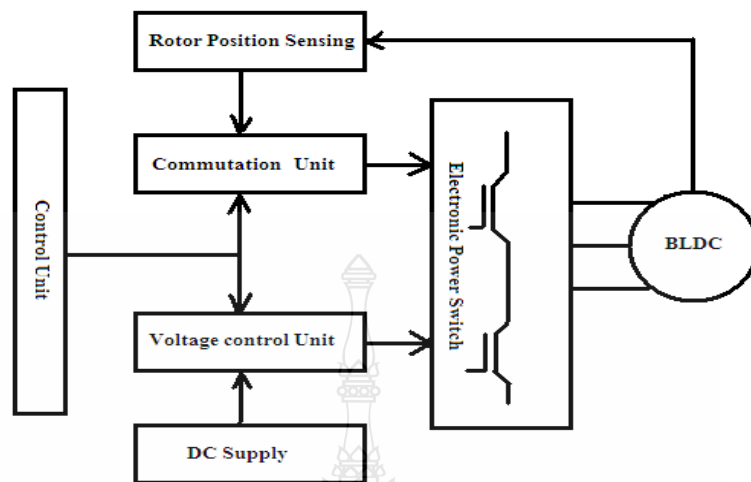
B ค่าแรงเสียดทานความหนืดคงที่ (Viscous friction constant)

ทั้งนี้ จากสมการที่ (2.3) ถึง (2.8) นำมาเขียนเป็นระบบจำลองทางคณิตศาสตร์ได้ดังนี้



รูปที่ 2.9 แสดงระบบจำลองทางคณิตศาสตร์ของ Brushless DC Motor

2.6 การขับเคลื่อนมอเตอร์ไฟฟ้ากระแสตรงไร้แปรงถ่าน



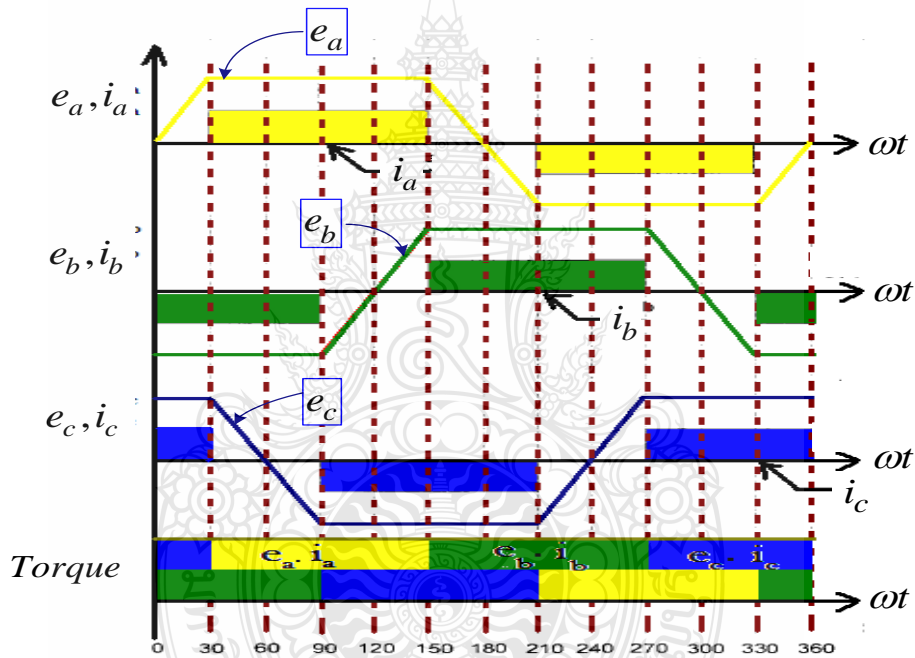
รูปที่ 2.10 องค์ประกอบระบบขับเคลื่อนของ Brushless DC Motor แบบลูปเปิด

จากรูปที่ 2.10 ระบบควบคุมการขับเคลื่อน Brushless DC Motor โดยทั่วไปแบบแบบลูปเปิดประกอบด้วย

- ส่วนตรวจจับตำแหน่งของส่วนหมุน ซึ่งอาจใช้ตัวตรวจจับสัญญาณแบบ Hall Sensor หรือตรวจจับค้นหาตำแหน่งเริ่มต้นของแรงดัน Back EMF แต่ละเฟส ด้วยหลักการ Zero Crossing
- ส่วนควบคุมการไหลของกระแสในขดลวดสเตเตอร์แต่ละเฟส (Commutation Unit) โดยใช้สัญญาณจากส่วนตรวจจับตำแหน่งส่วนหมุนเป็นตัวกำหนดจุดเริ่มต้นการนำกระแสแต่ละเฟส
- ส่วนควบคุมขนาดแรงดันที่จ่ายให้กับมอเตอร์ (Voltage Control Unit) เพื่อคุมค่าความเร็วและแรงบิดที่เกิดขึ้นในมอเตอร์นั้น
- ส่วนควบคุมระบบรวม (Control Unit) เนื่องจากส่วนควบคุมแต่ละส่วนจะต้องทำงานสัมพันธ์ซึ่งกันละกัน
- แหล่งจ่ายแรงดันไฟตรงให้กับระบบทั้งหมด

2.6.1 หลักการควบคุมการไหลกระแสของชุดขดลวดสเตเตอร์

กระแสไหลในแต่ละชุดขดลวดสเตเตอร์ของ Brushless DC Motor ในแต่ละคาบเวลา จะต้องสัมพันธ์กับตำแหน่งของตัวหมุน (Rotor) ดังแสดงในรูปที่ 2.11 ซึ่งจะเห็นจะสัมพันธ์กับจุดเริ่มต้นของแรงดัน Back EMF ที่เกิดขึ้นในแต่ละเฟสเช่นกัน ทั้งนี้ระบบควบคุมอาจใช้สัญญาณจากตัวตรวจจับแบบ Hall sensor เป็นตัวตรวจจับตำแหน่ง รูปแบบของการควบคุมการไหลของกระแสของชุดขดลวดสเตเตอร์ใน Brushless DC Motor ชนิดที่ให้สัญญาณแรงดัน Back EMF เป็นรูปสี่เหลี่ยมคางหมู (Trapezoidal Back EMF) ในอุดมคติ ซึ่งจะทำให้ลักษณะของรูปคลื่นกระแสในแต่ละเฟสเป็นแบบ รูปคลื่นสี่เหลี่ยม (Square Wave) ซึ่งจุดเริ่มต้นของการไหลของกระแสในแต่ละเฟสจะเป็นเวลาของจุดอิมตัวของแรงดัน Back EMF ในเฟสนั้นๆ เช่นกัน ดังแสดงในรูปที่ 2.11

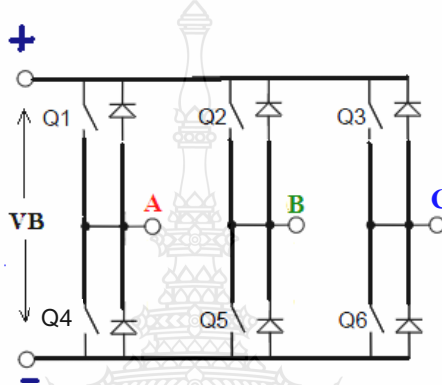


รูปที่ 2.11 รูปคลื่นของแรงดัน Back EMF กระแสไหลในขดลวดสเตเตอร์ และแรงบิดที่เกิดขึ้นในแต่ละเฟส ของ Brushless DC Motor

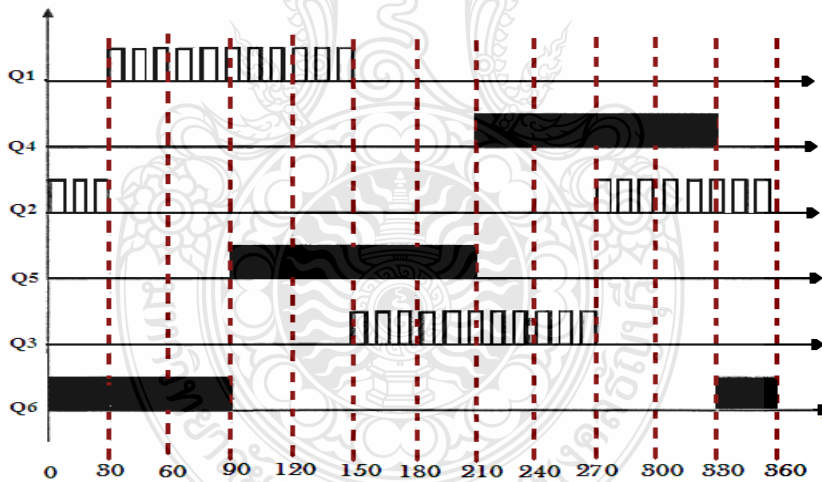
2.6.2 ส่วนควบคุมแรงดันมอเตอร์ (Voltage Control Unit)

นอกจากการควบคุมการไหลของกระแสที่จ่ายให้กับขดลวดสเตเตอร์ในแต่ละเฟส ดังแสดงในรูปที่ 2.11 แล้ว ยังจำเป็นจะต้องมีการควบคุมแรงดันที่จ่ายให้กับมอเตอร์อีกด้วย เพื่อให้สามารถควบคุมความเร็วและแรงบิดที่เกิดขึ้นให้เหมาะสมในแต่ละสภาวะการทำงานของมอเตอร์ได้ จากรูปที่ 2.12 ก). แสดงรูปวงจรแปลงกำลังไฟฟ้า (แบบวงจรถินเวอร์เตอร์) ที่ใช้ในการควบคุมแรงดันและ

กระแสที่ป้อนให้กับขดลวดสเตเตอร์ทั้ง 3 เฟสของ Brushless DC Motor ส่วนรูปแบบการควบคุมการทำงานของสวิตช์อิเล็กทรอนิกส์กำลังทั้ง 6 ตัว (Q1 ... Q6) เพื่อให้ควบคุมแรงดันและกระแสที่จ่ายให้กับขดลวดมอเตอร์ในแต่ละชุด จะเป็นไปตามรูปที่ 2.12 ข). ทั้งนี้จะเห็นว่าในแต่ละจังหวะการทำงาน สวิตช์อิเล็กทรอนิกส์กำลังจะทำงานพร้อมกันครั้งละสองตัว โดยสวิตช์อิเล็กทรอนิกส์กำลังตัวหนึ่งใน 2 ตัวที่ทำงานพร้อมกัน จะถูกนำกระแสด้วยสัญญาณแบบมอดูเลตตามความกว้างพัลส์ (Pulse Width Modulation; PWM) เพื่อทำหน้าที่ควบคุมขนาดแรงดันเฉลี่ยที่จ่ายให้กับขดลวดมอเตอร์ได้



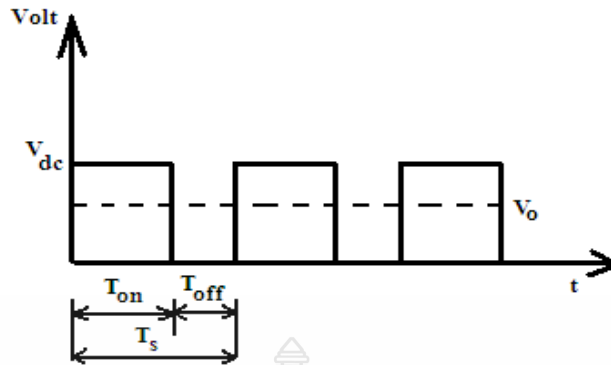
[ก] โครงสร้างวงจรรินเวอร์เตอร์ที่ใช้ในการควบคุม Brushless DC Motor



[ข] สัญญาณควบคุมสวิตช์อิเล็กทรอนิกส์กำลัง (Q1 – Q6) เพื่อควบคุม Brushless DC Motor

รูปที่ 2.12 วงจรรินเวอร์เตอร์และสัญญาณควบคุม

ทั้งนี้หลักการมอดูเลตตามความกว้างพัลส์ (Pulse Width Modulation หรือ PWM) สามารถใช้ควบคุมแรงดันเฉลี่ยไฟตรงขาออกได้ โดยควบคุมอัตราการปิด/เปิดของสวิตช์อิเล็กทรอนิกส์กำลังในแต่ละคาบเวลา ดังแสดงในรูปที่ 2.13



รูปที่ 2.13 ค่าเวลาในการเปิด/ปิดสวิตช์ตามหลักการ PWM

ทั้งนี้
$$D = \frac{T_{on}}{T_s} \quad (2.9)$$

$$V_o = \frac{1}{T_s} \left[\int_0^{T_{on}} V_{dc} d(t) + \int_{T_{on}}^{T_s} 0 d(t) \right] = \frac{T_{ON}}{T_s} \cdot V_{DC} \quad (2.10)$$

หรือ
$$V_o = D \cdot V_{DC} \quad (2.11)$$

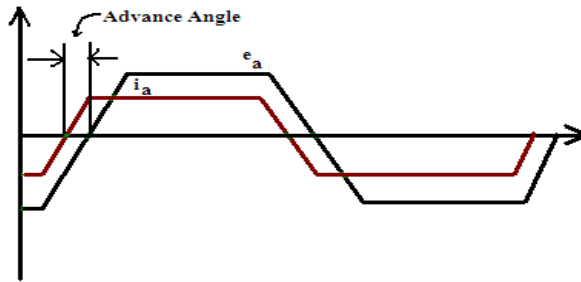
2.7 การเพิ่มความเร็วและแรงบิดในย่านกำลังคงที่ใน Brushless DC Motor

ในย่านการทำงานแบบกำลังคงที่ใน Brushless DC Motor ดังแสดงไว้แล้วในรูปที่ 1.1 นั้น สามารถปรับค่าความเร็วและค่าแรงบิดที่เกิดขึ้นในย่านนี้ได้ โดยใช้การปรับค่าความต่างของมุมเฟสระหว่างแรงดันและกระแสสเตเตอร์ในแต่ละเฟส ซึ่งเรียกว่า หลักการชดเชยมุมเฟสก้าวหน้า (Advanced Phase Angle Commutation, α_a) [1] ทั้งนี้โดยการควบคุมกระแสสเตเตอร์ให้ทำมุมหน้าหน้าแรงดันต้านกลับ (Back EMF) ในแต่ละเฟส ดังแสดงในรูปที่ 2.15

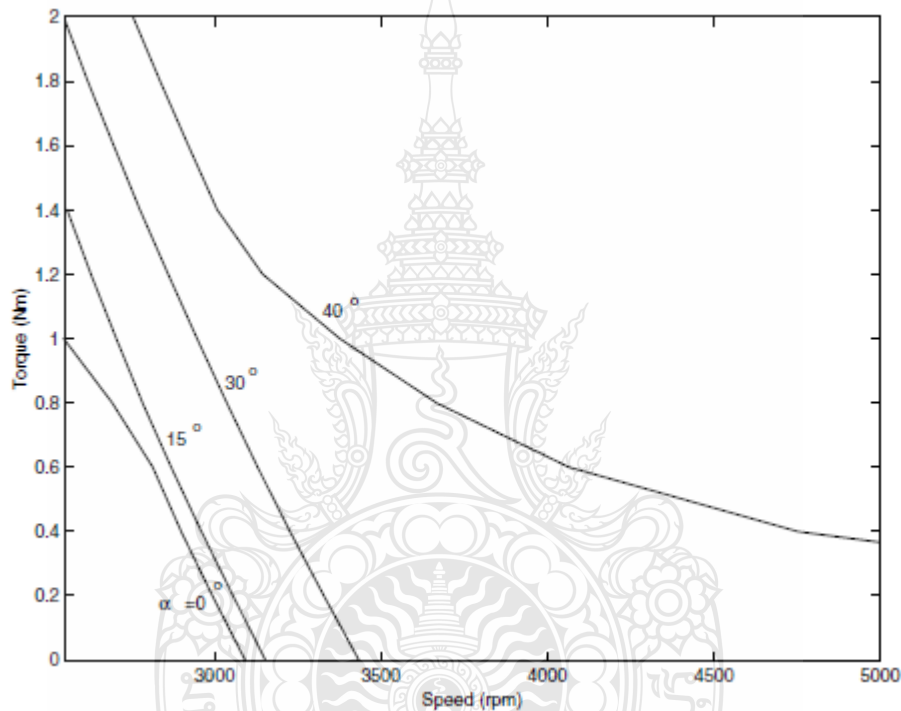
ค่ามุมเฟสก้าวหน้าที่ใช้นี้ เพื่อใช้ในการชดเชยสนามแม่เหล็กซึ่งในสภาวะปกติจะเกิดขึ้นจากกรณีกระแสต้านหลังแรงดันนั่นเอง ทั้งนี้ค่ามุมเฟสก้าวหน้าจะมีค่าเปลี่ยนแปลงตามค่าความเร็ว [10] ดังสมการที่ 2.12

$$\alpha_a = \omega_r \frac{L_s I}{V_{dc}}; \omega_r = 2pn\pi \quad (2.12)$$

- เมื่อ
- L_s เป็นค่าความเหนี่ยวนำของชุดขดลวดสเตเตอร์แต่ละเฟส
 - p เป็นจำนวนขั้วแม่เหล็กของมอเตอร์
 - n เป็นค่าความเร็วมอเตอร์ (รอบ/วินาที หรือ rps.)
 - V_{dc} เป็นขนาดแรงดันไฟฟ้าที่จ่ายให้กับมอเตอร์ (Volt)



รูปที่ 2.14 การชดเชยมุมเฟสก้าวหน้า (Advanced Phase Angle)



รูปที่ 2.15 ความสัมพันธ์ระหว่างความเร็วและแรงบิดมอเตอร์ที่มุมเฟสก้าวหน้า 0,15,30 และ 40 องศา

2.8 การออกแบบระบบควบคุมมอเตอร์ไฟฟ้ากระแสตรงไร้แปรงถ่านในย่านกำลังคงที่ด้วยหลักการชดเชยมุมเฟสก้าวหน้า

การออกแบบชุดควบคุมการขับเคลื่อนมอเตอร์ไฟฟ้ากระแสตรงไร้แปรงถ่าน (Brushless DC Motor Drive Unit) เพื่อใช้ในงานวิจัยชิ้นนี้มีหน่วยควบคุมหลักๆ 4 ส่วนด้วยกัน คือ

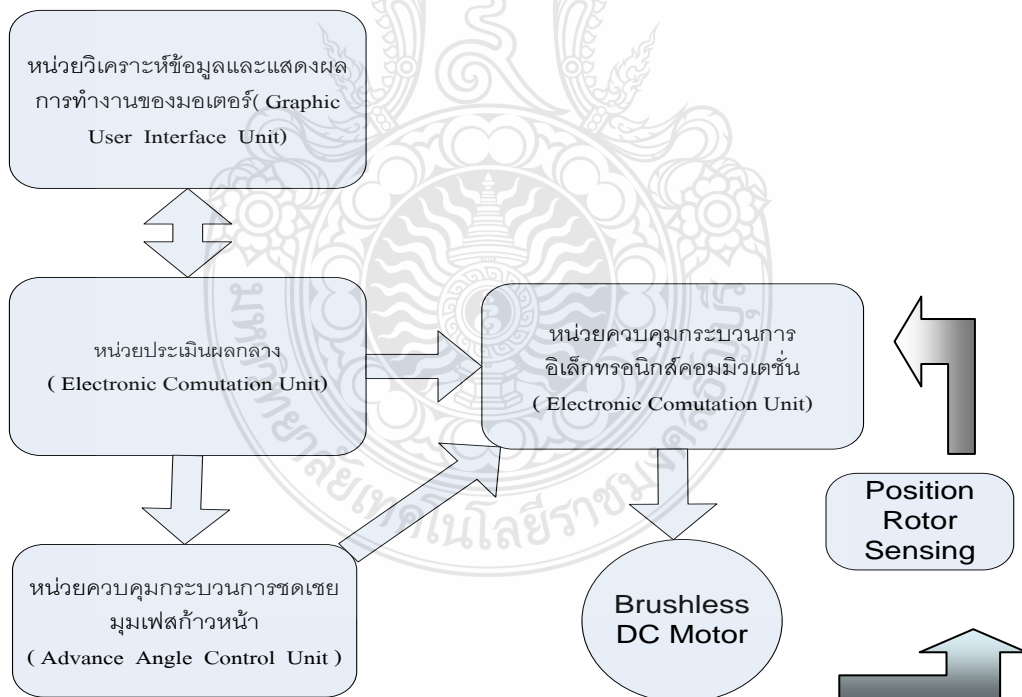
1 หน่วยควบคุมกระบวนการ อิเล็กทรอนิกส์คอมมิวเตชัน (Electronic Comutation Unit) ทำหน้าที่ในการควบคุมกระบวนการจ่ายกระแสในชุดขดลวดอยู่กับที่ของมอเตอร์ในแต่ละจังหวะนั้น จะต้องสัมพันธ์กับตำแหน่งของตัวหมุน (rotor) ตามข้อ 2.6.1

2 หน่วยควบคุมกระบวนการชดเชยมุมเฟสก้าวหน้า (Advance Angle Control Unit) เป็นหน่วยรับคำสั่งการเปลี่ยนค่าการชดเชยมุมเฟสก้าวหน้า ระหว่างกระแสกับแรงดันต้านกลับในชุดขดลวด Stator (ตามข้อ 2.7)จากหน่วยประเมินผลกลาง

3 หน่วยประเมินผลกลาง (Central Processing Unit) เป็นหน่วยที่คอยกำกับการทำงานของระบบทั้งหมดเข้าด้วยกัน เช่น คอยตรวจสอบสถานการณ์ทำงานของหน่วยควบคุมกระบวนการคอมมิวเตชัน กำหนดค่าการชดเชยมุมเฟสก้าวหน้า และ เป็นตัวกลางในการประสานงานกับหน่วยวิเคราะห์ข้อมูลเป็นต้น

4 หน่วยวิเคราะห์ข้อมูลและแสดงผลการทำงานของมอเตอร์ (Graphic User Interface Unit) เป็นหน่วยที่ทำหน้าที่สั่งการและ รับค่าข้อมูลต่าง ๆ ของระบบเช่น ค่ากระแสโหลด (Load Current) แรงดันโหลด (Load Voltage) ความเร็วของมอเตอร์ (Motor Speed) และ แรงบิดโหลด (Load Torque) เป็นต้น และ นำค่าต่าง ๆ ในข้างต้น แสดงผลการทำงานของระบบในลักษณะที่เป็นรูปภาพเพื่อให้สะดวกในการศึกษาและการวิเคราะห์ข้อมูล

ทั้ง 4 ส่วนดังกล่าวในข้างต้นแสดงได้ตามรูปที่ 2.16



รูปที่ 2.16 ระบบควบคุมมอเตอร์ไฟฟ้ากระแสตรงไร้แปรงถ่านในย่านกำลังคงที่ด้วยหลักการชดเชยมุมเฟสก้าวหน้า

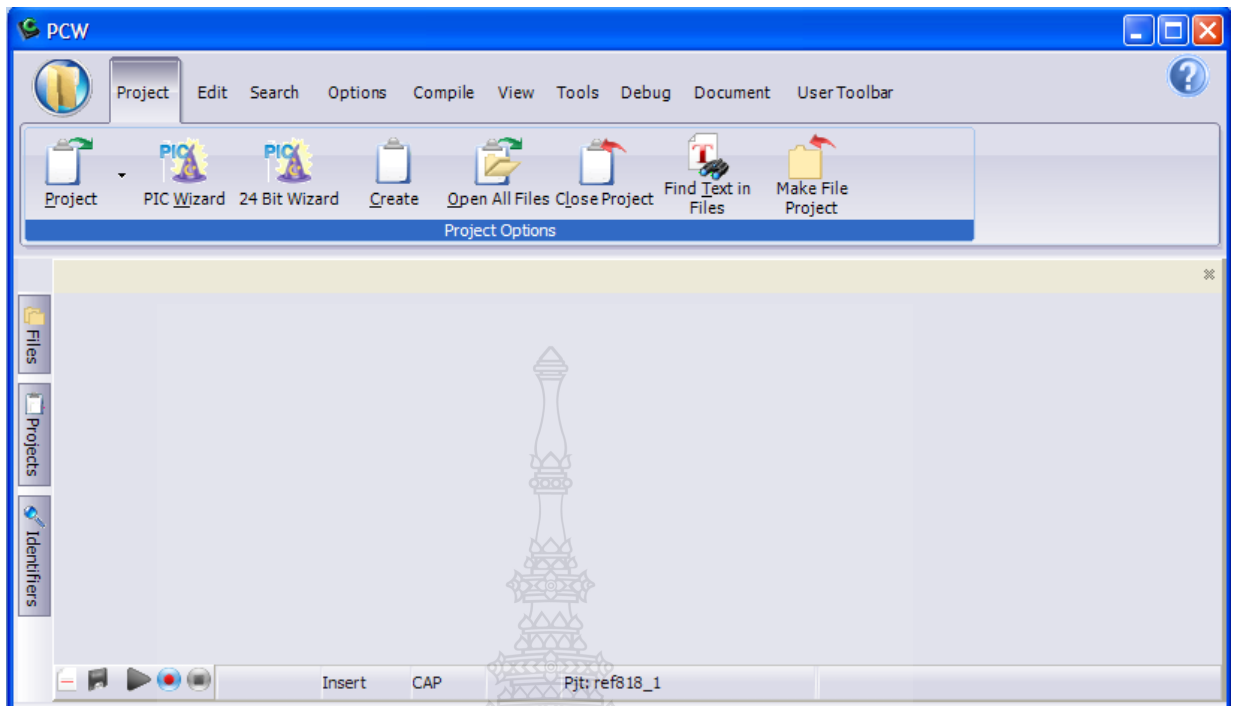
ในแต่ละส่วนของหน่วยควบคุมนั้นได้ ใช้เครื่องมือหลักๆ ในการสร้างที่ สำคัญๆ 2 ส่วนด้วยกันคือ

1 ส่วนของโปรแกรม(Software) โปรแกรม PROGRAM PIC _C COMPILER ใช้ในการพัฒนาโปรแกรมในส่วนของ หน่วยควบคุมกระบวนการ อิเล็กทรอนิกส์คอมพิวเตอร์(Electronic Comutation Unit) หน่วยควบคุมกระบวนการชดเชยมุมเฟสก้าวหน้า(Advance Angle Control Unit) และ หน่วยประเมินผลกลาง (Central Processing Unit) และ ใช้โปรแกรม Visual Basic ในการพัฒนาหน่วยวิเคราะห์ข้อมูลและแสดงผลการทำงานของมอเตอร์(Graphic User Interface Unit)

2 ส่วนของ แผงวงจรควบคุม เช่น แผงวงจรหน่วยควบคุมกระบวนการ อิเล็กทรอนิกส์คอมพิวเตอร์ (Electronic Comutation Circuit Board) แผงวงจรหน่วยควบคุมกระบวนการชดเชยมุมเฟสก้าวหน้าและหน่วยประเมินผล ซึ่งระบบต่าง ๆ ดังกล่าว Digital Signal Controller DSPIC30F2010เป็นตัวประเมินผลหลัก

2.8.1 การใช้ PROGRAM PIC _C COMPILER V 4.084 [11]

PIC_C COMPILER เป็นเครื่องมืออีกตัวหนึ่งที่น่ามาใช้ในวิทยานิพนธ์ เพื่อ ใช้เป็นตัวกลางในการแปลงคำสั่ง (Translators) ระหว่างภาษามนุษย์กับภาษาเครื่อง (Machine Language)ซึ่งในเวอร์ชัน 4.084 ได้เพิ่มความสามารถและสิ่งอำนวยความสะดวกให้กับผู้ใช้งานอย่างมาก โดยสามารถใช้งานได้กับ pic microcontroller ได้ตั้งแต่ PIC12 , PIC16 PIC18 , PIC24 ไปจนถึง DSPIC และในส่วนของ user interface ก็หน้าตาดีมีการแบ่งออกเป็นหมวดหมู่ ทำให้ง่ายต่อการใช้งานเป็นอย่างมาก หน้าต่างของ โปรแกรมแสดงดังรูปที่ 2.18



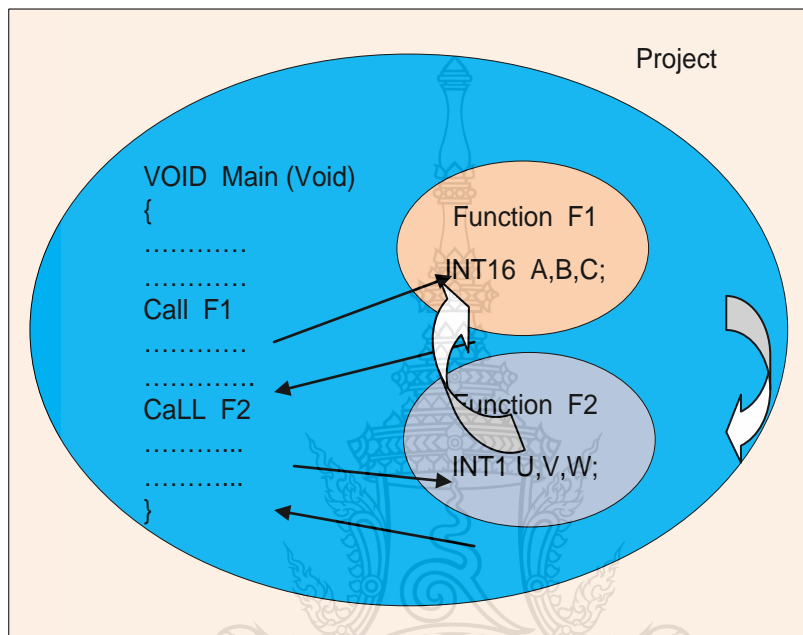
รูปที่ 2.17 User Interface Of PIC C V4.08

จากรูปที่ 2.17 แสดงถึงการแบ่งกลุ่มเมนูเป็นกลุ่มดังนี้

- 1) TAB project เป็นเมนูเริ่มต้นในการสร้างงาน หน้าหลักของเมนู project คือนำ source file (*.c) ซึ่งในแต่ละโปรเจกต์อาจจะประกอบด้วยหลาย source file แต่ต้องมี 1 source file ที่มี ฟังก์ชัน (main) อยู่ใน project เนื่องจากงานที่สร้างขึ้นทั้งหมดจะถูกบัญชาการด้วยฟังก์ชัน (main) นั้นเอง
- 2) TAB Edit ใช้ในการแก้ไขปรับปรุงการเขียน โปรแกรมเป็นหลัก
- 3) TAB Search ใช้อำนวยความสะดวกในการค้นหาและ แทนที่ค่าใน project
- 4) ใช้ในการกำหนดคุณลักษณะต่าง ๆ ของโปรเจกต์ เช่น Editor Toolbar และ Project เป็นต้น
- 5) Tab Compile ใช้ในการตรวจสอบไวยากรณ์และแปลงโปรเจกต์เป็น HEX File
- 6) Tab view ใช้ในการเยี่ยมชมองค์ประกอบต่าง ๆ ของโปรเจกต์ เช่น datasheet cpu , CPU Register การใช้ Preprocessor ต่าง ๆ เป็นต้น

ในการใช้งานโปรแกรม PIC _ C COMPILER จำเป็นต้องเข้าใจลักษณะโครงสร้างการทำงาน ของโปรแกรม รูปที่ 2.19 แสดงโครงสร้างการทำงานของ PIC _ C COMPILER โดยฟังก์ชัน (main) เป็นฟังก์ชันหลักในการบริหารจัดการระบบงานใน project ทั้งหมด นั่นคือว่า sub function

ต่างๆ ที่อยู่ใน project จะถูกเรียกใช้งาน โดย function main และระหว่าง sub function ก็สามารถใช้ซึ่งกันและกันได้ ในส่วนของตัวแปรถ้าประกาศไว้นอกฟังก์ชันให้ถือว่าเป็นตัวแปรแบบ global (ใช้พื้นที่หน่วยความจำอย่างถาวร) ส่วนตัวแปรที่ประกาศในฟังก์ชันจะเป็นตัวแปรแบบ private (ใช้พื้นที่หน่วยความจำเมื่อมีการเรียกใช้ฟังก์ชันเท่านั้น)



รูปที่ 2.18 Structure pic c compiler

นอกจากการทำความเข้าใจกับโครงสร้างของโปรแกรม PIC _ C COMPILER แล้วยังมีสิ่งต่างๆ ที่จำเป็นดังนี้

- Pre-Processor
- Data Definition
- Function Definition
- Operators
- ส่วนควบคุมการทำงานของโปรแกรม (Process Control)
- Built-in-function
- การสร้าง Project
- Pre-Processor

Pre-processor ใช้สำหรับเตรียมความพร้อมให้กับ compiler ให้ทำความรู้จักกับองค์ประกอบต่างๆ ของ Project เช่น cpu (#include<30F2010.h>) การกำหนดฟังก์ชันการทำงานให้กับ cpu(#Fuse NOWDT, NOPUT, PROTECT) และกำหนด clock speed ให้กับ cpu (#use delay(clock=2000000)) เป็นต้น

- Data Definition

การพัฒนาโปรแกรมในเรื่องใด ๆ ก็ตามการประกาศตัวแปรเป็นสิ่งที่ไม่หลีกเลี่ยงได้ยาก เนื่องจากงานด้านพัฒนาโปรแกรมเป็นการนำอินพุตข้อมูลที่มีการเปลี่ยนแปลงตามสถานะต่างมา ประเมินผลเพื่อให้ได้ค่าเอาท์พุตตามที่เรากำลังต้องการนั่นเอง ชนิดและวิธีการประกาศตัวแปร

ตารางที่ 2.2 ชนิดและวิธีการประใช้ตัวแปร

type	Number bit	value	signint
int	1	0 to 1	n/a
Int8	8	0 to 255	-128 to 127
Int16	16	0 to 65535	-32768 to 32767
Int32	32	0 to 4294967295	-2147483648 to 2147483647
Float32	32	-1.5×10^{45} to 3.4×10^{38}	

Constance Data

A =123;

B = 0123;

C = 0X0F;

D = 0B00110011;

ฐานสิบ

ฐานแปด

ฐานสิบหก

ฐานสอง

- Function Definition

รูปแบบการสร้างและการเรียกใช้ sub function มีดังนี้

- ประกาศฟังก์ชัน prototype ให้ compiler ทราบทุกครั้งก่อนการเรียกใช้ฟังก์ชัน
- กำหนดรูปแบบการรับและส่งค่าของฟังก์ชันให้ถูกต้อง

ตัวอย่างโปรแกรมที่ประกอบด้วยฟังก์ชันย่อยแบบต่าง ๆ

```
#include <30F2010.h>

#device adc=8

#Fuses HS #Fuses BROWNOUT

#Fuses NOMCLR

#Fuses PUT4

#Fuses NOWDT

#use delay(clock=10000000,restart_wdt)

#use rs232(UART1,baud=19200,parity=N,bits=8,)
```

```
void f1(void);
void f2(int8 data);
int16 f3(int8 a,int8 b);
```

Function
prototype

```
void main(){
    int16 x;
    while(true)
    {
        f1(); f2(10); f3(10,20);
    }
}
```

Call Function

```
void f1(void)
{ output_b(0xff); }
void f2(int8 data)
{ output_b(data);}
int16 f3(int8 a,int8 b)
{ return a+b;}
```

- Operators

Operator ในโปรแกรม PIC C Compiler แบ่งออกได้เป็น 4 กลุ่มด้วยกันคือ

1 กลุ่มที่ใช้ดำเนินการทางคณิตศาสตร์(Arithmetic Operator)

เป็น Operator ใช้ในการคำนวณค่าทางคณิตศาสตร์

ตารางที่ 2.3 ตัวดำเนินการทางคณิตศาสตร์

+	Addition Operator
+=	Addition assignment operator, $x += y$, is the same as $x = x + y$
++	Increment
--	Decrement
-=	Subtraction assignment operator, $x -= y$, is the same as $x = x - y$
/	Division Operator
/=	Division assignment operator, $x /= y$, is the same as $x = x / y$
*	Multiplication Operator
*=	Multiplication assignment operator, $x *= y$, is the same as $x = x * y$

2 กลุ่มที่ใช้ดำเนินการทางลอจิก(Logic Operator)

เป็น Operator ที่ใช้ดำเนินการต่าง ๆ ทางลอจิก ดังแสดงในตารางที่ 2.4

ตารางที่ 2.4 Operator ที่ใช้ดำเนินการต่าง ๆ ทางลอจิก

&	Bitwise
&=	Bitwise assignment operator $X \&= y$, is the same as $x = x \& y$
^	Bitwise exclusive Operator
	Bitwise inclusive OR Operator
=	Bitwise inclusive OR assignment Operator
&&	Logic AND Operator
	Logic OR Operator
!	Logic Negation Operator
~	One Complement Operator

กลุ่มที่ใช้ดำเนินการเปรียบเทียบข้อมูล(Relational Operator)

ใช้สำหรับเปรียบเทียบข้อมูลซึ่งผลที่ได้จะเป็นค่า จริง(True) หรือ เท็จ(False)

ตารางที่ 2.5 กลุ่มที่ใช้ดำเนินการเปรียบเทียบข้อมูล(Relational Operator)

<==	Left shif assignment operator, $x <== y$, , is the same as $x = x < y$
<	Less than Operator
<<	Left Shif Operator
>>	Right Shif Operator
>>=	Right Shif assignment operator, $x >>= y$, is the same as $x = x >> y$
==	Equality
!=	Inequality

กลุ่มที่ใช้ดำเนินการ การเข้าถึงข้อมูลในหน่วยความจำข้อมูล(Memory Excess Operator)

เป็น Operator ที่ใช้ดำเนินการในการเข้าถึงข้อมูลในหน่วยความจำ

ตารางที่ 2.6 กลุ่มที่ใช้ดำเนินการ การเข้าถึงข้อมูลในหน่วยความจำ

*	Indirection Operator
&	Address Operator

- ส่วนควบคุมการทำงานของโปรแกรม (Process Control)

ส่วนที่ใช้ควบคุมลำดับการทำงานของโปรแกรมประกอบด้วยกลุ่มคำสั่ง 3 กลุ่มด้วยกันคือ
กลุ่มคำสั่ง Branching , Iteration และ Condition

กลุ่มคำสั่ง Branching

เป็นกลุ่มคำสั่งที่ใช้ในการกระโดดข้ามการทำงานจากคำสั่งหนึ่งไปยังอีกคำสั่งหนึ่ง

ตารางที่ 2.7 กลุ่มคำสั่ง Branching

คำสั่ง	รูปแบบการใช้
Goto Label;	Goto loop;
Label : statement;	Loop :a++;
break	Break;
continue	Continue;

กลุ่มคำสั่ง Iteration

เป็นคำสั่งที่มีลักษณะการทำซ้ำ บ่อยครั้งที่โปรแกรมจำเป็นต้องทำงานที่ซ้ำๆ กันภายใต้เงื่อนไขใดๆ

ตารางที่ 2.8 กลุ่มคำสั่ง Iteration

คำสั่ง	รูปแบบการใช้
While(Expr){statement;}	While(x<10){x++;}
Do {statement;}while(Expr)	Do {x++;}while(x<10)
For(expr1;expr2;expr3){statment}	For(x=0;x<10;x++){printf("x");}

กลุ่มคำสั่ง Condition

ใช้กำหนดให้กลุ่มคำสั่งทำงานภายใต้เงื่อนไขที่กำหนดเป็นจริง

ตารางที่ 2.9 กลุ่มคำสั่ง Condition

คำสั่ง	รูปแบบการใช้
If(expr){statment}	If(x==10){x=0;}
If(expr) {statement} Else if(expr) {statement} Else {statment}	If(x==1) {y=1;} Else if(x==2) {y=3;} Else {y=4;}
Switch(expr) Case expr1:{statement} Case expr2:{statement} Default {statement}	Switch(x) Case 0:{y=2;break;} Case 1:{y=4;break;} Default {y=0;break;}

- Built-in-function

Built in function นับได้ว่าเป็นสิ่งที่จะช่วยอำนวยความสะดวกกับผู้ใช้โปรแกรม pic c compiler เป็นอย่างมากโดยที่ผู้ใช้แค่ทำความเข้าใจกับการส่งผ่านค่าตัวแปรและการ return ค่าของฟังก์ชัน

เท่านั้น ตัวอย่างที่ใช้บ่อยๆ เช่น Delay_ms (100) Delay_us (200) เป็นฟังก์ชันที่ใช้สำหรับการหน่วงเวลาซึ่งมีความจำเป็นต้องใช้เกือบทุกโปรแกรม

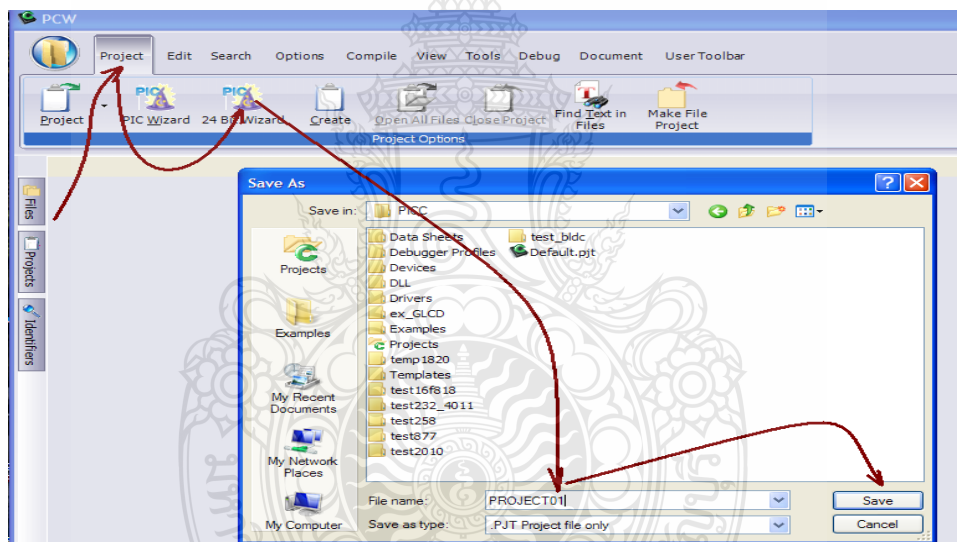
- การสร้าง Project

การสร้าง Project มีทางเลือกได้ 2 ทางดังนี้คือ

- 1) ใช้ Project Wizard
- 2) ใช้ Manual create Project

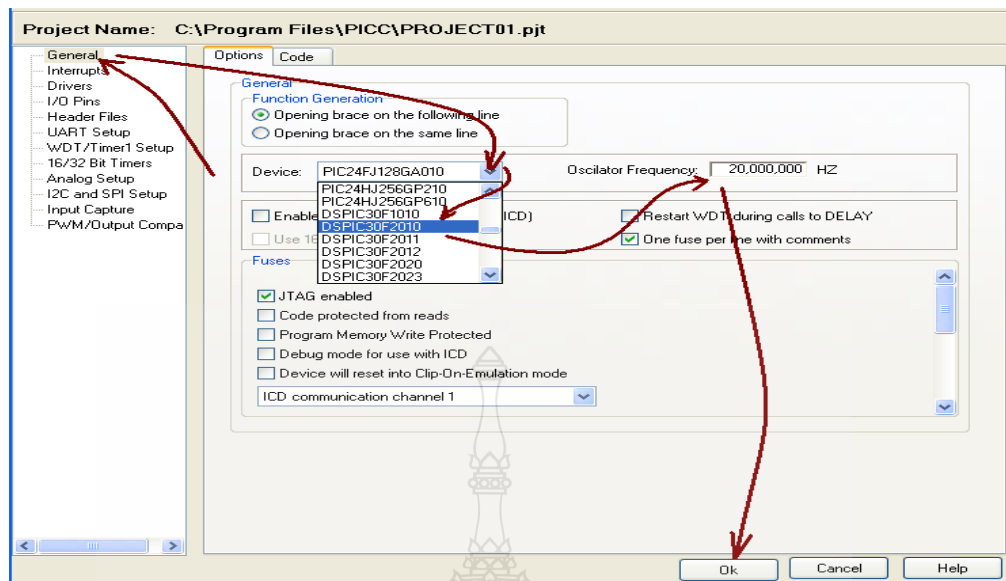
Project Wizard

นับได้ว่ามีประโยชน์ต่อผู้เริ่มต้นใช้โปรแกรมเป็นอย่างมาก เนื่องจาก pic microcontroller มี register ล้วนข้างมากทำให้ยากต่อการ config ในการนำไปใช้งานในแต่ละอย่าง และ project wizard จะช่วยนำทางมือใหม่สู่เป้าหมายได้ ขั้นตอนการใช้ Project wizard แสดงดังรูปที่ 2.20 และ 2.21



รูปที่ 2.19 เริ่ม project wizard Step 1

- เลือก Tab Project → Pic Wizard สำหรับ(8 bit databus) or 24 bit Wizard(16 bit data bus) → project name → save



รูปที่ 2.20 Step 2 register config

Pic c compiler จะแบ่งกลุ่มส่วนที่ผู้ใช้ต้องกำหนดค่าเริ่มต้นให้กับ compiler ไว้ใน list box ทางด้านซ้ายมือ เช่น ส่วนของ general, Interrupt, Driver, I/O Pin เป็นต้นซึ่งการกำหนดค่าในแต่ละส่วนนั้นจำเป็นต้องทำความเข้าใจโครงสร้างและฟังก์ชันการทำงานอย่างละเอียด หลังจากที่เรเข้าไปกำหนดส่วนต่างๆ เรียบร้อยแล้ว click ok โปรแกรมจะสร้าง source code ส่วนหนึ่งมาใส่ไว้ในฟังก์ชันหลักเพื่อกำหนดการทำงานเริ่มต้นให้กับ CPU เพื่อพร้อมที่จะใช้งานตามความต้องการต่อไป

ตัวอย่าง code ได้จากการ wizard

```
// #include "C:\Program Files\PICC\PROJECT01.h"

#include <30F2010.h>

#FUSES NOWDT           //No Watch Dog Timer
#FUSES HS              //High speed Osc (> 4mhz for PCM/PCH) (>10mhz for PCD)
#FUSES PR              //Primary Oscillator
#FUSES NOCKSFSM       //Clock Switching is disabled, fail Safe clock monitor is disabled
#FUSES WPSB16         //Watch Dog Timer PreScalar B 1:16
#FUSES WPSA512        //Watch Dog Timer PreScalar A 1:512
#FUSES PUT64          //Power On Reset Timer value 64ms
```

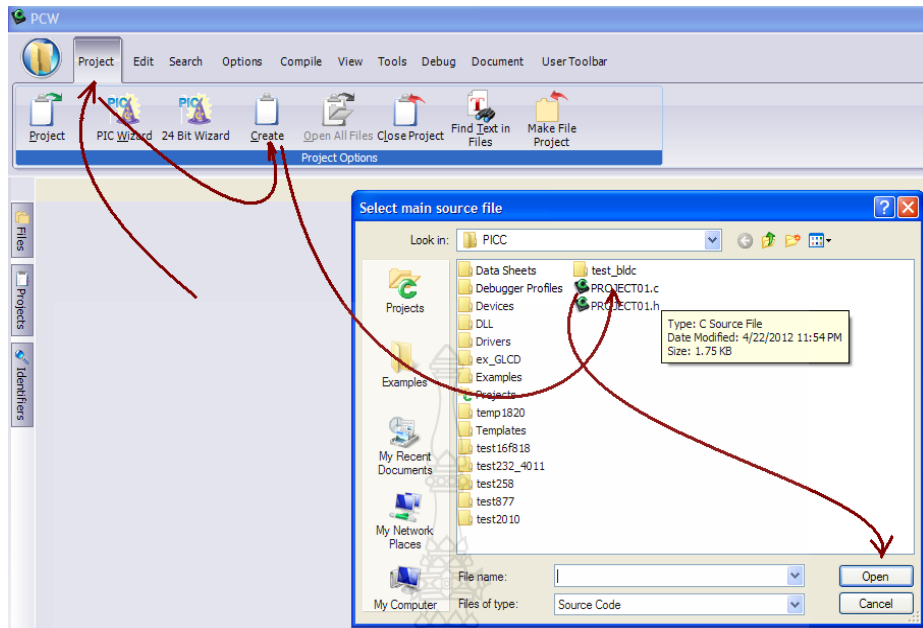
```

#FUSES NOBROWNOUT //No brownout reset
#FUSES BORV47 //Brownout reset at 4.7V
#FUSES LPOL_HIGH //Low-Side Transistors Polarity is Active-High (PWM 0,2,4 and 6)
//PWM module low side output pins have active high output polar
#FUSES HPOL_HIGH //High-Side Transistors Polarity is Active-High (PWM 1,3,5 and 7)
//PWM module high side output pins have active high output
polarity
#FUSES NOPWMPIN //PWM outputs drive active state upon Reset
#FUSES MCLR //Master Clear pin enabled
#FUSES NOPROTECT //Code not protected from reading
#FUSES NOCOE //Device will reset into operational mode
#FUSES ICS0 //ICD communication channel 0
#FUSES RESERVED //Used to set the reserved FUSE bits
#use delay (clock=10000000)
#use rs232 (UART1,baud=9600,parity=N,bits=8)
// TODO: USER CODE!!}

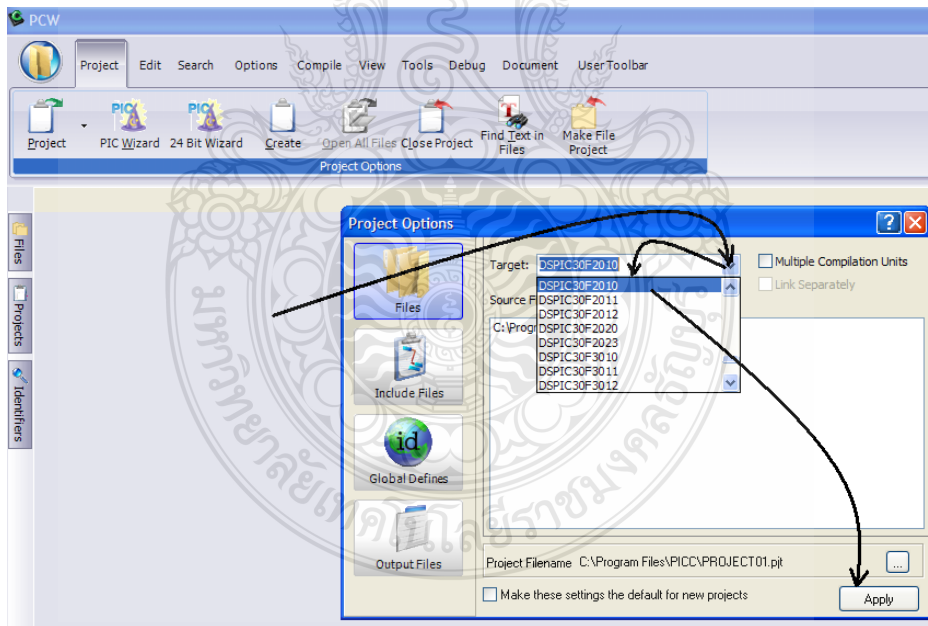
```

Manual Create Project

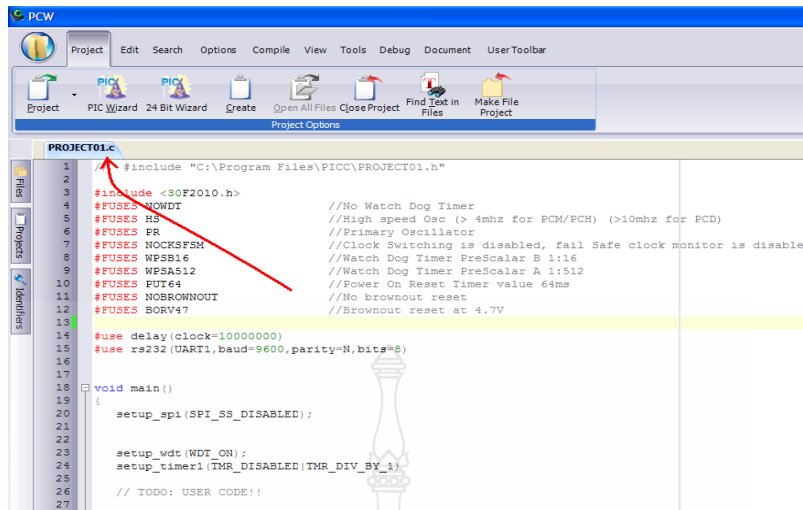
เป็นวิธีการนำ source file ที่ถูกสร้างขึ้นมาแล้ว มาประกอบรวมเป็น project อย่างไรก็ตาม จะต้องมีส่วน (function main) อยู่ใน source file ด้วยเนื่องจากกฎเกณฑ์ของภาษาซีที่ project ใดๆ ก็ตาม จะต้องใช้ (function main) ในการบริหารจัดการกับ project ทั้งหมด ขั้นตอนการ manual create project แสดงให้เห็นดังรูปที่ 2.22 2.23 และ 2.24 ตามลำดับ



รูปที่ 2.21 step 1 เส้นทางสู่ การเลือก source file

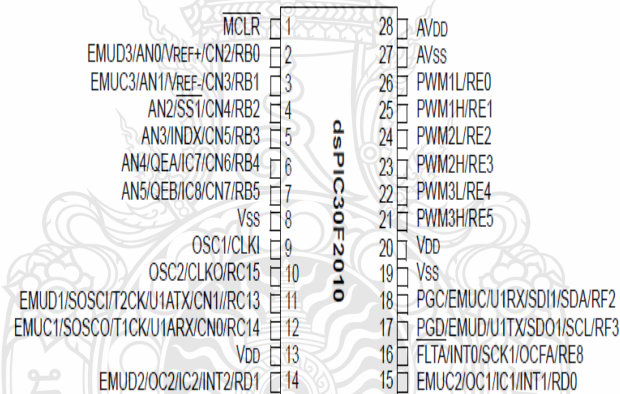


รูปที่ 2.22 เลือก Device

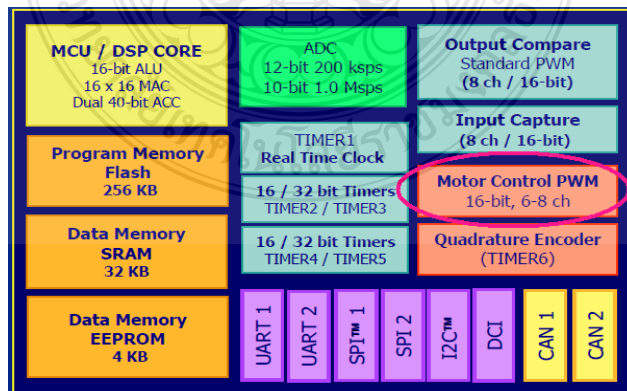


รูปที่ 2.23 การ manual create project เสร็จสมบูรณ์

2.8.2 สถาปัตยกรรมและการใช้โมดูล Power Control PWM ใน DSPIC30F2010 [12]



[ก]



[ข]

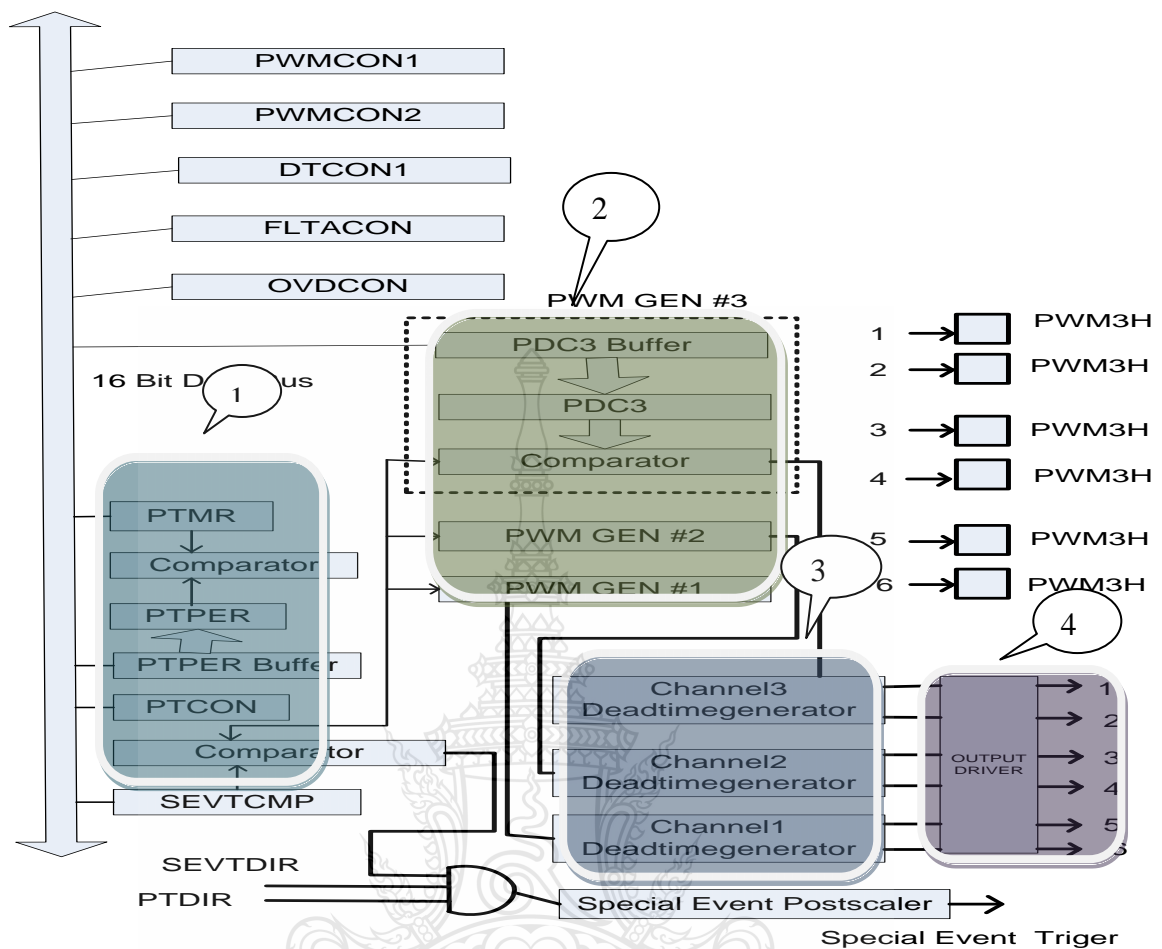
รูปที่ 2.24 ก) ลักษณะทางกายภาพของ DSPIC30F2010 ข)องค์ประกอบภายใน DSPIC30F2010

องค์ประกอบภายในของ DSPIC30F2010 ได้ออกแบบมาเพื่อรองรับกับระบบควบคุม โดยเฉพาะซึ่งองค์ประกอบดังกล่าวจะแบ่งออกเป็นกลุ่มๆ คือ

- กลุ่มที่ใช้ในการจัดเก็บลำดับคำสั่ง หน่วยประเมินผลผลและการบริหารจัดการข้อมูล เช่น MCU/DSP CORE, Program Memory, Data Memory และ Data Memory EEPROM เป็นต้น
- กลุ่มที่ใช้จัดการกับเรื่องของจำนวนนับและเวลา เช่น Timer1, Timer2, Timer3, Output Capture และ Input Capture เป็นต้น
- กลุ่มที่ใช้สำหรับเปลี่ยน สัญญาณอนาล็อกเป็นดิจิทัลคือ ADC
- กลุ่มที่ใช้ในการติดต่อสื่อสารกับอุปกรณ์ภายนอก เช่น UART1, UART2, SPI1, SPI2, I2C, CAN1 และ CAN2 เป็นต้น
- กลุ่มที่ใช้ในการออกควบคุมการทำงานของมอเตอร์ เช่น Motor Control PWM และ Quadrature Encoder ซึ่งเป็นส่วนสำคัญในการนำมาใช้ประโยชน์ในงานวิจัย ซึ่งจะอธิบายรายละเอียดใน ลำดับถัดไป

สำหรับในวิทยานิพนธ์นี้จะมุ่งไปที่การใช้โมดูล Motor Control PWM เป็นหลักซึ่งการที่จะใช้โมดูลดังกล่าว ได้อย่างมีประสิทธิภาพนั้นจำเป็นอย่างยิ่งที่จะต้องเข้าใจภาพรวมการทำงานของโมดูลให้มากที่สุด จากรูปที่ 2.26 จะเห็นได้ว่าการแบ่งการควบคุมออกเป็น 4 ส่วนด้วยกันคือ

- 1 ส่วนของการกำหนดความถี่ของสัญญาณ PWM ประกอบด้วย REGISTER PTMR, PTPER, PTCAN เป็นต้น
- 2 ส่วนของการกำหนด DUTY CYCLE คือ PDC1, PDC2 และ PDC3
- 3 ส่วนของการกำหนดค่า DEAD TIME และ DISABLE OR ENABLE สัญญาณ PWM
- 4 ส่วนของ BUFFER AND DRIVE สัญญาณ PWM



รูปที่ 2.25 Block Diagram of Motor Control PWM

โดยส่วนสำคัญในการเรียนรู้เพื่อสร้างสัญญาณ PWM แบ่งออกได้ดังนี้คือ

- หน้าที่และการใช้งาน Register
- การเปลี่ยนแปลง Duty Cycle ของสัญญาณ PWM แบบ Free running mode
- การเปลี่ยนแปลง Duty Cycle ของสัญญาณ PWM แบบ Up/Down Counting Modes
- การกำหนดค่า DEAD TIME ให้กับคู่สัญญาณ PWM ที่เป็น Complementary
- การใช้ INPUT FAULT PINS ในการป้องกันความผิดปกติในภาคขยายกำลังไฟฟ้า

Register PWMCON1

Register PWMCON1 ใช้กำหนดโหมดการทำงานของคู่สัญญาณ PWM_{XH} PWM_{XL} และใช้เป็นประตูเปิดของสัญญาณ PWM

ตารางที่ 2.10 Register PWMCON1 Upper Byte (bit8 – bit15)

U-0	U-0	U-0	U-0	R/W-0	R/W-0	R/W-0	R/W-0
-	-	-	-	PMOD4	PMOD3	PMOD2	PMOD1
Bit15	Bit14	Bit13	Bit12	Bit11	Bit10	Bit9	Bit8

ตารางที่ 2.11 Register PWMCON1 Lower Byte (Bit0 – Bit7)

U-0	U-0	U-0	U-0	R/W-0	R/W-0	R/W-0	R/W-0
PEN4H	PEN3H	PEN2H	PEN1H	PEN4L	PEN3L	PEN2L	PEN1L
Bit7	Bit6	Bit5	Bit4	Bit3	Bit2	Bit1	Bit0

BIT 15-12 Unimplement : read as 0

BIT 11-18 PMOD4:PMOD1: PWM I/O Pair Mode Bit

- 1 = PWM I/O pin pair is in the independent mode
- 0 = PWM I/O pin pair is in the complementary mode

BIT 7 – 4 PEN4H – PEN4L: PWM I/O Enable Bit

- 1 = PWMxH pin is enable for PWM output
- 0 = PWMxH pin disable I/O pin become general perpose I/O

BIT 3 – 0 PEN4L-PEN1L: PWMxL I/O Enable bit

- 1 = PWMxL pin is enable for PWM output
- 0 = PWMxL pin disable I/O pin become general perpose I/O

Register PWMCON2

Register PWMCON2 ใช้กำหนดการทำงานของสัญญาณ PWM ออกเป็น 3 กลุ่มด้วยกัน คือ

- 1 ใช้แบ่งช่วงเวลาการสร้างสัญญาณ PWM ในหนึ่งคาบเวลา
- 2 ใช้ควบคุมการอนุญาตการเปลี่ยนแปลงค่า Duty Cycle ของสัญญาณ PWM
- 3 ใช้ควบคุมความสัมพันธ์ ระหว่างหนึ่งคาบเวลากับสัญญาณ PWM

ตารางที่ 2.12 Register PWMCON2 Upper Byte (bit8 – bit15)

U-0	U-0	U-0	U-0	R/W-0	R/W-0	R/W-0	R/W-0
-	-	-	-	SEVOPS<3:0>			
Bit15	Bit14	Bit13	Bit12	Bit11	Bit10	Bit9	Bit8

ตารางที่ 2.13 Register PWMCON2 Lower Byte (bit0 – bit7)

U-0	U-0	U-0	U-0	R/W-0	R/W-0	R/W-0	R/W-0
-	-	-	-	-	IUE	OSYNC	UDIS
Bit7	Bit6	Bit5	Bit4	Bit3	Bit2	Bit1	Bit0

BIT 15 – 12 Unimplemented read as '0'

BIT 11 – 8 SEVOPS<3:0>:PWM Special Event trigger output Post scale Select Bit

1111 = 1 : 16 post scale

0001 = 1 : 2 post scale

0000 = 1 : 1 post scale

BIT 7 – 2 Unimplemented : Read as '0'

BIT 2 IUE: Immediate Update Enable bit

1 = Update to the active PDC register immediate

0 = Update to the active PDC registers are synchronize to the PWM time base

BIT 1 OSYNC : Output Override Synchronization bit

1 = Output override via the OVDCON register are synchronized to the PWM time base

0 = Output override via the OVDCON register occur on next Tcy boundary

BIT 0 UDIS: PWM Update Disable bit

1 = Updates from duty cycle and period buffer registers are disable

Register DTCON1 :

Register DTCON1 มีหน้าที่ในการกำหนดค่า Dead Time ให้กับคู่สัญญาณ

PWM_{XH} , PWM_{XL}

ตารางที่ 2.14 Register **DTCON1** Upper Byte (bit8 – bit15)

R/W-0	R/W-0	R/W-0	R/W-0	R/W-0	R/W-0	R/W-0	R/W-0
DTBPS<1:0>		DTB<5:0>					
Bit15	Bit14	Bit13	Bit12	Bit11	Bit10	Bit9	Bit8

ตารางที่ 2.15 Register **DTCON1** Lower Byte (bit0 – bit7)

R/W-0	R/W-0	R/W-0	R/W-0	R/W-0	R/W-0	R/W-0	R/W-0
DTAPS<1:0>		DTA<5:0>					
Bit7	Bit6	Bit5	Bit4	Bit3	Bit2	Bit1	Bit0

BIT 15-14 DTBPS<1:0> Dead Time Unit B Prescale select bit

11 = Clock period for Dead Time Unit B is 8 Tcy

10 = Clock period for Dead Time Unit B is 4 Tcy

01 = Clock period for Dead Time Unit B is 2 Tcy

00 = Clock period for Dead Time Unit B is Tcy

BIT 13 – 8 DTB<5:0> Unsigned 6 – bit Dead Time value for Dead Time Unit B

BIT 7 – 6 <1:0> Dead Time Unit A Prescale select bit

BIT 5 – 0 : Unsigned 6 – bit Dead Time value for Dead Time Unit A

Register FLTACON :

Register FLTACON ใช้กำหนดการหยุดการทำงานของสัญญาณ PWM กรณีเกิดความผิดปกติอย่างใดอย่างหนึ่ง เช่น กรณี Over Load เป็นต้น

ตารางที่ 2.16 Register **FLTACON** Upper Byte (bit8 – bit15)

R/W-0	R/W-0	R/W-0	R/W-0	R/W-0	R/W-0	R/W-0	R/W-0
FAOV4H	FAOV4L	FAOV3H	FAOV3L	FAOV2H	FAOV2L	FAOV1H	FAOV1L
Bit15	Bit14	Bit13	Bit12	Bit11	Bit10	Bit9	Bit8

ตารางที่ 2.17 Register FLTACON Lower Byte (bit0 – bit7)

R/W-0	U-0	U-0	U-0	R/W-0	R/W-0	R/W-0	R/W-0
FLTAM	-	-	-	FAEN4	FAEN3	FAEN2	FAEN1
Bit8	Bit7	Bit6	Bit5	Bit4	Bit3	Bit1	Bit0

BIT 15 – 8 FAOV4H – FAOV1L : Fault input A PWM Override Value

1 = The PWM Output pin is driven ACTIVE on an external input

0 = The PWM Output pin is driven INACTIVE on an external input

BIT 7 FLTAM : Fault a Mode bit

1 = The fault A input pin Function in the cycle by cycle Mode

0 = The fault A input pin latches all control pins to the program states in FLTA<15:8>

BIT 6 – 4 Unimplement read as '0'

BIT 3 FAEN: Fault input a enable bit

1 = PWM4H/PWM4L Pin pair is controlled by fault input A

0 = PWM4H/PWM4L Pin pair is not controlled by fault input A

BIT 2 FAEN: Fault input a enable bit

1 = PWM3H/PWM3L Pin pair is controlled by fault input A

0 = PWM3H/PWM3L Pin pair is not controlled by fault input A

BIT 1 FAEN: Fault input a enable bit

1 = PWM2H/PWM2L Pin pair is controlled by fault input A

0 = PWM2H/PWM2L Pin pair is not controlled by fault input A

BIT 0 FAEN: Fault input a enable bit

1 = PWM1H/PWM1L Pin pair is controlled by fault input A

0 = PWM1H/PWM1L Pin pair is not controlled by fault input A

Register FLTBCON :

Register FLTBCON ทำหน้าที่เหมือนกันกับ Register FLTACON (กรณีไมโครคอนโทรลเลอร์มีขารับสัญญาณอินพุต Fault 2 ช่อง)

ตารางที่ 2.18 Register FLTBCON Upper Byte (bit8 – bit15)

R/W-0	R/W-0	R/W-0	R/W-0	R/W-0	R/W-0	R/W-0	R/W-0
FBOV4H	FBOV4L	FBOV3H	FBOV3L	FBOV2H	FBOV2L	FBOV1H	FBOV1L
Bit15	Bit14	Bit13	Bit12	Bit11	Bit10	Bit9	Bit8

ตารางที่ 2.19 Register FLTBCON Lower Byte (bit0 – bit7)

R/W-0	U-0	U-0	U-0	R/W-0	R/W-0	R/W-0	R/W-0
FLTBM	-	-	-	FBEN4	FBEN3	FBEN2	FBEN1
Bit8	Bit7	Bit6	Bit5	Bit4	Bit3	Bit1	Bit0

BIT 15 – 8 FBOV4H – FBOV1L : Fault input A PWM Override Value

- 1 = The PWM Output pin is driven ACTIVE on an external input
- 0 = The PWM Output pin is driven INACTIVE on an external input

BIT 7 FLTBM : Fault a Mode bit

- 1 = The fault A input pin Function in the cycle by cycle Mode
- 0 = The fault A input pin latches all control pins to the program states in FLTA<15:8>

BIT 6 – 4 Unimplement read as '0'

BIT 3 FBEN: Fault input a enable bit

- 1 = PWM4H/PWM4L Pin pair is controlled by fault input B
- 0 = PWM4H/PWM4L Pin pair is not controlled by fault input B

BIT 2 FBEN: Fault input a enable bit

- 1 = PWM3H/PWM3L Pin pair is controlled by fault input B
- 0 = PWM3H/PWM3L Pin pair is not controlled by fault input B

BIT 1 FBEN: Fault input a enable bit

- 1 = PWM2H/PWM2L Pin pair is controlled by fault input B
- 0 = PWM2H/PWM2L Pin pair is not controlled by fault input B

BIT 0 FBEN: Fault input a enable bit

- 1 = PWM1H/PWM1L Pin pair is controlled by fault input B
- 0 = PWM1H/PWM1L Pin pair is not controlled by fault input B

Register PTCON :

Register PTCON ใช้กำหนดฐานเวลาให้กับสัญญาณ PWM และเป็นประตูปิดเปิดสัญญาณนาฬิกาให้กับกระบวนการสร้างสัญญาณ PWM

ตารางที่ 2.20 Register PTCON Uper Byte (bit8 – bit15)

R/W-0	R/W-0	R/W-0	R/W-0	R/W-0	R/W-0	R/W-0	R/W-0
PTEN	-	PTSIDL	-	-	-	-	-
Bit15	Bit14	Bit13	Bit12	Bit11	Bit10	Bit9	Bit8

ตารางที่ 2.21 Register PTCON Lower Byte (bit0 – bit7)

R/W-0	R/W-0	R/W-0	R/W-0	R/W-0	R/W-0	R/W-0	R/W-0
PTOPS<3:0>				PTCKPS		PTMOD	
Bit7	Bit6	Bit5	Bit4	Bit3	Bit2	Bit1	Bit0

BIT 15 PTEN :PWM Time Base Timer Enable Bit

- 1 = PWM Time Base is ON
- 0 = PWM Time Base is OFF

BIT 14 Unimplemented read is '0'

BIT 13 PTSIDL : PWM Time Base is off in idle mode bit

- 1 = PWM Time Base halts in CPU Idle Mod
- 0 = PWM Time Base Run in CPU Idle Mod

BIT 12 – 8 Unimplemented read is '0'

BIT 7 – 4 PTOPS<3:0> PWM Time Base Output Postscale Select bits

- 1111 = 1 : 16 postscale
- ↕
- 0001 = 1 : 2 postscale
- 00 = 1 : 1 postscale

BIT 3 – 2 PTCKPS<1:0> PWM Time Base Input clock prescale select bits

- 11 = PWM Time Base input clock period is 64 Tcy (1 : 64 prescale)
- 10 = PWM Time Base input clock period is 16Tcy (1 : 16 prescale)
- 01 = PWM Time Base input clock period is 4 Tcy (1 : 4 prescale)
- 00 = PWM Time Base input clock period is 1 Tcy (1 : 1 prescale)

BIT 1 – 0 PTMOD<1:0> PWM Time Base Mode Select Bits

- 11 = PWM Time Base operates in a continuous up/down mode with interrupts for double PWM update
- 01 = PWM Time Base operates in a continuous up/down counting mode
- 10 = PWM Time Base operates in single event mode
- 00 = PWM Time Base operates in a free running mode

Register PTMR

Register PTMR ใช้เป็นตัวนับค่าและเก็บค่าของสัญญาณนาฬิกาในหนึ่งรอบการทำงาน (Period)ของสัญญาณ PWM

ตารางที่ 2.22 Register PTMR Uper Byte(bit8 – bit15)

R/W-0	R/W-0	R/W-0	R/W-0	R/W-0	R/W-0	R/W-0	R/W-0
PTDIR		PTMR<14:8>					
Bit15	Bit14	Bit13	Bit12	Bit11	Bit10	Bit9	Bit8

ตารางที่ 2.23 Register PTMR Lwer Byte(bit0 – bit7)

R/W-0	R/W-0	R/W-0	R/W-0	R/W-0	R/W-0	R/W-0	R/W-0
PTMR<7:>							
Bit7	Bit6	Bit5	Bit4	Bit3	Bit2	Bit1	Bit0

BIT 15 PTDIR: PWM Time Base Count Direction Status bit (read only)

- 1 = PWM Time base is counting down
- 0 = PWM Time base is counting up

BIT 14 – 0 PTMR<14 : 0> PWM Time Base Register count value

Register PTPER

Register PTPER ใช้กำหนดค่าความถี่(Time Period)ให้กับสัญญาณ PWM

ตารางที่ 2.24 Register PTPER Uper Byte(bit8 – bit15)

R/W-0	R/W-0	R/W-0	R/W-0	R/W-0	R/W-0	R/W-0	R/W-0
-	PTPER<14:8>						
Bit15	Bit14	Bit13	Bit12	Bit11	Bit10	Bit9	Bit8

ตารางที่ 2.25 Register PTPER Lower Byte(bit0 – bit7)

R/W-0	R/W-0	R/W-0	R/W-0	R/W-0	R/W-0	R/W-0	R/W-0
PTPER<7:>							
Bit7	Bit6	Bit5	Bit4	Bit3	Bit2	Bit1	Bit0

BIT 15 Unimplemented read as '0'

BIT 14 – 0 PTPER<14:0> PWM Time Base Period value bits

Register OVDCON :

Register OVDCON ใช้กำหนดรูปแบบการส่งสัญญาณ PWM ออกทาง Output

ตารางที่ 2.26 Register PTPER Uper Byte(bit8 – bit15)

R/W-0	R/W-0	R/W-0	R/W-0	R/W-0	R/W-0	R/W-0	R/W-0
POVD4H	POVD4L	POVD3H	POVD3L	POVD2H	POVD2L	POVD1H	POVD1L
Bit15	Bit14	Bit13	Bit12	Bit11	Bit10	Bit9	Bit8

ตารางที่ 2.27 Register PTPER Lower Byte(bit0 – bit7)

R/W-0	R/W-0	R/W-0	R/W-0	R/W-0	R/W-0	R/W-0	R/W-0
POUT4H	POUT4L	POUT3H	POUT3L	POUT2H	POUT2L	POUT1H	POUT1L
Bit7	Bit6	Bit5	Bit4	Bit3	Bit2	Bit1	Bit0

BIT 15 – 8 POVD4H – POVD1L: PWM Output Override bits

1 = Output on PWMxx I/O pin is controlled by the PWM generator

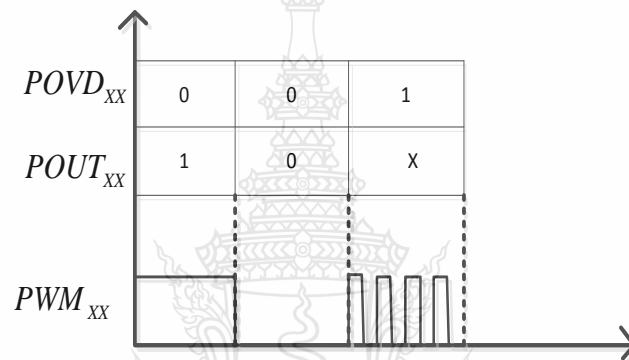
0 = Output on PWMxx I/O pin is controlled by the value in the corresponding

POUTxx Bit

BIT 7 – 0 POUT4H – POUT1L : PWM Manual output bits

1 = PWMxx I/O pin is driven Active when the corresponding POVDxx bit is cleared

0 = PWMxx I/O pin is driven InActive when the corresponding POVDxx bit is cleared



รูปที่ 2.26 ตารางแสดงความสัมพันธ์ระหว่าง POVDxx และ POUTxx

Register PDC1 PDC2 PDC3

Register PDC1 PDC2 PDC3 ใช้กำหนดค่า Duty Cycleให้แก่แต่ละคู่สัญญาณ PWM

ตารางที่ 2.28 Register PDC1 PDC2 PDC3 Uper Byte(bit8 – bit15)

R/W-0	R/W-0	R/W-0	R/W-0	R/W-0	R/W-0	R/W-0	R/W-0
PWM DUTY CYCLE<15:8>							
Bit15	Bit14	Bit13	Bit12	Bit11	Bit10	Bit9	Bit8

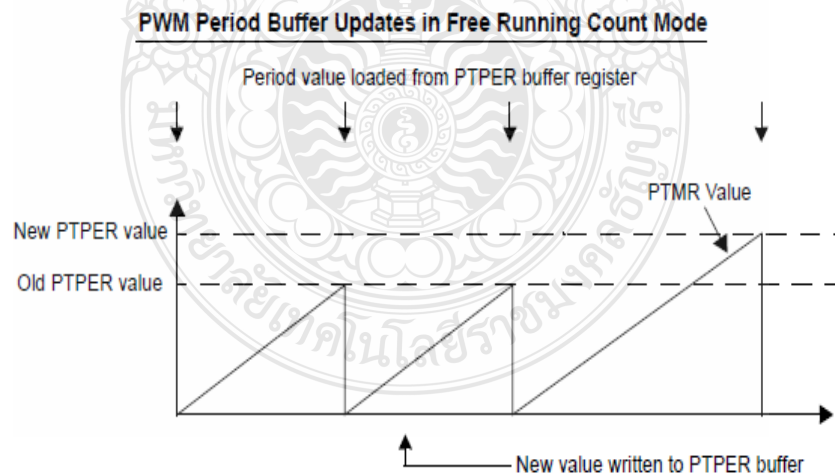
ตารางที่ 2.29 Register PDC1 PDC2 PDC3 Lower Byte(bit8 – bit15)

R/W-0	R/W-0	R/W-0	R/W-0	R/W-0	R/W-0	R/W-0	R/W-0
PWM DUTY CYCLE<7:0>							
Bit7	Bit6	Bit5	Bit4	Bit3	Bit2	Bit1	Bit0

ตารางที่ 2.30 ADDRESS ของ REGISTER ที่เกี่ยวข้องกับ MOTOR CONTROL PWM MODULE

REGISTER	ADDRESS
PTCON	0X01C0
PTMR	0X01C2
PTPER	0X01C4
PWMCON1	0X01C8
PWMCON2	0X01CA
DTCON	0X1CC
FLTA	0X1D0
FLTB	-
PDC1	0X01D6
PDC2	0X01D8
PDC3	0X01DA

การกำหนดคาบเวลาสัญญาณ PWM ที่นิยมใช้กันมีอยู่ 2 แบบ คือ Free running และ Up/Down Counting Modes ดังแสดงดังรูปที่ 2.28 และ 2.30 ตามลำดับ



รูปที่ 2.27 การเปลี่ยนแปลงคาบเวลาของสัญญาณ PWM ที่ขึ้นอยู่กับค่าใน Register PTER ในโหมด Free running

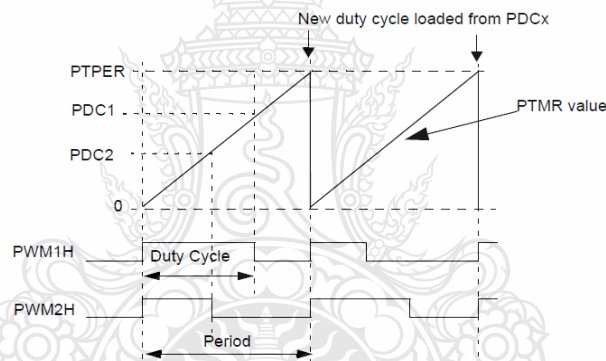
การคำนวณคาบเวลาของสัญญาณ PWM ในโหมด Free Running mode เป็นไปตามสมการที่ 2.17

$$PTPER = \frac{F_{cy}}{F_{pwm} \cdot (PTMR_{PRESCALE})} - 1 \quad (2.17)$$

ตัวอย่าง การคำนวณค่า PTPER ในโหมด Free running

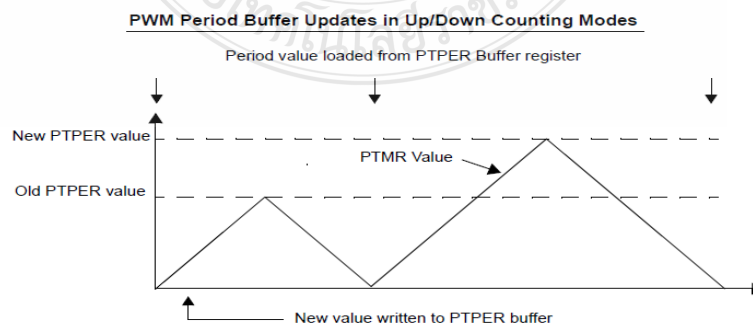
$$\begin{aligned} F_{CY} &= 20 \text{ MHz} \\ F_{PWM} &= 20,000 \text{ Hz} \\ PTMR_{PRESCALE} &= 1:1 \\ PTPER &= \frac{20,000,000}{20,000 \cdot 1} - 1 \\ &= 1000 - 1 \\ &= 999 \end{aligned}$$

การเปลี่ยนแปลง DUTYCYCLE ของสัญญาณ PWM ในโหมด Free Running mode



รูปที่ 2.28 ความสัมพันธ์ของ REGISTER PTPER,PTMR,PDC ในการกำหนด DUTY CYCLE ของสัญญาณ PWM

การเปลี่ยนแปลง DUTYCYCLE ของสัญญาณ PWM ในโหมด Up/Down Counting Modes



รูปที่ 2.29 ความถี่ หรือ คาบเวลาของสัญญาณ PWM ที่ขึ้นอยู่กับค่าใน Register PTER

$$PTPER = \frac{F_{cy}}{F_{pwm} \cdot (PTMR_{PRESCALE}) \cdot 2} - 1 \quad (2.18)$$

ตัวอย่าง การคำนวณค่า PTPER ในโหมด Up/Down Counting

$$F_{CY} = 20 \text{ MHz}$$

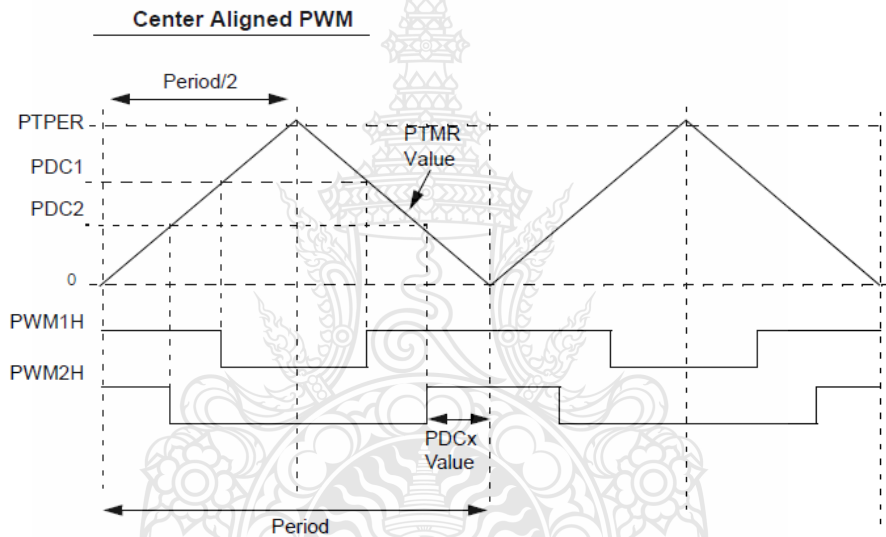
$$F_{PWM} = 20,000 \text{ Hz}$$

$$PTMR_{PRESCALE} = 1:1$$

$$PTPER = \frac{20,000,000}{20,000 \cdot 1 \cdot 2} - 1$$

$$= 500 - 1$$

$$= 499$$



รูปที่ 2.30 ความสัมพันธ์ของ Register PTPER, PTMR, PDC ในการกำหนด Duty Cycle

PWMCON1: PWM Control Register 1

Upper Byte:							
U-0	U-0	U-0	U-0	R/W-0	R/W-0	R/W-0	R/W-0
—	—	—	—	PMOD4	PMOD3	PMOD2	PMOD1
0	0	0	0	1	1	1	0

BIT 15 ← ————— → BIT 8

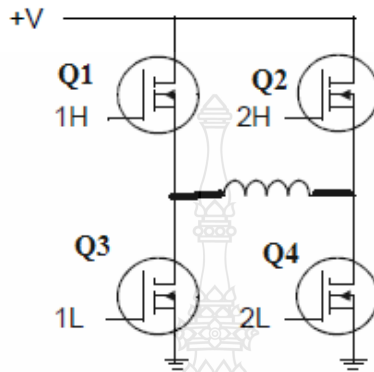
Lower Byte:							
R/W-1	R/W-1	R/W-1	R/W-1	R/W-1	R/W-1	R/W-1	R/W-1
PEN4H	PEN3H	PEN2H	PEN1H	PEN4L	PEN3L	PEN2L	PEN1L
1	1	1	1	1	1	1	1

BIT 7 ← ————— → BIT 0

รูปที่ 2.31 PMOD1 = 0 PWM1 ทำงานเป็น Complementary

การกำหนดค่า DEAD TIME ให้กับคู่สัญญาณ PWM ที่เป็น Complementary

คู่สัญญาณ PWM ที่เป็น Complementary จำเป็นที่จะต้องพิจารณาในเรื่องของค่า DEAD TIME เนื่องจากข้อจำกัดทางเวลา TURN OFF ของอุปกรณ์ ELECTRONIC SWITCHING ที่อยู่ในวงจรดังรูปที่ 2.33



รูปที่ 2.32 วงจร Switching ที่จำเป็นต้องมีค่า Dead Time

ตัวอย่าง โปรแกรมในการกำหนดค่า DEAD TIME

```
void main(void)
{
    ptper=0x007D; ptmr=0x1ff; PWMCON1=0X00FF; PWMCON2=0X0002;
    PTCON=0X8000;
    OVDCON=0XFF00;
    PDC1=PDC2=PDC3=100;
    DTCON1=0X00FF;
    while(true) { }
```

กำหนดค่า DEAD

การคำนวณค่า Dead Time

$$DT = \frac{Dead\ Time}{Pr\ escale\ value.T_{cy}} \quad (2.19)$$

โดยค่าของ DT กำหนดโดย DTA<5:0> หรือ DTB<5:0> ใน register DTCON

ตัวอย่าง การคำนวณค่า DEAD TIME จากโปรแกรม DTCON1=0X00FF;ดังแสดงในรูปที่ 2.23

DTCON1: Dead Time Control Register 1

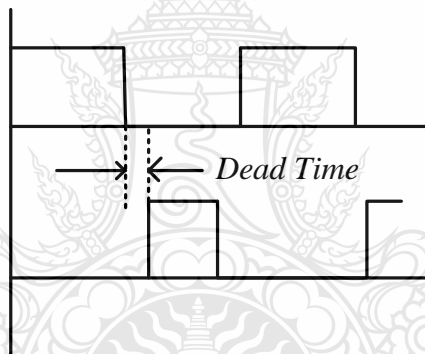
Upper Byte:							
R/W-0	R/W-0	R/W-0	R/W-0	R/W-0	R/W-0	R/W-0	R/W-0
0	0	0	0	0	0	0	0

Lower Byte:							
R/W-0	R/W-0	R/W-0	R/W-0	R/W-0	R/W-0	R/W-0	R/W-0
1	1	1	1	1	1	1	1

รูปที่ 2.33 ค่าใน Register DTCON1

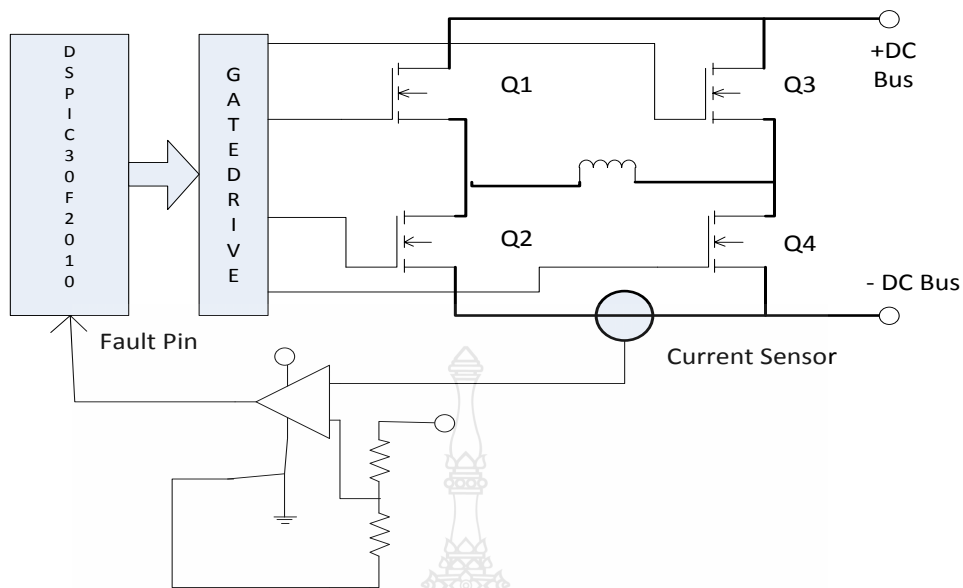
$$DT = 111111b = 64d ; \text{ Prescale} = 8 ; \text{ TCY} = 20000000/4 = 5000000$$

$$\text{Dead Time} = (1/5000000) \times 8 \times 64 = 102 \text{ usec}$$



รูปที่ 2.34 ค่า Dead Time

การใช้ INPUT FAULT PINS ในการป้องกันความผิดปกติในภาคขายกำลังไฟฟ้า INPUT FAULT PINS เป็นที่ใ้รองรับการพัฒนาโปรแกรมในการตรวจสอบความผิดปกติในส่วนของภาคขายกำลัง เช่น กระแสเกินพิกัด หรือ เกิดการลัดวงจร เป็นต้น



รูปที่ 2.35 การใช้งาน FAULT PIN

ตัวอย่างโปรแกรม การใช้งาน FAULT PIN

```

#include <30f2010.h>
#device adc=8
#Fuses XT_PLL16
#Fuses BORV27
#fuses PUT64
#fuses BROWNOUT
#FUSES MCLR
#use delay(clock=16000000,restart_wdt)
#use rs232(UART1,baud=19200,parity=N,bits=8,)
int16 PTCON;    #locate PTCON = 0x1C0
INT16 PTMR;    #LOCATE PTMR = 0X1C2
INT16 PTPER;   #LOCATE PTPER = 0X1C4
INT16 SEVTCPP; #LOCATE SEVTCPP = 0X1C6
INT16 PWMCON1; #locate PWMCON1 = 0x1c8
INT16 PWMCON2; #locate PWMCON2 = 0x1ca

```

```
INT16 DTCON1; #LOCATE DTCON1 = 0X1CC
```

ประกาศตัวแปรเพื่อการเข้าถึง
ข้อมูลใน Register

```
INT16 FLTACON;  
#LOCATE FLTACON = 0X1D0
```

```
INT16 OVDCON; #LOCATE OVDCON = 0X1D4
```

```
INT16 PDC1; # INT16 PDC2;
```

```
#LOCATE PDC2 = 0X1D8
```

```
INT16 PDC3; #LOCATE PDC3 = 0X1DA
```

```
void main(void)
```

```
{
```

```
ptper=0x0080;
```

```
PWMCON2=0X0F00; PWMCON1=0X00FF;
```

```
PWMCON2=0X0F00; PTCON=0X8000;
```

```
OVDCON=0XFF00; PDC1=PDC2=PDC3=0;
```

```
FLTACON=0x000F;
```

```
while(true)
```

```
{ restart_wdt();
```

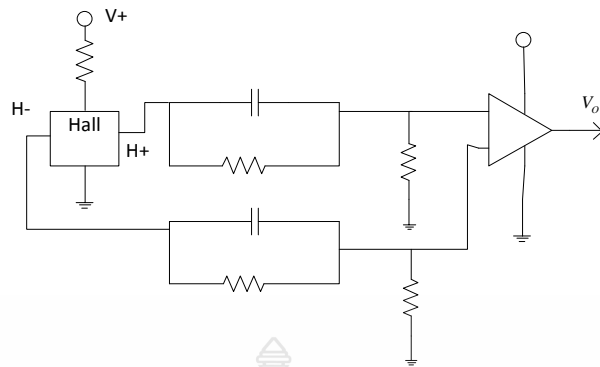
```
}}
```

กำหนดการทำงานให้กับ
Input Fault Pin(FLTA)

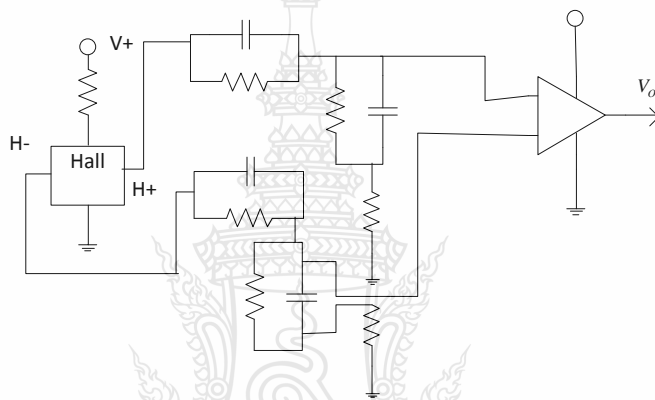
2.9 เอกสารงานวิจัยที่เกี่ยวข้อง

[1] Chun-Lung Chiu, Yie-Tone Chen, Yu-Hsiang Shen, and Ruey-Hsun Liang “An Accurate Automatic Phase Advance Adjustment of Brushless DC Motor” Department of Electrical Engineering, National Yunlin University of Science and Technology

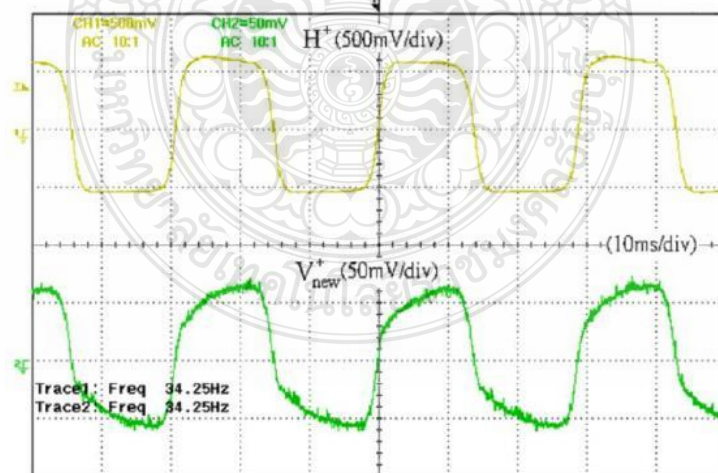
นำเสนอการเพิ่มประสิทธิภาพ และ แรงบิดของ Brushless DC Motor โดยการสร้างวงจร ส่วนชดเชยมุมเฟสก้าวหน้า (Phase Advance Circuit) โดยทำการแยกฮาร์มอนิกจากสัญญาณของ ตัวตรวจจับการเปลี่ยนแปลงของสนามแม่เหล็ก (Hall Sensor Signal) เพื่อให้สัญญาณเอาต์พุตของ Hall Sensor ที่ได้มีการชดเชยมุมเฟสก้าวหน้าที่เหมาะสมในทุกๆ ย่านความเร็วของมอเตอร์



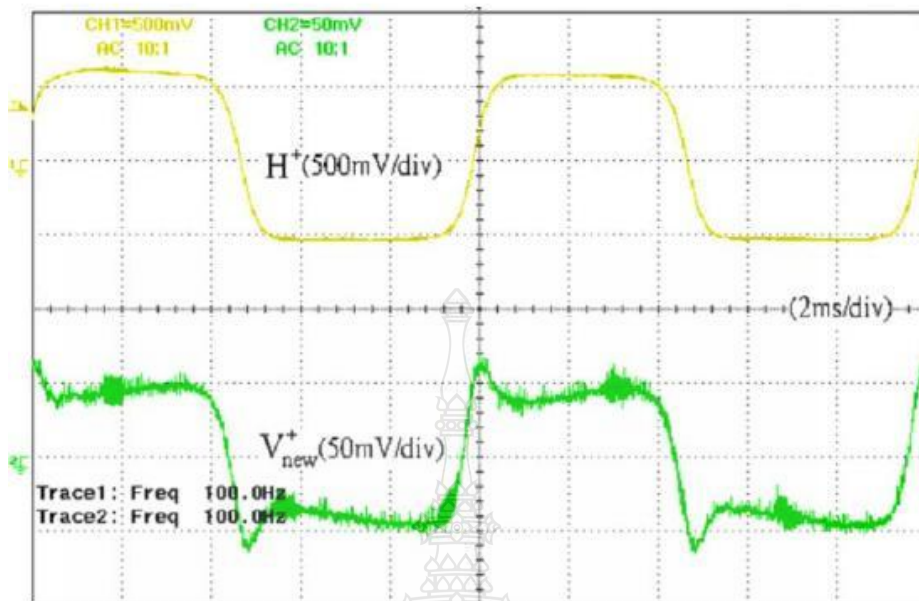
รูปที่ 2.36 วงจรชดเชยมุมเฟสก้าวหน้าโดยทั่วไป (Conventional phase advance circuit)



รูปที่ 2.37 วงจรชดเชยมุมเฟสก้าวหน้าที่นำเสนอ (Proposed phase advance circuit)



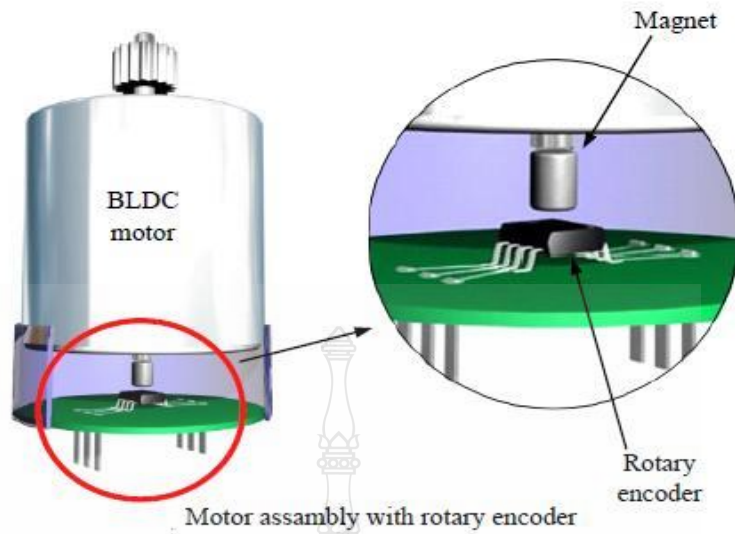
รูปที่ 2.38 ผลการทดลองสัญญาณเอาต์พุตของ Hall Sensor ที่ได้จากวงจรชดเชยมุมเฟสก้าวหน้า
ทั่วไป



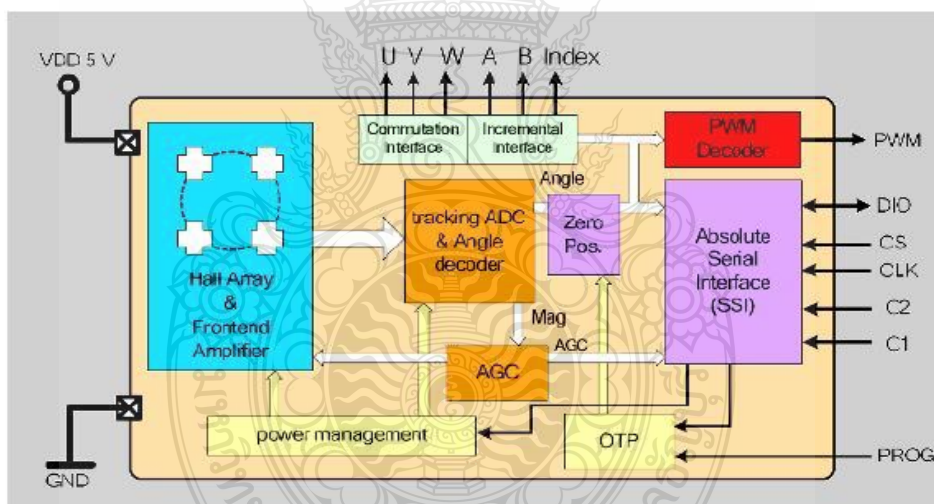
รูปที่ 2.39 ผลการทดลองสัญญาณเอาต์พุตของ Hall Sensor ที่ได้จากวงจรชดเชยมุมเฟสก้าวหน้าที่นำเสนอ

[2] RÓBERT ISTVÁN LŐRINCZ, MIHAI EMANUEL BASCH, DAVID CRISTEA, IVAN BOGDANOV, VIRGIL TIPONUT "Hardware Implementation of Field-Weakening BLDC Motor Control" Electronics and Telecommunications "Politehnica" University of Timișoara

ได้นำเสนอวิธีการขับมอเตอร์กระแสตรงไร้แปรงถ่านแบบมีตัวป้อนกลับตำแหน่งของแกนหมุน (Sensored BLDC) แบบมีการชดเชยมุมเฟสก้าวหน้า (Phase advance angle or Field weakening) โดยใช้ตัวบอกตำแหน่งแกนหมุนของมอเตอร์ที่สามารถเปลี่ยนแปลงจุดอ้างอิงตำแหน่งศูนย์องศาของแกนมอเตอร์ได้ (Programmable Rotary Encoder) นั้นหมายถึงว่าตัว Rotary Encoder สามารถปรับมุมเฟสให้กับตัวคอนโทรลเลอร์ ในการขับมอเตอร์แบบมีการชดเชยมุมเฟสก้าวหน้า หรือ ล้าหลัง (Advance angle Or Restart angle) ก็ได้



รูปที่ 2.40 มอเตอร์กระแสตรงไร้แปรงถ่านใช้ Programmable rotary encoder บอกตำแหน่งของแกนหมุน



รูปที่ 2.41 Block diagram programmable rotary encoder

Programmable rotary encoder จะสร้างสัญญาณบอกตำแหน่งของแกนหมุน เป็น U V W ซึ่งก็คือ H_A H_B และ H_C เมื่อเทียบกับการใช้ Hall sensor บอกตำแหน่งแกนหมุนนั่นเอง

ตัวอย่าง

ถ้าตำแหน่งศูนย์ของแกนหมุนสอดคล้องกับ $\alpha_0 = 50^\circ$ ดังนั้นค่าของมุมที่อ่านได้จาก Rotary encoder (α_c) จะต้องลบด้วย 50° อธิบายได้ด้วยสมการ 2.20

$$\alpha_r = \alpha_e - \alpha_0 \quad (2.21)$$

โดยให้

α_r ค่าองศาทางกลของแกนหมุนปัจจุบัน

α_e ค่าองศาที่อ่านได้จาก Encoder

ดังนั้นเมื่อพิจารณาจำนวนคู่ขั้วแม่เหล็ก(Pole pair)แล้วจะได้ค่าการชดเชยมุมเฟสล่วงหน้าเป็น

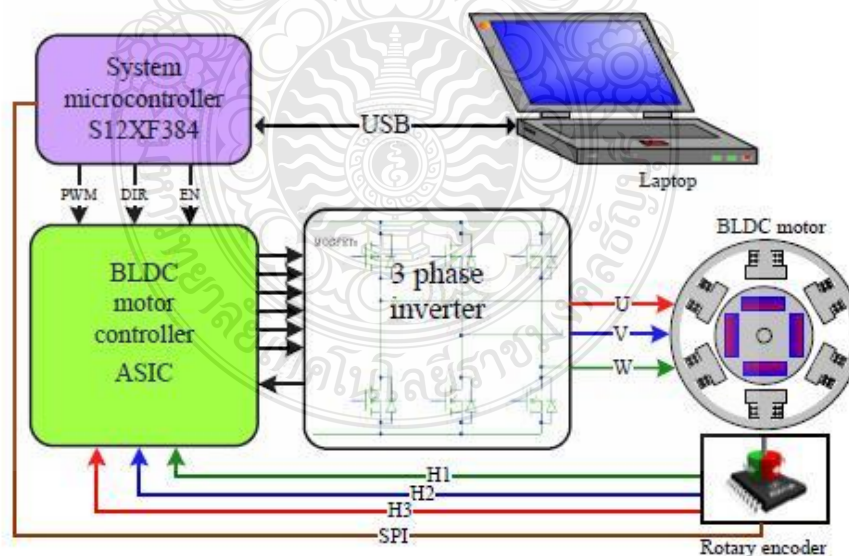
$$\alpha_r = \alpha_e - \left(\alpha_0 - \frac{\alpha_{advance}}{polepair} \right) \quad (2.22)$$

โดยให้

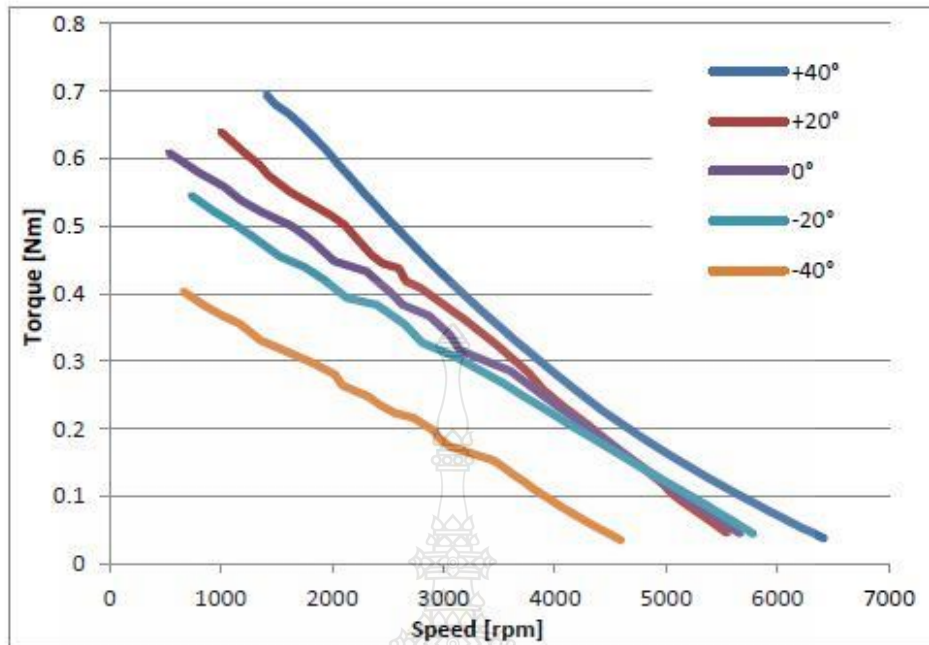
$\alpha_{advance}$ เป็นค่าชดเชยมุมเฟสล่วงหน้า

ดังนั้นเราจะได้มุม α_0 ใหม่ที่มีการบวกค่าของมุมเฟสก้าวหน้า เป็น α'_0

$$\alpha'_0 = \alpha_0 + \frac{\alpha_{advance}}{Polepair} \quad (2.23)$$



รูปที่ 2.42 ระบบชดเชยมุมเฟสก้าวหน้าโดยใช้ Programmable Rotary Encoder



รูปที่ 2.43 ผลการทดสอบระบบซดเซมมูมเฟสโดยใช้ Programmable Rotary Encoder

[3] S.K. Safi, PhD, P.P. Acarnley, PhD, CEng, FIEE , A.G. Jack, PhD, CEng, MIEE “Analysis and simulation of the high-speed torque performance of brushless DC motor drives “

ได้นำเสนอแบบจำลองเพื่อใช้ในการทำนาย สมรรถนะของชุดขับเคลื่อนมอเตอร์ กระแสตรงไร้แปรงถ่าน ในย่านการทำงานที่ให้ แรงบิด และ ความเร็ว สูง โดยชุดขับเป็น อินเวอร์เตอร์แบบ PWM ในโหมด 120 และ 180 องศา ด้วยวิธีการ Advance Commutation Angle ซึ่งเป็นองค์ประกอบที่มีความสำคัญมากต่อสมรรถนะทางด้าน ความเร็ว และ แรงบิด ของมอเตอร์ โดยมีการนำเสนอการวิเคราะห์ค่ามุมเฟสก้าวหน้าที่เหมาะสมในแต่ละย่านความเร็ว ด้วยวิธีการลองผิด ลองถูก โดยอธิบายภายใต้กระบวนการจำลอง

บทที่ 3

ขั้นตอนการดำเนินงานวิจัย

3.1 บทนำ

การดำเนินงานในการศึกษาพฤติกรรมของมอเตอร์กระแสตรงไร้แปรงถ่านในย่านกำลังคงที่ด้วยหลักการชดเชยมุมเฟสก้าวหน้า 3 ขั้นตอนหลัก ๆ ด้วยกันคือ

- 1 ศึกษาทฤษฎีที่เกี่ยวข้อง ทั้งทางด้านกายภาพ และ ทางด้านคณิตศาสตร์ของมอเตอร์กระแสตรงไร้แปรงถ่าน

- 2 ใช้โปรแกรม MatLab/Simulink ในการสร้างแบบจำลองทางคณิตศาสตร์เพื่อศึกษาพฤติกรรมต่าง ๆ ของมอเตอร์และนำข้อมูลที่ได้ มาศึกษาหลักการและความเป็นไปได้ในการออกแบบระบบควบคุมให้มอเตอร์สามารถทำงานในย่านกำลังคงที่ได้

- 3 ศึกษาแนวทางการสร้างระบบควบคุมที่สามารถใช้ทดสอบแสดงผลการทำงานของมอเตอร์ให้สอดคล้องกับผลที่ได้จากการจำลองด้วยโปรแกรม MatLab/Simulink ซึ่งการศึกษาข้อมูลในขั้นตอนนี้จะประกอบไปด้วยสองส่วนหลักๆ ด้วยกันคือ ทางด้านการออกแบบแผงวงจรควบคุม (Hardware) และ ทางด้านการพัฒนาโปรแกรมระบบควบคุม รวมไปถึง พัฒนาโปรแกรมที่ใช้ติดต่อกับคอมพิวเตอร์ (Graphic User Interface) เพื่อความสะดวกในการศึกษาและการวิเคราะห์ข้อมูล เพื่อนำไปเปรียบเทียบกับผลที่ได้จากการจำลองด้วยโปรแกรม MathLab Simulink ต่อไป



รูปที่ 3.1 ขั้นตอนการดำเนินงานวิจัย

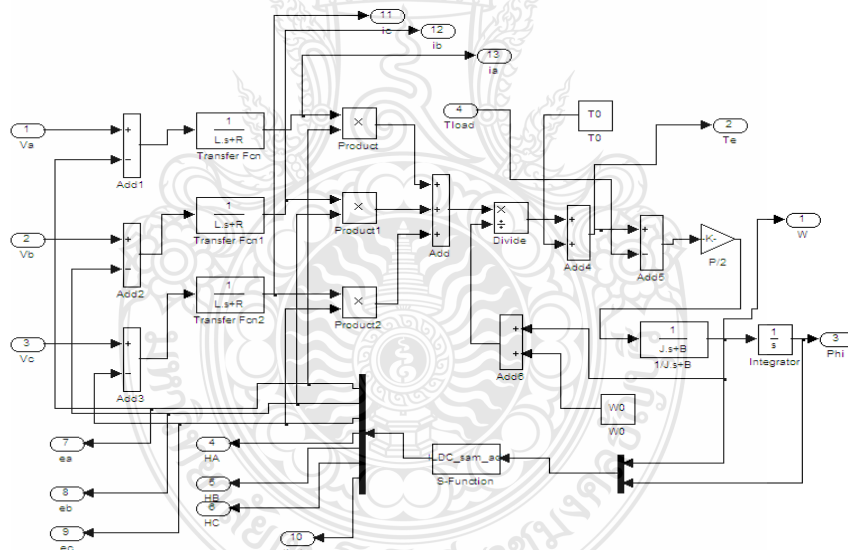
3.2 การสร้างระบบจำลองทางคณิตศาสตร์เพื่อศึกษาพฤติกรรมของมอเตอร์กระแสตรงไร้แปรงถ่าน (Brushless DC Motor) ในย่านกำลังคงที่ด้วยหลักการชดเชยมุมเฟสก้าวหน้า [13] [14]

ระบบจำลองทางคณิตศาสตร์ของ BLDC Motor สามารถแบ่งออกเป็น 4 ส่วนได้ดังนี้

3.2.1 แบบจำลองทางคณิตศาสตร์มอเตอร์กระแสตรงไร้แปรงถ่าน (Brushless DC Motor Mathematical Model)

แบบจำลองทางคณิตศาสตร์ของมอเตอร์กระแสตรงไร้แปรงถ่าน (Brushless DC Motor Math Model) ประกอบด้วย

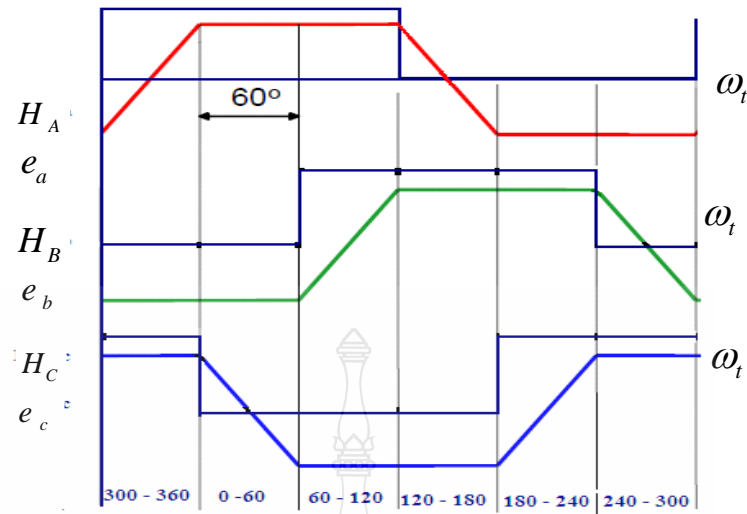
1. ส่วนที่รับสัญญาณทางเข้า (Input Signal) คือ แรงที่ป้อนให้กับมอเตอร์ ($V_a V_b V_c$) และแรงบิดโหลด (Load Torque)
2. ส่วนที่ส่งสัญญาณออกภายนอก (Output Signal) ได้แก่ แรงดันต้านกลับ ($e_a e_b e_c$) ความเร็วทางไฟฟ้าของสนามแม่เหล็กหมุน (ω_e) ความเร็วทางกล (ω) สัญญาณ Hall Effect ($H_A H_B H_C$) และแรงบิดทางไฟฟ้า (T_e)



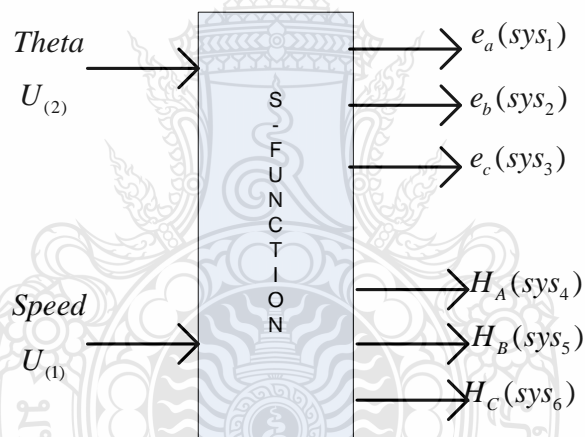
รูปที่ 3.2 แบบจำลองมอเตอร์ไฟฟ้ากระแสตรงไร้แปรงถ่าน

3.2.2 สร้าง S-Function แรงดันต้านกลับ (Back EMF) และสัญญาณ Hall sensor

S-Function ทำหน้าที่ในการรับค่าตำแหน่งส่วนหมุนของมอเตอร์ (Rotor Position) และความเร็วของมอเตอร์ (Motor Speed) ในการประเมินผล สร้างสัญญาณแรงดันต้านกลับ ($e_a e_b e_c$) และสัญญาณ Hall Sensor ($H_A H_B H_C$)



[ก] กราฟแรงดันต้านกลับ และ สัญญาณ Hall



[ข] อินพุต เอาท์พุทของ S – Function

รูปที่ 3.3 S – Function แรงดันต้านกลับ และ สัญญาณ Hall Sensor

รูปแบบของโปรแกรมใน S – Function ในส่วนของแรงดันต้านกลับ (รายละเอียดของคำสั่งใน S – Function ดูได้จากภาคผนวก ง)

$$\text{Sys (1) = LA*N*BM*RI*Rr*u (1);}$$

$$\text{sys (2) = LB*N*BM*RI*Rr*u (1);}$$

$$\text{sys (3) = LC*N*BM*RI*Rr*u (1);}$$

โดยให้

Sys (1) เป็น แรงดันต้านกลับของเฟส A

Sys (2) เป็น แรงดันต้านกลับของเฟส B

Sys (3) เป็น แรงดันต้านกลับของเฟส C

$N \cdot B \cdot R_l \cdot R_r$ เป็นค่าคงที่ของแรงดันต้านกลับ (K_w)

L_A, L_B, L_C เป็นค่าตัวคูณที่มุม θ ใด ๆ ของเฟส A, B และ C

(U1) เป็นความเร็วมอเตอร์

ตัวอย่างโปรแกรมใน s-function กำหนดค่า Hall Sensor ที่ 0 – 60 องศา

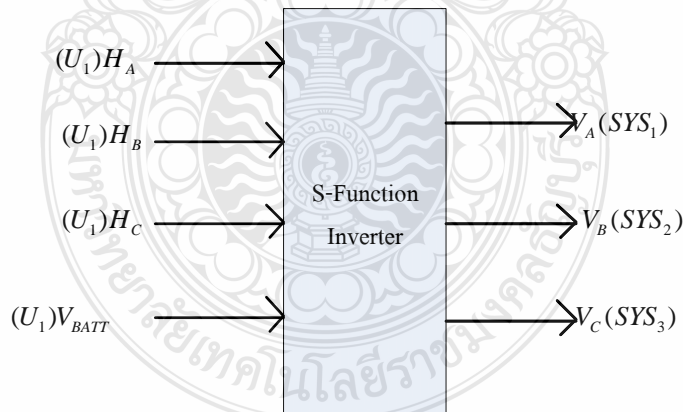
sys(4) = 5; HALL A

sys(5) = 0; HALL B

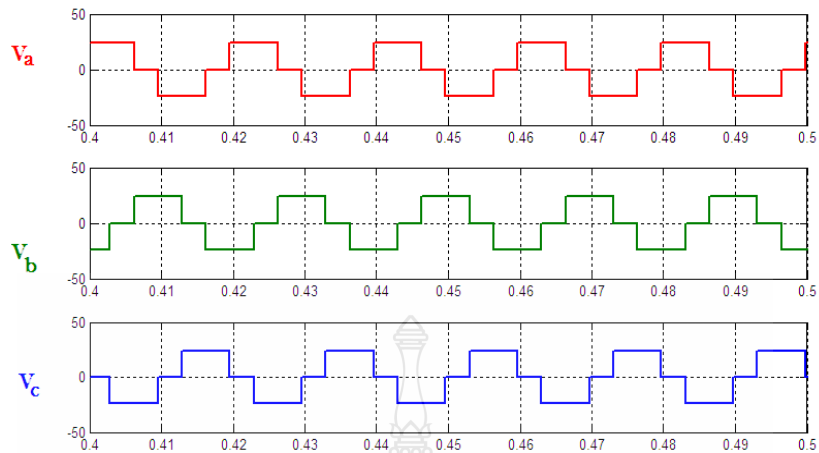
sys(6) = 0; HALL C

3.2.3 การสร้าง S-Function Inverter

โดย S-Function ทำหน้าที่ในการรับสัญญาณสัญญาณจาก Hall Effect ($H_A H_B H_C$) และ ค่าแรงดันที่จ่ายให้กับมอเตอร์ (V_{batt}) เพื่อประเมินผลสร้างแรงดันที่จ่ายให้กับมอเตอร์ ($V_A V_B V_C$)



[ก] S-Function Inverter



[ข] เอาท์พุท S-Function V_a, V_b, V_c

รูปที่ 3.4 S – Function Inverter

ตัวอย่างโปรแกรมใน S-Function บางส่วนในการสร้าง $V_A V_B V_C$ ที่ $H_a = 0; H_b = 0; H_c = 0;$

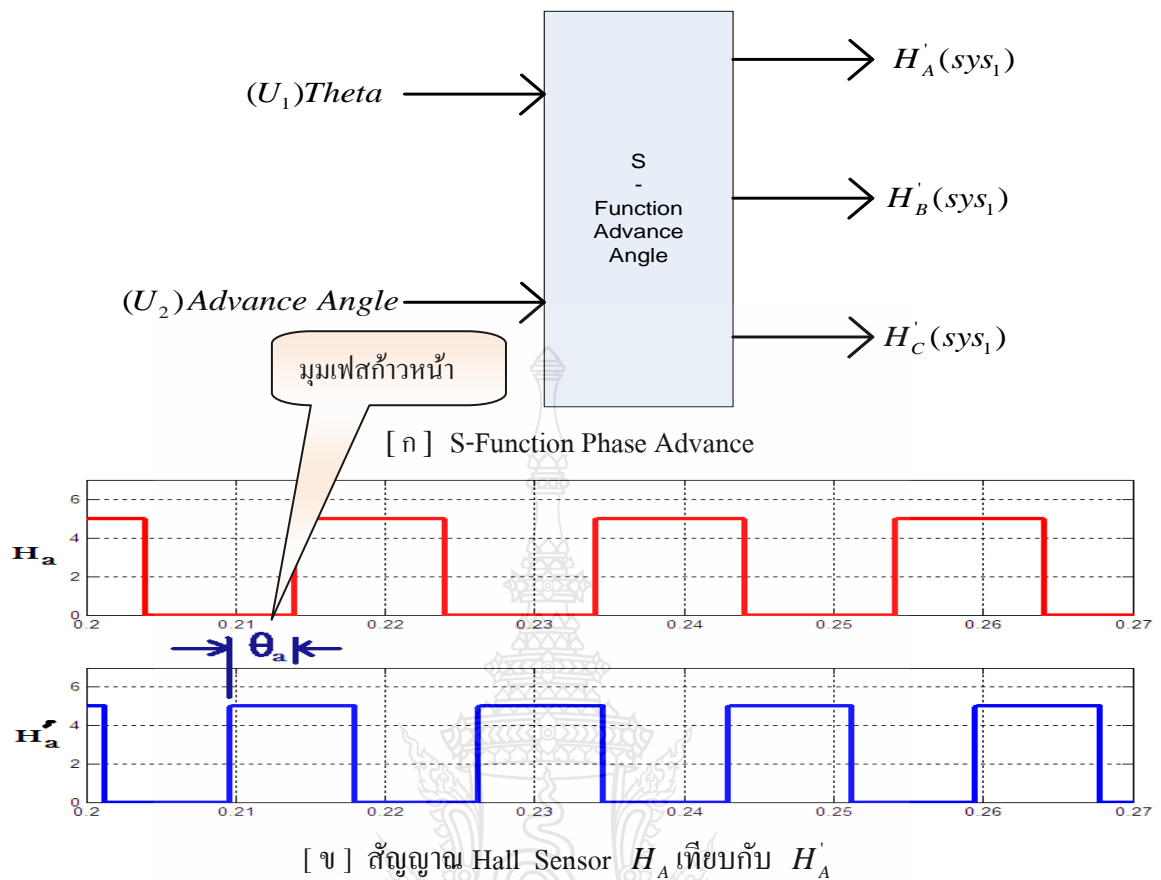
```

if(ha>0 & hb==0 & hc==0)%100
if(vb > vmax)
vb=vmax;
end
sys(1)=vb;
sys(2)=-vb;
sys(3)=0;
end

```

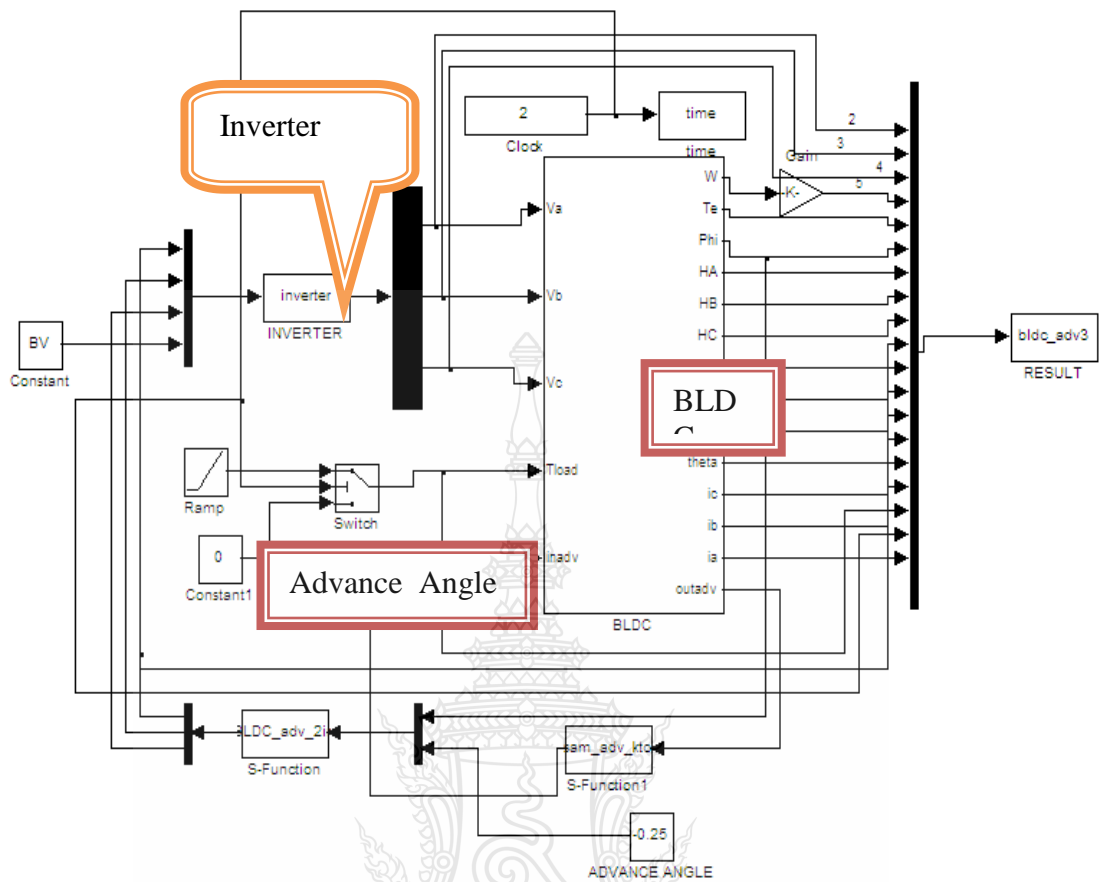
3.2.4 การสร้าง S-Function ส่วนชดเชยมุมเฟสก้าวหน้า

โดย S-Function ทำหน้าที่ในการรับค่าตำแหน่งส่วนหมุนของมอเตอร์ (Rotor Position) และ ค่ามุม Advance Angle เพื่อประเมินผลสร้างสัญญาณ $H'_A H'_B H'_C$



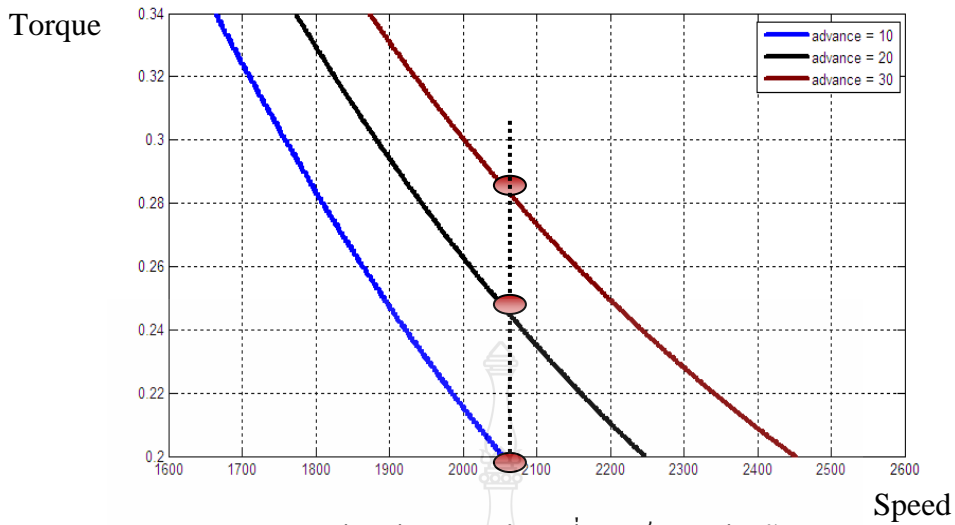
รูปที่ 3.5 S-Function Phase Advance

ขั้นตอนถัดไปหลังจากทำการสร้างแบบจำลอง ทั้ง 4 ส่วนในข้างต้น คือ แบบจำลองมอเตอร์กระแสตรงไร้แปรงถ่าน (Brushless DC Motor Math Model) แบบจำลองอินเวอร์เตอร์ (S – Function Inverter) แบบจำลอง Back EMF (S-Function Back EMF & Hall sensor) และแบบจำลอง ตัวชดเชยมุมเฟสก้าวหน้า (S – Function Advance Angle) ตามลำดับ มาประกอบเป็นระบบจำลองทางคณิตศาสตร์เพื่อศึกษาพฤติกรรมของมอเตอร์กระแสตรงไร้แปรงถ่าน (Brushless DC Motor) ในย่านกำลังคงที่ด้วยหลักการชดเชยมุมเฟสก้าวหน้า ดังแสดงดังรูปที่ 3.6

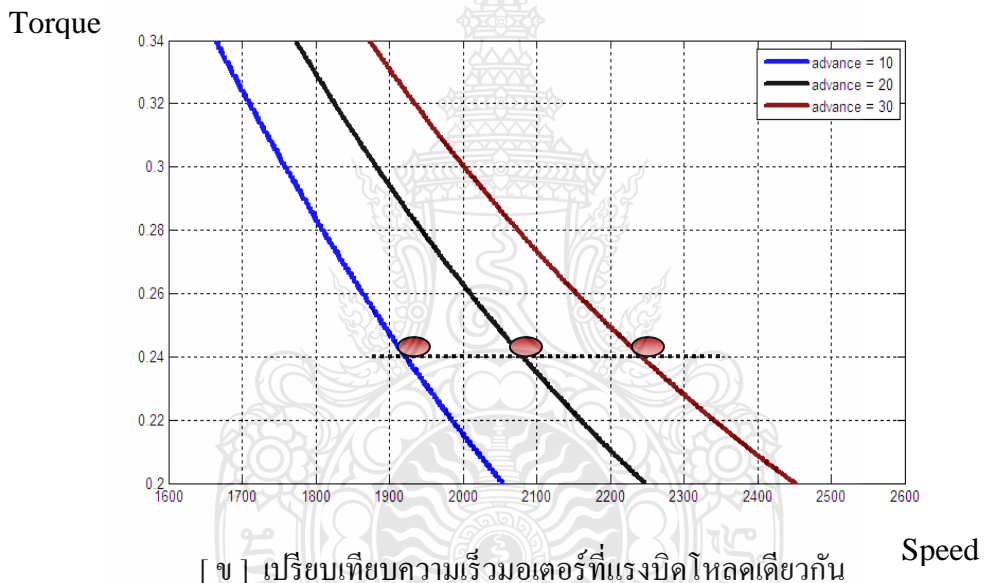


รูปที่ 3.6 แบบจำลองมอเตอร์กระแสตรงไร้แปรงถ่านที่มีการชดเชยมุมเฟสก้าวหน้า

จำลองการทำงานของมอเตอร์กระแสตรงไร้แปรงถ่านโดยอินพุตค่ามุมเฟสก้าวหน้าที่ 10 20 และ 30 องศาตามลำดับ โดยมอเตอร์ มีพารามิเตอร์ที่สำคัญดังนี้ แรงดันที่จ่ายให้กับมอเตอร์ (VB) = 24 VDC ความต้านทานของชุดขดลวดมอเตอร์ (R) = 1.5 Ω ค่าความเหนี่ยวนำของชุดขดลวดมอเตอร์ (L) = 1.92 mH จำนวนขั้วแม่เหล็ก (P) = 48 Pole ค่าโมเมนต์ความเฉื่อยที่เพลามอเตอร์ (J) = 1×10^{-4} kgm² ค่าสัมประสิทธิ์ความหน่วงที่เพล (B) = 1×10^{-4} จำนวนขั้วแม่เหล็ก (P) = 4, ค่าคงที่ (Kw) = 0.0545 และ แรงบิดโหลด (TL) = 0 – 0.5 Nm ผลการจำลองที่ได้แสดงดังรูปที่ 3.7



[ก] เปรียบเทียบแรงบิดโหลดที่ความเร็วรอบเดียวกัน



[ข] เปรียบเทียบความเร็วมอเตอร์ที่แรงบิดโหลดเดียวกัน

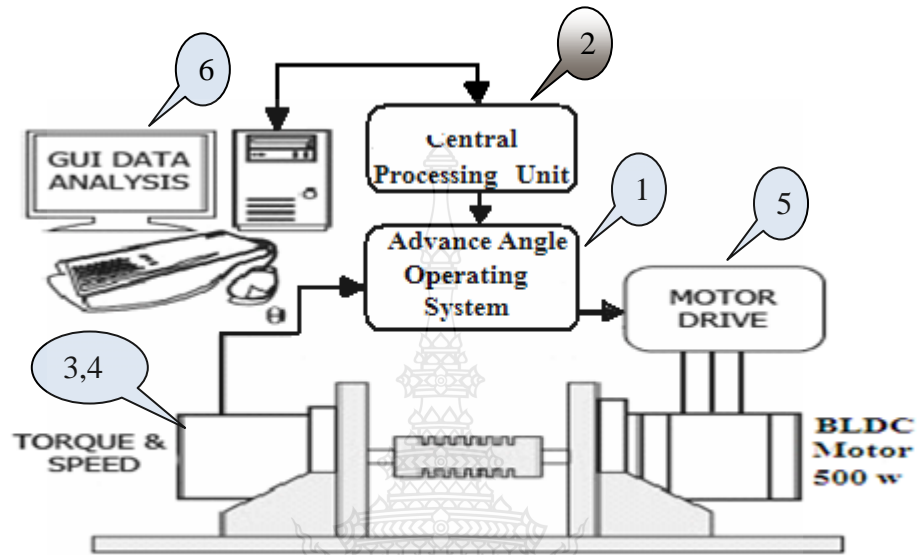
รูปที่ 3.7 ผลที่ได้จากการจำลองการชดเชยมุมเฟสก้าวหน้า

3.3 ชุดทดสอบระบบชดเชยมุมเฟสก้าวหน้ามอเตอร์ไฟฟ้ากระแสตรงไร้แปรงถ่านพิกัด 500 W 48 volt

หลังจากที่ได้ศึกษาความเป็นไปได้จากแบบจำลองจนได้ข้อสรุปถึงความเป็นไปได้แล้วก็ทำการออกแบบสร้างแผงควบคุมตามองค์ประกอบต่าง ๆ ในแบบจำลองดัง รูปที่ 3.8 และ 3.9 ซึ่งมีองค์ประกอบหลักดังนี้

- 1 หน่วยชดเชยมุมเฟสก้าวหน้า (Advance Angle Operating System)
- 2 หน่วยประเมินผลกลาง (Central Processing Unit)
- 3 หน่วยวัดความเร็วมอเตอร์ (Speed Sensor Unit)

- 4 หน่วยปรับแรงบิด โทลด์ (Torque Control Unit)
- 5 หน่วยควบคุมการขับเคลื่อนมอเตอร์ (Motor Drive Unit)
- 6 หน่วยติดต่อสื่อสารกับคอมพิวเตอร์ (GUI Data Analysis)



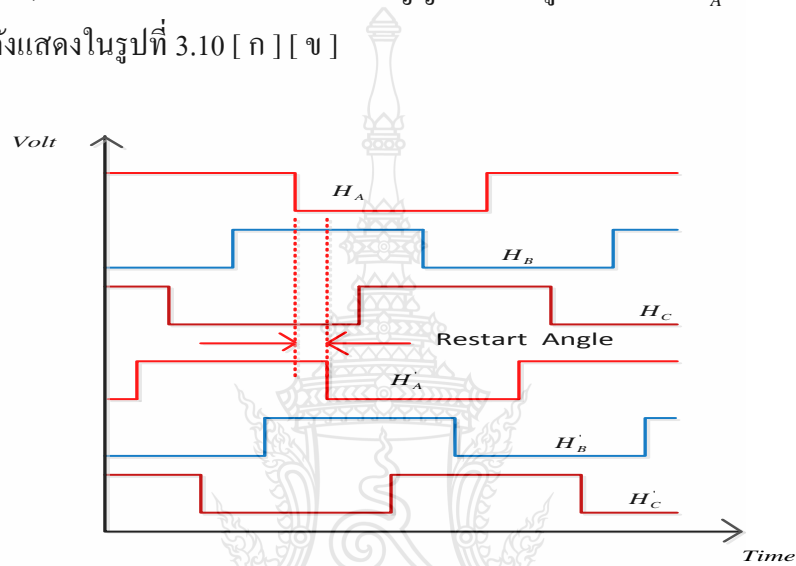
รูปที่ 3.8 องค์ประกอบชุดทดสอบมอเตอร์ไฟฟ้ากระแสตรงไร้แปรงถ่านพิกัด 500 W 48 volt



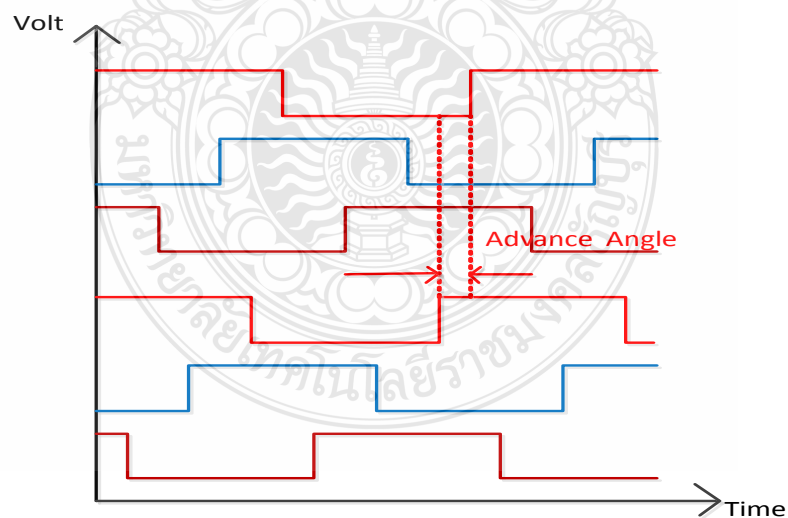
รูปที่ 3.9 ชุดทดสอบมอเตอร์ไฟฟ้ากระแสตรงไร้แปรงถ่านพิกัด 500 W 48 VDC

3.3.1 หน่วยประเมินผลระบบชดเชยมุมเฟสก้าวหน้า

ระบบปฏิบัติการ การชดเชยมุมเฟสก้าวหน้า มีหน้าที่ในการปรับแต่งสัญญาณอินพุต ที่ได้ จาก Hall Sensor H_A H_B และ H_C แล้วส่งออกทางเอาต์พุตเป็น H'_A H'_B และ H'_C โดยการทำให้เกิดการต่างเฟสกันระหว่างคู่สัญญาณ H_A กับ H'_A H_B กับ H'_B และ H_C กับ H'_C ตามลำดับ โดยรับคำสั่งมุมต่างเฟสจากคอมพิวเตอร์ (GUI Data Analysis) ผ่านหน่วยประเมินผลกลาง (Central Processing Unit) โดยลักษณะการต่างเฟสของสัญญาณมีสองรูปแบบคือ H'_A ล้าหลัง และ H'_A นำหน้า H_A ดังแสดงในรูปที่ 3.10 [ก] [ข]

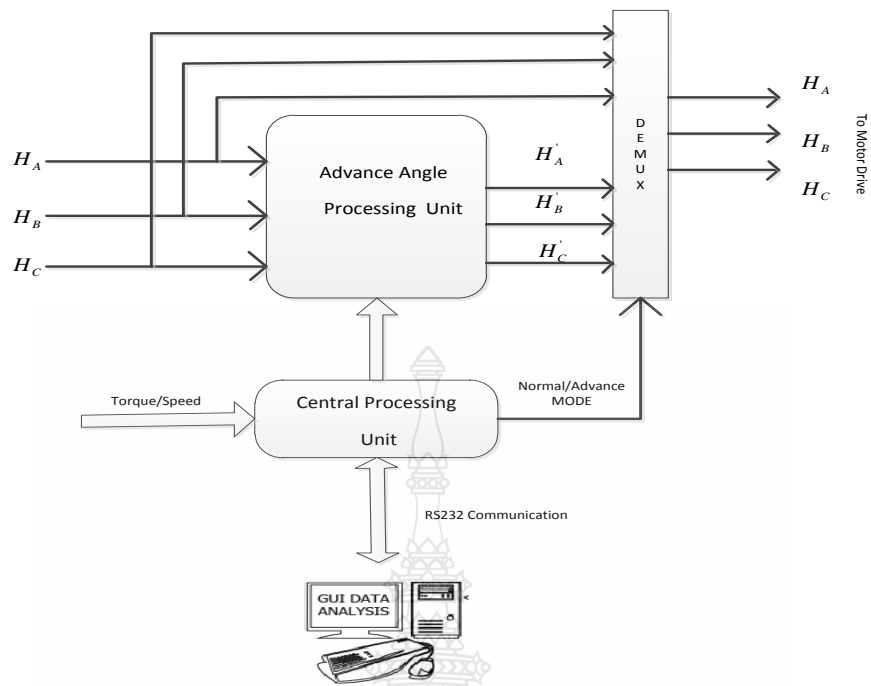


[ก]

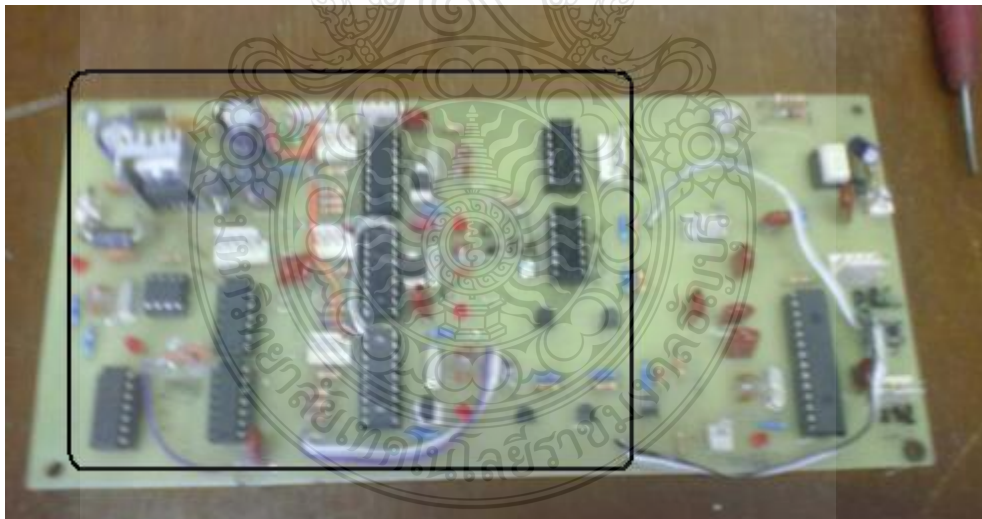


[ข]

รูปที่ 3.10 ก) H'_A ล้าหลัง H_A ข) H'_A นำหน้า H_A

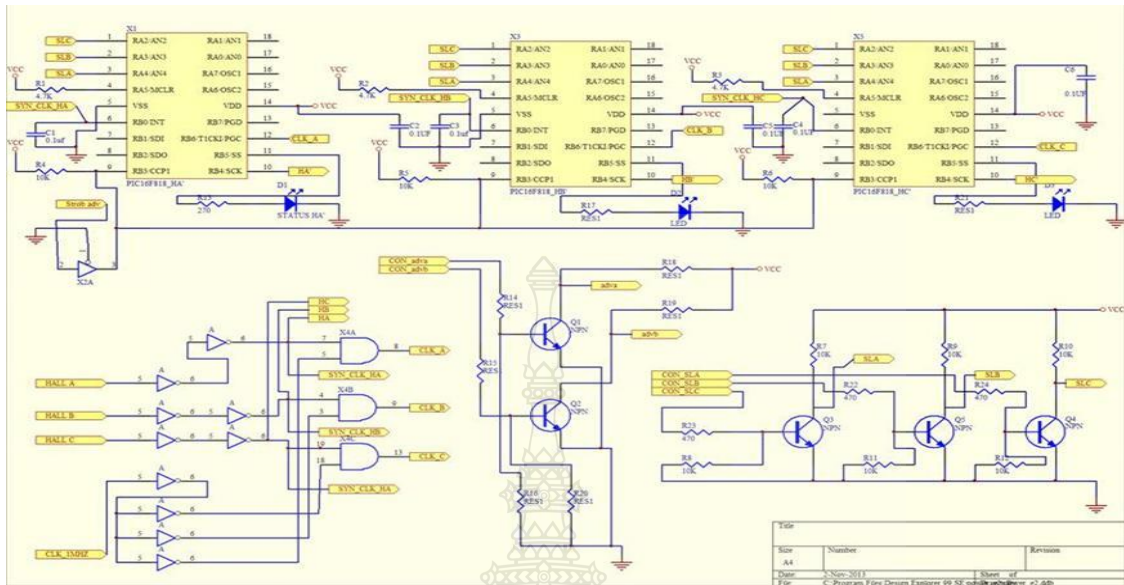


รูปที่ 3.11 องค์ประกอบการทำงานของหน่วยเซมมเฟสก้าวหน้า (Advance Angle Operating System)



รูปที่ 3.12 แผงวงจรหน่วยการชดเซมมเฟสก้าวหน้า

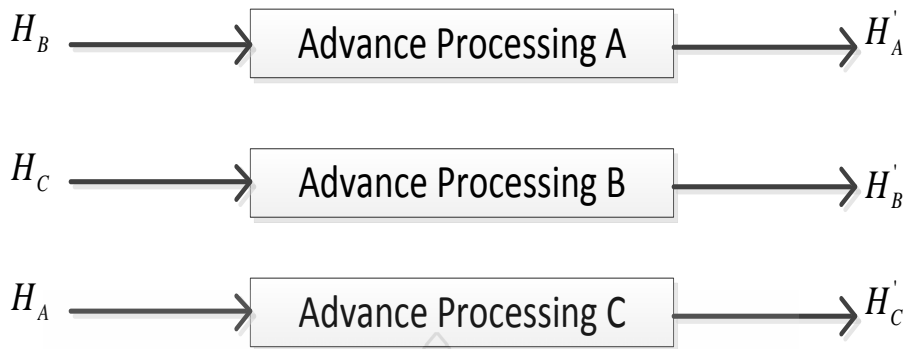
ในส่วนของวงจรของหน่วยชดเชยมุมเฟสก้าวหน้า แสดงดังรูปที่ 3.13



รูปที่ 3.13 วงจรระบบปฏิบัติการ การชดเชยมุมเฟสก้าวหน้า (Advance Angle Operating System Circuit)

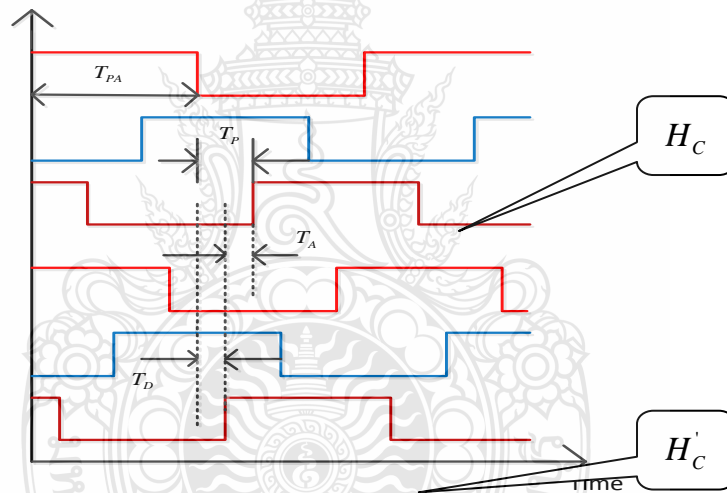
แนวคิดและการออกแบบสร้างมุมต่างเฟสของคู่สัญญาณ H_A H_B H_C กับ H'_A H'_B H'_C

การสร้างคู่สัญญาณดังกล่าวใช้แนวคิดอ่านค่าและจดจำลักษณะของสัญญาณที่เกิดขึ้นในอดีตที่มีรูปแบบเป็นวัฏจักร (Time Period) แล้วทำการสร้างสัญญาณขึ้นในอนาคตให้มีลักษณะเหมือนกับสัญญาณที่เกิดขึ้นในอดีตเพียงแต่เราสามารถเลื่อนตำแหน่งการเกิดและการดับของสัญญาณให้แตกต่างไปจากสัญญาณเดิมได้ จากหลักการดังกล่าวที่กล่าวมาข้างต้น จะเห็นได้ว่าเราไม่สามารถสร้างสัญญาณใหม่จากสัญญาณของตัวเองได้ เช่น เราไม่สามารถ สร้างสัญญาณ H'_A จาก H_A ได้ ตามภาพที่ 3.9 จะเห็นได้ว่าสัญญาณ H_A H_B และ H_C จะมีค่าเวลาในหนึ่งวัฏจักร(Time Period) เท่ากัน แต่ต่างกันตรงเวลาการเกิดและการดับดังนั้นเราจะใช้หลักการที่กล่าวมาในข้างต้นโดยใช้ H_A สร้าง H'_C H_C สร้าง H'_B และ H_B สร้าง H'_A ตามลำดับ ดังรูปที่ 3.14



รูปที่ 3.14 คู่สัญญาณการสร้าง H'_A , H'_B และ H'_C

ซึ่งตัวอย่างการประเมินผลการซดเซมมูมเฟสก้าวหน้าของ H'_C (Advance Processing Unit C) แสดงให้เห็นได้ดังรูปที่ 3.15



รูปที่ 3.15 การใช้สัญญาณ H_A สร้าง H'_C

ค่าเวลาต่าง ๆ ตามรูปที่ 3.15 สามารถอธิบายได้ดังนี้

$$T_P = T_{PA} / 3 \quad (3.1)$$

$$T_A = T_P - T_D \quad (3.2)$$

โดยให้

T_A ค่าซดเซมมูมเฟสล่วงหน้า

T_P มุมต่างเฟสระหว่าง H_A กับ H_C

T_d ค่าหน่วงเวลาการเกิด H'_C

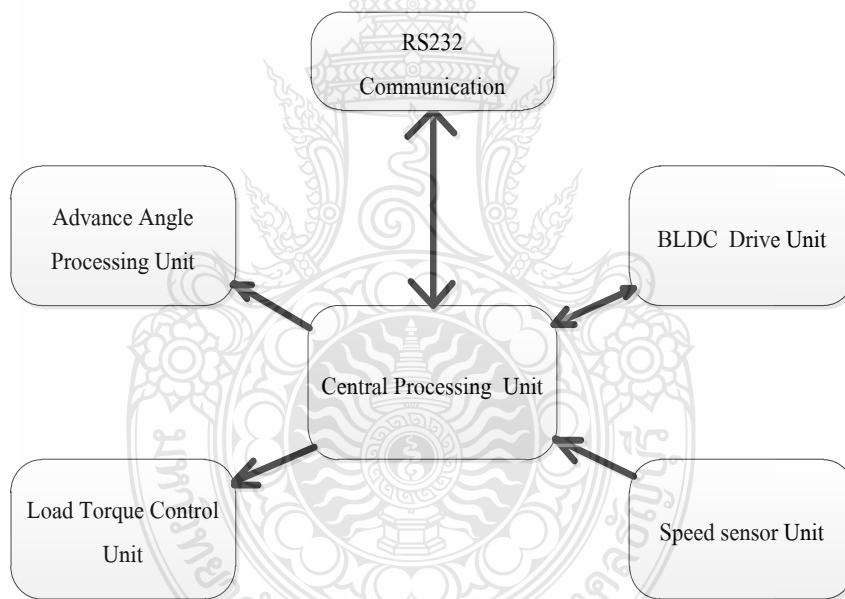
T_{PA} ครึ่งคาบเวลาทางไฟฟ้า

3.3.2 หน่วยประมวลผลกลาง(Central Processing Unit)

หน่วยประมวลผลกลางทำหน้าที่กับกับดูแลระบบย่อยทั้งหมดได้แก่

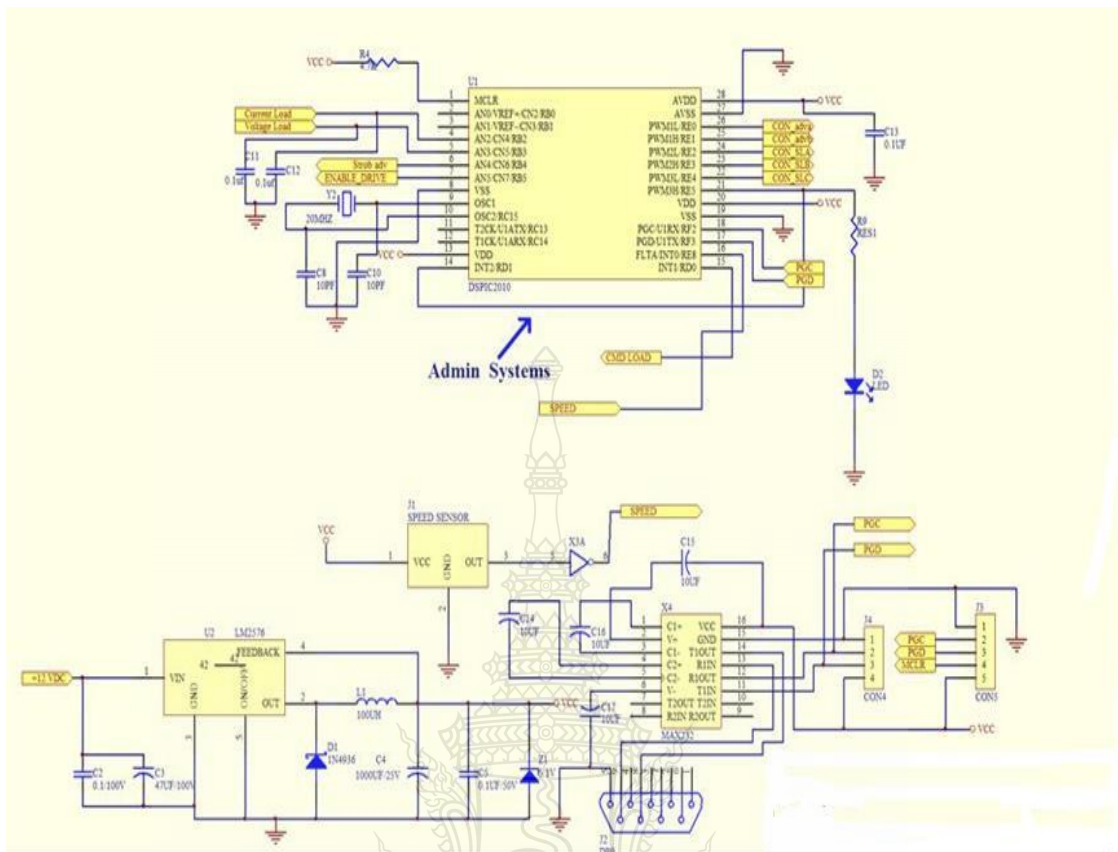
1. กับกับการทำงานชุดควบคุมการขับเคลื่อน (BLDC Motor Drive Unit)
2. กับกับการทำงานชุดประมวลผลการชดเชยมุมเฟสก้าวหน้า (Advance Angle Process Unit)
3. กับกับการทำงานตัวควบคุมแรงบิดโหลด (Load Torque Control Unit)
4. วัดความเร็ว(Speed Sensor Unit)
5. แรงบิด โหลด(Load Torque Unit)
6. ติดต่อสื่อสารกับคอมพิวเตอร์ผ่าน โปรแกรม GUI Data Analysis

ซึ่งสามารถเขียนเป็น Block Diagram ได้ดังนี้



รูปที่ 3.16 Block diagram ของหน่วยประมวลผลกลาง

โดยวงจรหน่วยประมวลผลกลางแสดงดังรูปที่ 3.17



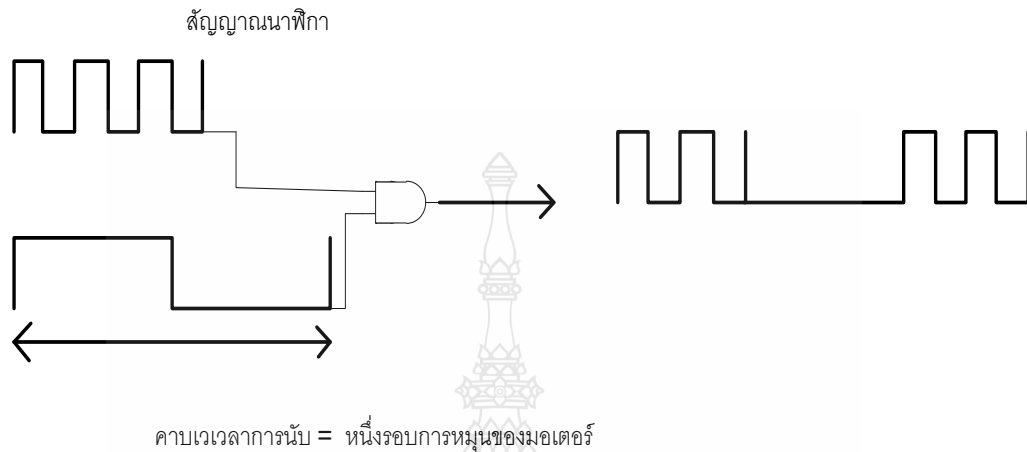
รูปที่ 3.17 รายละเอียดวงจรหน่วยประมวลผลกลาง (Central Processing Unit)



รูปที่ 3.18 แผงวงจรหน่วยประมวลผลกลาง (Central Processing Unit)

3.3.3 หน่วยวัดความเร็วมอเตอร์ (Speed Sensor Unit)

หลักการตรวจจับความเร็วในระบบดิจิทัลใช้หลักการนับสัญญาณนาฬิกาที่มีความถี่คงตรงสูงต่อหนึ่งหน่วยเวลา(Clock/Time Unit) อธิบายได้ตามรูปที่3.19



รูปที่ 3.19 หลักการวัดความเร็วระบบดิจิทัล

ตัวอย่าง

ถ้าให้สัญญาณนาฬิกามีความถี่เท่ากับ 1000000 Hz

หนึ่งคาบเวลาของสัญญาณนาฬิกา เท่ากับ $1/1000000 = 0.000001$ sec

ถ้าหนึ่งรอบการหมุนของมอเตอร์นับสัญญาณนาฬิกาได้ 1000000

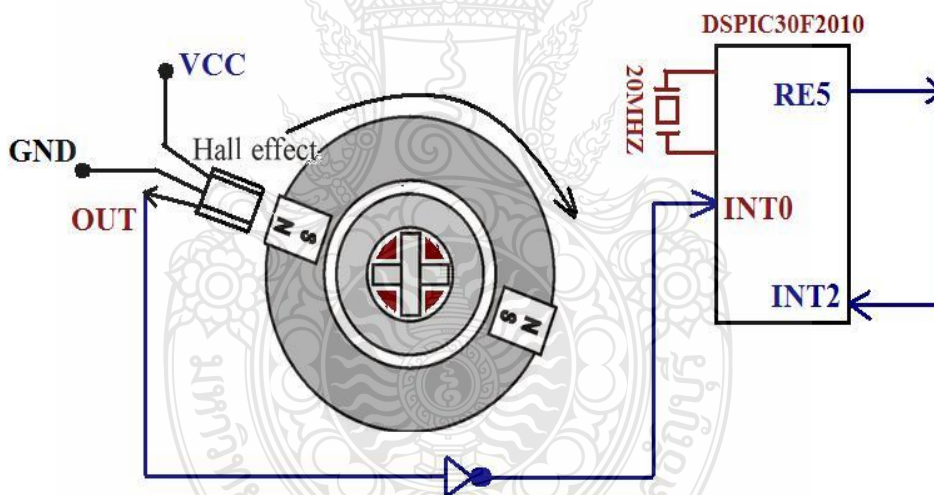
นั่นหมายถึงว่ามอเตอร์ใช้เวลาการหมุนต่อหนึ่งรอบ

$$= (1000000 \times 0.000001) = 2 \text{ sec}$$

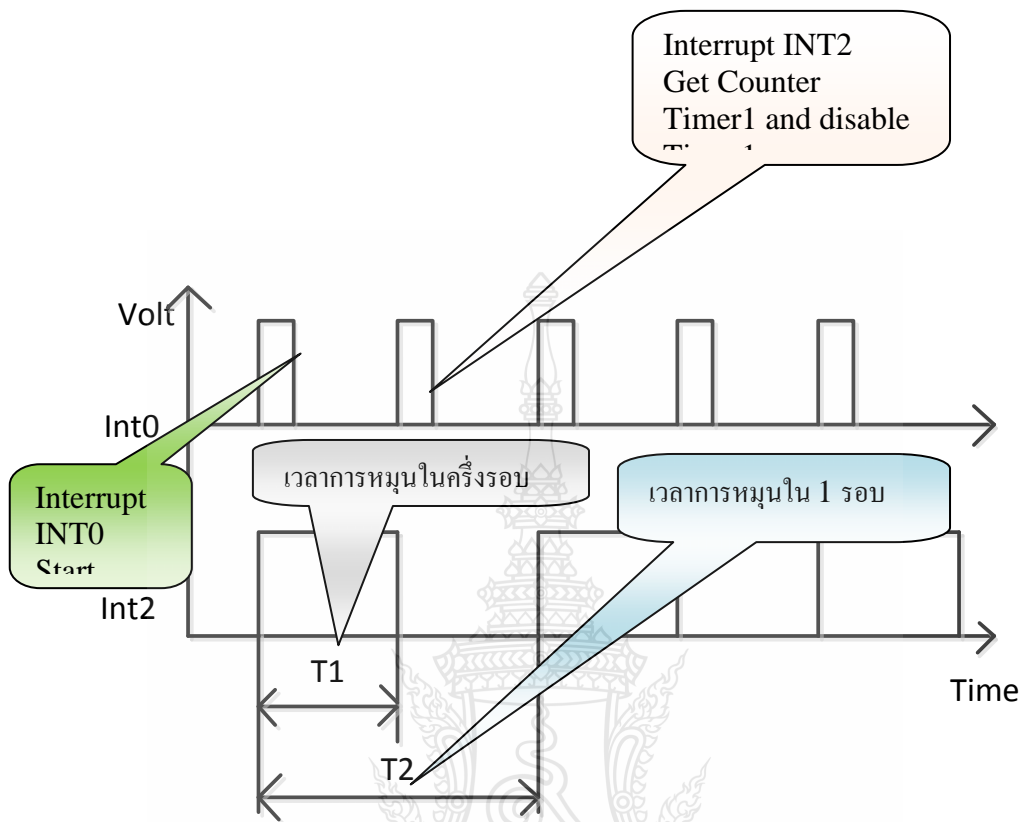
$$= 2 \times 60 = 120 \text{ RPM}$$



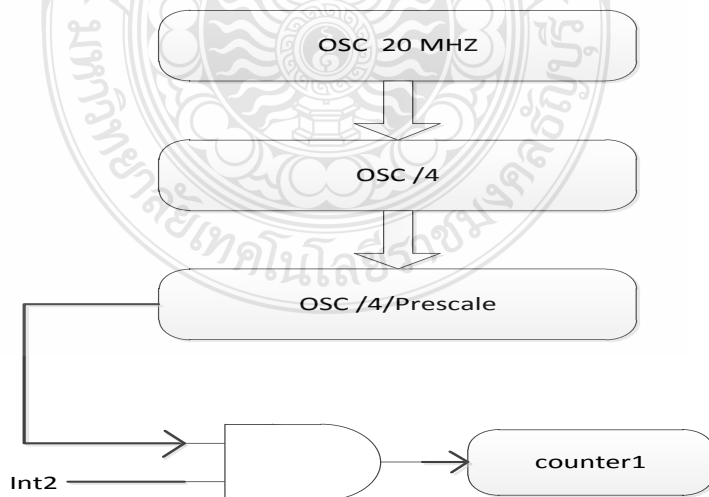
รูปที่ 3.20 ตำแหน่งติดตั้งแม่เหล็กถาวรและ Hall Sensor เพื่อตรวจจับความเร็วรอบมอเตอร์



รูปที่ 3.21 วิธีการตรวจจับความเร็วมอเตอร์



รูปที่ 3.22 สัญญาณอินพุตที่ขา INT0 , INT2



รูปที่ 3.23 การนับสัญญาณนาฬิกาของ Counter 1

จากรูปที่ 3.19 และ 3.20 สามารถหาความเร็วรอบของมอเตอร์ได้ดังนี้

XTAL = 20 MHZ

OSC/4 = 5MHZ

Prescale = 64

เพราะฉะนั้นความถี่ของสัญญาณนาฬิกาที่ส่งเข้า Counter 1 = $5000000/64 = 78125$ HZ

ตัวอย่างการคำนวณความเร็วรอบมอเตอร์

สมมติค่าที่ได้จาก counter 1 = 10000

T1 (เวลาที่ใช้ในครั้งรอบ) = $10000 \times 64 \times (1/5000000) = 0.128$ sec

T2 (เวลาที่ใช้ในหนึ่งรอบ) = $0.128 \times 2 = 0.256$ sec

ดังนั้นจะได้ความเร็วรอบมอเตอร์ = $60/0.256 = 234$ RPM ข้างล่างเป็น คำสั่งในส่วนของ

โปรแกรมบริการอินเตอร์รัป INT0 และ INT2 ในการอ่านค่าความเร็วรอบมอเตอร์

```
#int_EXT0
```

```
void EXT0_isr(void)
```

```
{
```

```
output_toggle(pin_e5); if(input(pin_d1));
```

```
{
```

```
set_timer1(0);flg_t1=0;setup_timer1(TMR_INTERNAL/TMR_DIV_BY_64);}}
```

```
#int_EXT2
```

```
void EXT2_isr(void)
```

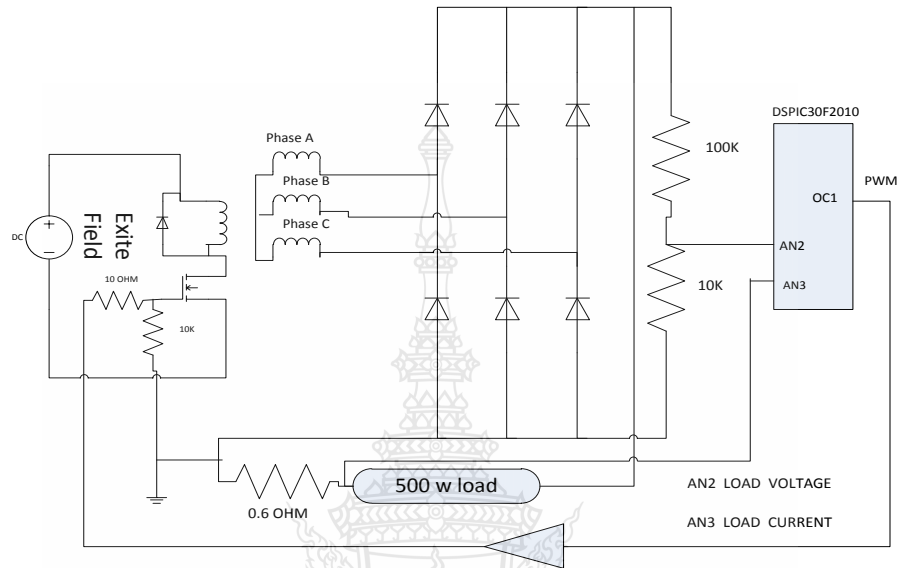
```
{
```

```
GET_T2=get_timer1();
```

```
flg_ext2=1;setup_timer1(TMR_DISABLED);
```

```
}
```

3.3.4 หน่วยควบคุมแรงบิดโหลด (Load Torque Control)



รูปที่ 3.24 วงจรโดยสังเขปของหน่วยควบคุมแรงบิดโหลด



รูปที่ 3.25 ชุดจำลองแรงบิดโหลด

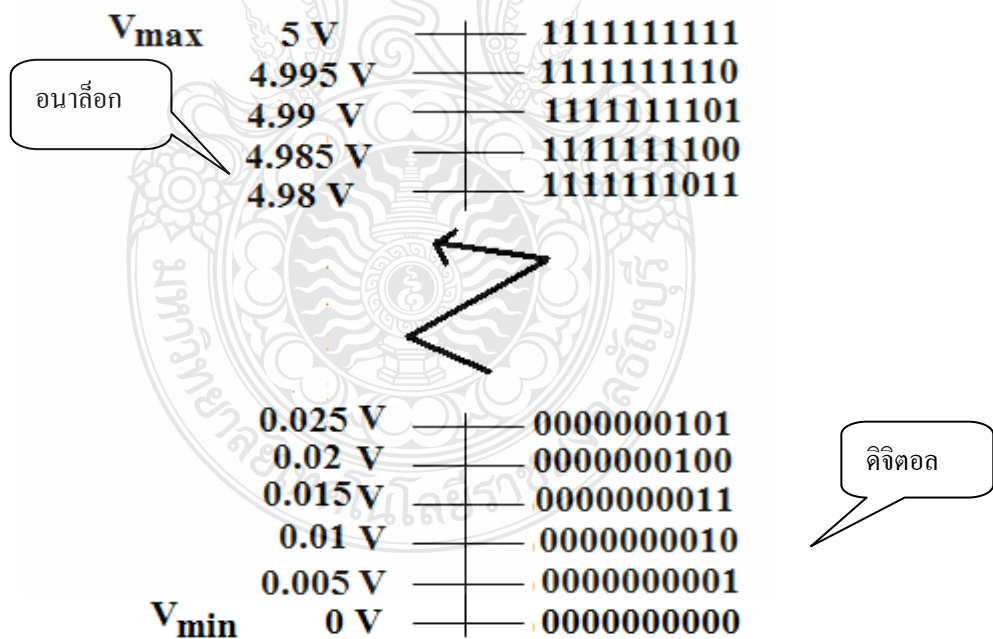
หลักการควบคุมแรงบิดโหลด (Load Torque Control Concept)

จากรูปที่ 3.24 และ 3.25 เราใช้เครื่องกำเนิดไฟฟ้าขนาด 800 W เป็นโหลดให้กับมอเตอร์ โดยให้เครื่องกำเนิดรับภาระโหลดสูงสุด 500 W การเปลี่ยนแปลงภาระโหลดทำได้โดยการปรับกระแสในขดลวด Exit Field ซึ่งถูกสั่งการจากโปรแกรม GUI Data Analysis ดังนั้นการหาแรงบิดโหลดจะได้มาจากการนำกระแสที่ไหล และ แรงดันที่ตกคร่อมโหลด และความเร็วของมอเตอร์ซึ่งเป็นไปตามสมการข้างล่าง

$$P = E.I \quad (3.3)$$

$$T = P/\omega \quad (3.4)$$

โดยการคำนวณแรงบิดโหลด (Load Torque Calculation) จากรูปที่ 3.18 ใช้ AN2 อ่านค่าแรงดันโหลด และ AN3 อ่านค่ากระแสโหลด โดยกำหนดให้ระดับความละเอียดในการแปลงสัญญาณจากอนาล็อกเป็นดิจิทัลขนาด 10 บิตขอบเขตการอ่านค่าแรงดันระหว่าง VSS – VCC (0 – 5VDC) แสดงดังรูปที่ 3.26



รูปที่ 3.26 อัตราส่วนระหว่างค่าของอนาล็อกกับดิจิทัลที่ความละเอียด 10 บิต

ตัวอย่าง

ที่ความเร็วรอบของมอเตอร์เท่ากับ 350 RPM

ค่าใน AN2 = 111111110 จะได้แรงดันที่ AN2 = 4.995 V และ จากวงจรรูป 3.18 จะได้แรงดัน ตกคร่อมโหลด (V_{load}) = $4.995 \times 10 = 49.95$ V

ค่าใน AN3 = 111111011 จะได้แรงดันที่ AN2 = 4.98 V และจากรูป 3.18 จะได้ค่ากระแสที่ไหลผ่าน โหลด(I_{load}) = $4.98/0.6 = 8.3$ Amp

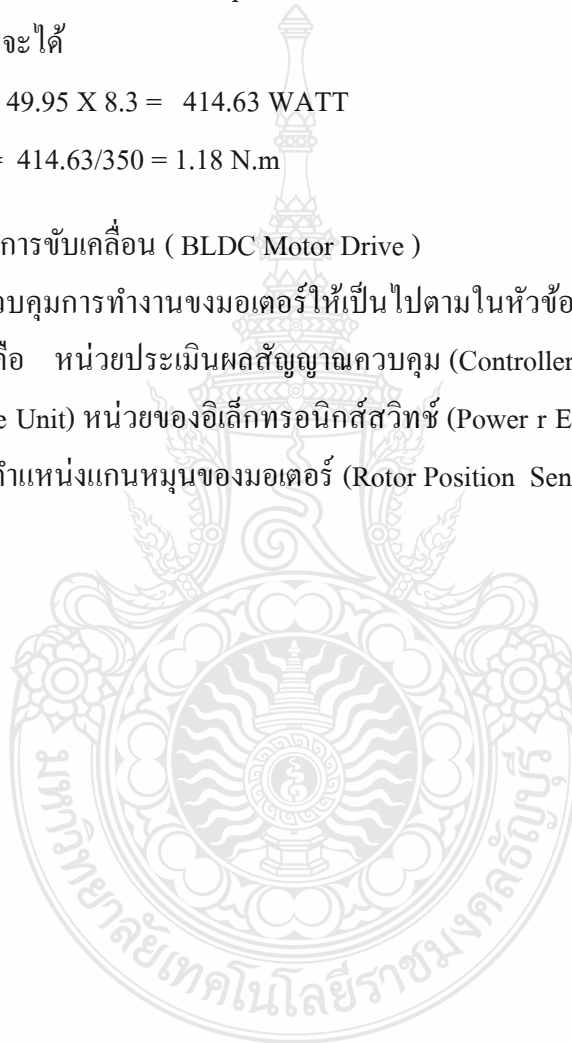
จากค่าดังกล่าวข้างต้น จะได้

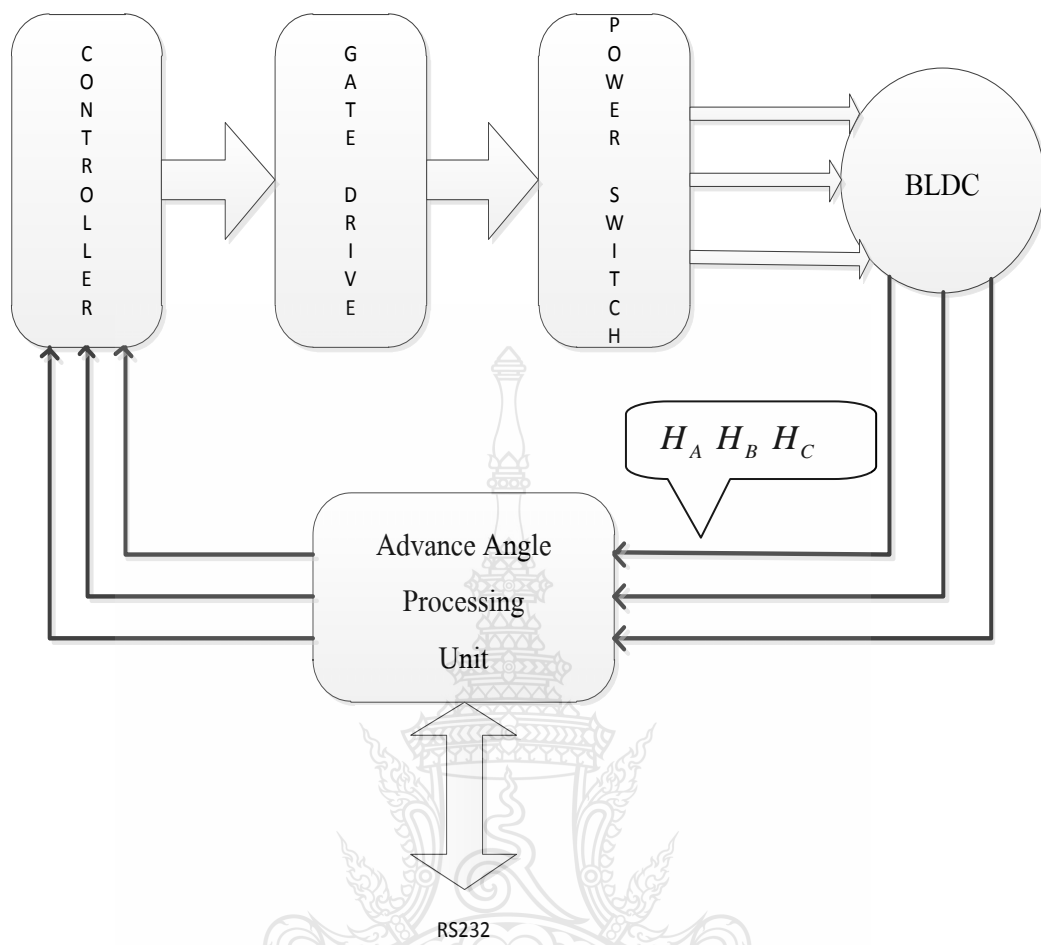
$$P = E.I = 49.95 \times 8.3 = 414.63 \text{ WATT}$$

$$T = P / \omega = 414.63/350 = 1.18 \text{ N.m}$$

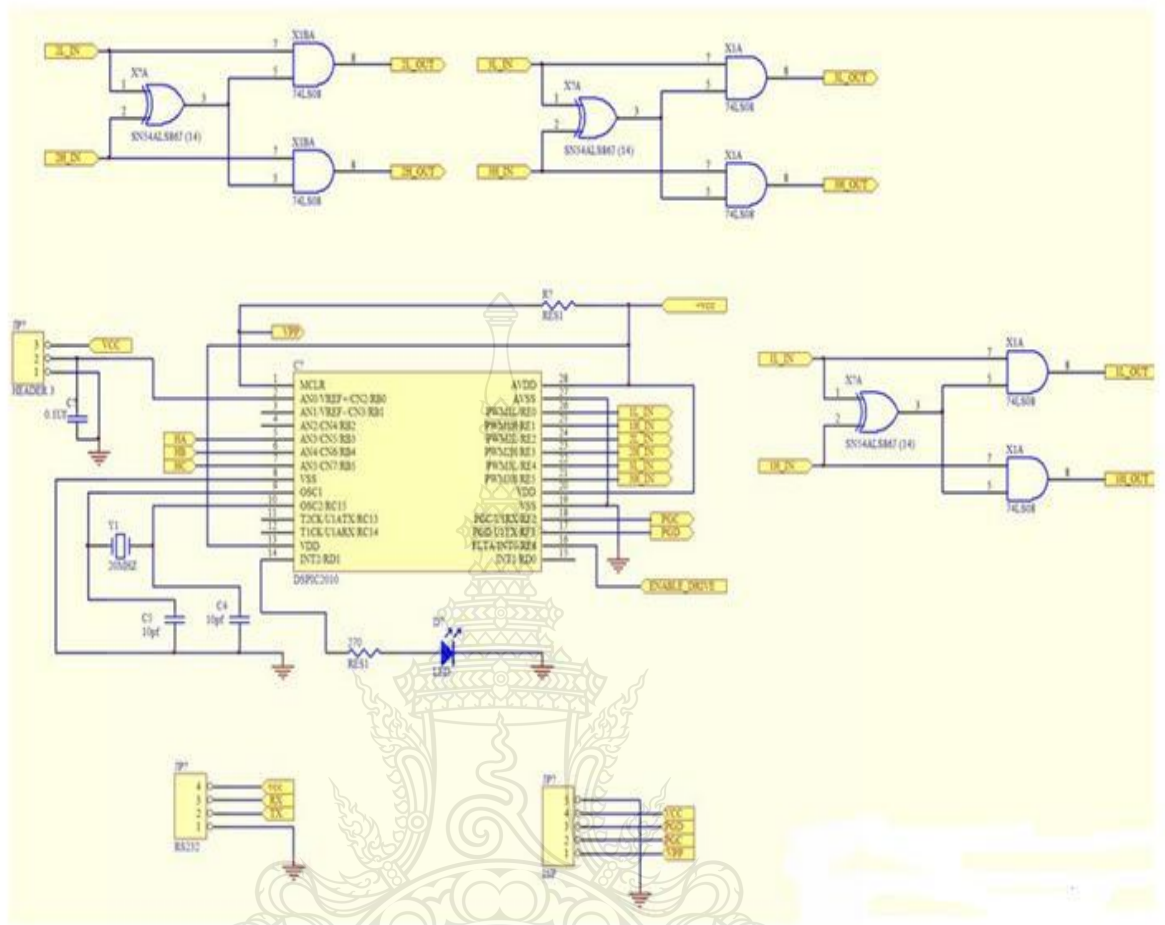
3.3.5 ชุดควบคุมการขับเคลื่อน (BLDC Motor Drive)

เป็นส่วนควบคุมการทำงานของมอเตอร์ให้เป็นไปตามในหัวข้อที่ 2.6.1 ซึ่งมีส่วนประกอบหลักๆ 4 ส่วนด้วยกันคือ หน่วยประเมินผลสัญญาณควบคุม (Controller Unit) หน่วยขยายสัญญาณจุดชนวน (Gate Drive Unit) หน่วยของอิเล็กทรอนิกส์สวิตช์ (Power r Electronic Switch) และส่วนรับและขยายสัญญาณตำแหน่งแกนหมุนของมอเตอร์ (Rotor Position Sensing Unit)





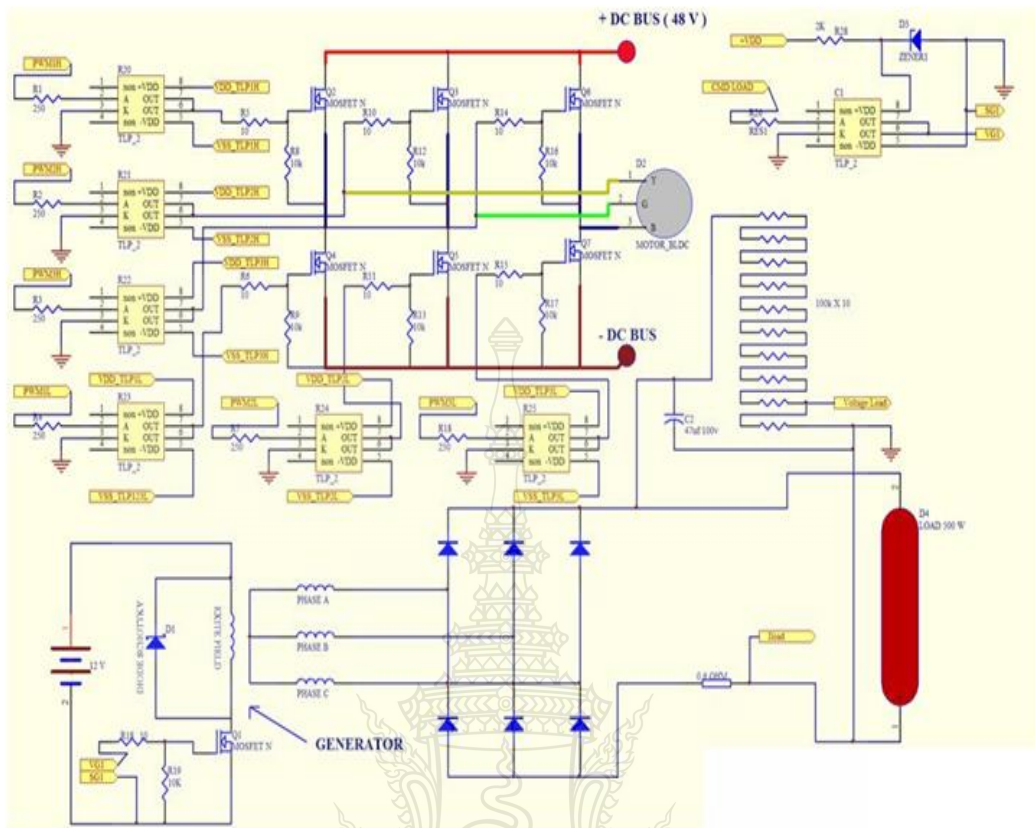
รูปที่ 3.27 ไดอะแกรมชุดควบคุมการขับเคลื่อน BLDC Motor



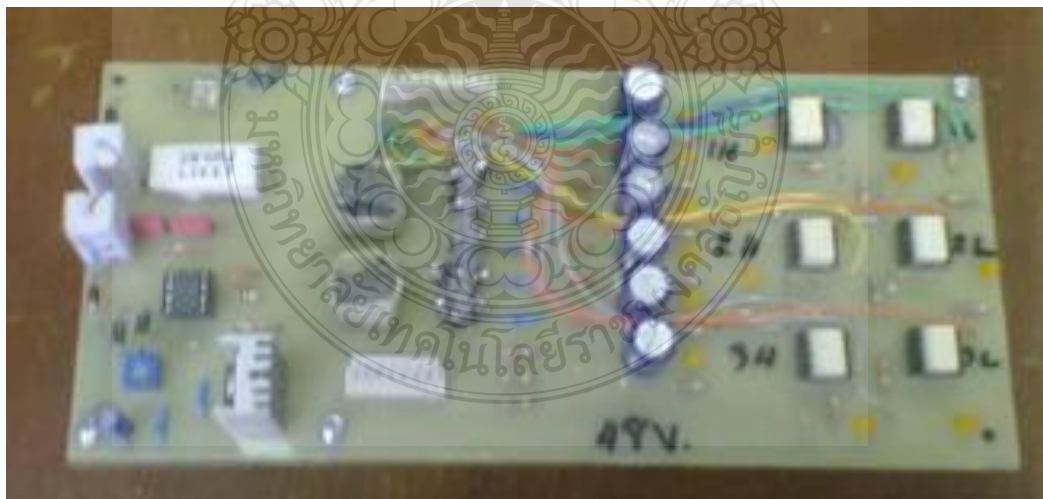
รูปที่ 3.28 วงจรชุด Controller



รูปที่ 3.29 แผงวงจรชุด Controller



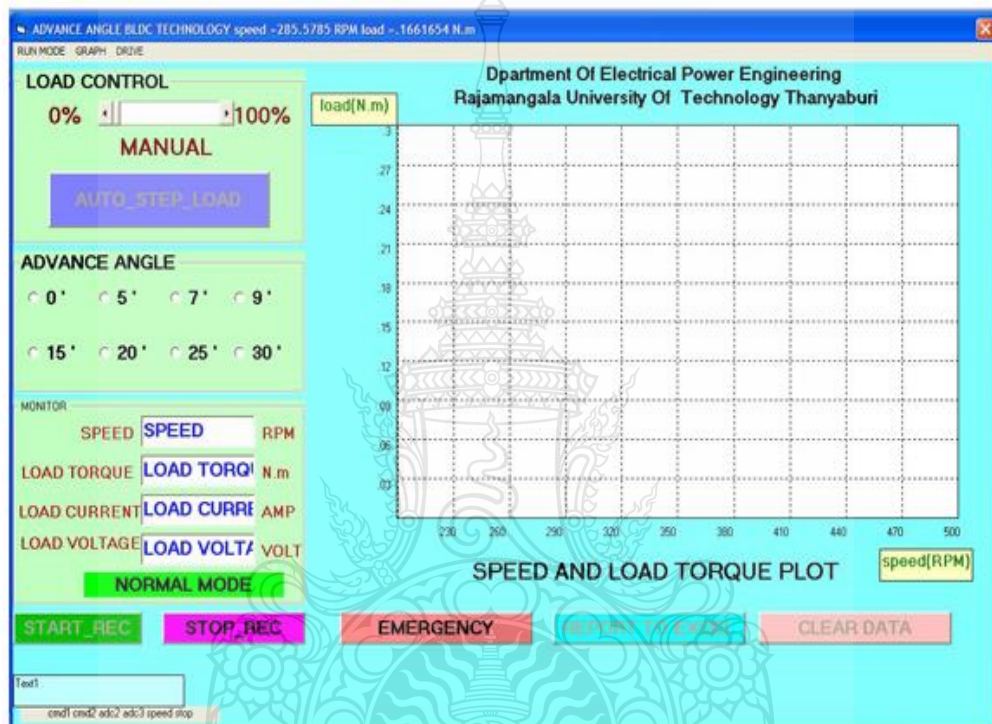
รูปที่ 3.30 วงจรชุด Gate Drive และ Power Switch



รูปที่ 3.31 แผงวงจรชุด Gate Drive

3.3.6 GUI And Data Analysis [15] [16]

GUI And Data Analysis พัฒนาขึ้นจากโปรแกรม Visual Basic เพื่อใช้อ่านยวดยความสะดวกในการศึกษาคุณลักษณะการทำงานของมอเตอร์ในโหมดแรงบิดคงที่และกำลังคงที่ โดยเฉพาะในโหมดกำลังคงที่ ทั้งขณะที่มีและไม่มีภาระชดเชยมุมเฟสก้าวหน้า ซึ่งลักษณะของหน้าต่างที่ใช้อ่านยวดยความสะดวกในการใช้โปรแกรม แสดงให้เห็นดังรูปที่ 3.31

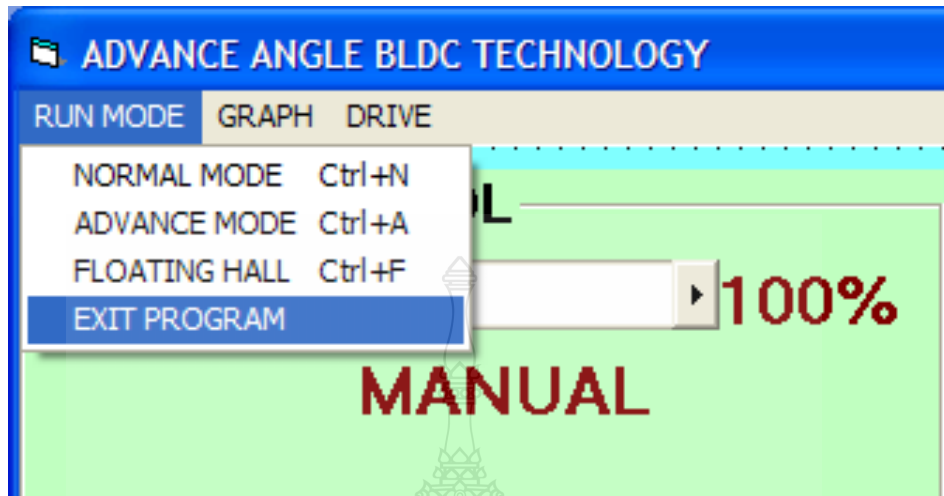


รูปที่ 3.32 หน้าต่างโปรแกรม GUI And Data Analysis

การใช้งานโปรแกรม GUI And Data Analysis แบ่งตามปุ่มต่าง ๆ และ เมนูย่อย ได้ดังต่อไปนี้

- เมนู RUN MODE
- เมนู GRAPH
- เมนู DRIVE
- Frame Load Control
- Frame ADVANCE ANGLE
- Frame MONITOR
- Command Button

เมนู RUN MODE



รูปที่ 3.33 เมนู RUN MODE

NORMAL MODE (Ctrl + N)

ให้สัญญาณ HALL A HALL B และ HALL C ไม่ผ่าน (By Pass) ชุดควบคุมการชดเชยมุมเฟสกำหนดตามรูปที่ 3.11

ADVANCE MODE (Ctrl + A)

ให้สัญญาณ HALL A HALL B และ HALL C ผ่าน ชุดควบคุมการชดเชยมุมเฟสกำหนดตามรูปที่ 3.7

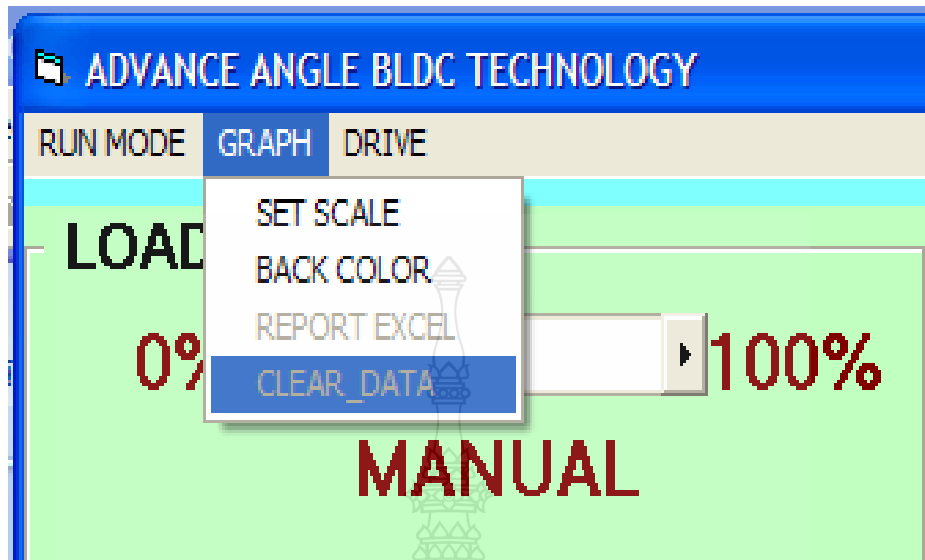
FLOATING HALL (Ctrl + F)

ตัดสัญญาณ HALL A HALL B และ HALL C ผ่าน ไปยังชุดควบคุมการขับเคลื่อน BLDC Motor (Disable DEMUX block ตามรูปที่ 3.11)

EXIT PROGRAM

ออกจากการทำงานของโปรแกรม GUI And Data Analysis

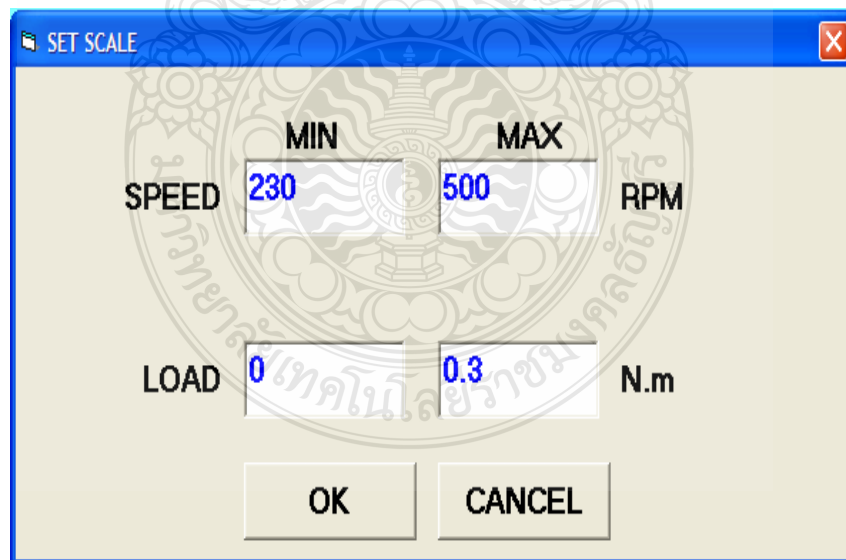
เมนู GRAPH



รูปที่ 3.34 เมนู GRAPH

SET SCALE

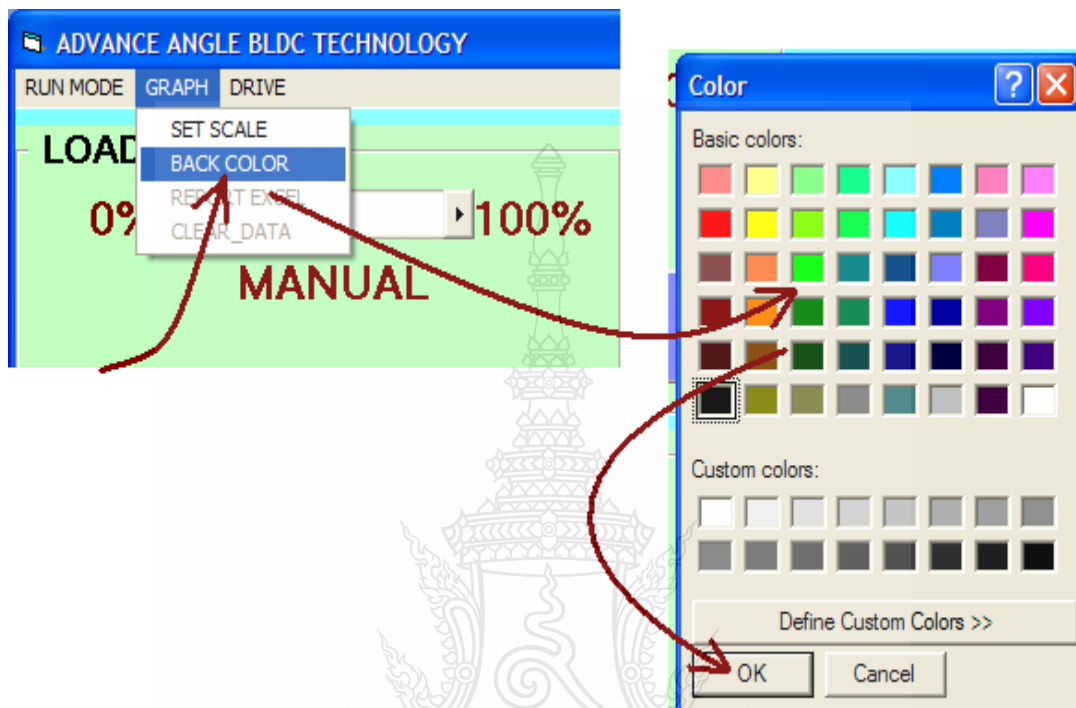
ใช้ปรับสเกลของกราฟให้เหมาะสมกับขนาด แรงบิด และ ความเร็วมอเตอร์



รูปที่ 3.35 หน้าต่างใช้ปรับสเกล แรงบิด และ ความเร็ว มอเตอร์

BACK COLOR

ใช้เปลี่ยนสีพื้นของกราฟ



รูปที่ 3.36 การใช้เมนู BACK COLOR

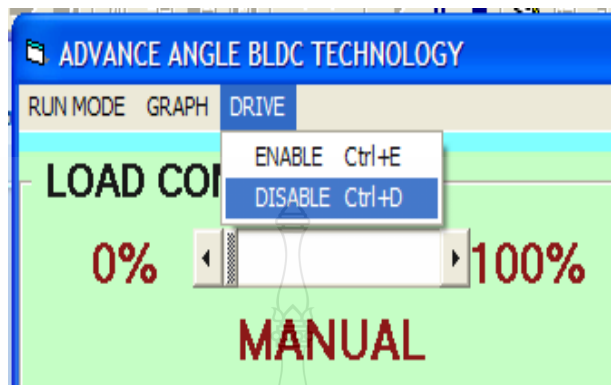
REPORT EXCEL

ใช้ส่งข้อมูลจากกราฟไปยังโปรแกรม EXCEL

CLEAR DATA

ใช้ลบข้อมูลการทดลองก่อนหน้าออกจากหน่วยความจำ (Memory Clear)

เมนู DRIVE



รูปที่ 3.37 เมนู DRIVE

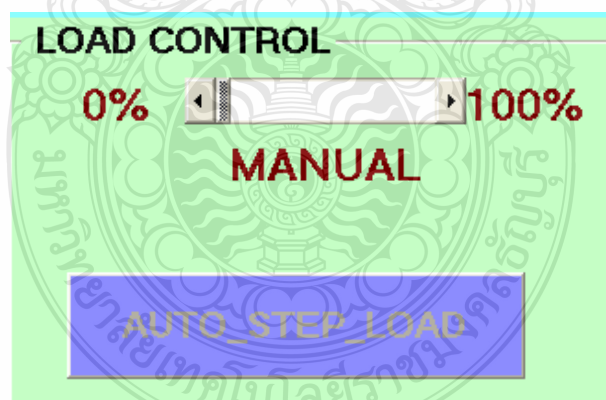
ENABLE (Ctrl + E)

อนุญาตการทำงานของชุดขับเคลื่อน BLDC MOTOR

DISABLE (Ctrl + D)

ไม่อนุญาตการทำงานของชุดขับเคลื่อน BLDC MOTOR

Fram Load Control



รูปที่ 3.38 Frame Load Control

Frame LOAD CONTROL มีหน้าที่ในการกำหนดการทำงานของโปรแกรม 2 อย่าง คือ

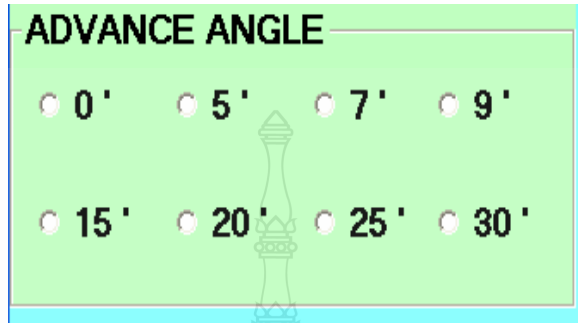
- Hscroll Bar ใช้เปลี่ยนแปลงแรงบิดโหลด (Load Torque) แบบ Manual

- ปุ่ม AUTO_STEP_LOAD ใช้ปรับแรงบิดโหลด (Load Torque) แบบอัตโนมัติ และมีการ Plot

Graph ความสัมพันธ์ระหว่างแรงบิดและความเร็วมอเตอร์ ใช้งานคู่กับปุ่ม START_REC

Frame ADVANCE ANGLE

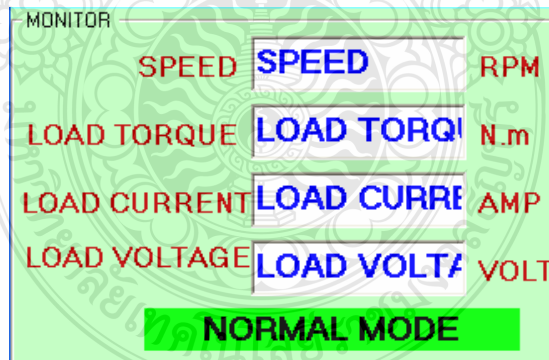
ใช้ปรับค่ามุมชดเชยมุมเฟสล่วงหน้าให้กับหน่วย ประเมินผลการชดเชยมุมเฟสล่วงหน้า ดังแสดงให้เห็นตามรูปที่ 3.38



รูปที่ 3.39 Frame Advance Angle

Fram MONITOR

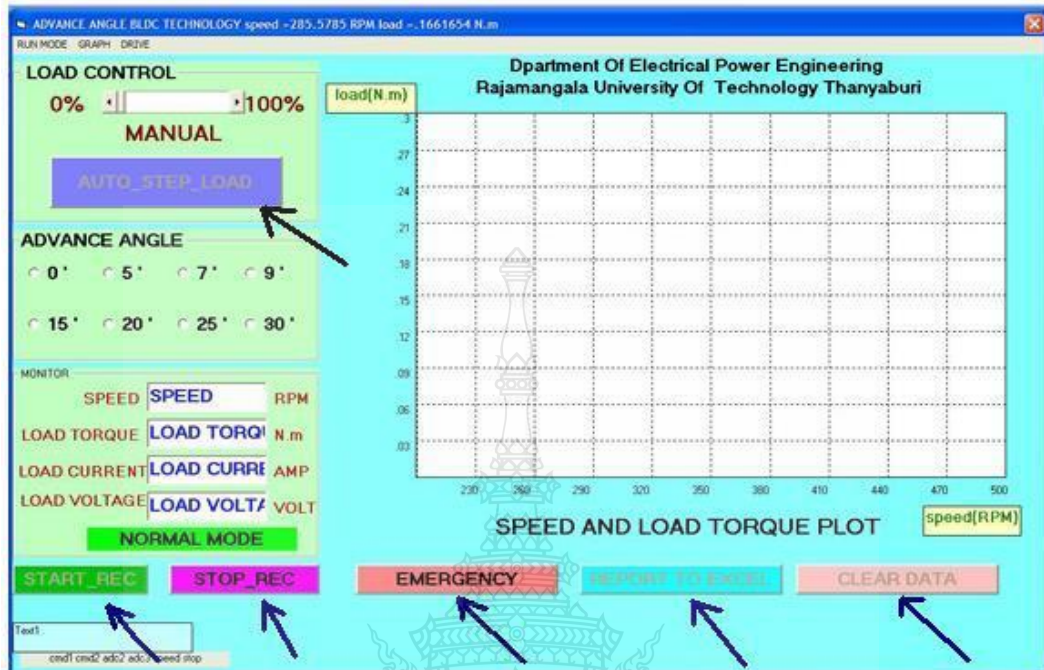
Fram MONITOR ใช้แสดงค่าต่าง ๆ ดังแสดงในรูป 3.31 เช่น ความเร็วมอเตอร์ แรงบิด โหลด กระแสโหลด แรงดันโหลด และ โหมดการทำงานของชุดขับเคลื่อน BLDC MOTOR ตามลำดับ ดังแสดงให้เห็นตามรูปที่ 3.39



รูปที่ 3.40 Frame Monitor

Command Button

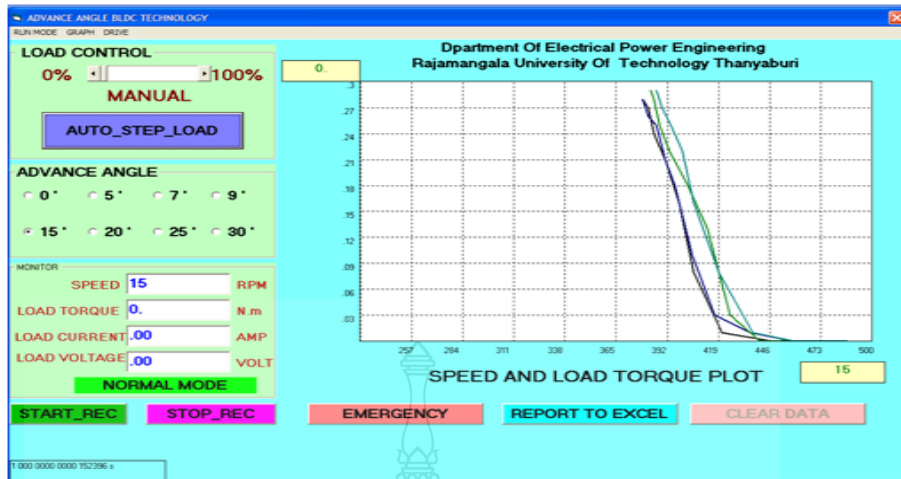
Command Button ใช้สำหรับการเข้าถึงคำสั่งของโปรแกรมซึ่งมีความสะดวกและคล่องตัวกว่าการเข้าถึงคำสั่งโดยใช้เมนูบาร์ โดยเฉพาะคำสั่งที่ต้องใช้บ่อย ๆ ดังแสดงตำแหน่งลูกยกรชี้ตามรูปที่ 3.40



รูปที่ 3.41 Command Button

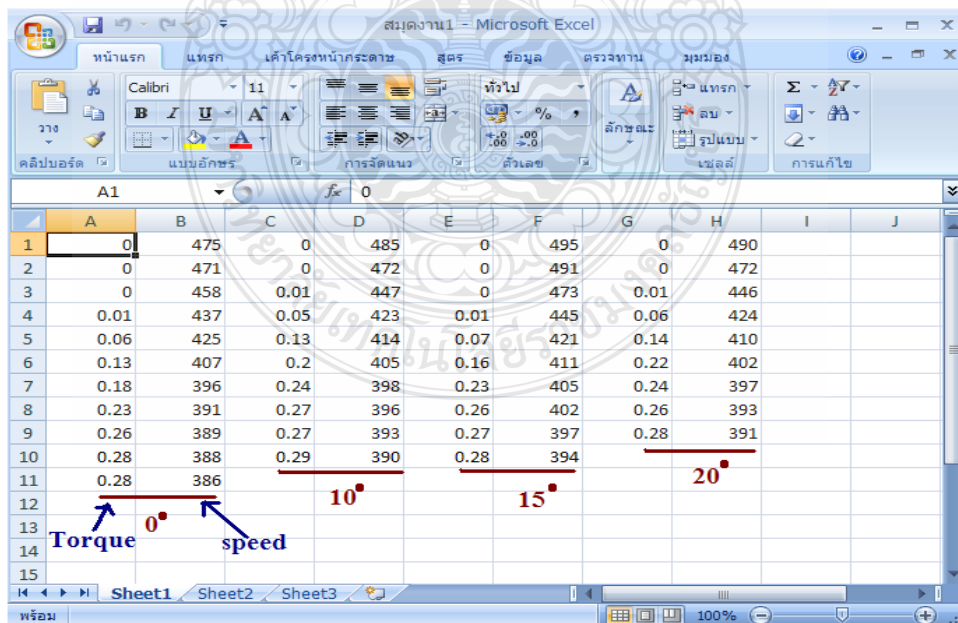
ปุ่ม **AUTO_STEP_LOAD** จะทำงานร่วมกับปุ่ม **START_REC** ในการปรับแรงบิดโหลดเป็นขั้นบันไดแบบอัตโนมัติ และมีการบันทึกกราฟแสดงความสัมพันธ์ระหว่างค่าแรงบิดโหลดและความเร็วมอเตอร์ โดย รายละเอียดลำดับการทำงานเป็นดังนี้

1. เข้าเมนู GRAPH ---> SET SCALE
2. Click ปุ่ม **START_REC**
3. Click ปุ่ม **AUTO_STEP_LOAD**



รูปที่ 3.42 กราฟแสดงแรงบิดและความเร็วมอเตอร์ที่มีการชดเชยมุมเฟสก้าวหน้าแตกต่างกัน

- ปุ่ม EMERGENCY ใช้กรณีต้องการหยุดการทำงานของชุดขับเคลื่อน BLDC MOTOR
- ปุ่ม STOP_REC ใช้กรณีต้องการหยุดการบันทึกกราฟและลบหน่วยความจำข้อมูล
- ปุ่ม REPORT TO EXCEL ใช้ส่งข้อมูลที่บันทึกในกราฟไปยังโปรแกรม EXCEL เพื่อความสะดวกในการจัดการกับข้อมูลต่อไป
- ปุ่ม CLEAR DATA ใช้ลบข้อมูลในหน่วยความจำกรณีต้องการบันทึกข้อมูลชุดใหม่



รูปที่ 3.43 นำค่าแรงบิดและความเร็วมอเตอร์จากกราฟเขียนลงโปรแกรม Excel

บทที่ 4

ผลการทดลอง

ในวิทยานิพนธ์ฉบับนี้จะมุ่งเน้นการวิเคราะห์การทำงานของ BLDC Motor ในย่านกำลังคงที่โดยใช้วิธีการการชดเชยมุมเฟสก้าวหน้า (Advance Angle) โดยการสร้างชุดทดสอบการขับเคลื่อน BLDC Motor ที่สามารถเปลี่ยนแปลงค่ามุมเฟสก้าวหน้า และสามารถแสดงผลความสัมพันธ์ระหว่างแรงบิดและความเร็วมอเตอร์ เพื่อนำไปเปรียบเทียบกับค่าที่ได้จากการจำลองด้วยโปรแกรม MatLab/Simulink โดยการนำเสนอจะแบ่งออกเป็น 4 ส่วน คือ

- 1 การวัดสัญญาณมุมต่างเฟสของ Hall sensor จาก BLDC Motor $H_A H_B H_C$
- 2 การวัดสัญญาณมุมต่างเฟสของ Hall sensor จาก BLDC Motor $H_A H_B H_C$ เทียบกับสัญญาณที่ผ่านหน่วยชดเชยมุมเฟสก้าวหน้า ($H'_A H'_B H'_C$) ที่มุมเฟสก้าวหน้าต่างๆ
- 3 วิเคราะห์สัญญาณแรงดันตกคร่อมขดลวดมอเตอร์ที่ความเร็วต่างๆ
- 4 การเปรียบเทียบผลที่ได้จากการทดลองกับผลที่ได้จากการจำลองระบบ

ซึ่งชุดทดสอบในงานวิทยานิพนธ์นี้แสดงดังรูปที่ 4.1

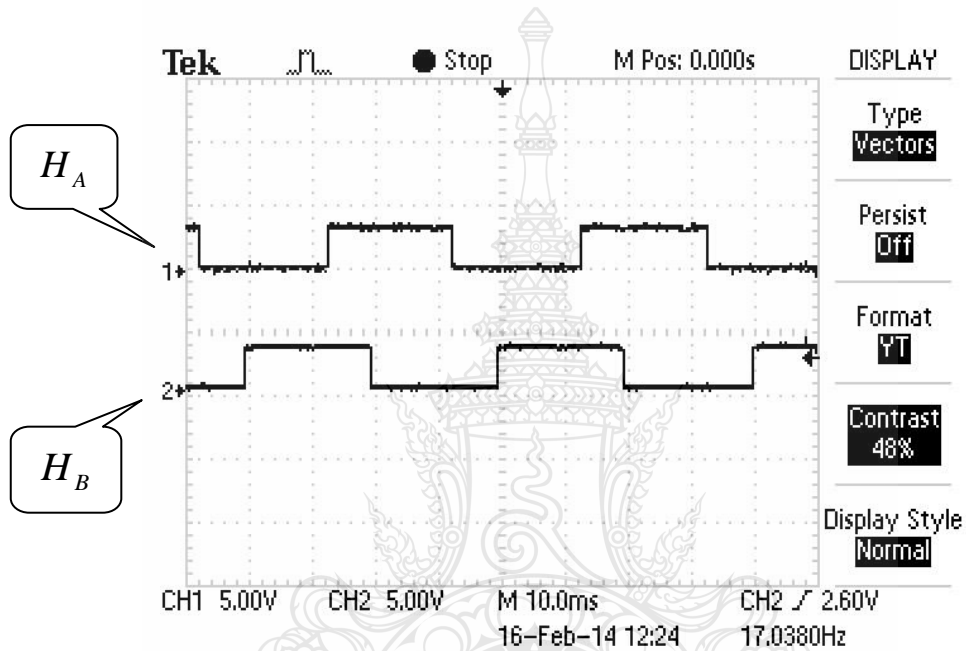


รูปที่ 4.1 ชุดทดสอบ BLDC Motor

4.1 การวัดสัญญาณมุมต่างเฟสของ Hall sensor จาก BLDC Motor (H_A H_B H_C)

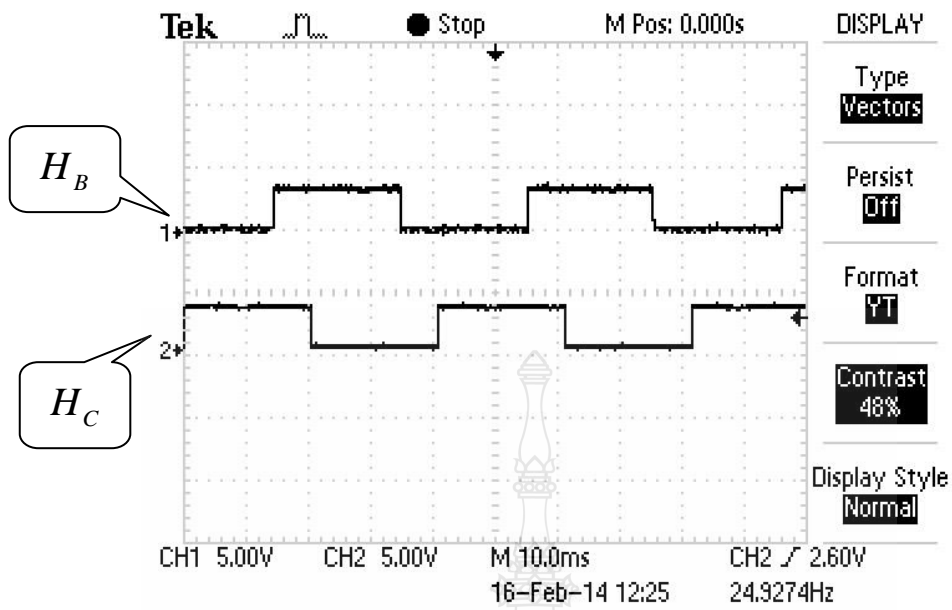
การวัดสัญญาณมุมต่างเฟสของ Hall sensor จาก BLDC Motor เพื่อตรวจสอบมุมต่างเฟสระหว่าง H_A กับ H_B H_B กับ H_C และ H_C กับ H_A ก่อนส่งเข้าหน่วยชดเชยมุมเฟส ก้าวหน้า

4.1.1 วัดสัญญาณมุมต่างเฟสของสัญญาณ H_A กับ H_B



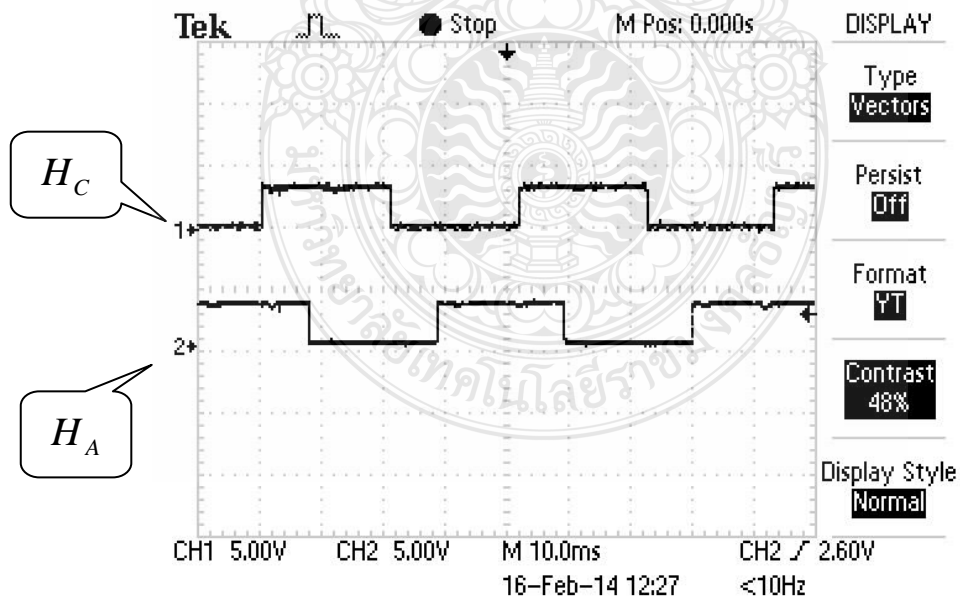
รูปที่ 4.2 สัญญาณ H_A กับ H_B

4.1.2 วัดสัญญาณมุมต่างเฟสของสัญญาณ H_B กับ H_C



รูปที่ 4.3 สัญญาณ H_B กับ H_C

4.1.3 วัดสัญญาณมุมต่างเฟสของสัญญาณ H_C กับ H_A

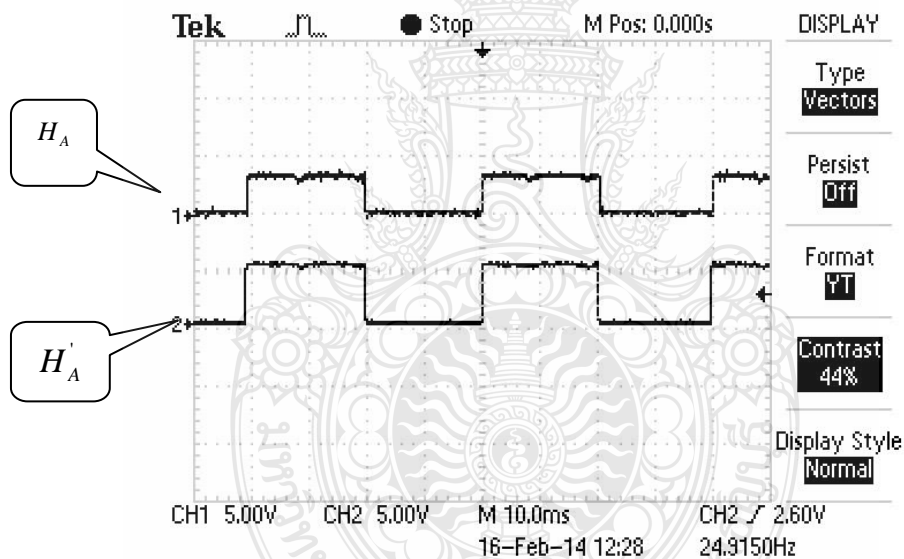


รูปที่ 4.4 สัญญาณ H_C กับ H_A

การตรวจสอบสัญญาณของ Hall Sensor ที่ออกจากมอเตอร์ก่อนส่งเข้าหน่วยควบคุมการชดเชยมุมเฟสก้าวหน้า เพื่อเช็คมุมต่างเฟสระหว่าง H_A กับ H_B H_B กับ H_C และ H_C กับ H_A ตามลำดับ ผลที่ได้แสดงดังรูปที่ 4.2 4.3 และ 4.4 ซึ่งผลที่ได้เป็นไปตาม [12] และ ทำการตรวจสอบสัญญาณที่ผ่านหน่วยควบคุมการชดเชยมุมเฟสก้าวหน้าที่มุมชดเชยเป็นศูนย์ (Phase Advance = 0) และทำการวัดค่าความต่างเฟสของ H_A กับ H'_B H_B กับ H'_C และ H_C กับ H'_A ดังแสดงในรูปที่ 4.5 4.6 และ 4.7 ผลที่ได้ก็เป็นไปตาม [12] เช่นกัน

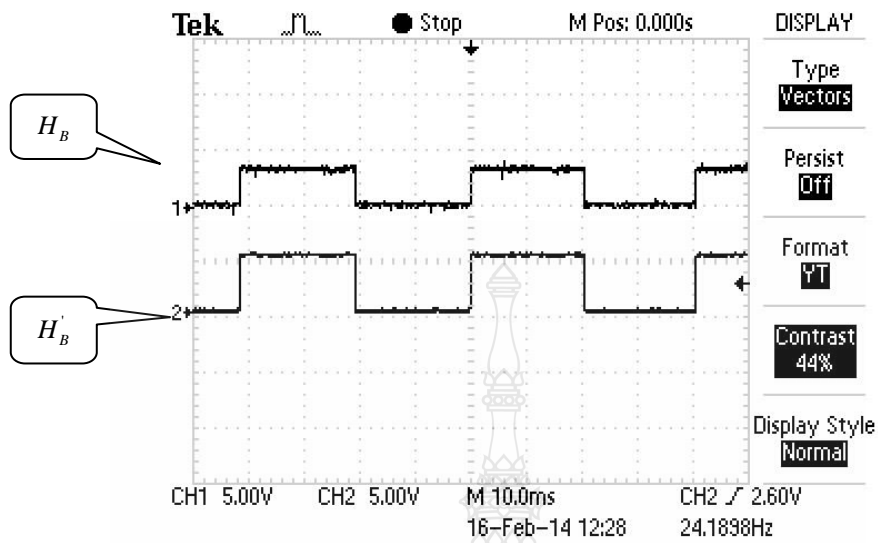
4.2 การวัดสัญญาณมุมต่างเฟสของ Hall sensor จาก BLDC Motor H_A H_B H_C เทียบกับสัญญาณที่ผ่านหน่วยชดเชยมุมเฟสก้าวหน้า (H'_A H'_B H'_C) ที่มุมเฟสก้าวหน้าต่าง ๆ

4.2.1 วัดสัญญาณมุมต่างเฟสของสัญญาณ H_A กับ H'_A ที่มุมเฟสก้าวหน้าเป็น 0 องศา



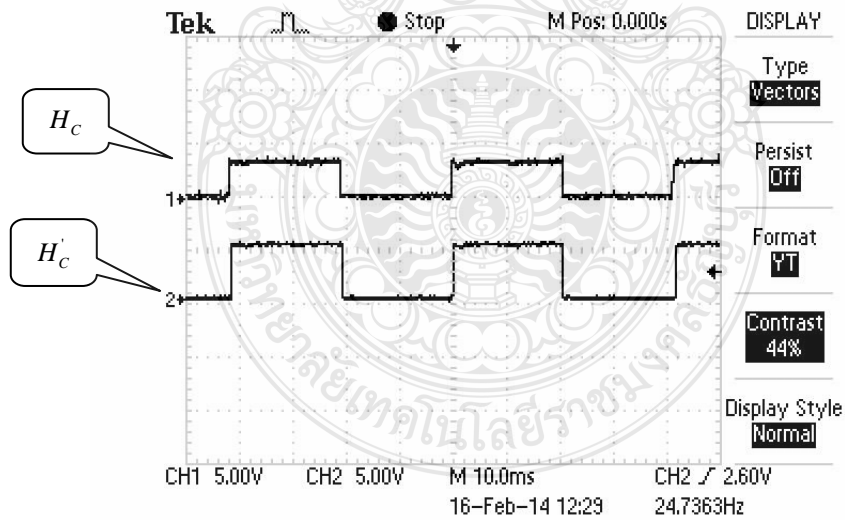
รูปที่ 4.5 สัญญาณ H_A กับ H'_A ที่มุมเฟสก้าวหน้า 0 องศา

4.2.2 วัดสัญญาณมุมต่างเฟสของสัญญาณ H_B กับ H'_B ที่มุมเฟสก้าวหน้าเป็น 0 องศา



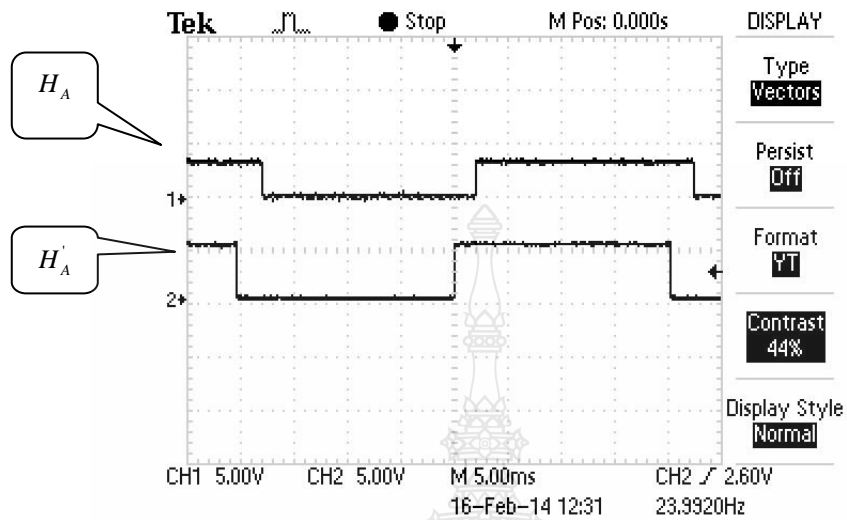
รูปที่ 4.6 สัญญาณ H_B กับ H'_B ที่มุมเฟสก้าวหน้า 0 องศา

4.2.3 วัดสัญญาณมุมต่างเฟสของสัญญาณ H_C กับ H'_C ที่มุมเฟสก้าวหน้าเป็น 0 องศา



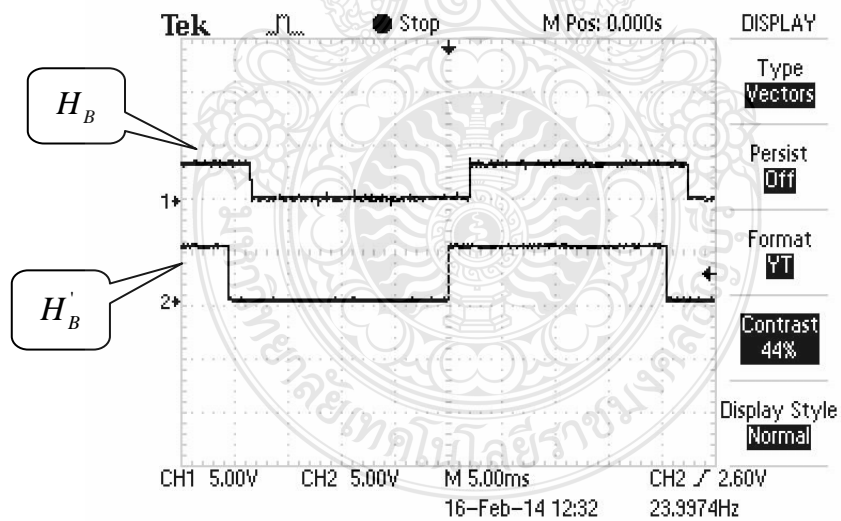
รูปที่ 4.7 สัญญาณ H_C กับ H'_C ที่มุมเฟสก้าวหน้า 0 องศา

4.2.4 วัดสัญญาณมุมต่างเฟสของสัญญาณ H_A กับ H'_A ที่มุมเฟสก้าวหน้า 15 องศา



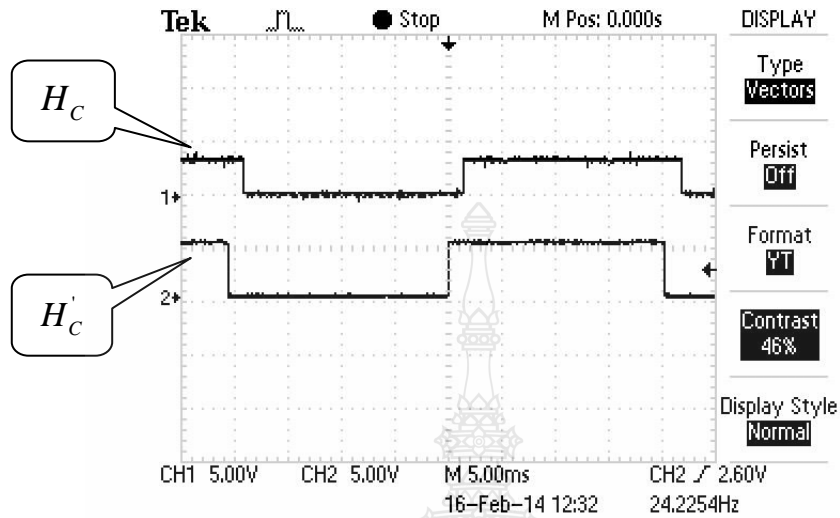
รูปที่ 4.8 สัญญาณ H_A กับ H'_A ที่มุมเฟสก้าวหน้า 15 องศา

4.2.5 วัดสัญญาณมุมต่างเฟสของสัญญาณ H_B กับ H'_B ที่มุมเฟสก้าวหน้า 15 องศา



รูปที่ 4.9 สัญญาณ H_B กับ H'_B ที่มุมเฟสก้าวหน้า 15 องศา

4.2.6 วัดสัญญาณมุมต่างเฟสของสัญญาณ H_C กับ H'_C ที่มุมเฟสก้าวหน้า 15 องศา



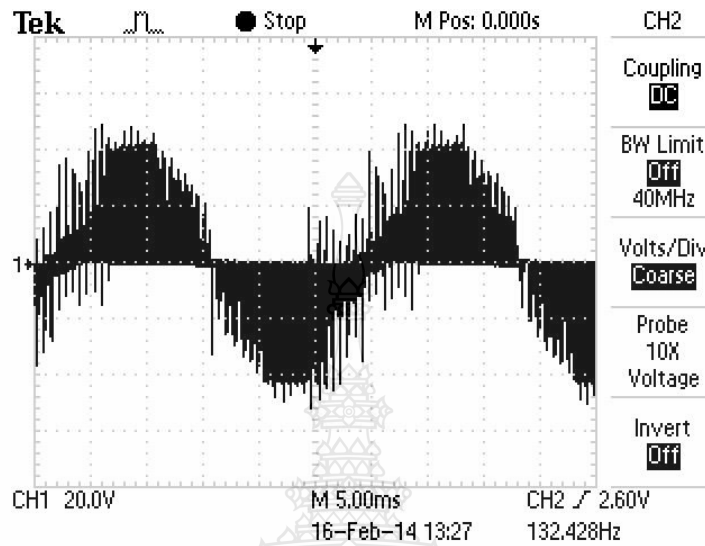
รูปที่ 4.10 สัญญาณ H_C กับ H'_C ที่มุมเฟสก้าวหน้า 15 องศา (Advance Angle = 15°)

ผลการตรวจสอบสัญญาณของ Hall Sensor ที่ออกจากมอเตอร์เทียบกับสัญญาณที่ผ่านหน่วยควบคุมการชดเชยมุมเฟสก้าวหน้า (H_A กับ H'_A , H_B กับ H'_B และ H_C กับ H'_C) โดยที่ค่ามุมชดเชย 0° แสดงดังรูปที่ 4.5 4.6 และ 4.7 จะเห็นได้ว่าคู่สัญญาณดังกล่าวจะอินเฟสกัน

ส่วนที่ค่ามุมชดเชย 15° ดังแสดงดังรูปที่ 4.8 4.9 และ 4.10 จะเห็นได้ว่าสัญญาณ H'_A จะมีเฟสนำหน้า H_A , H'_B มีเฟสนำหน้า H_B และสัญญาณ H'_C มีเฟสนำหน้า H_C ตามลำดับ ซึ่งเมื่อนำค่าเวลาของเฟสที่นำหน้าคิดเป็น องศา จะได้ค่าอยู่ที่ $15^\circ \pm 15\%$

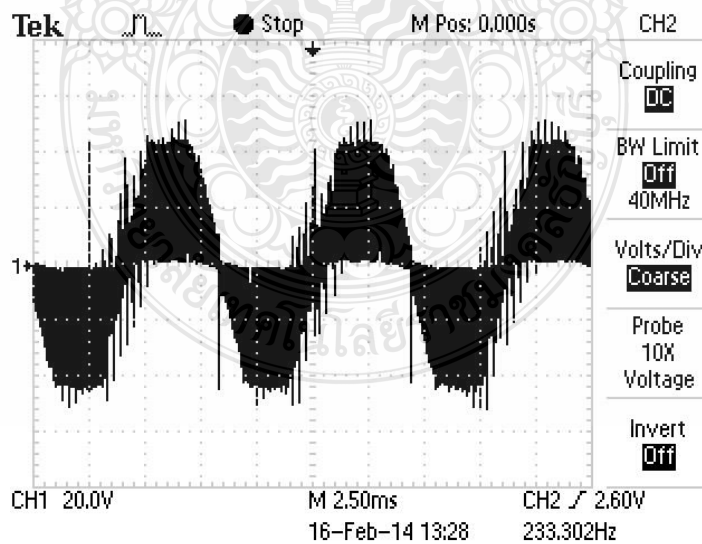
4.3 วิเคราะห์สัญญาณแรงดันตกคร่อมขดลวดมอเตอร์ที่ความเร็วต่าง ๆ

4.3.1 วัดสัญญาณแรงดันตกคร่อมขดลวด Phase A B ที่ความเร็วรอบมอเตอร์ 109 RPM



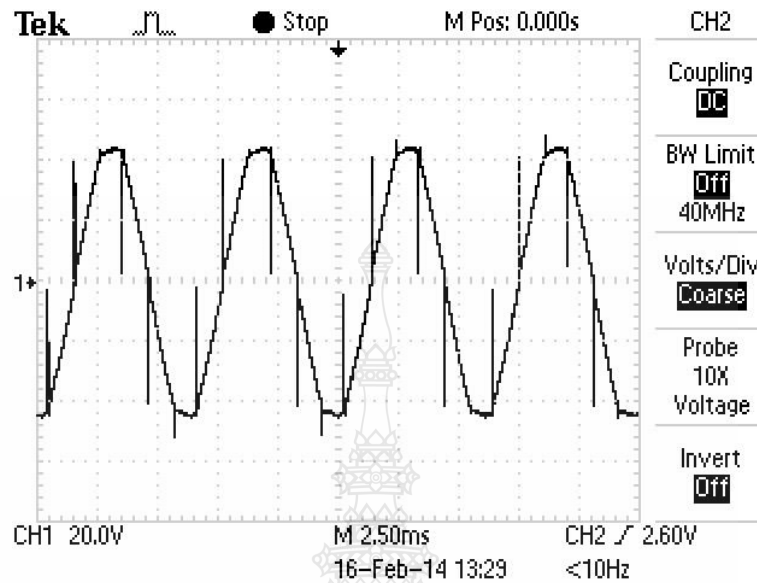
รูปที่ 4.11 แรงดันตกคร่อมขดลวด V_{AB} ของมอเตอร์ที่ความเร็วรอบ 109 RPM

4.3.2 วัดสัญญาณแรงดันตกคร่อมขดลวด Phase A B ที่ความเร็วรอบมอเตอร์ 389 RPM



รูปที่ 4.12 แรงดันตกคร่อมขดลวด V_{AB} ของมอเตอร์ที่ความเร็วรอบ 300 RPM

4.3.3 วัดสัญญาณแรงดันตกคร่อมขดลวด Phase A B ที่ความเร็วรอบมอเตอร์ 484 RPM



รูปที่ 4.13 แรงดันตกคร่อมขดลวด V_{AB} ของมอเตอร์ที่ความเร็วรอบ 428 RPM

จากการวัดสัญญาณแรงดันตกคร่อมขดลวดมอเตอร์ที่ความเร็ว 109 RPM 389 RPM และ 484 RPM ดังแสดงตามรูปที่ 4.14 4.15 และ 4.16 ตามลำดับ จะเห็นได้ว่าแรงดันตกคร่อมขดลวดมอเตอร์ มีลักษณะรูปคลื่นไฟฟ้ากระแสสลับ ที่ถูกผสมด้วยสัญญาณ PWM ซึ่งพอจะสังเกตเห็นได้ว่าความเร็วของมอเตอร์จะเป็นสัดส่วนโดยตรงกับ ค่า Duty Cycle ของสัญญาณ PWM ดูได้จากรูปที่ 4.16 เป็นช่วงที่ค่า Duty Cycle 100 % เป็นช่วงที่มอเตอร์ให้ความเร็วสูงสุด

4.4 การเปรียบเทียบผลที่ได้จากการทดลองกับผลที่ได้จากการจำลองระบบ

4.4.1 ทดสอบการทำงานของมอเตอร์จากชุดทดสอบที่สร้างขึ้น

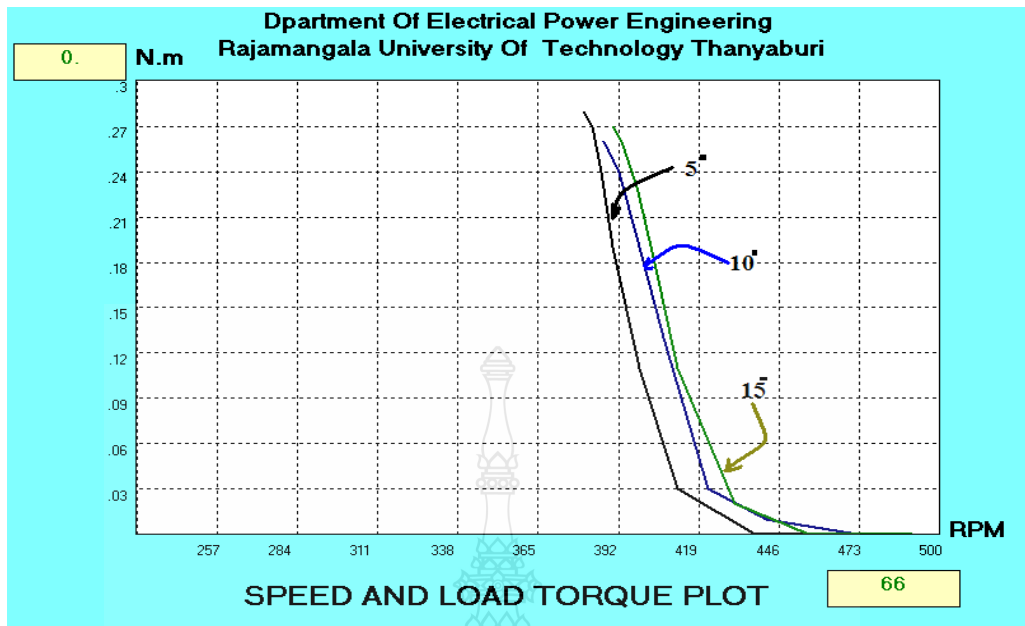
โดยพารามิเตอร์ของมอเตอร์ตามตารางที่ 4.1

ตารางที่ 4.1 พารามิเตอร์ของมอเตอร์ที่ใช้ในการทดสอบ

คุณลักษณะมอเตอร์	ขนาด	หน่วย
พิกัดแรงดันที่จ่ายให้กับมอเตอร์	48	volt
ความต้านทานของชุดขดลวดมอเตอร์ (R)	1.5	Ohm
ค่าความเหนี่ยวนำของชุดขดลวดมอเตอร์ (L)	1.92	mH
ค่าโมเมนต์ความเฉื่อยที่เพลามอเตอร์ (J)	1×10^{-4}	kgm^2
ค่าสัมประสิทธิ์ความหน่วงที่เพล (B)	1×10^{-4}	-
จำนวนขั้วแม่เหล็ก (P)	46	Pole
ค่าคงที่ (Kw)	0.0445	-

ตารางที่ 4.2 ผลการทดลองจากชุดทดสอบที่สร้างขึ้น

step	5°		10°		15°	
	torque	speed	torque	speed	torque	speed
1	0	460	0	480	0	483
2	0	438	0	472	0	456
3	0.05	412	0.01	442	0.02	451
4	0.11	399	0.03	422	0.11	412
5	0.19	390	0.13	407	0.18	404
6	0.24	386	0.19	399	0.23	398
7	0.27	383	0.24	392	0.26	393
8	0.28	380	0.26	387	0.27	390

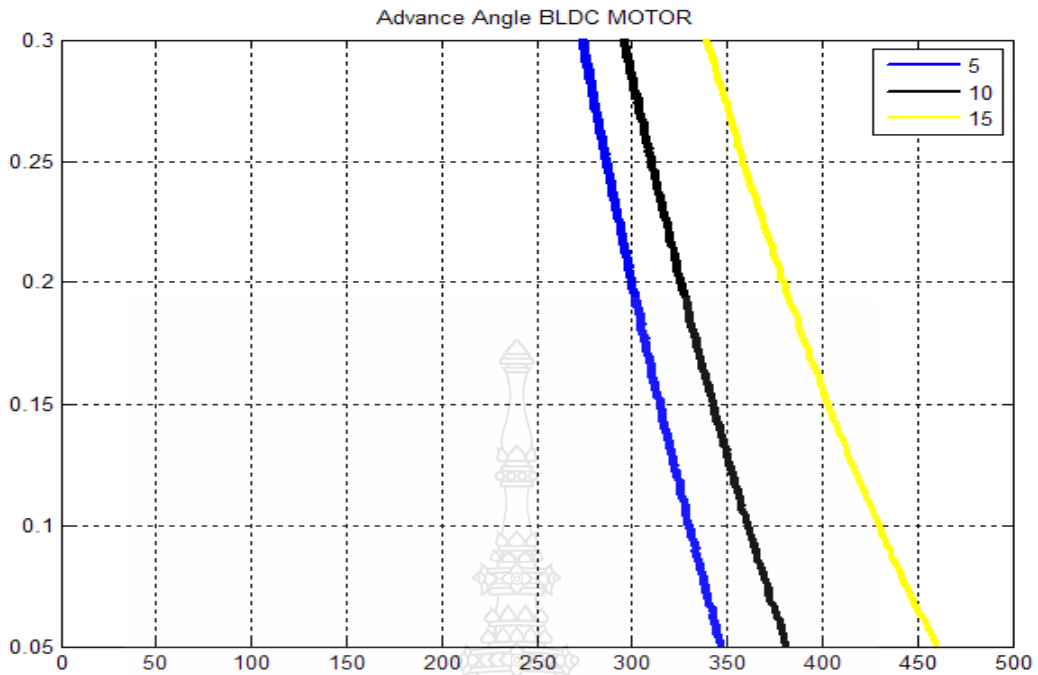


รูปที่ 4.14 กราฟแรงบิดโหลดกับความเร็วมอเตอร์ที่ได้โปรแกรม GUI And Data Analysis

4.2.2 การจำลองการทำงานของมอเตอร์ด้วยโปรแกรม Matlab/Simulink โดยใช้พารามิเตอร์ของมอเตอร์ตามตารางที่ 4.1

ตารางที่ 4.3 ผลที่ได้จากการจำลอง

step	5°		10°		15°	
	torque	speed	torque	speed	torque	speed
1	0.05	346	0.05	378	0.05	458
2	0.08	334	0.08	364	0.08	435
3	0.12	322	0.12	350	0.12	414
4	0.16	311	0.16	333	0.16	395
5	0.2	300	0.2	324	0.2	379
6	0.23	290	0.23	314	0.23	364
7	0.26	282	0.26	305	0.26	351
8	0.3	273	0.3	299	0.3	339



รูปที่ 4.15 กราฟแรงบิดโทลกับความเร็วมอเตอร์จากโปรแกรม MatLab/Simulink

จากการเปรียบเทียบผลที่ได้ระหว่างชุดทดสอบที่สร้างขึ้น กับ ผลที่ได้จากการจำลอง ซึ่งดูได้จากตารางที่ 4.2 และ 4.3 ซึ่งเป็นการเปรียบเทียบค่าของ แรงบิดและความเร็วมอเตอร์ที่มีการชดเชยมุมเฟสก้าวหน้า ที่ 5° 10° และ 15° ตามลำดับ จะเห็นได้ว่าผลจากชุดทดสอบและจากการจำลองมีค่าเอนเอียงไปในทิศทางเดียวกัน

บทที่ 5

สรุปผลการวิจัยและข้อเสนอแนะ

วิทยานิพนธ์นี้ได้ออกแบบระบบควบคุม และ ทดสอบ การทำงาน BLDC Motor ในย่านการทำงานกำลังคงที่ ซึ่งระบบที่สร้างขึ้นประกอบด้วย 2 ส่วน หลัก ๆ

1 แผงวงจรควบคุม(Hardware) ประกอบด้วย

- แผงวงจรชุดควบคุมการขับเคลื่อน BLDC Motor
- แผงวงจรชุดควบคุมการปรับมุมเฟสก้าวน้ำ และ ติดต่อสื่อสารกับ คอมพิวเตอร์

2 ส่วนของ โปรแกรม(Soft Ware) ประกอบด้วย

- ระบบปฏิบัติการในชุดขับเคลื่อน (BLDC Motor Drive Systems) และ ระบบปฏิบัติการ การชดเชยมุมเฟสก้าวน้ำ ซึ่งพัฒนาขึ้นจาก PIC C Compiler
- ระบบปฏิบัติการ GUI And Data Analysis พัฒนาจาก โปรแกรม Visual Basic

5.1 สรุปผลการวิจัย

ผลการทดสอบการทำงานของ BLDC Motor ในย่านกำลังคงที่ด้วยชุดควบคุมที่สร้างขึ้น ดังกล่าวข้างต้น ดูจากกราฟ รูปที่ 4.14,4.15 และ ตารางที่ 4.2 และ 4.3 ซึ่งได้มาจากทดสอบด้วยชุดควบคุมที่สร้างขึ้น กับ ค่าที่ได้จากการจำลองด้วยโปรแกรม MatLab/simulink ผลที่ได้มีค่าโน้มเอียงไปในทิศทางเดียวกันดังแสดงในตาราง 5.1

ตารางที่ 5.1 เปรียบเทียบผลที่ได้จากชุดควบคุมที่สร้างขึ้นเทียบกับผลที่ได้จากการจำลอง

ลำดับขั้นการเพิ่มแรงบิดโหลด	ค่าแรงบิดและความเร็วมอเตอร์จากชุดควบคุมที่สร้างขึ้น		ค่าแรงบิดและความเร็วมอเตอร์จากการจำลองด้วย MATHLAB/Simulink	
	Advance 15		Advance 15	
1	0.23	398	0.23	364
2	0.26	393	0.26	351
3	0.27	390	0.3	339

5.2 ข้อเสนอแนะและแนวทางการพัฒนา

วิทยานิพนธ์นี้เป็นแนวทางเบื้องต้นในการศึกษาและพัฒนาสร้างชุดควบคุมการขับเคลื่อน BLDC Motor ให้เหมาะสมกับการนำไปใช้งานในทางปฏิบัติ เพื่อให้ได้ประสิทธิภาพการทำงานของมอเตอร์สูงสุด และเป็นแนวทางเบื้องต้น ในการสร้างชุดทดสอบมอเตอร์ เพื่อใช้ในห้องปฏิบัติการ และเป็นแนวทางสำหรับผู้ที่มีความสนใจงานทางด้านเทคโนโลยีการขับเคลื่อน ต่อไป



รายการอ้างอิง

- [1] Hamid A. Toliyat , Tilak Gopalarathnam “Brushless DC Machines/Electronics” Texas A&M University
- [2] BinhMinh Nguyen, Minh C. Ta “Phase Advance Approach to Expand the Speed Range of Brushless DC Motor “
- [3] Chun-Lung Chiu, Yie-Tone Chen, Yu-Hsiang Shen, and Ruey-Hsun Liang
“An Accurate Automatic Phase Advance Adjustment of Brushless DC Motor ”
- [4] RÓBERT ISTVÁN LŐRINCZ, MIHAI EMANUEL BASCH, DAVID CRISTEA, IVAN BOGDANOV, VIRGIL TIPONUT ” Hardware Implementation of Field-Weakening BLDC Motor Control”
- [5] EDWARD C. LEE .” APPLICATION OF BRUSHLESS DC DRIVES IN BLOW MOLDING” POWERTEC INDUSTRIAL CORPORATION
- [6] Shane W. Colton “Design and Prototyping Methods for Brushless Motors and Motor Control”
- [7] ANAND SATHYAN “DIGITAL PWM CONTROL OF BRUSH-LESS DC (BLDC)” DEPARTMENT OF ELECTRICAL AND COMPUTER ENGINEERING Illinois Institute of Technology
- [8] Microchip Technology Inc “DSPIC Digital Signal Controller Workshop”
Hamid A. Toliyat Texas A&M University Tilak Gopalarathnam Texas A&M University
“AC Machines Controlled as DC Machines (Brushless DC Machines/Electronics)”
- [9] B. Tibor, V. Fedak and F. Durovsky, “Modeling And simulation of the BLDC Motor in MATHLAB GUI”, 2011
- [10] Ion Boldea “Electric Drive” S.A. Nasar 1998
- [11] Custom Computer Services, Inc “PCD C Compiler Reference Manual” April 2009
- [12] Microchip Technology Inc “High-Performance, 16-bit Digital Signal Controllers”
- [13] Devendra Rai “BRUSHLESS DC MOTOR SIMULINK SIMULATOR” Department of Electronics and Communication Engineering, National Institute of Technology Karnataka

[14] The MathWorks, Inc. “ MATHLAB “COPYRIGHT 1984–2013

[15] ชนพล ฉันทวีชัย การพัฒนาโปรแกรมด้วย Visual Basic V4.0 พ.ศ. 2541

[16] กิตติ ภัคดีวัฒนะกุล , จำลอง ครูอุตสาหะ Visual Basic 5 ฉบับโปรแกรมเมอร์ พ.ศ. 2541







ภาคผนวก ก

Source Code Advance Angle Processing และ Central Processing Unit

Source Code Advance angle processing And Central Processing Unit

Source Code Advance angle processing

```
#include <16F818.h>

#device adc=8

#FUSES NOWDT           //No Watch Dog Timer

#FUSES HS              //High speed Osc (> 4mhz for PCM/PCH) (>10mhz for PCD)

#FUSES NOPUT          //No Power Up Timer

#FUSES MCLR            //Master Clear pin enabled

#FUSES NOBROWNOUT     //No brownout reset

#FUSES NOLVP          //No low voltage prgming, B3(PIC16) or B5(PIC18) used for I/O

#FUSES NOCPD          //No EE protection

#FUSES NOWRT          //Program memory not write protected

#FUSES NODEBUG        //No Debug mode for ICD

#FUSES NOPROTECT      //Code not protected from reading

#use delay(clock=2000000) #use rs232 (baud=9600,parity=N,xmit=PIN_A3,rcv=PIN_A2,bits=8)

struct sel_adv{

int NON :2 ; int data :3;

int non1 :3;
```

```

}select_adv;

#locate select_adv=0x005

int8 t0con;

#locate t0con= 0x081

#bit t0se = t0con.4      #BIT t0cs = t0con.5      #bit psa = t0con.3

int8 trisb;              #locate trisb = 0x086

#bit trisb7 = trisb.7    #bit trisb6 = trisb.6    #bit trisb5 = trisb.5

#bit trisb4 = trisb.4    #bit trisb3 = trisb.3    #bit trisb2 = trisb.2

#BIT trisb1 =trisb.1     #BIT trisb0 =trisb.0

int8 portb;              #locate portb = 0x006

#bit b7 = portb.7        #bit b6 = portb.6        #bit b5 = portb.5

#bit b4 = portb.4        #bit b3 = portb.3        #bit b2 = portb.2

#BIT b1 = portb.1

#BIT b0 = portb.0

#priority EXT,RTCC

int16 get_t1;   int16 loop_check;   int16 triger_time;   int1 flg_t0;

int16 advance_t1;   int8 k;   int8 get_angle;   float adv_angle;   int1 flg_ext;

void advance(void);   void ini(void); void select_angle(void);

```

```

#int_CCP1

void CCP1_isr(void)

{select_angle();}

#int_EXT

void EXT_isr(void)

{ get_t1=get_timer1(); set_timer1(0); flg_ext=1;}

void main()

{

setup_adc_ports(NO_ANALOGS);

setup_adc(ADC_OFF);

setup_spi(SPI_SS_DISABLED);

setup_timer_0(RTCC_INTERNAL|RTCC_DIV_1);

setup_timer_1(T1_EXTERNAL|T1_DIV_BY_1);

setup_timer_2(T2_DISABLED,0,1);

enable_interrupts(INT_EXT);

enable_interrupts(INT_CCP1);

setup_ccp1(CCP_CAPTURE_fE);

enable_interrupts(GLOBAL);

```

```

ext_int_edge( h_TO_1);

get_t1=loop_check=0;

flg_ext=0;flg_t0=0;

set_timer1(0);

//-----initial i/o port-----

trisb1 = trisb4 =trisb5 = 0;

trisb0 = 1;t0se=0;t0cs =1;psa=1;

b1=b4=b5=0;k=0;

ini();

while(true)

{ triger_time=get_t1/3;

advance_t1= triger_time*adv_angle;

triger_time-=advance_t1;

if(flg_ext)

{ delay_us(triger_time);

b4=1;

b5=1;

delay_us(get_t1);

```

```
b4=0;b5=0;flg_ext=0; } } }
```

```
void ini(void)
```

```
{
```

```
while(k<=10)
```

```
{ b5=~b5; delay_ms(100); k++; }
```

```
b5=0; }
```

```
void select_angle(void)
```

```
{ get_angle=select_adv.data;
```

```
switch (get_angle) {
```

```
case 0:
```

```
adv_angle= 0;
```

```
break;
```

```
case 1:// advance 5 degree
```

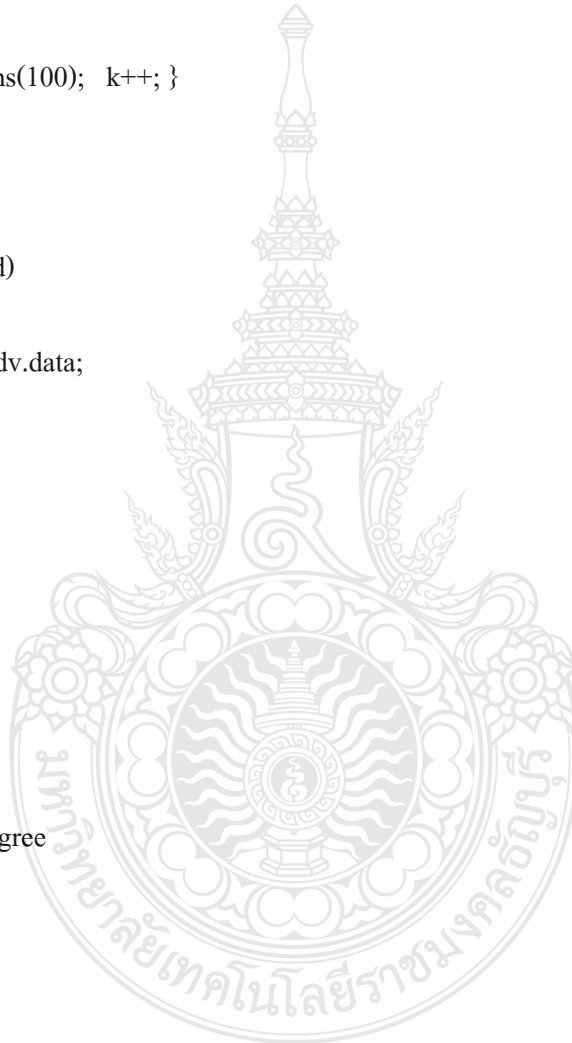
```
adv_angle= 0.025;
```

```
break;
```

```
case 2:// advance 7 degree
```

```
adv_angle= 0.075;
```

```
break;
```




```
case 3:// advance 9 degree
```

```
adv_angle= 0.135;
```

```
break;
```

```
case 4:// advance 15 degree
```

```
adv_angle= 0.27;
```

```
break;
```

```
case 5://// advance 20 degree
```

```
adv_angle= 0.33;
```

```
break;
```

```
case 6:// advance 25 degree
```

```
adv_angle= 0.422; break;
```

```
case 7:// advance 30 degree
```

```
adv_angle= 0.455; break;
```

```
default:
```

```
break; }}
```

Source Code Central Processing Unit

```
//master operating system of advance angle brushless dc motor
```

```
//detail of system
```

```

// 1 control advance angle by pin_e2 pin_e3 pin_e4

// 2 control running mode (advance or normal) pin_e0 pin_e1

// 2.1 normal pin_e0 = low pin_e1 = high

// 2.2 advance pin_e0 = high pin_e1 = low

#include <30F2010.h>

#define adc=10

#FUSES NOWDT           //No Watch Dog Timer

#FUSES HS              //High speed Osc (> 4mhz for PCM/PCH) (>10mhz for PCD)

#FUSES PR              //Primary Oscillator

#FUSES NOCKSFSM       //Clock Switching is disabled, fail Safe clock monitor is disabled

#FUSES WPSB16         //Watch Dog Timer PreScalar B 1:16

#FUSES WPSA512        //Watch Dog Timer PreScalar A 1:512

#FUSES PUT64          //Power On Reset Timer value 64ms

#FUSES NOBROWNOUT     //No brownout reset

#FUSES BORV47         //Brownout reset at 4.7V

#FUSES LPOL_HIGH      //Low-Side Transistors Polarity is Active-High (PWM 0,2,4 and 6)

//PWM module low side output pins have active high output polar

#FUSES HPOL_HIGH      //High-Side Transistors Polarity is Active-High (PWM 1,3,5 and 7)

```

```

//PWM module high side output pins have active high output polarity

#FUSES NOPWMPIN //PWM outputs drive active state upon Reset

#FUSES MCLR //Master Clear pin enabled

#FUSES NOPROTECT //Code not protected from reading

#FUSES NOWRT //Program memory not write protected

#FUSES NODEBUG //No Debug mode for ICD

#FUSES NOCOE //Device will reset into operational mode

#FUSES ICSP1 //ICD uses PGC1/PGD1 pins

#FUSES RESERVED //Used to set the reserved FUSE bits

#use delay(clock=20000000) #use rs232(UART1,baud=19200,parity=N,bits=8)

#priority RDA,EXT0,EXT2,TIMER1

int16 trise;

#locate trise = 0x02d8 #bit tris_e2 = trise.2

#bit tris_e3 = trise.3 #bit tris_e4 = trise.4

int16 Porte; #locate Porte = 0x02da

#bit e2 = Porte.2 #bit e3 = Porte.3 #bit e4 = Porte.4

int16 late; #locate late = 0x2dc

#bit late_2 = late.2 #bit late_3 = late.3 #bit late_4 = late.4

```

```

int16 trisb; #locate trisb = 0x02c6

#bit tris_b4 = trisb.4 #bit tris_b5 = trisb.5

int16 portb; #locate portb = 0x02c8

#bit b4 = portb.4 #bit b5 = portb.5

int16 latb; #locate latb = 0x02ca

#bit latb_4 = latb.4 #bit latb_5 = latb.5

void get_speed(void);

void recive_data(void);

byte n; byte datacom[3];

int1 flg_rda,flg_com; int32 k;

int1 flg_ext0,flg_ext2,flg_t1; int16 sec;

int32 GET_T2; int32 get_over; int32 load1;

int16 pwm; int8 cmd1,cmd2; int16 adc0,adc1,adc2,adc3;

#int_EXT0

void EXT0_isr(void)

{ output_toggle(pin_e5);

if(input(pin_d1))

{ set_timer1(0);flg_t1=0;setup_timer1(TMR_INTERNAL|TMR_DIV_BY_64); } }

```

```

#int_EXT2

void EXT2_isr(void)

{ GET_T2=get_timer1(); flg_ext2=1;setup_timer1(TMR_DISABLED);}

#int_TIMER1

void TIMER1_isr(void)

{ flg_t1=1; }

#int_RDA

void RDA_isr(void)

{ datacom[n]=getc(); n++;

if(n>1)

{ flg_com=1;

//disable_interrupts(INT_RDA);

}

}

void main()

{

setup_spi(SPI_SS_DISABLED); setup_wdt(WDT_OFF);

SETUP_ADC_PORTS(sAN0|sAN1|sAN2|sAN3|VSS_VDD );

```

```

SETUP_ADC(ADC_CLOCK_INTERNAL);

setup_compare(1,COMPARE_PWM | COMPARE_TIMER3 );

setup_timer3(TMR_INTERNAL | TMR_DIV_BY_1,1000 );

setup_timer1(TMR_INTERNAL|TMR_DIV_BY_8);

SETUP_TIMER2(TMR_DISABLED);

set_timer2(0);

ext_int_edge( 0, L_TO_H); ext_int_edge( 2, H_TO_L); enable_interrupts(INT_EXT0);

enable_interrupts(INT_EXT2); enable_interrupts(INT_TIMER1); enable_interrupts(INT_RDA);

enable_interrupts(INTR_GLOBAL);

k=0; flg_ext0=0; output_low(pin_e0); output_high(pin_e1);

output_HIGH(pin_d1); set_timer1(1000); sec=0;flg_rda=0;

set_pwm_duty(1,0); n=0;

tris_e2=tris_e3=tris_e4=0; e2=e3=e4=0; tris_b4=0;tris_b5=0;

b4=1;b5=1; k=0;get_over=0; flg_ext2=0;

e2=1;e3=1;e4=1; late_2=1;late_3=1;late_4=1;

WHILE(true)

{

//-----get an0

```

```

set_adc_channel(0);

adc0 = read_adc();

//-----get an1

set_adc_channel(1);

adc1 = read_adc();

//-----get an2 current

set_adc_channel(2);

adc2 = read_adc();

//-----get an3 voltage

set_adc_channel(3);

adc3 = read_adc();

if(flag_ext2)

{ get_over=k*65535;

GET_T2 += get_over;

//printf("speed = %lu \r\n",GET_T2);

flag_ext2=0;get_over=0;k=0; }

if(flag_t1)

{ k++;

```



```

flg_t1=0;

}

if(flg_com)

{ cmd1 = datacom[0];cmd2=datacom[1] ;

switch (cmd1) {

case 1:// check data communication from comport

printf("%u %03u %04lu %04lu %06lu ",datacom[0],datacom[1],adc2,adc3,GET_T2);

printf("s\r\n");

flg_com=0;n=0;

break;

case 2:// command load torque

load1 = datacom[1];

load1*=1000;

load1/=255;

pwm=load1;

printf("%u %03u %04lu %04lu %06lu ",datacom[0],datacom[1],adc2,adc3,GET_T2);

printf("s\r\n");

set_pwm_duty(1,pwm);

```



```

flg_com=0;n=0;

break;

case 3:// command adjust advance angle

switch (cmd2){

case 0:

e2=1;e3=1;e4=1;

late_2=1;late_3=1;late_4=1;

b4=0;delay_ms(1);b4=1;

printf("%u %03u %04lu %04lu %06lu ",datacom[0],datacom[1],adc2,adc3,GET_T2);

printf("s\r\n");

flg_com=0;n=0;

break;

case 5:

e2=1;e3=1;e4=0;

late_2=1;late_3=1;late_4=0;

b4=0;delay_ms(1);b4=1;

printf("%u %03u %04lu %04lu %06lu ",datacom[0],datacom[1],adc2,adc3,GET_T2);

printf("s\r\n");

```

```
flg_com=0;n=0;

break;

case 7:

e2=1;e3=0;e4=1;

late_2=1;late_3=0;late_4=1;

b4=0;delay_ms(1);b4=1;

printf("%u %03u %04lu %04lu %06lu ",datacom[0],datacom[1],adc2,adc3,GET_T2);

printf("s\r\n");

flg_com=0;n=0;

break;

case 9:

e2=1;e3=0;e4=0;

late_2=1;late_3=0;late_4=0;

b4=0;delay_ms(1);b4=1;

printf("%u %03u %04lu %04lu %06lu ",datacom[0],datacom[1],adc2,adc3,GET_T2);

printf("s\r\n");

flg_com=0;n=0;

break;
```

case 15:

```
e2=0;e3=1;e4=1;
```

```
late_2=0;late_3=1;late_4=1;
```

```
b4=0;delay_ms(1);b4=1;
```

```
printf("%u %03u %04lu %04lu %06lu ",datacom[0],datacom[1],adc2,adc3,GET_T2);
```

```
printf("s\r\n");
```

```
flg_com=0;n=0;
```

```
break;
```

case 20:

```
e2=0;e3=1;e4=0;
```

```
late_2=0;late_3=1;late_4=0;
```

```
b4=0;delay_ms(1);b4=1;
```

```
printf("%u %03u %04lu %04lu %06lu ",datacom[0],datacom[1],adc2,adc3,GET_T2);
```

```
printf("s\r\n");
```

```
flg_com=0;n=0;
```

```
break;
```

case 25:

```
e2=0;e3=0;e4=1;
```

```
late_2=0;late_3=0;late_4=1;

b4=0;delay_ms(1);b4=1;

printf("%u %03u %04lu %04lu %06lu ",datacom[0],datacom[1],adc2,adc3,GET_T2);

printf("s\r\n");

flg_com=0;n=0;

break;

case 30:

e2=0;e3=0;e4=0;

late_2=0;late_3=0;late_4=0;

b4=0;delay_ms(1);b4=1;

printf("%u %03u %04lu %04lu %06lu ",datacom[0],datacom[1],adc2,adc3,GET_T2);

printf("s\r\n");

flg_com=0;n=0;

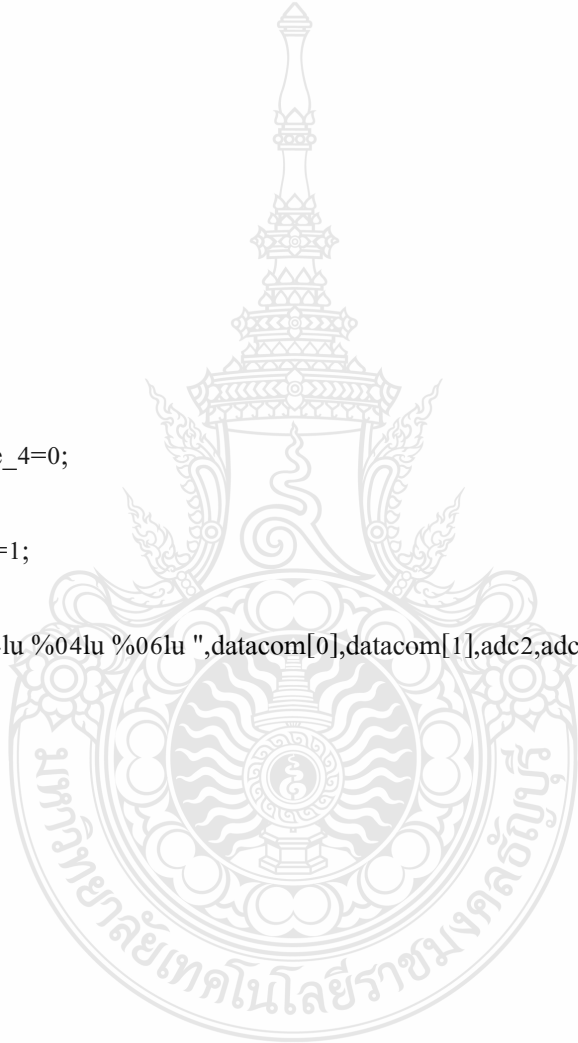
break;

default:

break;

}

break;
```



```

case 4:// command select drive mode (advance or normal)

switch (cmd2){

case 0 :// normal mode

// floating hall sensor

output_high(pin_e0);

output_high(pin_e1);

delay_ms(10);

output_low(pin_e0);

output_high(pin_e1);

printf("%u %03u %04lu %04lu %06lu ,datacom[0],datacom[1],adc2,adc3,GET_T2);

printf("s\r\n");

flg_com=0;n=0;

break;

case 1 :// advance mode

output_high(pin_e0);

output_high(pin_e1);

delay_ms(10);

output_high(pin_e0);

```

```

output_low(pin_e1);

printf("%u %03u %04lu %04lu %06lu ,datacom[0],datacom[1],adc2,adc3,GET_T2);

printf("s\r\n");

flg_com=0;n=0;

break;

case 2 :// floating hall sensor

output_low(pin_e0);

output_low(pin_e1);

printf("%u %03u %04lu %04lu %06lu ,datacom[0],datacom[1],adc2,adc3,GET_T2);

printf("s\r\n");

flg_com=0;n=0;

break;

default:

break;

}

break;

case 5: // command enable or disable drive

switch (cmd2){

```



```
case 0://disable drive

b5=0;

latb_5=0;

printf("%u %03u %04lu %04lu %06lu ,datacom[0],datacom[1],adc2,adc3,GET_T2);

printf("s\r\n");

flg_com=0;n=0;

break;

case 1:// enable drive

b5=1;

latb_5=1;

printf("%u %03u %04lu %04lu %06lu ,datacom[0],datacom[1],adc2,adc3,GET_T2);

printf("s\r\n");

flg_com=0;n=0;

break;

default:

break;

}

break;
```

```
case 6:// get speed ,torque

printf("%u %03u %04lu %04lu %06lu ",datacom[0],datacom[1],adc2,adc3,GET_T2);

printf("s\r\n");

flg_com=0;n=0;

break;

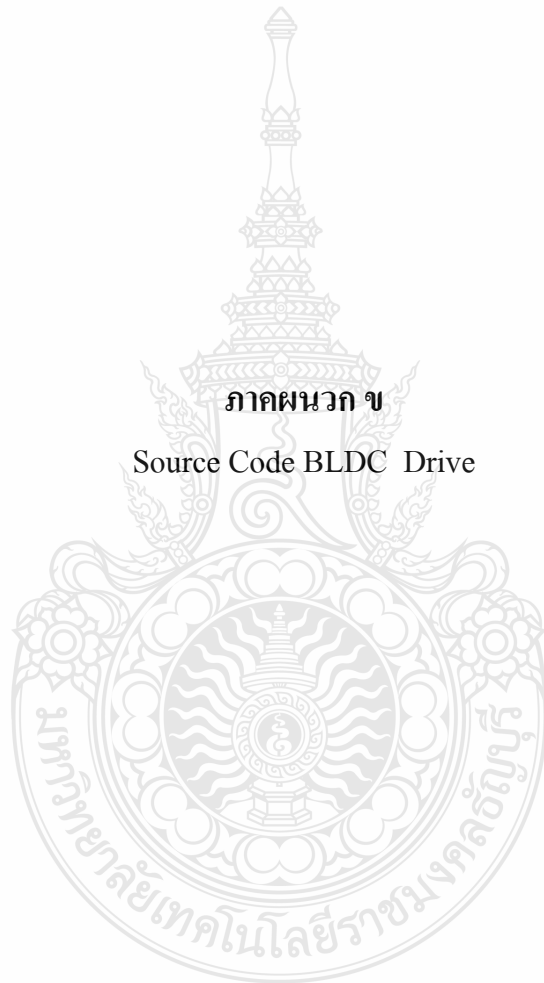
default :

break;

}

}}
```





ภาคผนวก ข

Source Code BLDC Drive

```
//Hall effect PIN_B3-->Blue:PIN_b4-->Green:PIN_b5-->Yellow

#include <30F2010.h>

#define adc=10

#Fuses HS

//#Fuses BORV20

#Fuses BROWNOUT

#Fuses noMCLR

#Fuses PUT4

#Fuses NOWDT

#fuses WPSB10

#use delay(clock=20000000,restart_wdt)

#use rs232(UART1,baud=19200,parity=N,bits=8,)

//#include <math.h>

//#FUSES HPOL_LOW //High.Side Transistors Polarity is Active.High (PWM 1,3,5 and 7)

//#FUSES LPOL_HIGH //Low.Side Transistors Polarity is Active.Low (PWM 0,2,4 and 6)

#priority TIMER1,EXT1

int16 trisB;
```

```

#locate trisB=0x02C6 #bit trisb3=trisb.3

#bit trisb4=trisb.4 #bit trisb5=trisb.5

struct sensor{

INT NON :3;

int data :3;

}hall_data;

#locate hall_data=0x02C8

int16 PTCON;

#locate PTCON = 0x1C0 #bit PTEN = PTCON.15

#bit PTSIDL = PTCON.13 #bit PTOPS3 = PTCON.7

#bit PTOPS2 = PTCON.6 #bit PTOPS1 = PTCON.5

#bit PTOPS0 = PTCON.4 #bit PTCKPS1 = PTCON.3

#bit PTCKPS0 = PTCON.2 #BIT PTMOD1 =PTCON.1

#BIT PTMOD0 =PTCON.0

INT16 PTMR;

#LOCATE PTMR = 0X1C2

INT16 PTPER;

```

#LOCATE PTPER = 0X1C4

INT16 SEVTCMP;

#LOCATE SEVTCMP = 0X1C6

INT16 PWMCON1;

#locate PWMCON1 = 0x1c8

#bit PMOD3 = PWMCON1.10

#bit PMOD2 = PWMCON1.9

#bit PMOD1 = PWMCON1.8

#bit PEN3H = PWMCON1.6

#bit PEN2H = PWMCON1.5

#bit PEN1H = PWMCON1.4

#bit PEN3L = PWMCON1.2

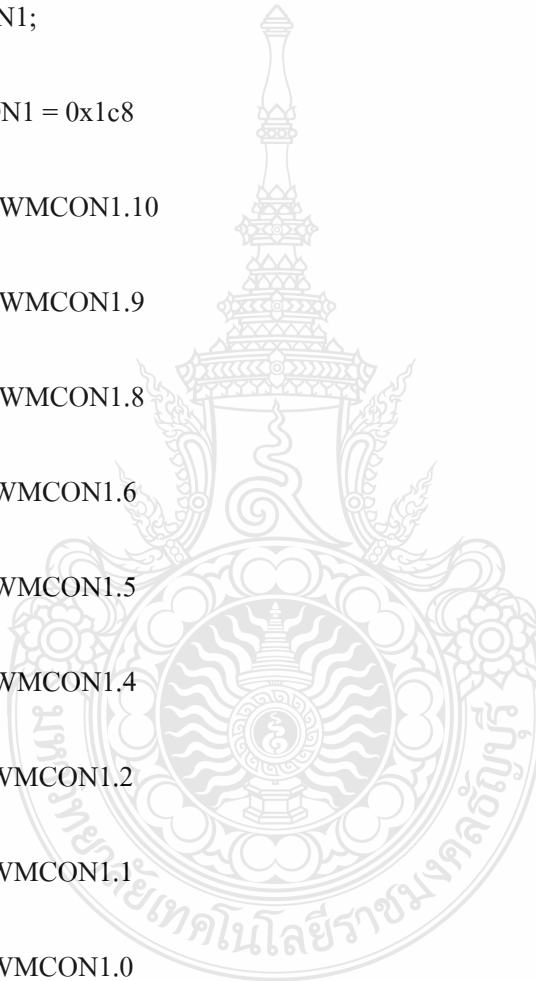
#bit PEN2L = PWMCON1.1

#bit PEN1L = PWMCON1.0

INT16 PWMCON2;

#locate PWMCON2 = 0x1ca

#bit SEVOPS3 = PWMCON2.11



```
#bit SEVOPS2 = PWMCON2.10
```

```
#bit SEVOPS1 = PWMCON2.9
```

```
#bit SEVOPS0 = PWMCON2.8
```

```
#bit OSYNC = PWMCON2.1
```

```
#bit UDIS = PWMCON2.0
```

```
INT16 DTCON1;
```

```
#LOCATE DTCON1 = 0X1CC
```

```
#BIT DTAPS1 = DTCON1.7
```

```
#BIT DTAPS0 = DTCON1.6
```

```
#BIT DTIME5 = DTCON1.5
```

```
#BIT DTIME4 = DTCON1.4
```

```
#BIT DTIME3 = DTCON1.3
```

```
#BIT DTIME2 = DTCON1.2
```

```
#BIT DTIME1 = DTCON1.1
```

```
#BIT DTIME0 = DTCON1.0
```

```
int16 ifs2;
```

```
#locate ifs2=0x088
```

#bit fltaif = ifs2.11

INT16 FLTACON;

#LOCATE FLTACON = 0X1D0

#BIT FAOV3H = FLTACON.13

#BIT FAOV3L = FLTACON.12

#BIT FAOV2H = FLTACON.11

#BIT FAOV2L = FLTACON.10

#BIT FAOV1H = FLTACON.9

#BIT FAOV1L = FLTACON.8

#BIT FLTAM = FLTACON.7

#BIT FAEN3 = FLTACON.2

#BIT FAEN2 = FLTACON.1

#BIT FAEN1 = FLTACON.0

INT16 OVDCON;

#LOCATE OVDCON = 0X1D4

#BIT POVD3H = OVDCON.13

#BIT POVD3L = OVDCON.12

#BIT POVD2H = OVDCON.11

#BIT POVD2L = OVDCON.10

#BIT POVD1H = OVDCON.9

#BIT POVD1L = OVDCON.8

#BIT POUT4H = OVDCON.7

#BIT POUT3H = OVDCON.5

#BIT POUT3L = OVDCON.4

#BIT POUT2H = OVDCON.3

#BIT POUT2L = OVDCON.2

#BIT POUT1H = OVDCON.1

#BIT POUT1L = OVDCON.0

INT16 PDC1;

#LOCATE PDC1 = 0X1D6

INT16 PDC2;

#LOCATE PDC2 = 0X1D8

INT16 PDC3;

#LOCATE PDC3 = 0X1DA

```
INT16 CONST TABLE_FW[]={0x0000,0x2001,0x0810,0x0801,0x0204,0x2004,0x0210};
```

```
INT16 CONST TABLE_RW[]={0x0000,0x0210,0x2004,0x0204,0x0801,0x0810,0x2001};
```

```
INT8 INDEX,TEMPINDEX;
```

```
int1 flg_int,flg_t4,FLG_RDA;
```

```
int16 n;
```

```
INT32 GET_T23;
```

```
int16 duty;
```

```
INT8 GET_DUTY;
```

```
int16 loop;
```

```
#int_RDA
```

```
void RDA_isr(void)
```

```
{
```

```
GET_DUTY=GETC();
```

```
FLG_RDA=1;
```

```
}
```

```
#int_EXT1
```

```
void EXT1_isr(void)
```



```

{

flg_int=1;

GET_T23=get_timer23();

set_timer23(0);

}

#int_TIMER1

void TIMER1_isr(void)

{set_timer1(500);

set_adc_channel( 0 ); duty = read_adc();pdc1= pdc2= pdc3=duty;

flg_t4=1;

clear_interrupt(int_timer1);

}

void main(void)

{ setup_wdt (WDT_OFF);

flg_t4=0;

//trisb=0x000f;

trisb3=trisb4=trisb5=1;

```

```

ptper=0x0080;

SEVTCMP=ptper;

ptmr=0x0000;

//=====PMOD3(PWM3 MODE) PMDO2(PWM2MODE) AND
PMOD1(PWM1MODE) FOR SELECT COMPLEMENTARY OR Independent mode

PMOD3=1;//PWM3

PMOD2=1;//PWM2

PMOD1=1;// PWM1

pten=1; // ENABLE INPUT CLOCK FOR PWM

PTSIDL=0;

//=====PTMOD0 AND PTMOD1 FOR SELECT MODE PWM

ptmod0=0; // 00 Free Running mode

ptmod1=0; // 01 Single-shot mode

// 10 Continuous Up/Down Counting mode.

// 11 Continuous Up/Down mode with interrupts for double PWM

//=====PTCKPS0 AND PTCKPS1 BIT FOR PTMR PRESCALE

ptckps0=1; // 00 (1:1 prescale)

```

```

ptckps1=0; // 01 (1:4 prescale)

// 10 (1:16 prescale)

// 11 (1:64 prescale)

//=====PENxh PENxl for enable pwmoutput=====

pen3h=1; // pen2h=1; // pen1h=1; // pen3l=1; //

pen2l=1; // pen1l=1; //

//=====

pdc1=0x120; // pdc2=0x120; // pdc3=0x120; //

//=====

OSYNC=1;UDIS=0;

POVD1H =1; POVD1L =1; POVD2H =1; POVD2L =1;

POVD3H =1; povd3l =0; Pout3L =1;

//=====

PWMCON2=0X0F00; INDEX=0;

SETUP_ADC_PORTS(sAN0|VSS_VDD );

SETUP_ADC(ADC_CLOCK_INTERNAL);

enable_interrupts(INTR_GLOBAL);

```

```

ENable_interrupts(INT_TIMER1);

disable_interrupts(INT_RDA);

set_timer1(500);

//=====SET TIMER23 32 BIT=====

SETUP_TIMER2(TMR_EXTERNAL|TMR_DIV_BY_1|TMR_32_BIT);

set_timer23(0);

setup_timer1(TMR_INTERNAL|TMR_DIV_BY_8);

disable_interrupts(INT_EXT1);

ext_int_edge( 1, H_TO_L);

pdc1= pdc2= pdc3= 20;

flg_int=0;FLG_RDA=0;

n=0;duty=200;

OVDCON=TABLE_FW[0];

FLTACON=0XFF87;

WHILE(N<5)

{

OUTPUT_TOGGLE(PIN_d1);

```

```
DELAY_MS(1000);

N++;

}

OUTPUT_HIGH(PIN_d1);loop=0;

while(true)

{

INDEX=hall_data.data;

while(INDEX==hall_data.data)

{

OVDCON=TABLE_FW[INDEX];

n++;

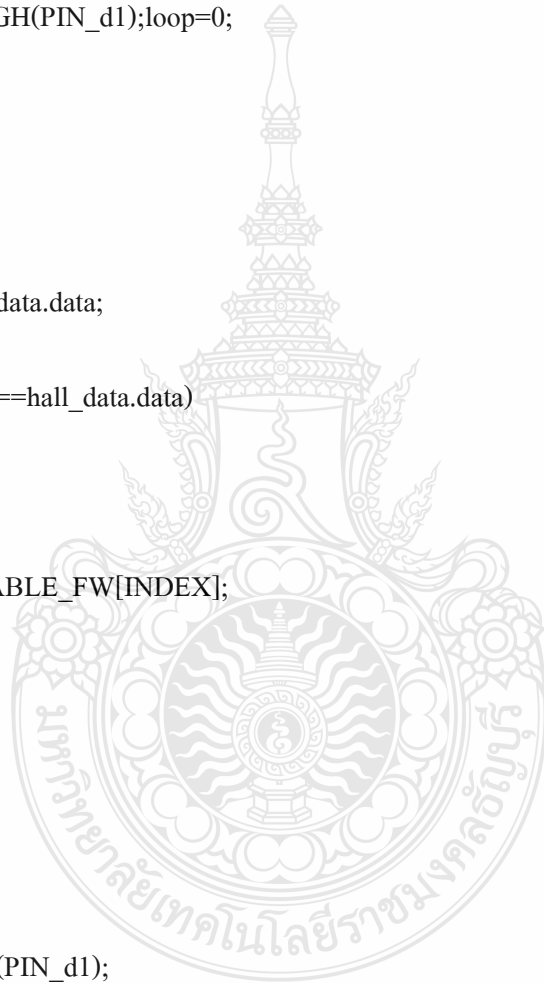
if(n>30000)

{

output_toggle(PIN_d1);

n=0;

} } } }
```





ภาคผนวก ค

Source Code Visual Basic GUI And Data Anlysis

```
Private Sub Form_Load()
```

```
On Error Resume Next
```

```
MSComm1.PortOpen = True
```

```
'----- ini timer-----
```

```
Timer1.Enabled = False
```

```
get_speed_torque.Enabled = False
```

```
cmd_advance.Enabled = False
```

```
cmd_load.Enabled = False
```

```
cmd_drive_adv.Enabled = False
```

```
cmd_enable_drive.Enabled = False
```

```
cmd_disable_drive.Enabled = False
```

```
cmd_floatint_hall.Enabled = False
```

```
cmd_drive_normal.Enabled = False
```

```
step_pwm.Enabled = False
```

```
st_rec.Enabled = False
```

```
t_normal.Enabled = True
```

```
t_advance.Enabled = False
```

start_rec.Enabled = False

auto_step_load.Enabled = False

MANUAL_LOAD.Enabled = False

AUTO_LOAD.Enabled = False

c_data = 0

CLEAR_DATA.Enabled = False

CLR.Enabled = False

REPORT_EXCEL.Enabled = False

report.Enabled = False

'-----initial variable-----'

ref_datax = 0

ref_datay = 0

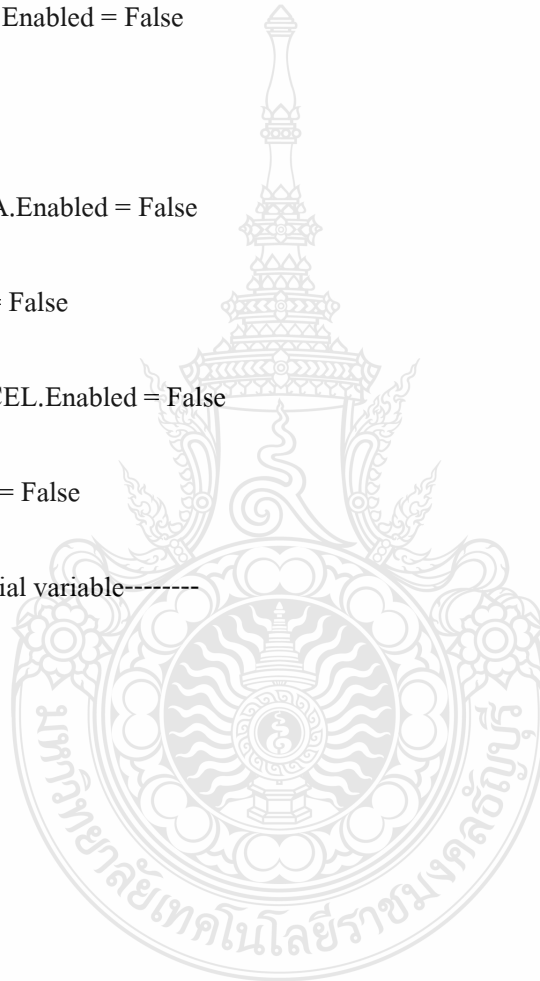
num_data = 0

step_load = 0

max_load = 0.3

min_load = 0

num_plot = 0



max_speed = 500

min_speed = 200

scalex1 = 0

scaley2 = 0

dx = 0

dy = 0

record = False

toggle = 0

avr_value = 0

avr_value2 = 0

avr_value3 = 0

value_x = 0

value_y = 0

load_data = 0

End Sub

Private Sub Label25_Click()

End Sub



```
Private Sub Form_MouseMove(Button As Integer, Shift As Integer, x As Single, Y As Single)
```

```
BLDC2013.Caption = "ADVANCE ANGLE BLDC TECHNOLOGY"
```

```
End Sub
```

```
Private Sub Form_Unload(Cancel As Integer)
```

```
End
```

```
End Sub
```

```
Private Sub MANUAL_LOAD_Timer()
```

```
'-----code command -----
```

```
If c_data = 0 Then
```

```
    MSCComm1.Output = Chr$(2)
```

```
    c_data = c_data + 1
```

```
End If
```

```
'-----data command-----
```

```
If c_data = 1 Then
```

```
    MSCComm1.Output = Chr$(PWM_.Value)
```

```
    c_data = c_data + 1
```

```
End If

'----- stop command-----

If c_data = 2 Then

    MSComm1.Output = Chr$(0)

    c_data = 0

    MANUAL_LOAD.Enabled = False

'Exit Sub

End If

End Sub

Private Sub max_t_Click()

input_var.Show

End Sub

Private Sub MSComm1_OnComm()

Dim finish$

Dim offset$

Dim datain$, A$, b$, c$, d$, G$, h$
```



Dim loop_check

Dim rpm\$

Dim count\$

Dim real_speed

Do

buffer\$ = buffer\$ & MSComm1.Input

loop_check = loop_check + 1

If loop_check > 100000 Then

Exit Sub

End If

Loop Until InStr(buffer\$, "s")

datain\$ = buffer\$

Text1 = datain\$

A\$ = Mid\$(datain\$, 1, 1)

If Val(A\$) < 1 And Val(A\$) > 6 Then GoTo lb7

If Val(A\$) = 1 Then GoTo lb1

If Val(A\$) = 2 Then GoTo lb2

If Val(A\$) = 3 Then GoTo lb3

If Val(A\$) = 4 Then GoTo lb4

If Val(A\$) = 5 Then GoTo lb5

If Val(A\$) = 6 Then GoTo lb6

lb1:

b\$ = Mid\$(datain\$, 17, 6)

'SHOW_SPEED.Text = b\$

If Val(b\$) > 1000 Then

real_speed = Val(b\$) * 64 * 0.0000002 'time/0.5rev (64 is div_clk 64 and 0.0000002 is 1 T
of clock)use t1

real_speed = real_speed * 2 ' time/rev

If real_speed > 0 Then real_speed = 60 / real_speed ' rpm

End If

If avr_value3 <= 9 Then

sum_rpm = sum_rpm + real_speed

avr_value3 = avr_value3 + 1

Else

sum_rpm = sum_rpm / 10

real_speed = sum_rpm

rpm = real_speed

SHOW_SPEED.Text = Format\$(real_speed, "###")

avr_value3 = 0

sum_rpm = 0

power = real_current * real_voltage

If rpm > 0 Then torque = power / rpm

show_loadtorque.Text = Format\$(torque, "0.##")

End If

'-----display current

c\$ = Mid\$(datain\$, 7, 4)

current = Val(c\$) * 5

current = current / 1024

current = current * 3

If avr_value <= 9 Then

```
sum_current = sum_current + current

avr_value = avr_value + 1

Else

sum_current = sum_current / 10

current = sum_current

current = current / 0.6

real_current = current

show_loadcurrent.Text = Format$(current, "##.00")

avr_value = 0

sum_current = 0

End If

'----- display voltage

d$ = Mid$(datain$, 12, 4)

voltage = Val(d$) * 5

voltage = voltage / 1024

voltage = voltage * 10

If avr_value2 <= 9 Then
```

```
sum_voltage = sum_voltage + voltage
```

```
avr_value2 = avr_value2 + 1
```

```
Else
```

```
sum_voltage = sum_voltage / 10
```

```
voltage = sum_voltage
```

```
real_voltage = voltage
```

```
show_loadvoltage.Text = Format$(voltage, "##.00")
```

```
avr_value2 = 0
```

```
sum_voltage = 0
```

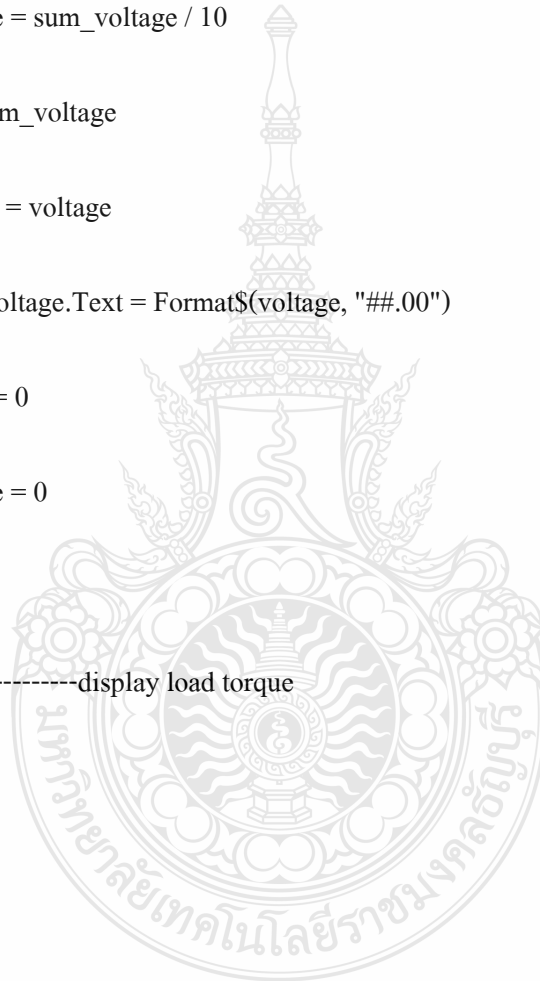
```
End If
```

```
'-----display load torque
```

```
lb2:
```

```
lb3:
```

```
lb4:
```



lb5:

lb6:

lb7:

End Sub

Private Sub PWM_LOAD_Change()

PWM_LOAD.Enabled = True

End Sub

Private Sub Option1_Click()

adv_angle = 0

cmd_advance.Enabled = True

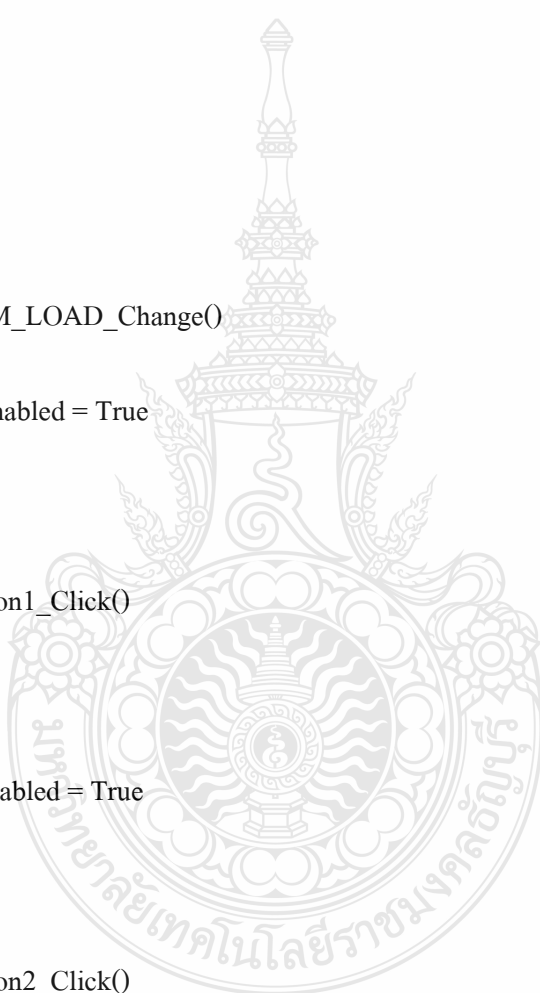
End Sub

Private Sub Option2_Click()

adv_angle = 5

cmd_advance.Enabled = True

End Sub



Private Sub Option3_Click()

adv_angle = 7

cmd_advance.Enabled = True

End Sub

Private Sub Option4_Click()

adv_angle = 9

cmd_advance.Enabled = True

End Sub

Private Sub Option5_Click()

adv_angle = 15

cmd_advance.Enabled = True

End Sub

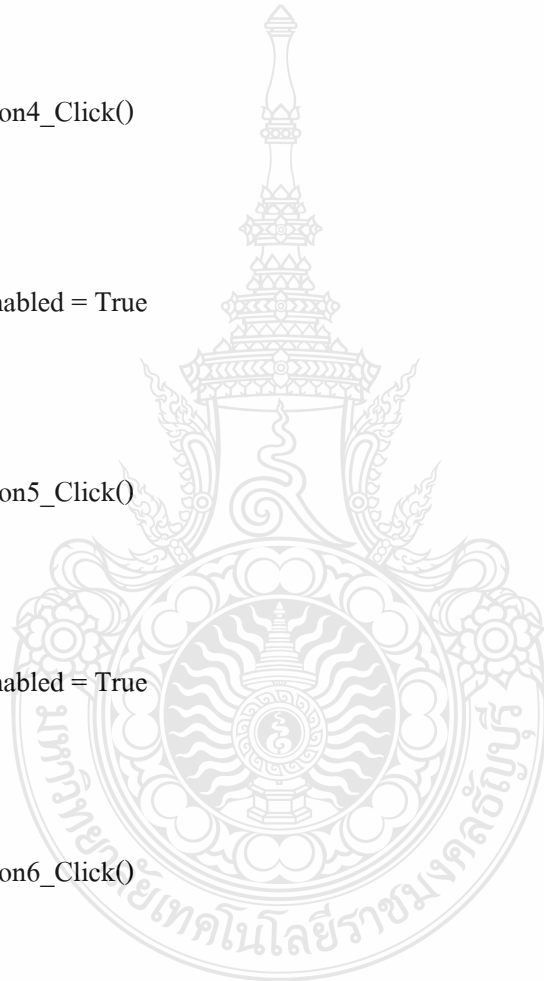
Private Sub Option6_Click()

adv_angle = 20

cmd_advance.Enabled = True

End Sub

Private Sub Option7_Click()



```

adv_angle = 25

cmd_advance.Enabled = True

End Sub

Private Sub Option8_Click()

adv_angle = 30

cmd_advance.Enabled = True

End Sub

Private Sub Picture1_MouseMove(Button As Integer, Shift As Integer, x As Single, Y As
Single)

BLDC2013.Caption = "ADVANCE ANGLE BLDC TECHNOLOGY" & " " & "speed =" & x
& " " & "RPM" & " " & "load =" & Y & " " & "N.m"

End Sub

Private Sub Picture1_Paint()

divy = (max_load - min_load) / 10

divx = (max_speed - min_speed) / 10

'-----DISPLAY SCALE LOAD-----

lbt1.Caption = min_load + (divy * 1)

```

lbt2.Caption = min_load + (divy * 2)

lbt3.Caption = min_load + (divy * 3)

lbt4.Caption = min_load + (divy * 4)

lbt5.Caption = min_load + (divy * 5)

lbt6.Caption = min_load + (divy * 6)

lbt7.Caption = min_load + (divy * 7)

lbt8.Caption = min_load + (divy * 8)

lbt9.Caption = min_load + (divy * 9)

lbt10.Caption = min_load + (divy * 10)

-----DISPLAY SCALE E_SPEED-----

lbsp1.Caption = min_speed + (divx * 1)

lbsp2.Caption = min_speed + (divx * 2)

lbsp3.Caption = min_speed + (divx * 3)

lbsp4.Caption = min_speed + (divx * 4)

lbsp5.Caption = min_speed + (divx * 5)

lbsp6.Caption = min_speed + (divx * 6)

lbsp7.Caption = min_speed + (divx * 7)

lbsp8.Caption = min_speed + (divx * 8)

lbsp9.Caption = min_speed + (divx * 9)

lbsp10.Caption = min_speed + (divx * 10)

'-----SET SCALE-----'

Picture1.Cls

Picture1.DrawWidth = 2

Picture1.DrawStyle = 0

scalex1 = min_speed

scaley1 = max_load

scalex2 = max_speed

scaley2 = min_load

Picture1.Scale (scalex1, scaley1)-(scalex2, scaley2)

'-----draw gride scale x-----'

Picture1.DrawWidth = 1

Picture1.DrawStyle = 2

For x = min_speed To max_speed Step divx

Picture1.Line (x, 0)-(x, max_load)

Next x

'-----draw gride scale y-----'

For x = min_load To max_load Step divy

Picture1.Line (0, x)-(max_speed, x)

Next x

'Me.Circle (1500, 1500), 150, vbBlack

End Sub

Private Sub PWM__Change()

MANUAL_LOAD.Enabled = True

End Sub

Private Sub report_Click()

Dim MYOBJECT As Object

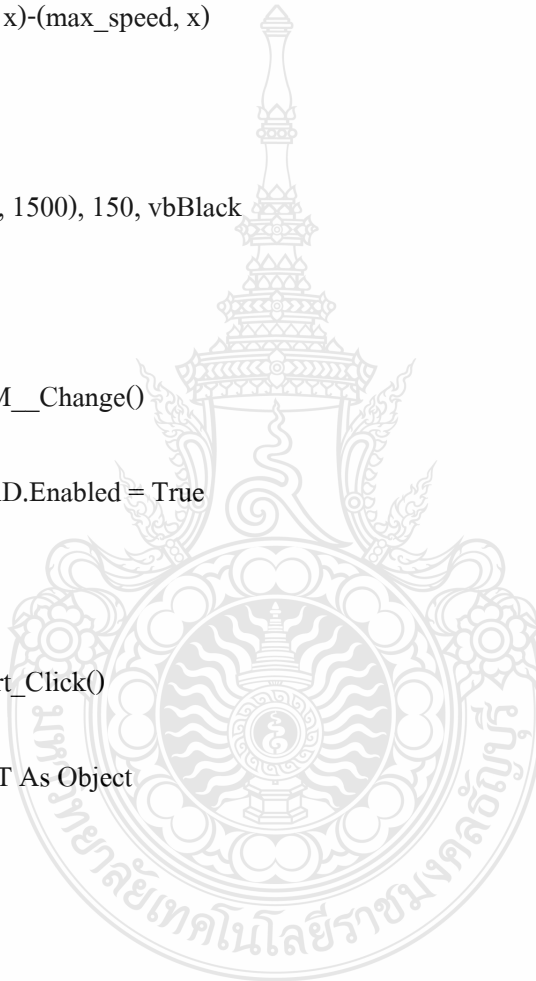
Dim k

Dim j

Dim t\$

Dim S\$

Dim A, b As Integer, c



```
Dim colum As String
```

```
Dim index
```

```
index = 65
```

```
colum = Chr$(index)
```

```
Set MYOBJECT = CreateObject("Excel.Application")
```

```
MYOBJECT.workbooks.Add
```

```
'MsgBox (W2$)
```

```
For j = 0 To ref_datax - 1
```

```
'-----
```

```
If j = 0 Then
```

```
For k = 0 To save_numdata(j)
```

```
colum = Chr$(index)
```

```
t$ = colum & k + 1
```

```
colum = Chr$(index + 1)
```

```
S$ = colum & k + 1
```

```
MYOBJECT.range(S$).Value = save_datax(j, k)
```

```
MYOBJECT.range(t$).Value = save_datay(j, k)
```

Next k

End If

'-----

If j = 1 Then

For k = 0 To save_numdata(j)

column = Chr\$(index + 2)

t\$ = column & k + 1

column = Chr\$(index + 3)

S\$ = column & k + 1

MYOBJECT.range(S\$).Value = save_datax(j, k)

MYOBJECT.range(t\$).Value = save_datay(j, k)

Next k

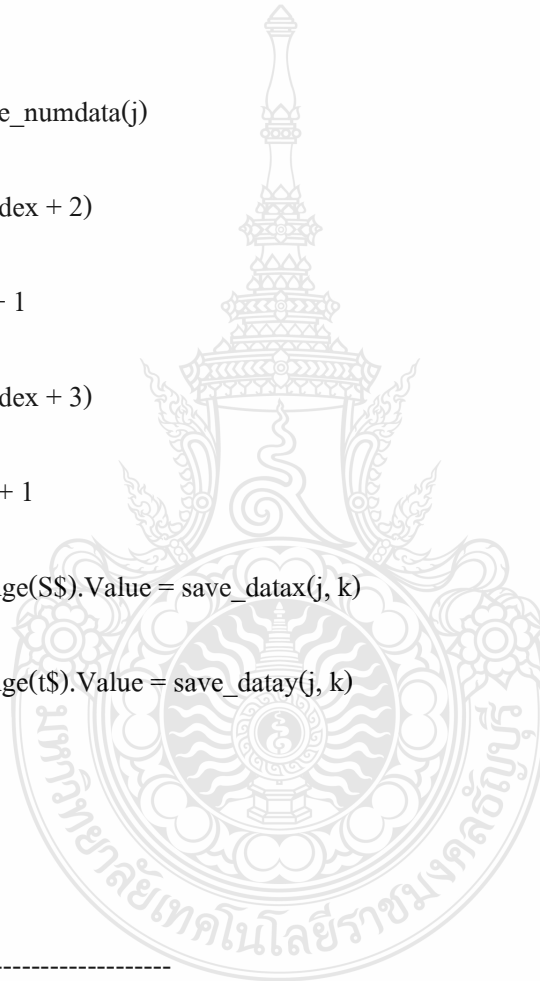
End If

'-----

If j = 2 Then

For k = 0 To save_numdata(j)

column = Chr\$(index + 4)




```

t$ = colum & k + 1

colum = Chr$(index + 5)

S$ = colum & k + 1

MYOBJECT.range(S$).Value = save_datay(j, k)

MYOBJECT.range(t$).Value = save_datay(j, k)

Next k

End If

'-----

If j = 3 Then

For k = 0 To save_numdata(j)

colum = Chr$(index + 6)

t$ = colum & k + 1

colum = Chr$(index + 7)

S$ = colum & k + 1

MYOBJECT.range(S$).Value = save_datay(j, k)

MYOBJECT.range(t$).Value = save_datay(j, k)

Next k

```

End If

Next j

MYOBJECT.Visible = True

'-----ENABLE COMMAND-----'

CLEAR_DATA.Enabled = True

CLR.Enabled = True

CLEAR_DATA.Enabled = True

CLR.Enabled = True

REPORT_EXCEL.Enabled = False

report.Enabled = False

End Sub

Private Sub REPORT_EXCEL_Click()

Dim MYOBJECT As Object

Dim k

Dim j

Dim t\$

Dim S\$

Dim A, b As Integer, c

Dim colum As String

Dim index

index = 65

colum = Chr\$(index)

Set MYOBJECT = CreateObject("Excel.Application")

MYOBJECT.workbooks.Add

For j = 0 To ref_datax - 1

'-----

If j = 0 Then

For k = 0 To save_numdata(j)

colum = Chr\$(index)

t\$ = colum & k + 1

colum = Chr\$(index + 1)

S\$ = colum & k + 1

MYOBJECT.range(S\$).Value = save_datax(j, k)

```
MYOBJECT.range(t$).Value = save_datay(j, k)
```

```
Next k
```

```
End If
```

```
If j = 1 Then
```

```
For k = 0 To save_numdata(j)
```

```
column = Chr$(index + 2)
```

```
t$ = column & k + 1
```

```
column = Chr$(index + 3)
```

```
S$ = column & k + 1
```

```
MYOBJECT.range(S$).Value = save_datax(j, k)
```

```
MYOBJECT.range(t$).Value = save_datay(j, k)
```

```
Next k
```

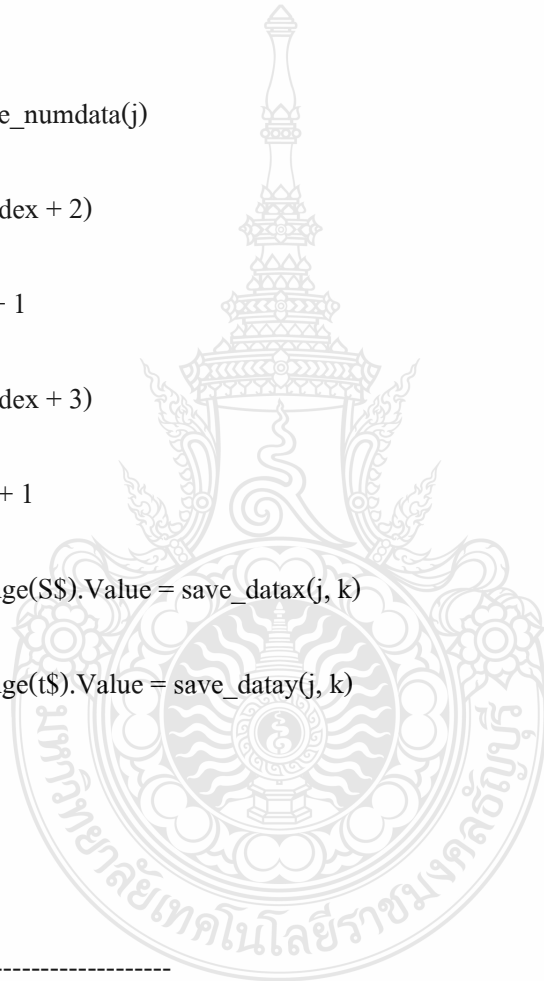
```
End If
```

```
'-----
```

```
If j = 2 Then
```

```
For k = 0 To save_numdata(j)
```

```
column = Chr$(index + 4)
```



```

t$ = colum & k + 1

colum = Chr$(index + 5)

S$ = colum & k + 1

MYOBJECT.range(S$).Value = save_datay(j, k)

MYOBJECT.range(t$).Value = save_datay(j, k)

Next k

End If

'-----

If j = 3 Then

For k = 0 To save_numdata(j)

colum = Chr$(index + 6)

t$ = colum & k + 1

colum = Chr$(index + 7)

S$ = colum & k + 1

MYOBJECT.range(S$).Value = save_datay(j, k)

MYOBJECT.range(t$).Value = save_datay(j, k)

Next k

```

End If

Next j

MYOBJECT.Visible = True

End Sub

Private Sub run_advance_Click()

cmd_drive_adv.Enabled = True

t_advance.Enabled = True

t_normal.Enabled = False

End Sub

Private Sub run_normal_Click()

cmd_drive_normal.Enabled = True

t_normal.Enabled = True

t_advance.Enabled = False

End Sub

Private Sub scal_rpm_Change()

If record = True Then

```
x1 = Val(scal_rpm.Text)

y1 = Val(scal_t.Text)

If (x1 < value_x) Then

save_datay(ref_datay, num_data) = y1

save_datay(ref_datay, num_data) = y1

num_data = num_data + 1

Picture1.Line (value_x, value_y)-(x1, y1), QBColor(num_plot)

End If

value_x = x1

value_y = y1

End If

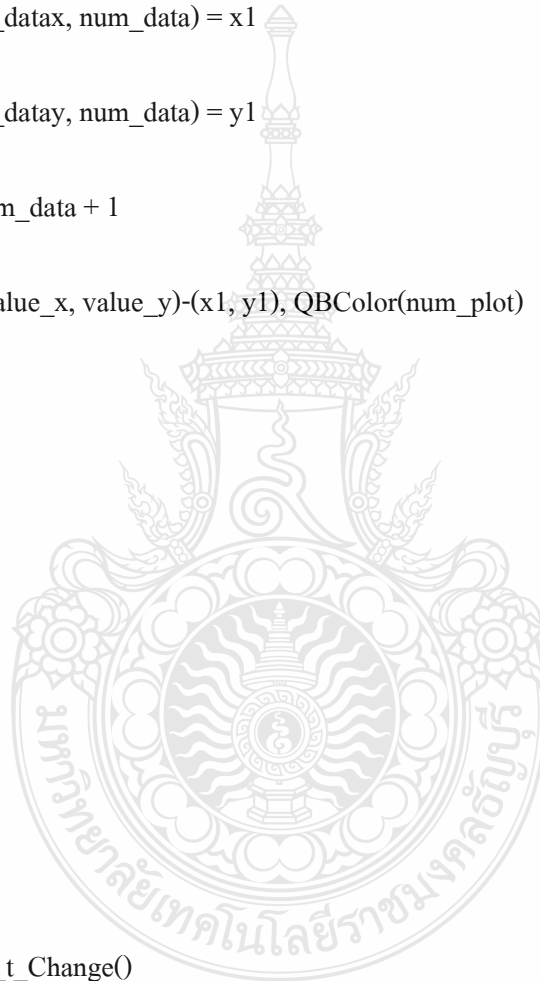
End Sub

Private Sub scal_t_Change()

End Sub

Private Sub SCALE_Click()

scal_rpm.Text = ""
```



```
input_var.Show
```

```
st_rec.Enabled = False
```

```
End Sub
```

```
Private Sub show_loadtorque_Change()
```

```
scal_t.Text = show_loadtorque.Text
```

```
End Sub
```

```
Private Sub SHOW_SPEED_Change()
```

```
scal_rpm.Text = SHOW_SPEED.Text
```

```
End Sub
```

```
Private Sub st_rec_Timer()
```

```
If toggle = 0 Then
```

```
Timer1.Enabled = True
```

```
toggle = toggle + 1
```

```
Else
```

```
Timer1.Enabled = False
```

```
toggle = 0
```

```
End If
```


End Sub

Private Sub start_rec_Click()

show_loadtorque.Text = "0.00"

SHOW_SPEED.Text = "000"

show_loadcurrent.Text = "0.00"

show_loadvoltage.Text = "0.00"

st_rec.Enabled = True

avr_value = 0

avr_value2 = 0

avr_value3 = 0

sum_current = 0

sum_voltage = 0

sum_rpm = 0

value_x = 0

value_y = 0

x1 = Val(scal_rpm.Text)

y1 = Val(scal_t.Text)



```
save_datax(ref_datax, num_data) = x1
```

```
save_datay(ref_datay, num_data) = y1
```

```
record = True
```

```
Picture1.DrawWidth = 2
```

```
Picture1.DrawStyle = 0
```

```
'-----DISABLE COMMAND-----'
```

```
CLEAR_DATA.Enabled = False
```

```
CLR.Enabled = False
```

```
REPORT_EXCEL.Enabled = False
```

```
End Sub
```

```
Private Sub step_pwm_Timer()
```

```
step_load = step_load + 15
```

```
PWM_Value = step_load
```

```
If step_load > 240 Then
```

```
step_pwm.Enabled = False
```

```
record = False
```

```
save_numdata(ref_datax) = num_data
```

```
ref_datax = ref_datax + 1
```

```
ref_datay = ref_datax
```

```
num_data = 0
```

```
num_plot = num_plot + 1
```

```
PWM_.Value = 0
```

```
'-----ENABLE COMMAND-----'
```

```
CLEAR_DATA.Enabled = False
```

```
CLR.Enabled = False
```

```
REPORT_EXCEL.Enabled = True
```

```
report.Enabled = True
```

```
End If
```

```
End Sub
```

```
Private Sub t_advance_Timer()
```

```
If display_mode = 0 Then
```

```
displaymode.BackColor = QBColor(12)
```

```
display_mode = display_mode + 1
```

```
displaymode.Caption = "ADVANCE MODE"
```

```
Else
```

```
displaymode.BackColor = QBColor(7)
```

```
display_mode = 0
```

```
displaymode.Caption = ""
```

```
End If
```

```
End Sub
```

```
Private Sub t_normal_Timer()
```

```
If display_mode = 0 Then
```

```
displaymode.BackColor = QBColor(10)
```

```
display_mode = display_mode + 1
```

```
displaymode.Caption = "NORMAL MODE"
```

```
Else
```

```
displaymode.BackColor = QBColor(7)
```

```
display_mode = 0
```

```
displaymode.Caption = ""
```

```
End If
```

```
End Sub
```

```
Private Sub Text2_Change()
```

```
code = Val(Text2.Text)
```

```
End Sub
```

```
Private Sub Text3_Change()
```

```
PWM = Val(Text3.Text)
```

```
End Sub
```

```
Private Sub Timer1_Timer()
```

```
'-----code command-----
```

```
If c_data = 0 Then
```

```
MSComm1.Output = Chr$(1)
```

```
c_data = c_data + 1
```

```
End If
```

```
'-----data command-----
```

```
If c_data = 1 Then
```

```
MSComm1.Output = Chr$(0)
```

```
c_data = c_data + 1
```

End If

'----- stop command-----'

If c_data = 2 Then

MSComm1.Output = Chr\$(0)

c_data = 0

Timer1.Enabled = False

'Exit Sub

End If

End Sub

Public max_load

Public min_load

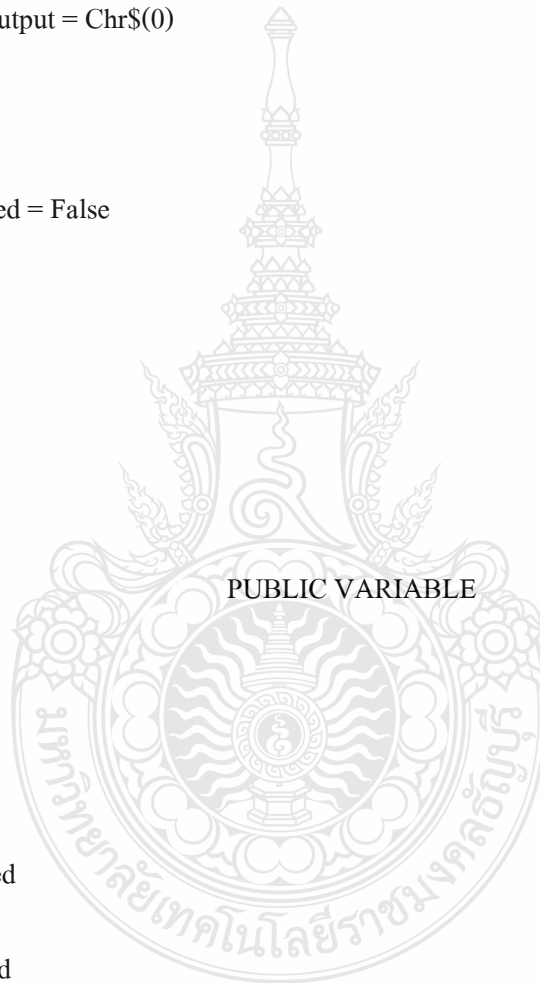
Public max_speed

Public min_speed

Public scalex1

Public scalex2

Public scaley1



Public scaley2

Public divx

Public divy

Public dx

Public dy

Public toggle

Public current

Public voltage

Public avr_value

Public avr_value2

Public avr_value3

Public sum_rpm

Public sum_current

Public sum_voltage

Public real_current

Public real_voltage

Public torque



Public power

Public rpm

Public step_load

Public record As Boolean

Public x1

Public y1

Public value_x

Public value_y

Public num_plot

Public save_datax(5, 500)

Public save_datay(5, 500)

Public ref_datax

Public ref_datay

Public num_data

Public load_data

Public save_numdata(5)





ภาคผนวก ง

Source Code Matlab (S-Function)

[1] S- Function Inverter

```
function [sys,x0,str,ts] = timestwo(t,x,u,flag,vmax)
```

```
% Dispatch the flag. The switch function controls the calls to
```

```
% S-function routines at each simulation stage.
```

```
%INPUT VECTOR
```

```
%u(1) Ha
```

```
%u(2) Hb
```

```
%u(3) Hc
```

```
%u(4) Vbatt
```

```
% output vector
```

```
%sys(1) Va
```

```
%sys(2) Vb
```

```
%sys(3) Vc
```

```
switch flag
```

```
case 0
```

```
[sys,x0,str,ts] = mdlInitializeSizes(t,x,u,flag,vmax); % Initialization
```



```

case 1,

sys = mdlDerivatives(t,x,u,flag,vmax);

case 3

sys = mdlOutputs(t,x,u,vmax); % Calculate outputs

case { 1, 2, 4, 9 }

sys = []; % Unused flags

otherwise

error(['Unhandled flag = ',num2str(flag)]); % Error handling

end;

% End of function timestwo.

%=====

% Function mdlInitializeSizes initializes the states, sample

% times, state ordering strings (str), and sizes structure.

%=====

function [sys,x0,str,ts] = mdlInitializeSizes(t,x,u,flag,vmax)

% Call function simsizes to create the sizes structure.

sizes = simsizes;

```

```
% Load the sizes structure with the initialization information.
```

```
sizes.NumContStates= 0;
```

```
sizes.NumDiscStates= 0;
```

```
sizes.NumOutputs= 3;
```

```
sizes.NumInputs= 4;
```

```
sizes.DirFeedthrough=1;
```

```
sizes.NumSampleTimes=1;
```

```
% Load the sys vector with the sizes information.
```

```
sys = simsizes(sizes);
```

```
x0 = []; % No continuous states
```

```
str = []; % No state ordering
```

```
ts = [-1 0]; % Inherited sample time
```

```
% End of mdlInitializeSizes.
```

```
%=====
```

```
% Function mdlOutputs performs the calculations.
```

```
%=====
```

```
function sys = mdlOutputs(t,x,u,vmax)
```

```
%a=2;b=3;c=4;

ha=u(1);% = a*u(1);

hb=u(2);%=b*u(2);

hc=u(3);%=c*u(3);

vb=u(4);

if(vb > vmax)

vb=vmax;

end

%sys = rccvmaxt(t,x,u);

% End of mdlOutputs.

if(ha>0 & hb==0 & hc==0)%100

if(vb > vmax)

vb=vmax;

end

sys(1)=vb;

sys(2)=-vb;

sys(3)=0;
```



```
end
```

```
if(ha>0 & hb>0 & hc==0)%110
```

```
if(vb > vmax)
```

```
vb=vmax;
```

```
end
```

```
sys(1)=vb;
```

```
sys(2)=0;
```

```
sys(3)=-vb;
```

```
end
```

```
if(ha==0 & hb>0 & hc==0)%010
```

```
if(vb > vmax)
```

```
vb=vmax;
```

```
end
```

```
sys(1)=0;
```

```
sys(2)=vb;
```

```
sys(3)=-vb;
```

```
end
```



```
if(ha==0 & hb>0 & hc>0)%011
```

```
if(vb > vmax)
```

```
vb=vmax;
```

```
end
```

```
sys(1)=-vb;
```

```
sys(2)=vb;
```

```
sys(3)=0;
```

```
end
```

```
if(ha==0 & hb==0 & hc>0)%001
```

```
if(vb > vmax)
```

```
vb=vmax;
```

```
end
```

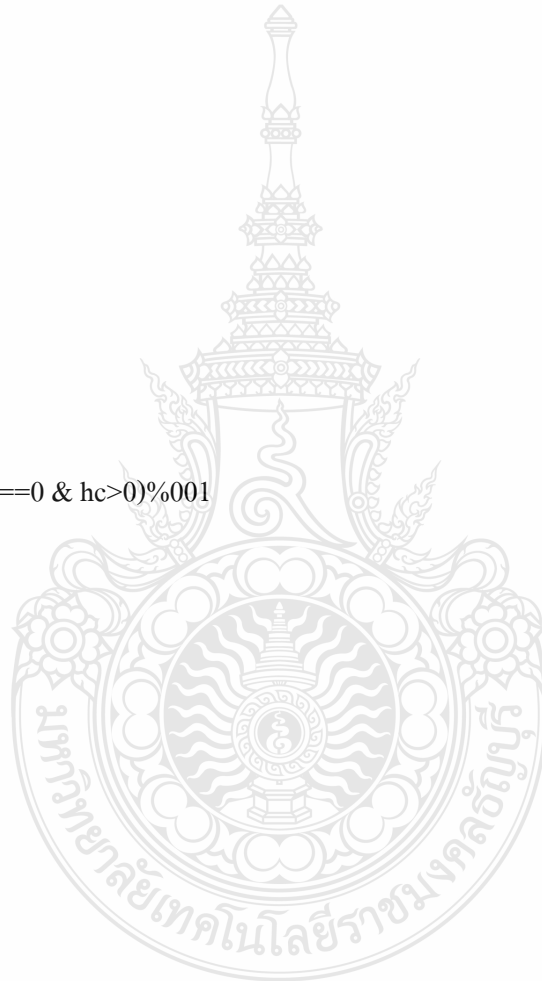
```
sys(1)=-vb;
```

```
sys(2)=0;
```

```
sys(3)=vb;
```

```
end
```

```
if (ha>0 & hb==0 & hc>0)%101
```



```
if(vb > vmax)
```

```
vb=vmax;
```

```
end
```

```
sys(1)=0;
```

```
sys(2)=-vb;
```

```
sys(3)=vb;
```

```
end
```

[2] S- Function Back EMF And Hall sensor

```
function [sys,x0,str,ts] = bldc(t,x,u,flag,R,L,J,P,kw)
```

```
% BLDC An example M-file S-function for defining a system of
```

```
% The expected input vector is:
```

```
% (1): Wr
```

```
%(2): theta
```

```
%OUTPUT VECTOR GENERATED BY THE SYSTEM:
```

```
%(1): Emf_u
```

```
%(2): Emf_v
```



```

%(3): Emf_w

%(4): Ha

%(5): Hb

%(6): Hc

%(7): theta

% Dispatch the flag.

switch flag,

case 0,

[sys,x0,str,ts]=mdlInitializeSizes(R,L,J,P,kw); % Initialization

case 1,

sys = mdlDerivatives(t,x,u,R,L,J,P,kw); % Calculate derivatives

case 2, %model update

sys = mdlUpdate(t,x,u,R,L,J,P,kw); % update the model

case 3,

sys = mdlOutputs(t,x,u,R,L,J,P,kw); % Calculate outputs

case 4, % Unused flags

sys = [];

```

```

case 'reset'

% name = 'myblcd_md12/myblcd/my state-space';

%LocalResetController(name);

case 9,

% sys=mdlTerminate(t,x,u);

%%%%%%%%%%

% Unexpected flags %

%%%%%%%%%%

otherwise

error(['Unhandled flag = ',num2str(flag)]);

end

% End of csfunc.

%=====

% mdlInitializeSizes

% Return the sizes, initial conditions, and sample times for the

% S-function.

%=====

```

```

function [sys,x0,str,ts] = mdlInitializeSizes(R,L,J,P,kw)

% Call simsizes for a sizes structure, fill it in and convert it
% to a sizes array.

sizes = simsizes;

sizes.NumContStates = 0;

sizes.NumDiscStates = 0;

sizes.NumOutputs = 7;

sizes.NumInputs = 2;

sizes.DirFeedthrough = 1; % Matrix D is nonempty.

sizes.NumSampleTimes = 1;

sys = simsizes(sizes);

% Initialize the initial conditions.

x0 = [];

% str is an empty matrix.

%

str = [];

%

```

```
% Initialize the array of sample times; in this example the sample
```

```
% time is continuous, so set ts to 0 and its offset to 0.
```

```
%
```

```
ts = [0 0];
```

```
% End of mdlInitializeSizes.
```

```
%=====
```

```
% mdlDerivatives
```

```
% Return the derivatives for the continuous states.
```

```
% Nothing needs to be done here.
```

```
%=====
```

```
function sys = mdlDerivatives(t,x,u,R,L,J,P,kw)
```

```
sys=[];
```

```
%=====
```

```
% mdlUpdate
```

```
% Update the model parameters.
```

```
% Nothing needs to be done here
```

```
%=====
```

```

function sys = mdlUpdate(t,x,u,R,L,J,P,kw); % update the model

sys=[];

%=====

% mdlOutput

% calculate the model outputs and update other blocks ( Adaptive coefficients)

%=====

function sys = mdlOutputs(t,x,u,R,L,J,P,kw)

theta = rem (u(2),2*pi); % make theta between 2*pi and -2*pi

sys(7)=theta;

if (theta>=0 & theta<pi/6) % 0 TO 30 DEGREE

LA= 6*theta/pi;

LB=-1;

LC=1;

sys(1)= LA*kw*u(1); % Back emf for phase U

sys(2)=LB*kw*u(1); %Back emf for phase V

sys(3)=LC*kw*u(1); %Back emf for phase W

%-----12

```

```

sys(4)= 5;          %HALL SENSOR A

sys(5)=0;          %HALL SENSOR B

sys(6)=0;          %HALL SENSOR C

end;

if (theta>=pi/6 & theta<pi/3)    % 30 TO 60 DEGREE

LA=1;

LB=-1;

LC=-6*(theta-(2*pi/6))/pi;

sys(1)= LA*kw*u(1);    % Back emf for phase U

sys(2)=LB*kw*u(1);    %Back emf for phase V

sys(3)=LC*kw*u(1); %Back emf for phase W

sys(4)= 5;          %HALL SENSOR A

sys(5)=0;          %HALL SENSOR B

sys(6)=0;          %HALL SENSOR C

end;

if (theta>=pi/3 & theta<pi/2)    % 60 TO 90 DEGREE

LA=1;

```

```

LB=-1;

LC=-6*(theta-(2*pi/6))/pi;

sys(1)= LA*kw*u(1); % Back emf for phase U

sys(2)=LB*kw*u(1); %Back emf for phase V

sys(3)=LC*kw*u(1); %Back emf for phase W

sys(4)= 5; %HALL SENSOR A

sys(5)=5; %HALL SENSOR B

sys(6)=0; %HALL SENSOR C

end;

if (theta>=pi/2 & theta<2*pi/3) % 90 TO 120 DEGREE

LA=1;

LB=( theta-(4*pi/6) )*6/pi;

LC=-1;

sys(1)= LA*kw*u(1); % Back emf for phase U

sys(2)=LB*kw*u(1); %Back emf for phase V

sys(3)=LC*kw*u(1); %Back emf for phase W

sys(4)= 5; %HALL SENSOR A

```

```

sys(5)=5;          %HALL SENSOR B

sys(6)=0;          %HALL SENSOR C

end;

if(theta>=2*pi/3 & theta<5*pi/6) %120 TO 150 DEGREE

LA=1;

LB=( theta-(2*pi/3) )*6/pi;

LC=-1;

sys(1)= LA*kw*u(1); % Back emf for phase U

sys(2)=LB*kw*u(1); %Back emf for phase V

sys(3)=LC*kw*u(1); %Back emf for phase W

sys(4)= 0;          %HALL SENSOR A

sys(5)=5;          %HALL SENSOR B

sys(6)=0;          %HALL SENSOR C

end;

if (theta>=5*pi/6 & theta<pi) % 150 TO 180 DEGREE

LA=(pi-theta)*6/pi;

LB=1;

```



```

LC=-1;

sys(1)= LA*kw*u(1); % Back emf for phase U

sys(2)=LB*kw*u(1); %Back emf for phase V

sys(3)=LC*kw*u(1); %Back emf for phase W

sys(4)=0; %HALL SENSOR A

sys(5)=5; %HALL SENSOR B

sys(6)=0; %HALL SENSOR C

%----- 7

end;

if(theta>=pi & theta<7*pi/6) % 180 TO 210 DEGREE

LA=(pi-theta)*6/pi;

LB=1;

LC=-1;

sys(1)= LA*kw*u(1); % Back emf for phase U

sys(2)=LB*kw*u(1); %Back emf for phase V

sys(3)=LC*kw*u(1); %Back emf for phase W

sys(4)= 0; %HALL SENSOR A

```

```

sys(5)=5;          %HALL SENSOR B

sys(6)=5;          %HALL SENSOR C

%-----6

end;

if(theta>=7*pi/6 & theta<4*pi/3) % 210 TO 240 DEGREE

LA= -1;

LB=1;

LC=( theta-(4*pi/3))*6/pi;

sys(1)= LA*kw*u(1); % Back emf for phase U

sys(2)=LB*kw*u(1); %Back emf for phase V

sys(3)=LC*kw*u(1); %Back emf for phase W

sys(4)= 0;          %HALL SENSOR A

sys(5)=5;          %HALL SENSOR B

sys(6)=5;          %HALL SENSOR C

%-----5

end;

if (theta>=4*pi/3 & theta<3*pi/2) % 240 TO 270 DEGREE

```

```

LA= -1;

LB=1;

LC=( theta -(4*pi/3))*6/pi;

sys(1)= LA*kw*u(1); % Back emf for phase U

sys(2)=LB*kw*u(1); %Back emf for phase V

sys(3)=LC*kw*u(1); %Back emf for phase W

sys(4)= 0; %HALL SENSOR A

sys(5)=0; %HALL SENSOR B

sys(6)=5; %HALL SENSOR C

%-----4

end;

if(theta>=3*pi/2 & theta<5*pi/3) % 270 TO 300 DEGREE

LA= -1;

LB=((5*pi/3)-theta)*6/pi;

LC=1;

sys(1)= LA*kw*u(1); % Back emf for phase U

sys(2)=LB*kw*u(1); %Back emf for phase V

```

```

sys(3)=LC*kw*u(1); %Back emf for phase W

sys(4)= 0;          %HALL SENSOR A

sys(5)=0;          %HALL SENSOR B

sys(6)=5;          %HALL SENSOR C

%-----3

end;

if(theta>=5*pi/3 & theta<11*pi/6) % 300 TO 330 DEGREE

LA= -1;

LB=((5*pi/3)-theta)*6/pi;

LC=1;

sys(1)= LA*kw*u(1); % Back emf for phase U
sys(2)=LB*kw*u(1); %Back emf for phase V
sys(3)=LC*kw*u(1); %Back emf for phase W

sys(4)= 5;          %HALL SENSOR A

sys(5)=0;          %HALL SENSOR B

sys(6)=5;          %HALL SENSOR C

%-----

```

```

end;

if(theta>=11*pi/6 & theta<2*pi) % 330 TO 360 DEGREE

LA= 6*(theta-2*pi)/pi;

LB=-1;

LC=1;

sys(1)= LA*kw*u(1); % Back emf for phase U

sys(2)= LB*kw*u(1); %Back emf for phase V

sys(3)= LC*kw*u(1); %Back emf for phase W

sys(4)= 5; %HALL SENSOR A

sys(5)=0; %HALL SENSOR B

sys(6)=5; %HALL SENSOR C

%-----

end;

%%-----CALCULATION FOR%%SYS(4)<0-----tt

if (theta>=-2*pi & theta<-11*pi/6) %-360 to -330

LA= (theta+2*pi)*6/pi;

LB=-1;

```

```

LC=1;

sys(1)= LA*kw*u(1); % Back emf for phase U

sys(2)=LB*kw*u(1); %Back emf for phase V

sys(3)=LC*kw*u(1); %Back emf for phase W

sys(4)= 5; %HALL SENSOR A

sys(5)= 0; %HALL SENSOR B

sys(6)= 5; %HALL SENSOR C

%-----

end;

if (theta>=-11*pi/6 & theta<=-5*pi/3)%-330 to -300

LA=1;

LB=-1;

LC=-(theta+(10*pi/6))*6/pi;

sys(1)= LA*kw*u(1); % Back emf for phase U

sys(2)=LB*kw*u(1); %Back emf for phase V

sys(3)=LC*kw*u(1); %Back emf for phase W

sys(4)= 5; %HALL SENSOR A

```

```

sys(5)= 0;          %HALL SENSOR B

sys(6)= 5;          %HALL SENSOR C

%-----

end;

if (theta>=-5*pi/3 & theta<-3*pi/2)%-300 to -270

LA=1;

LB=-1;

LC=-(theta+(10*pi/6))*6/pi;

sys(1)= LA*kw*u(1); % Back emf for phase U

sys(2)=LB*kw*u(1); %Back emf for phase V

sys(3)=LC*kw*u(1); %Back emf for phase W

sys(4)= 0;          %HALL SENSOR A

sys(5)=0;          %HALL SENSOR B

sys(6)=5;          %HALL SENSOR C

%-----

end;

if (theta>=-3*pi/2 & theta<-4*pi/3)%-270 to -240

```

```

LA=1;

LB=( theta+(4*pi/3) )*6/pi;

LC=-1;

sys(1)= LA*kw*u(1); % Back emf for phase U

sys(2)=LB*kw*u(1); %Back emf for phase V

sys(3)=LC*kw*u(1); %Back emf for phase W

sys(4)= 0; %HALL SENSOR A

sys(5)=0; %HALL SENSOR B

sys(6)=5; %HALL SENSOR C

%-----4

end;

if(theta>=-4*pi/3 & theta<=7*pi/6)%-240 to -210

LA=1;

LB=( theta+(4*pi/3) )*6/pi;

LC=-1;

sys(1)= LA*kw*u(1); % Back emf for phase U

sys(2)=LB*kw*u(1); %Back emf for phase V

```



```

sys(3)=LC*kw*u(1);    %Back emf for phase W

sys(4)= 0;            %HALL SENSOR A

sys(5)=5;            %HALL SENSOR B

sys(6)=5;            %HALL SENSOR C

end;

if (theta>=-7*pi/6 & theta<-pi)%-210 to -180

LA=-(theta+pi)*6/pi;

LB=1;

LC=-1;

sys(1)= LA*kw*u(1);    % Back emf for phase U

sys(2)=LB*kw*u(1);    %Back emf for phase V

sys(3)=LC*kw*u(1); %Back emf for phase W

sys(4)= 0;            %HALL SENSOR A

sys(5)=5;            %HALL SENSOR B

sys(6)=5;            %HALL SENSOR C

%-----6

end;

```

```

if(theta>=-pi & theta<-5*pi/6)%-180 to -150

    LA=-(theta+pi)*6/pi;

    LB=1;

    LC=-1;

    sys(1)= LA*kw*u(1);    % Back emf for phase U

    sys(2)=LB*kw*u(1);    %Back emf for phase V

    sys(3)=LC*kw*u(1); %Back emf for phase W

    %----- 7 -----

    sys(4)= 0;            %HALL SENSOR A

    sys(5)=5;            %HALL SENSOR B

    sys(6)=0;            %HALL SENSOR C

end;

if(theta>=-5*pi/6 & theta<-4*pi/6)%-150 to -120

    LA= -1;

    LB=1;

    LC=( theta+(4*pi/6))*6/pi;

    sys(1)= LA*kw*u(1);    % Back emf for phase U

```

```

sys(2)=LB*kw*u(1); %Back emf for phase V

sys(3)=LC*kw*u(1); %Back emf for phase W

sys(4)= 0; %HALL SENSOR A

sys(5)=5; %HALL SENSOR B

sys(6)=0; %HALL SENSOR C

%----- 8

end;

if (theta>=-4*pi/6 & theta<-3*pi/6)%-120 to -90

LA= -1;

LB=1;

LC=( theta+(4*pi/6))*6/pi;

sys(1)= LA*kw*u(1); % Back emf for phase U

sys(2)=LB*kw*u(1); %Back emf for phase V

sys(3)=LC*kw*u(1); %Back emf for phase W

sys(4)= 5; %HALL SENSOR A

sys(5)=5; %HALL SENSOR B

sys(6)=0; %HALL SENSOR C

```

```

end;

if(theta>=-3*pi/6 & theta<-2*pi/6)%-90 to -60

LA= -1;

LB=-(theta+(2*pi/6))*6/pi;

LC=1;

sys(1)= LA*kw*u(1); % Back emf for phase U

sys(2)= LB*kw*u(1); %Back emf for phase V

sys(3)= LC*kw*u(1); %Back emf for phase W

sys(4)= 5; %HALL SENSOR A

sys(5)=5; %HALL SENSOR B

sys(6)=0; %HALL SENSOR C

end;

if(theta>=-2*pi/6 & theta<-pi/6)%-60 to -30

LA= -1;

LB=-(theta+(2*pi/6))*6/pi;

LC=1;

sys(1)= LA*kw*u(1); % Back emf for phase U

```

```

sys(2)=LB*kw*u(1);    %Back emf for phase V

sys(3)=LC*kw*u(1); %Back emf for phase W

sys(4)= 5;           %HALL SENSOR A

sys(5)=0;           %HALL SENSOR B

sys(6)=0;           %HALL SENSOR C

%----- 11

end;

if(theta>=-pi/6 & theta<0)%-30 to 0

LA= 6*theta/pi;

LB=-1;

LC=1;

sys(1)= LA*kw*u(1); % Back emf for phase U

sys(2)=LB*kw*u(1); %Back emf for phase V

sys(3)=LC*kw*u(1); %Back emf for phase W

sys(4)= 5;           %HALL SENSOR A

sys(5)=0;           %HALL SENSOR B

sys(6)=0;           %HALL SENSOR C

```

end;

[2] S-Function Advance Angle

```
function [sys,x0,str,ts] = bldc(t,x,u,flag,angle)
```

% BLDC An example M-file S-function for defining a system of

% The expected input vector is:

% (1): W_r

%(2): θ

%OUTPUT VECTOR GENERATED BY THE SYSTEM:

%(1): E_{mf_u}

%(2): E_{mf_v}

%(3): E_{mf_w}

%(4): H_a

%(5): H_b

%(6): H_c

%(7): θ

% Dispatch the flag.

```

switch flag,

case 0,

[sys,x0,str,ts]=mdlInitializeSizes(angle); % Initialization

case 1,

sys = mdlDerivatives(t,x,u,angle); % Calculate derivatives

case 2, %model update

sys = mdlUpdate(t,x,u,angle); % update the model

case 3,

sys = mdlOutputs(t,x,u,angle); % Calculate outputs

case 4, % Unused flags

sys = [];

case 'reset'

% name = 'mybldc_md12/mybldc/my state-space';

%LocalResetController(name);

case 9,

% sys=mdlTerminate(t,x,u);

% Unexpected flags %

```

```

otherwise

error(['Unhandled flag = ',num2str(flag)]);

end

% End of csfunc.

%=====

% mdlInitializeSizes

% Return the sizes, initial conditions, and sample times for the

% S-function.

function [sys,x0,str,ts] = mdlInitializeSizes(angle)

% Call simsizes for a sizes structure, fill it in and convert it

% to a sizes array.

sizes = simsizes;

sizes.NumContStates = 0;

sizes.NumDiscStates = 0;

sizes.NumOutputs = 3;

sizes.NumInputs = 2;

sizes.DirFeedthrough = 1; % Matrix D is nonempty.

```



```

sizes.NumSampleTimes = 1;

sys = simsizes(sizes);

% Initialize the initial conditions.

x0 = [];

% str is an empty matrix.

str = [];

% Initialize the array of sample times; in this example the sample
% time is continuous, so set ts to 0 and its offset to 0.

ts = [0 0];

% End of mdlInitializeSizes.

%=====

% mdlDerivatives

% Return the derivatives for the continuous states.

% Nothing needs to be done here.

%=====

function sys = mdlDerivatives(t,x,u,angle)

sys=[];

```

```

%=====

% mdlUpdate

% Update the model parameters.

% Nothing needs to be done here

%=====

function sys = mdlUpdate(t,x,u,angle); % update the model

sys=[];

% mdlOutput

% calculate the model outputs and update other blocks ( Adaptive coefficients)

function sys = mdlOutputs(t,x,u,angle)

u(1)=u(1) + u(2); % + advance and - restard

theta = rem (u(1),2*pi); % make theta between 2*pi and -2*pi

%sys(7)=theta;

%sys(11)=theta; %output normalised angular position

if (theta>=0 & theta<pi/6) % 0 TO 30 DEGREE

sys(1)= 5; %HALL SENSOR A

sys(2)=0; %HALL SENSOR B

```

```

sys(3)=0;          %HALL SENSOR C

end;

if (theta>=pi/6 & theta<pi/3)    % 30 TO 60 DEGREE

sys(1)= 5;          %HALL SENSOR A

sys(2)=0;          %HALL SENSOR B

sys(3)=0;          %HALL SENSOR C

end;

if (theta>=pi/3 & theta<pi/2)    % 60 TO 90 DEGREE

sys(1)= 5;          %HALL SENSOR A

sys(2)=5;          %HALL SENSOR B

sys(3)=0;          %HALL SENSOR C

end;

if (theta>=pi/2 & theta<2*pi/3)  % 90 TO 120 DEGREE

sys(1)= 5;          %HALL SENSOR A

sys(2)=5;          %HALL SENSOR B

sys(3)=0;          %HALL SENSOR C

end;

```

```
if(theta>=2*pi/3 & theta<5*pi/6) % 120 TO 150 DEGREE
```

```
sys(1)=0; %HALL SENSOR A
```

```
sys(2)=5; %HALL SENSOR B
```

```
sys(3)=0; %HALL SENSOR C
```

```
end;
```

```
if(theta>=5*pi/6 & theta<pi) % 150 TO 180 DEGREE
```

```
sys(1)=0; %HALL SENSOR A
```

```
sys(2)=5; %HALL SENSOR B
```

```
sys(3)=0; %HALL SENSOR C
```

```
end;
```

```
if(theta>=pi & theta<7*pi/6) % 180 TO 210 DEGREE
```

```
sys(1)=0; %HALL SENSOR A
```

```
sys(2)=5; %HALL SENSOR B
```

```
sys(3)=5; %HALL SENSOR C
```

```
end;
```

```
if(theta>=7*pi/6 & theta<4*pi/3) % 210 TO 240 DEGREE
```

```
sys(1)=0; %HALL SENSOR A
```

```

sys(2)=5;          %HALL SENSOR B

sys(3)=5;          %HALL SENSOR C

end;

if(theta>=4*pi/3 & theta<3*pi/2) % 240 TO 270 DEGREE

sys(1)= 0;          %HALL SENSOR A

sys(2)=0;          %HALL SENSOR B

sys(3)=5;          %HALL SENSOR C

end;

if(theta>=3*pi/2 & theta<5*pi/3) % 270 TO 300 DEGREE

sys(1)= 0;          %HALL SENSOR A

sys(2)=0;          %HALL SENSOR B

sys(3)=5;          %HALL SENSOR C

%-----3

end;

if(theta>=5*pi/3 & theta<11*pi/6) % 300 TO 330 DEGREE

sys(1)= 5;          %HALL SENSOR A

sys(2)=0;          %HALL SENSOR B

```

```

sys(3)=5;          %HALL SENSOR C

end;

if(theta>=11*pi/6 & theta<2*pi) % 330 TO 360 DEGREE

sys(1)= 5;          %HALL SENSOR A

sys(2)=0;          %HALL SENSOR B

sys(3)=5;          %HALL SENSOR C

end;

%%-----CALCULATION FOR%%SYS(4)<0-----tt

if (theta>=-2*pi & theta<-11*pi/6) %-360 to -330

sys(1)= 5;          %HALL SENSOR A

sys(2)= 0;          %HALL SENSOR B

sys(3)= 5;          %HALL SENSOR C

end;

if (theta>=-11*pi/6 & theta<-5*pi/3) %-330 to -300

sys(1)= 5;          %HALL SENSOR A

sys(2)= 0;          %HALL SENSOR B

sys(3)= 5;          %HALL SENSOR C

```

```

end;

if (theta>=-5*pi/3 & theta<-3*pi/2)%-300 to -270

sys(1)= 0;           %HALL SENSOR A

sys(2)=0;           %HALL SENSOR B

sys(3)=5;           %HALL SENSOR C

end;

if (theta>=-3*pi/2 & theta<-4*pi/3)%-270 to -240

sys(1)= 0;           %HALL SENSOR A

sys(2)=0;           %HALL SENSOR B

sys(3)=5;           %HALL SENSOR C

end;

if(theta>=-4*pi/3 & theta<-7*pi/6)%-240 to -210

sys(1)= 0;           %HALL SENSOR A

sys(2)=5;           %HALL SENSOR B

sys(3)=5;           %HALL SENSOR C

end;

if (theta>=-7*pi/6 & theta<-pi)%-210 to -180

```

```

sys(1)= 0;          %HALL SENSOR A

sys(2)=5;          %HALL SENSOR B

sys(3)=5;          %HALL SENSOR C

end;

if(theta>=-pi & theta<-5*pi/6)%-180 to -150
%----- 7

sys(1)= 0;          %HALL SENSOR A

sys(2)=5;          %HALL SENSOR B

sys(3)=0;          %HALL SENSOR C

end;

if(theta>=-5*pi/6 & theta<-4*pi/6)%-150 to -120

sys(1)= 0;          %HALL SENSOR A

sys(2)=5;          %HALL SENSOR B

sys(3)=0;          %HALL SENSOR C

end;

if (theta>=-4*pi/6 & theta<-3*pi/6)%-120 to -90

sys(1)= 5;          %HALL SENSOR A

```



```
sys(2)=5;          %HALL SENSOR B
```

```
sys(3)=0;          %HALL SENSOR C
```

```
end;
```

```
if(theta>=-3*pi/6 & theta<-2*pi/6)%-90 to -60
```

```
sys(1)= 5;          %HALL SENSOR A
```

```
sys(2)=5;          %HALL SENSOR B
```

```
sys(3)=0;          %HALL SENSOR C
```

```
%-----10
```

```
end;
```

```
if(theta>=-2*pi/6 & theta<-pi/6)%-60 to -30
```

```
sys(1)= 5;          %HALL SENSOR A
```

```
sys(2)=0;          %HALL SENSOR B
```

```
sys(3)=0;          %HALL SENSOR C
```

```
end;
```

```
if(theta>=-pi/6 & theta<0)%-30 to 0
```

```
sys(1)= 5;          %HALL SENSOR A
```

```
sys(2)=0;          %HALL SENSOR B
```

```
sys(3)=0;          %HALL SENSOR C
```

```
end;
```

```
Private Sub Form_Load()
```

```
On Error Resume Next
```

```
MSComm1.PortOpen = True
```

```
'----- ini timer-----
```

```
Timer1.Enabled = False
```

```
get_speed_torque.Enabled = False
```

```
cmd_advance.Enabled = False
```

```
cmd_load.Enabled = False
```

```
cmd_drive_adv.Enabled = False
```

```
cmd_enable_drive.Enabled = False
```

```
cmd_disable_drive.Enabled = False
```

```
cmd_floatint_hall.Enabled = False
```

```
cmd_drive_normal.Enabled = False
```

```
step_pwm.Enabled = False
```

```
st_rec.Enabled = False
```

t_normal.Enabled = True

t_advance.Enabled = False

start_rec.Enabled = False

auto_step_load.Enabled = False

MANUAL_LOAD.Enabled = False

AUTO_LOAD.Enabled = False

c_data = 0

CLEAR_DATA.Enabled = False

CLR.Enabled = False

REPORT_EXCEL.Enabled = False

report.Enabled = False

'-----initial variable-----'

ref_datax = 0

ref_datay = 0

num_data = 0

step_load = 0

max_load = 0.3

min_load = 0

num_plot = 0

max_speed = 500

min_speed = 200

scalex1 = 0

scaley2 = 0

dx = 0

dy = 0

record = False

toggle = 0

avr_value = 0

avr_value2 = 0

avr_value3 = 0

value_x = 0

value_y = 0

load_data = 0

End Sub



```
Private Sub Label25_Click()
```

```
End Sub
```

```
Private Sub Form_MouseMove (Button As Integer, Shift As Integer, x As Single,
```

```
Y As Single)
```

```
BLDC2013.Caption = "ADVANCE ANGLE BLDC TECHNOLOGY"
```

```
End Sub
```

```
Private Sub Form_Unload(Cancel As Integer)
```

```
End
```

```
End Sub
```

```
Private Sub MANUAL_LOAD_Timer()
```

```
'-----code command-----
```

```
If c_data = 0 Then
```

```
MSComm1.Output = Chr$(2)
```

```
c_data = c_data + 1
```

```
End If
```

```
'-----data command-----
```

```
If c_data = 1 Then
```

```
MSComm1.Output = Chr$(PWM_.Value)
```

```
c_data = c_data + 1
```

```
End If
```

```
'----- stop command-----
```

```
If c_data = 2 Then
```

```
MSComm1.Output = Chr$(0)
```

```
c_data = 0
```

```
MANUAL_LOAD.Enabled = False
```

```
'Exit Sub
```

```
End If
```

```
End Sub
```

```
Private Sub max_t_Click()
```

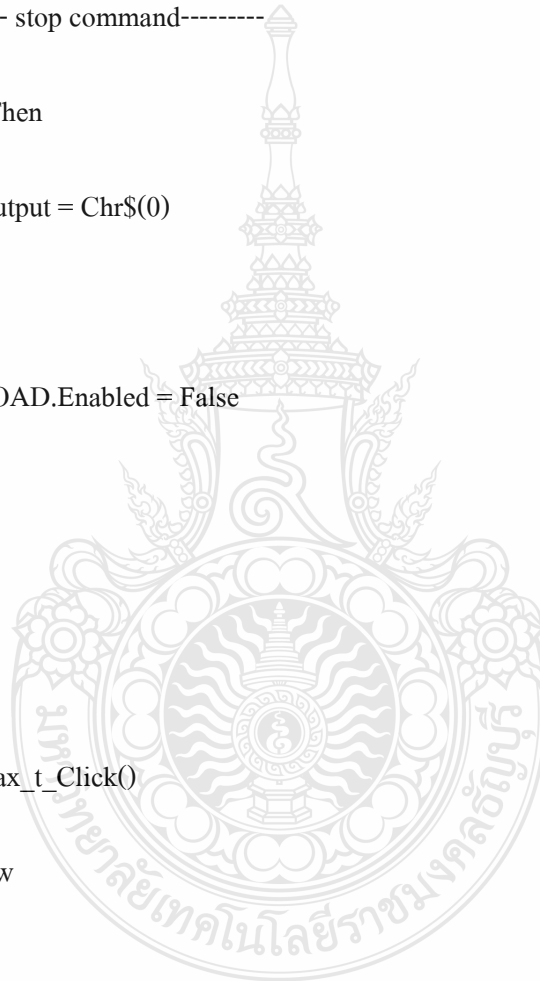
```
input_var.Show
```

```
End Sub
```

```
Private Sub MSComm1_OnComm()
```

```
Dim finish$
```

```
Dim offset$
```



```
Dim datain$, A$, b$, c$, d$, G$, h$

Dim loop_check

Dim rpm$

Dim count$

Dim real_speed

Do

buffer$ = buffer$ & MSComm1.Input

loop_check = loop_check + 1

If loop_check > 100000 Then

Exit Sub

End If

Loop Until InStr(buffer$, "s")

datain$ = buffer$

Text1 = datain$

A$ = Mid$(datain$, 1, 1)

If Val(A$) < 1 And Val(A$) > 6 Then GoTo lb7

If Val(A$) = 1 Then GoTo lb1
```

If Val(A\$) = 2 Then GoTo lb2

If Val(A\$) = 3 Then GoTo lb3

If Val(A\$) = 4 Then GoTo lb4

If Val(A\$) = 5 Then GoTo lb5

If Val(A\$) = 6 Then GoTo lb6

lb1:

b\$ = Mid\$(datain\$, 17, 6)

'SHOW_SPEED.Text = b\$

If Val(b\$) > 1000 Then

real_speed = Val(b\$) * 64 * 0.0000002 'time/0.5rev (64 is div_clk 64 and 0.0000002 is 1 T of
clock)use t1

real_speed = real_speed * 2 ' time/rev

If real_speed > 0 Then real_speed = 60 / real_speed ' rpm

End If

If avr_value3 <= 9 Then

sum_rpm = sum_rpm + real_speed

avr_value3 = avr_value3 + 1

Else

sum_rpm = sum_rpm / 10

real_speed = sum_rpm

rpm = real_speed

SHOW_SPEED.Text = Format\$(real_speed, "###")

avr_value3 = 0

sum_rpm = 0

power = real_current * real_voltage

If rpm > 0 Then torque = power / rpm

show_loadtorque.Text = Format\$(torque, "0.##")

End If

'-----display current

c\$ = Mid\$(datain\$, 7, 4)

current = Val(c\$) * 5

current = current / 1024

current = current * 3

If avr_value <= 9 Then

sum_current = sum_current + current

avr_value = avr_value + 1

Else

sum_current = sum_current / 10

current = sum_current

current = current / 0.6

real_current = current

show_loadcurrent.Text = Format\$(current, "##.00")

avr_value = 0

sum_current = 0

End If

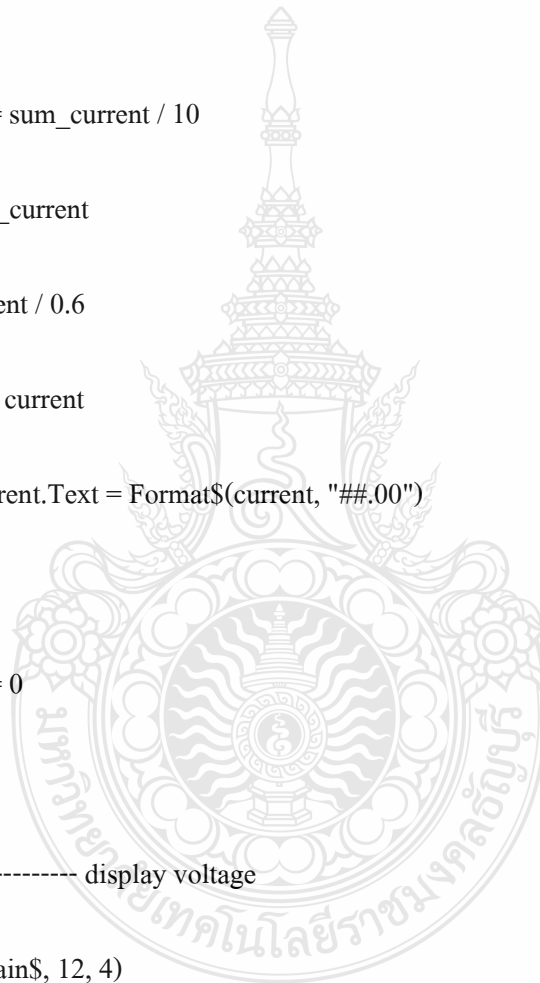
'----- display voltage

d\$ = Mid\$(datain\$, 12, 4)

voltage = Val(d\$) * 5

voltage = voltage / 1024

voltage = voltage * 10



If avr_value2 <= 9 Then

sum_voltage = sum_voltage + voltage

avr_value2 = avr_value2 + 1

Else

sum_voltage = sum_voltage / 10

voltage = sum_voltage

real_voltage = voltage

show_loadvoltage.Text = Format\$(voltage, "##.00")

avr_value2 = 0

sum_voltage = 0

End If

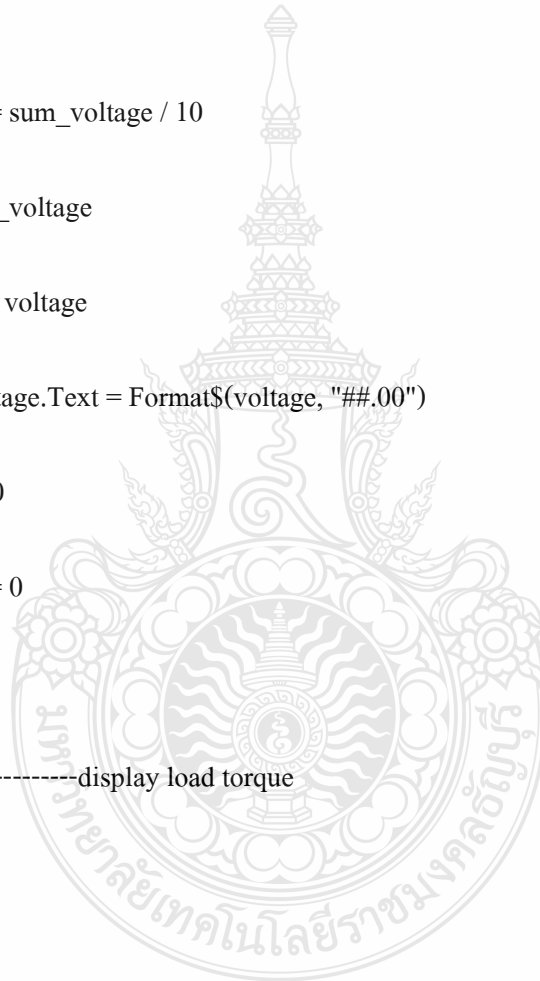
'-----display load torque

lb2:

lb3:

lb4:

lb5:



lb6:

lb7:

End Sub

Private Sub PWM_LOAD_Change()

PWM_LOAD.Enabled = True

End Sub

Private Sub Option1_Click()

adv_angle = 0

cmd_advance.Enabled = True

End Sub

Private Sub Option2_Click()

adv_angle = 5

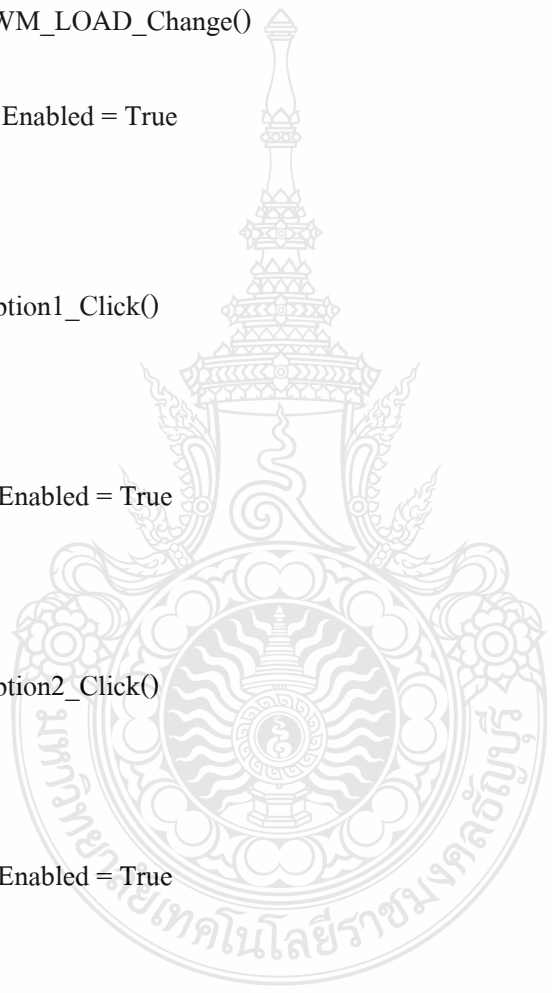
cmd_advance.Enabled = True

End Sub

Private Sub Option3_Click()

adv_angle = 7

cmd_advance.Enabled = True



End Sub

Private Sub Option4_Click()

adv_angle = 9

cmd_advance.Enabled = True

End Sub

Private Sub Option5_Click()

adv_angle = 15

cmd_advance.Enabled = True

End Sub

Private Sub Option6_Click()

adv_angle = 20

cmd_advance.Enabled = True

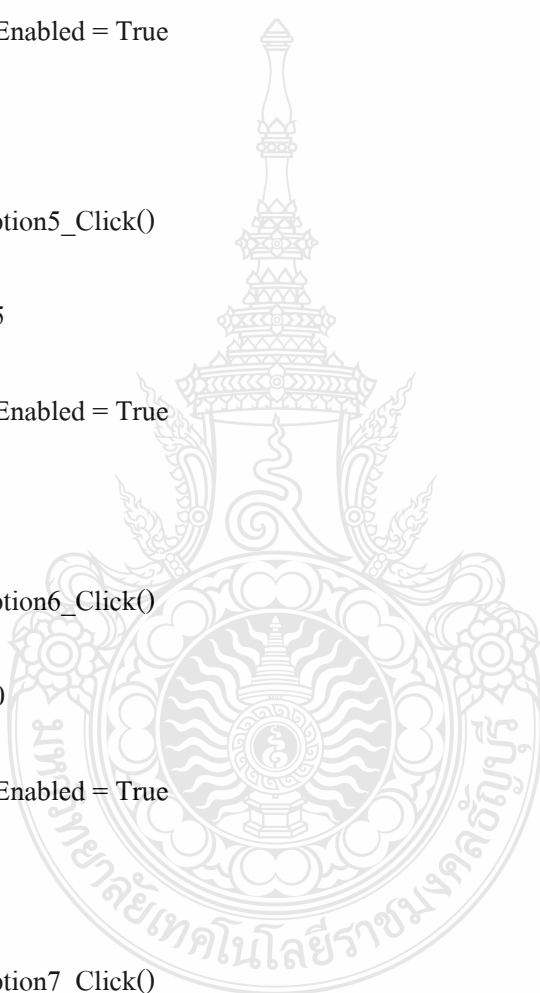
End Sub

Private Sub Option7_Click()

adv_angle = 25

cmd_advance.Enabled = True

End Sub



```

Private Sub Option8_Click()

adv_angle = 30

cmd_advance.Enabled = True

End Sub

Private Sub Picture1_MouseMove(Button As Integer, Shift As Integer, x As Single, Y As
Single)

BLDC2013.Caption = "ADVANCE ANGLE BLDC TECHNOLOGY" & " " & "speed =" &
x & " " & "RPM" & " " & "load =" & Y & " " & "N.m"

End Sub

Private Sub Picture1_Paint()

divy = (max_load - min_load) / 10

divx = (max_speed - min_speed) / 10

'-----DISPLAY SCALE LOAD-----

lbt1.Caption = min_load + (divy * 1)

lbt2.Caption = min_load + (divy * 2)

lbt3.Caption = min_load + (divy * 3)

lbt4.Caption = min_load + (divy * 4)

```

lbt5.Caption = min_load + (divy * 5)

lbt6.Caption = min_load + (divy * 6)

lbt7.Caption = min_load + (divy * 7)

lbt8.Caption = min_load + (divy * 8)

lbt9.Caption = min_load + (divy * 9)

lbt10.Caption = min_load + (divy * 10)

'-----DISPLAY SCALE E_SPEED-----'

lbsp1.Caption = min_speed + (divx * 1)

lbsp2.Caption = min_speed + (divx * 2)

lbsp3.Caption = min_speed + (divx * 3)

lbsp4.Caption = min_speed + (divx * 4)

lbsp5.Caption = min_speed + (divx * 5)

lbsp6.Caption = min_speed + (divx * 6)

lbsp7.Caption = min_speed + (divx * 7)

lbsp8.Caption = min_speed + (divx * 8)

lbsp9.Caption = min_speed + (divx * 9)

lbsp10.Caption = min_speed + (divx * 10)

'-----SET SCALE-----'

Picture1.Cls

Picture1.DrawWidth = 2

Picture1.DrawStyle = 0

scalex1 = min_speed

scaley1 = max_load

scalex2 = max_speed

scaley2 = min_load

Picture1.Scale (scalex1, scaley1)-(scalex2, scaley2)

'-----draw gride scale x-----'

Picture1.DrawWidth = 1

Picture1.DrawStyle = 2

For x = min_speed To max_speed Step divx

Picture1.Line (x, 0)-(x, max_load)

Next x

'-----draw gride scale y-----'

For x = min_load To max_load Step divy


```
Picture1.Line (0, x)-(max_speed, x)
```

```
Next x
```

```
'Me.Circle (1500, 1500), 150, vbBlack
```

```
End Sub
```

```
Private Sub PWM__Change()
```

```
MANUAL_LOAD.Enabled = True
```

```
End Sub
```

```
Private Sub report_Click()
```

```
Dim MYOBJECT As Object
```

```
Dim k
```

```
Dim j
```

```
Dim t$
```

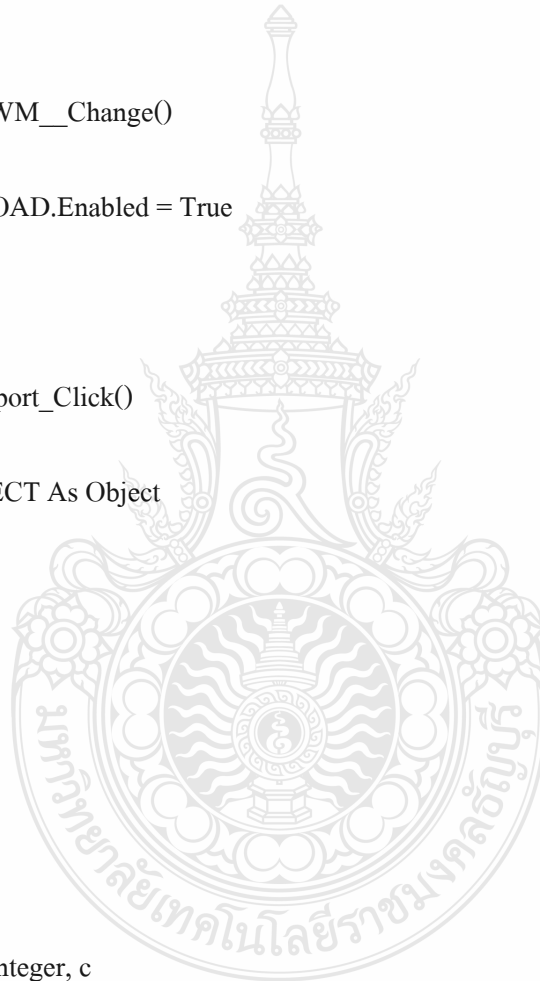
```
Dim S$
```

```
Dim A, b As Integer, c
```

```
Dim colum As String
```

```
Dim index
```

```
index = 65
```



```

column = Chr$(index)

Set MYOBJECT = CreateObject("Excel.Application")

MYOBJECT.workbooks.Add

'MsgBox (W2$)

For j = 0 To ref_datax - 1

'-----

If j = 0 Then

For k = 0 To save_numdata(j)

column = Chr$(index)

t$ = column & k + 1

column = Chr$(index + 1)

S$ = column & k + 1

MYOBJECT.range(S$).Value = save_datax(j, k)

MYOBJECT.range(t$).Value = save_datay(j, k)

Next k

End If

'-----

```

If j = 1 Then

For k = 0 To save_numdata(j)

column = Chr\$(index + 2)

t\$ = column & k + 1

column = Chr\$(index + 3)

S\$ = column & k + 1

MYOBJECT.range(S\$).Value = save_datax(j, k)

MYOBJECT.range(t\$).Value = save_datay(j, k)

Next k

End If

If j = 2 Then

For k = 0 To save_numdata(j)

column = Chr\$(index + 4)

t\$ = column & k + 1

column = Chr\$(index + 5)

S\$ = column & k + 1

```
MYOBJECT.range(S$).Value = save_datay(j, k)
```

```
MYOBJECT.range(t$).Value = save_datay(j, k)
```

```
Next k
```

```
End If
```

```
'-----
```

```
If j = 3 Then
```

```
For k = 0 To save_numdata(j)
```

```
column = Chr$(index + 6)
```

```
t$ = column & k + 1
```

```
column = Chr$(index + 7)
```

```
S$ = column & k + 1
```

```
MYOBJECT.range(S$).Value = save_datay(j, k)
```

```
MYOBJECT.range(t$).Value = save_datay(j, k)
```

```
Next k
```

```
End If
```

```
Next j
```

MYOBJECT.Visible = True

'-----ENABLE COMMAND-----'

CLEAR_DATA.Enabled = True

CLR.Enabled = True

CLEAR_DATA.Enabled = True

CLR.Enabled = True

REPORT_EXCEL.Enabled = False

report.Enabled = False

End Sub

Private Sub REPORT_EXCEL_Click()

Dim MYOBJECT As Object

Dim k

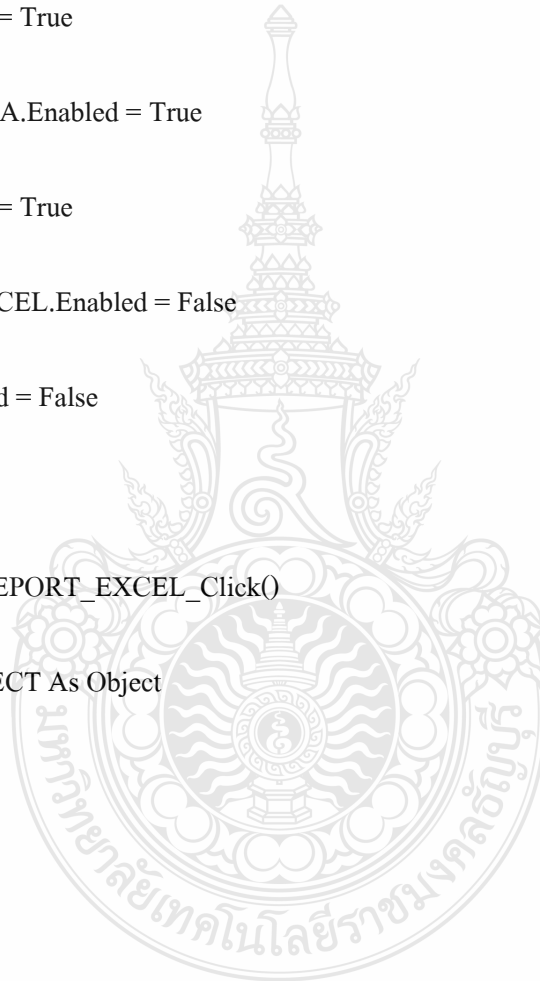
Dim j

Dim t\$

Dim SS

Dim A, b As Integer, c

Dim colum As String



```
Dim index

index = 65

column = Chr$(index)

Set MYOBJECT = CreateObject("Excel.Application")

MYOBJECT.workbooks.Add

For j = 0 To ref_datax - 1

'-----

If j = 0 Then

For k = 0 To save_numdata(j)

column = Chr$(index)

t$ = column & k + 1

column = Chr$(index + 1)

S$ = column & k + 1

MYOBJECT.range(S$).Value = save_datax(j, k)

MYOBJECT.range(t$).Value = save_datay(j, k)

Next k

End If
```

If j = 1 Then

For k = 0 To save_numdata(j)

column = Chr\$(index + 2)

t\$ = column & k + 1

column = Chr\$(index + 3)

S\$ = column & k + 1

MYOBJECT.range(S\$).Value = save_datax(j, k)

MYOBJECT.range(t\$).Value = save_datay(j, k)

Next k

End If

If j = 2 Then

For k = 0 To save_numdata(j)

column = Chr\$(index + 4)

t\$ = column & k + 1

column = Chr\$(index + 5)

S\$ = column & k + 1

```
MYOBJECT.range(S$).Value = save_datax(j, k)
```

```
MYOBJECT.range(t$).Value = save_datay(j, k)
```

```
Next k
```

```
End If
```

```
'-----
```

```
If j = 3 Then
```

```
For k = 0 To save_numdata(j)
```

```
column = Chr$(index + 6)
```

```
t$ = column & k + 1
```

```
column = Chr$(index + 7)
```

```
S$ = column & k + 1
```

```
MYOBJECT.range(S$).Value = save_datax(j, k)
```

```
MYOBJECT.range(t$).Value = save_datay(j, k)
```

```
Next k
```

```
End If
```

```
Next j
```

```
MYOBJECT.Visible = True
```


End Sub

Private Sub run_advance_Click()

cmd_drive_adv.Enabled = True

t_advance.Enabled = True

t_normal.Enabled = False

End Sub

Private Sub run_normal_Click()

cmd_drive_normal.Enabled = True

t_normal.Enabled = True

t_advance.Enabled = False

End Sub

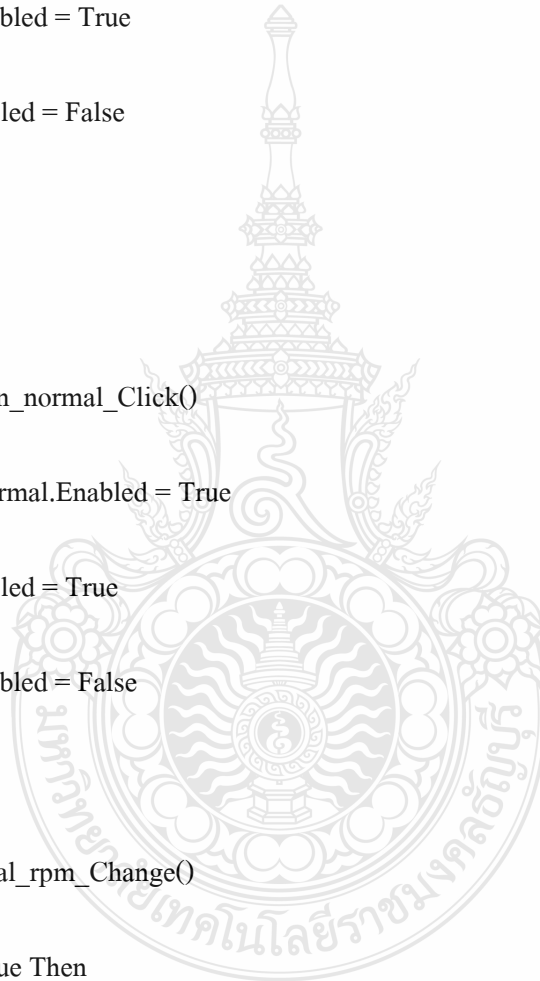
Private Sub scal_rpm_Change()

If record = True Then

x1 = Val(scal_rpm.Text)

y1 = Val(scal_t.Text)

If (x1 < value_x) Then



```
save_datay(ref_datay, num_data) = y1

save_datay(ref_datay, num_data) = y1

num_data = num_data + 1

Picture1.Line (value_x, value_y)-(x1, y1), QBColor(num_plot)

End If

value_x = x1

value_y = y1

End If

End Sub

Private Sub scal_t_Change()

End Sub

Private Sub SCALE_Click()

scal_rpm.Text = ""

input_var.Show

st_rec.Enabled = False

End Sub
```

```
Private Sub show_loadtorque_Change()
```

```
scal_t.Text = show_loadtorque.Text
```

```
End Sub
```

```
Private Sub SHOW_SPEED_Change()
```

```
scal_rpm.Text = SHOW_SPEED.Text
```

```
End Sub
```

```
Private Sub st_rec_Timer()
```

```
If toggle = 0 Then
```

```
Timer1.Enabled = True
```

```
toggle = toggle + 1
```

```
Else
```

```
Timer1.Enabled = False
```

```
toggle = 0
```

```
End If
```

```
End Sub
```

```
Private Sub start_rec_Click()
```

```
show_loadtorque.Text = "0.00"
```

```
SHOW_SPEED.Text = "000"
```

```
show_loadcurrent.Text = "0.00"
```

```
show_loadvoltage.Text = "0.00"
```

```
st_rec.Enabled = True
```

```
avr_value = 0
```

```
avr_value2 = 0
```

```
avr_value3 = 0
```

```
sum_current = 0
```

```
sum_voltage = 0
```

```
sum_rpm = 0
```

```
value_x = 0
```

```
value_y = 0
```

```
x1 = Val(scal_rpm.Text)
```

```
y1 = Val(scal_t.Text)
```

```
save_datax(ref_datax, num_data) = x1
```

```
save_datay(ref_datay, num_data) = y1
```

```
record = True
```



```
Picture1.DrawWidth = 2
```

```
Picture1.DrawStyle = 0
```

```
'-----DISABLE COMMAND-----
```

```
CLEAR_DATA.Enabled = False
```

```
CLR.Enabled = False
```

```
REPORT_EXCEL.Enabled = False
```

```
End Sub
```

```
Private Sub step_pwm_Timer()
```

```
step_load = step_load + 15
```

```
PWM_.Value = step_load
```

```
If step_load > 240 Then
```

```
step_pwm.Enabled = False
```

```
record = False
```

```
save_numdata(ref_datax) = num_data
```

```
ref_datax = ref_datax + 1
```

```
ref_datay = ref_datax
```

```
num_data = 0
```

```
num_plot = num_plot + 1

PWM_.Value = 0

'-----ENABLE COMMAND-----

CLEAR_DATA.Enabled = False

CLR.Enabled = False

REPORT_EXCEL.Enabled = True

report.Enabled = True

End If

End Sub

Private Sub t_advance_Timer()

If display_mode = 0 Then

displaymode.BackColor = QBColor(12)

display_mode = display_mode + 1

displaymode.Caption = "ADVANCE MODE"

Else

displaymode.BackColor = QBColor(7)
```

```
display_mode = 0

displaymode.Caption = ""

End If

End Sub

Private Sub t_normal_Timer()

If display_mode = 0 Then

displaymode.BackColor = QBColor(10)

display_mode = display_mode + 1

displaymode.Caption = "NORMAL MODE"

Else

displaymode.BackColor = QBColor(7)

display_mode = 0

displaymode.Caption = ""

End If

End Sub

Private Sub Text2_Change()

code = Val (Text2.Text)
```

```
End Sub
```

```
Private Sub Text3_Change()
```

```
PWM = Val(Text3.Text)
```

```
End Sub
```

```
Private Sub Timer1_Timer()
```

```
'-----code command -----
```

```
If c_data = 0 Then
```

```
MSComm1.Output = Chr$(1)
```

```
c_data = c_data + 1
```

```
End If
```

```
'-----data command-----
```

```
If c_data = 1 Then
```

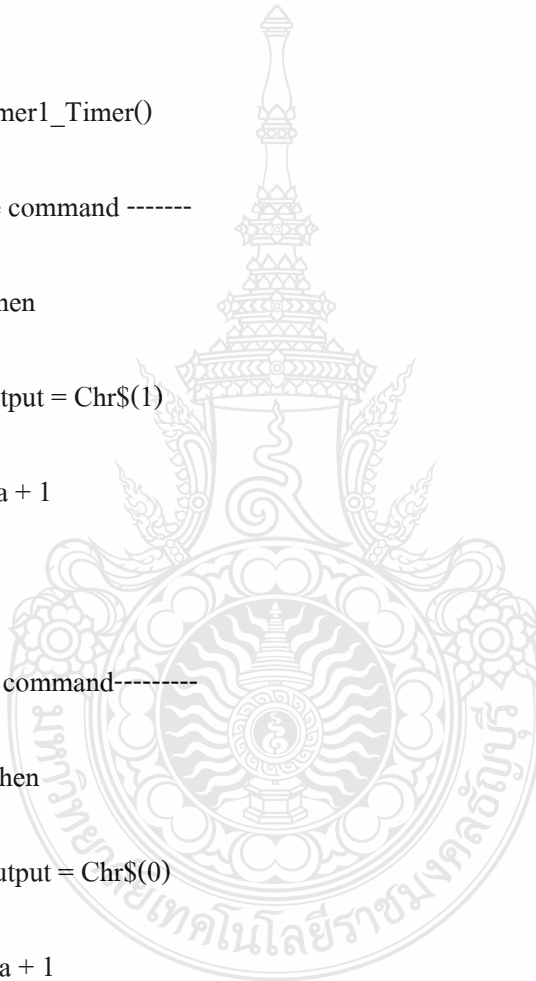
```
MSComm1.Output = Chr$(0)
```

```
c_data = c_data + 1
```

```
End If
```

```
'----- stop command-----
```

```
If c_data = 2 Then
```



MSComm1.Output = Chr\$(0)

c_data = 0

Timer1.Enabled = False

'Exit Sub

End If

End Sub



PUBLIC VARIABLE

Public max_load

Public min_load

Public max_speed

Public min_speed

Public scalex1

Public scalex2

Public scaley1

Public scaley2

Public divx

Public divy

Public dx

Public dy

Public toggle

Public current

Public voltage

Public avr_value

Public avr_value2

Public avr_value3

Public sum_rpm

Public sum_current

Public sum_voltage

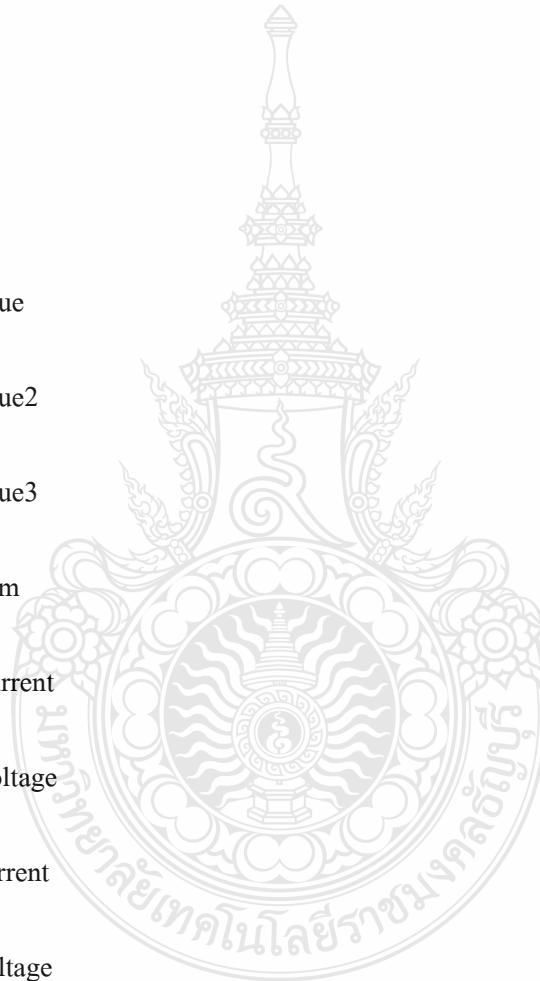
Public real_current

Public real_voltage

Public torque

Public power

Public rpm



Public step_load

Public record As Boolean

Public x1

Public y1

Public value_x

Public value_y

Public num_plot

Public save_datax(5, 500)

Public save_datay(5, 500)

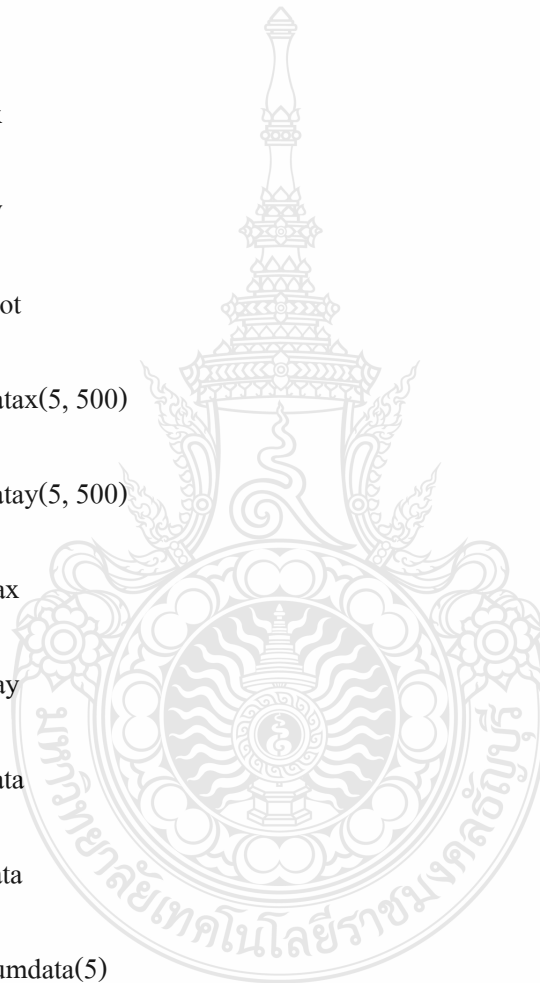
Public ref_datax

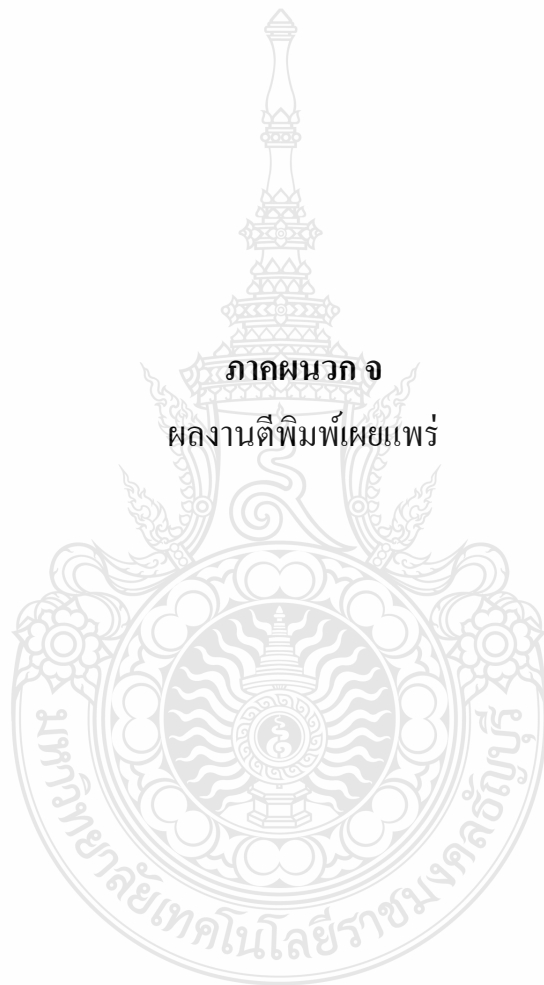
Public ref_datay

Public num_data

Public load_data

Public save_numdata(5)





บทความวิชาการ

ฉบับรวมเล่ม

การประชุมวิชาการเครือข่ายพลังงาน
แห่งประเทศไทย ครั้งที่ 9

9th Conference on Energy Network of Thailand



พลังงานสีเขียวเพื่อโลกที่สดใส
Green Energy Brightens Our World

ณ ชลพฤกษ์ รีสอร์ท อำเภอบ้านนา จังหวัดนครนายก
8-10 พฤษภาคม 2556

จัดการประชุมโดย
คณะวิศวกรรมศาสตร์
มหาวิทยาลัยเทคโนโลยีมหานคร



สารบัญ

เกี่ยวกับการประชุมวิชาการเครือข่ายพลังงานแห่งประเทศไทย ครั้งที่ 9	II
วัตถุประสงค์	III
คณะกรรมการจัดงานประชุมวิชาการฯ	III
ผู้ทรงคุณวุฒิบรรยายพิเศษ	IV
ศ.ดร.สมชาติ โสภณรณฤทธิ์	IV
ศ.ดร.ทนงเกียรติ เกียรติศิริโรจน์	V
รศ.ดร.สุวิทย์ เตีย	VI
ผู้ทรงคุณวุฒิพิจารณาบทความ	VII
คณะกรรมการเครือข่ายพลังงานแห่งประเทศไทย	VIII
การส่งบทความและการลงทะเบียน	IX
การส่งบทความ	IX
ขั้นตอนการลงทะเบียน	IX
อัตราค่าลงทะเบียน	IX
กำหนดการจัดการประชุมวิชาการเครือข่ายพลังงานแห่งประเทศไทย ครั้งที่ 9	X
ตารางกำหนดการประชุมวิชาการเครือข่ายพลังงานแห่งประเทศไทย ครั้งที่ 9	XII
ตารางการนำเสนอบทความการประชุมวิชาการเครือข่ายพลังงานแห่งประเทศไทย ครั้งที่ 9	XIII
สารบัญบทความ	XIV
บทความวิชาการ	
Applied Energy (AE)	1
Energy Conservation (EC)	291
Energy Material (EM)	782
Energy Policy (EP)	826
Environmental Managements (EVM)	854
Renewable Energy (RE)	890
Others Energy-related Topics (OT)	1108
ผู้สนับสนุน	

ผู้ทรงคุณวุฒิพิจารณาบทความ

มหาวิทยาลัยเชียงใหม่

ศ.ดร. ทนงเกียรติ เกียรติศิริโรจน์
ผศ.ดร. กอดขวัญ นามสงวน
ผศ.ดร. ศิวะ อัจฉริยวิริยะ

มหาวิทยาลัยเทคโนโลยีพระจอมเกล้าธนบุรี

ศ.ดร. สมชาติ ไสภณรณฤทธิ
รศ.ดร. สักกมน เทพหัสดิน ณ อยุธยา

มหาวิทยาลัยเทคโนโลยีพระจอมเกล้าพระนครเหนือ

ดร. เพ็ญญารัตน์ จินดา
ดร. อำนาจ บุญลอย
ดร. ฉัตรชัย นิยมผล

มหาวิทยาลัยเทคโนโลยีมหานคร

รศ.ดร. สมิทธิ์ เอี่ยมสะอาด
รศ.ดร. ฐานิตย์ เมธิยานนท์
ผศ.ดร. นุภาพ แยมไทรพัฒน์
ผศ.ดร. พรชัย นิเวศน์รังสรรค์
ผศ.ดร. วิชาญ คงเกียรติไพบูลย์
ผศ.ดร. สมชาย ศรีพัฒน์พัฒน์
ผศ.ดร. ศุภเกียรติ ศรีพนมณาร
ผศ.ดร. ชวัญจิต วงษ์ขารี
ผศ.ดร. สลิลทิพย์ สีนุสนธิชาติ
ผศ.ดร. ประสาน สลิตย์เรืองศักดิ์
ดร. วาโย ช่างเจริญ
ดร. สมศักดิ์ เพ็ชรกุล
ดร. วิไลลักษณ์ สระมูล
ดร. จูติเทพ หุยนันท์
อ. กิตติศักดิ์ ยงศิริ
อ. ชวัญชัย หนาแน่น
อ. ปุณยภัทร ภูมิภาค
อ. ไมตรี กระจมุกพิจิตร

มหาวิทยาลัยเทคโนโลยีราชมงคลธัญบุรี

ดร. กฤษณ์ชนม์ ภูมิภคิตพิชญ์
ดร. สมชัย หิรัญวโรดม

ดร. สถาพร ทองวิค

ดร. สโรชา เจริญวัย
ดร. สรพงษ์ ภาวสุปรีดิ์

มหาวิทยาลัยเทคโนโลยีราชมงคลรัตนโกสินทร์

ผศ. วิศิษฐ์ ลีลาผาดิกุล

มหาวิทยาลัยเทคโนโลยีสุรนารี

ดร. ชโลธร ธรรมแท้
ดร. กิรติ สุลักษณ์
ดร. ชีระชาติ พรพิบูลย์

มหาวิทยาลัยนเรศวร

ผศ.ดร. สมชาย มณีวรรณ
ดร. ยงยุทธ ชนบดีเฉลิมรุ่ง
ดร. สิริมาส เสงรัมย์
ดร. สันต์ จันทร์สมศักดิ์
ดร. สุพรรณนิภา วัฒนา
ดร. ศรายุทธ ้วยวุฒิ

มหาวิทยาลัยบูรพา

ดร. มั่นชานา รังสิโยภาส
ดร. วชิรินทร์ ดงบัง

มหาวิทยาลัยมหาสารคาม

ผศ.ดร.เจริญพร เลิศสถิตอนกร
ผศ.ดร. ณัฐพล ภูมิสะอาด
ดร. ชีรพัฒน์ ชมภูคำ
ดร. ไสภา สุวแพทย์
ดร. นิดา ชัยมูล
ดร. มณีรัตน์ องค์กรณดี

มหาวิทยาลัยมหิดล

ดร. รุ่ง กิตติพิชัย
ดร. วรศิษฐ์ ตรีทัศน์วินท์
รศ. ศุภชัย นาทะพันธ์

ดร. ขวัญชัย จ้อยเจริญ
ดร. วันชัย ทรัพย์สิงห์
ดร. บุญยฤทธิ์ ประสาทแก้ว
ดร. วารุณี อริยะวิริย
ดร. ฉัตรชัย ศุภพิทักษ์สกุลนันท์
ดร. บุญยัง ปลั่งกลาง
ดร. อำนวย เรืองวารีย์

มหาวิทยาลัยราชภัฏบ้านสมเด็จเจ้าพระยา
ดร. โยธิน อึ้งกุล
ดร. ยิ่งรักษ์ อรรถเวชกุล

มหาวิทยาลัยราชภัฏวไลยอลงกรณ์
รศ.ดร. วัชระ เพิ่มชาติ

บทความวิชาการ การประชุมวิชาการเครือข่ายพลังงานแห่งประเทศไทย ครั้งที่ 9

VII



มหาวิทยาลัยรามคำแหง
ผศ.ดร. สมพร อนุวัฒณีชัย

มหาวิทยาลัยศรีนครินทรวิโรฒ
ดร. กิตติ สถาพรประสาธน์

มหาวิทยาลัยศรีปทุม
ดร. เทพฤทธิ์ ทองซูป
ดร. กิรติ ชยะกุลศิริ
ดร. วิชชากร เอ่งศรีธวัช
ดร. ชลธิศ เอี่ยมวรวิฑูฒิกุล
ดร. วริศรา เลิศไพฑูรย์พันธ์
ดร. นิमित บุญภิรมย์
อ. อภิรักษ์ สวัสดิ์กิจ
อ. เฉติญา จันทร์สา

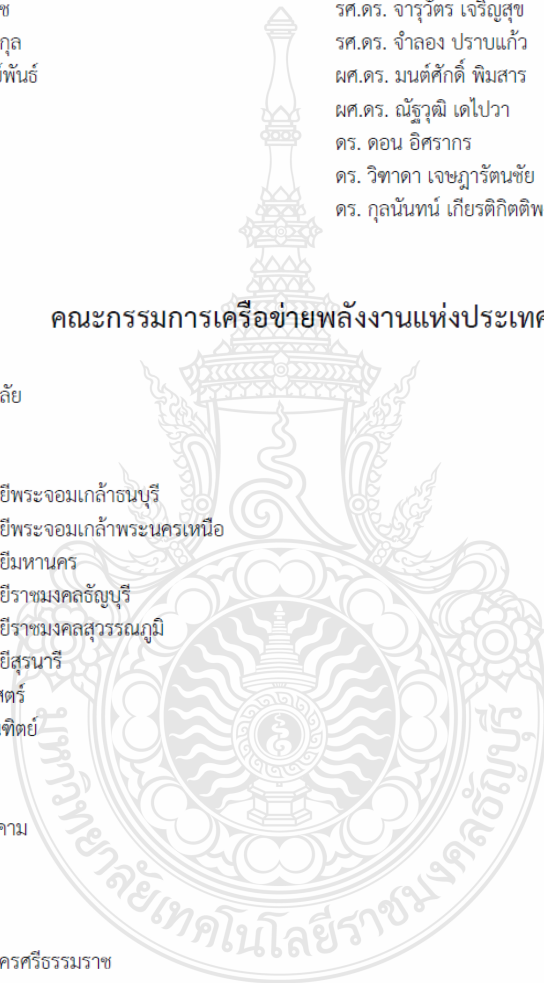
มหาวิทยาลัยสงขลานครินทร์
ผศ.ดร. ชยุต นันทกุลิต

มหาวิทยาลัยอุบลราชธานี
ผศ.ดร. อำไพศักดิ์ ทีบุญมา

สถาบันเทคโนโลยีพระจอมเกล้าเจ้าคุณทหารลาดกระบัง
รศ.ดร. พงษ์เจต พรหมวงศ์
รศ.ดร. ชินรักษ์ เขียวพงษ์
รศ.ดร. จารุวัตร เจริญสุข
รศ.ดร. จำลอง ปราบแก้ว
ผศ.ดร. มนต์ศักดิ์ พิมพ์สาร
ผศ.ดร. ณัฐวุฒิ เตไปวา
ดร. ดอน อิศรากร
ดร. วิชาดา เจษฎารัตนชัย
ดร. กุลนันทน์ เกียรติกิตติพงษ์

คณะกรรมการเครือข่ายพลังงานแห่งประเทศไทย

จุฬาลงกรณ์มหาวิทยาลัย
มหาวิทยาลัยเชียงใหม่
มหาวิทยาลัยทักษิณ
มหาวิทยาลัยเทคโนโลยีพระจอมเกล้าธนบุรี
มหาวิทยาลัยเทคโนโลยีพระจอมเกล้าพระนครเหนือ
มหาวิทยาลัยเทคโนโลยีมหานคร
มหาวิทยาลัยเทคโนโลยีราชมงคลธัญบุรี
มหาวิทยาลัยเทคโนโลยีราชมงคลสุวรรณภูมิ
มหาวิทยาลัยเทคโนโลยีสุรนารี
มหาวิทยาลัยธรรมศาสตร์
มหาวิทยาลัยธุรกิจบัณฑิต
มหาวิทยาลัยนเรศวร
มหาวิทยาลัยบูรพา
มหาวิทยาลัยมหาสารคาม
มหาวิทยาลัยมหิดล
มหาวิทยาลัยแม่โจ้
มหาวิทยาลัยรังสิต
มหาวิทยาลัยราชภัฏนครศรีธรรมราช
มหาวิทยาลัยราชภัฏลำปาง



มหาวิทยาลัยราชภัฏเลย
 มหาวิทยาลัยราชภัฏอุดรดิตต์
 มหาวิทยาลัยราชภัฏอุบลราชธานี
 มหาวิทยาลัยศรีนครินทรวิโรฒ
 มหาวิทยาลัยศรีปทุม
 มหาวิทยาลัยศิลปากร

VIII

ภาควิชาวิศวกรรมเครื่องกลและภาควิชาวิศวกรรมไฟฟ้ากำลัง

รหัสอ้างอิงบทความ	ชื่อบทความ	หน้า
RE025	การวิเคราะห์สาเหตุการเกิดปัญหา Sintering, Slagging และ Fouling จากการเผาไหม้ ทะลายปาล์มเปล่า (EFB) ในเตาเผาไหม้ตะกรับ	1040
RE026	คุณลักษณะการเผาไหม้เชื้อเพลิงชีวมวลในเตาเผาไหม้ฟลูอิดซ์เบดแบบหมุนเวียน	1047
RE027	การประเมินศักยภาพพลังงานลมเบื้องต้นสำหรับติดตั้งกังหันลม	1055
RE028	การลดลงของสมรรถนะแผงเซลล์แสงอาทิตย์ชนิดโมโนคริสตัลไลน์ที่ส่งต่อโรงไฟฟ้าขนาดใหญ่	1061
RE029	การประเมินผลของเวลา ปริมาณความเข้มข้นสารตั้งต้นและความเข้มข้นของ NaOH ต่อ องค์ประกอบของฟางข้าวโดยใช้วิธีการพื้นที่ผิวตอบสนอง	1066
RE030	การทำนายอุณหภูมิการเผาไหม้เชื้อเพลิงแก๊สของหัวพันไฟวัสดุพูนแบบเม็ดกลมอัดแน่นโดย วิธีการออกแบบการทดลองเชิงแฟกทอเรียลแบบสองระดับ	1080
RE031	การศึกษาเชิงเปรียบเทียบปริมาณการใช้เชื้อเพลิงของ LPG และแก๊สชีวภาพสำหรับผลิตไฟฟ้า	1087
RE032	การศึกษาเชิงเปรียบเทียบการเพิ่มประสิทธิภาพของเซลล์แสงอาทิตย์	1092
RE033	จลนพลศาสตร์การอบแห้งกากมะพร้าวด้วยเทคนิคแบบสกรูล้ำเสียง	1098
RE034	การหาสมรรถนะของเครื่องยนต์อ็อกซิเจนที่ดัดแปลงจากเครื่องยนต์สันดาปภายใน	1103
สาขาอื่นๆ ที่เกี่ยวข้องทางด้านพลังงาน: Others Energy-related Topics (OT)		
รหัสอ้างอิงบทความ	ชื่อบทความ	หน้า

OT001	การศึกษาการใช้งานที่อุณหภูมิต่ำของน้ำมันปาล์มไบโอดีเซลผสม	1108
OT002	วงจรเรียงกระแสแบบทบแรงดันที่สวิตซ์ด้วยแรงดันศูนย์โดยใช้สัญญาณพัลส์เบิคลยูเอ็ม เพื่อการประยุกต์ใช้ในการประจุแบตเตอรี่ชนิด Li-ion	1117
OT003	การหาตำแหน่งติดตั้งที่เหมาะสมของ AVR ในระบบจำหน่ายด้วย PSO	1125
OT005	ระบบจำลองการขยายช่วงความเร็วและแรงบิดในมอเตอร์ไฟตรงไร้แปรงถ่านด้วยโปรแกรม MATLAB/Simulink	1131
OT006	การจัดการพลังงานและประเมินรอยเท้าคาร์บอนในโรงงานแช่เยือกแข็งกุ้ง	1137
OT007	การพัฒนาและศึกษาประสิทธิภาพของเตาเผาขยะชุมชน ในมหาวิทยาลัยราชภัฏวไลยอลงกรณ์	1142
OT008	การติดตามแสงอาทิตย์ด้วยการปรับสมดุลระดับน้ำ	1149
OT009	การใช้ระบบแก๊สซิฟิเคชันจากเศษไม้ลำไยเพื่อลดต้นทุนการผลิตในอุตสาหกรรมเซรามิก	1156
OT010	ผลกระทบของการผลิตไฟฟ้าเชื้อเพลิงฟอสซิลที่มีต่อสุขภาพของมนุษย์และสิ่งแวดล้อม	1164
OT011	ประสิทธิภาพและการปล่อยก๊าซมลพิษของการเผาไหม้ถ่านไม้ในเตาหุงต้มแบบต่างๆ	1172
OT012	Photovoltaic Charge Controller	1178
OT013	การวิเคราะห์ทางการเงินเพื่อตัดสินใจเปลี่ยนเชื้อเพลิงจากน้ำมันเตาเป็นก๊าซธรรมชาติในระบบเตาเผา: กรณีศึกษาโรงงานอุตสาหกรรมปิโตรเคมีและการกลั่น	1185
OT014	ผลของอัตราการไหลเข้าและอัตราส่วนการไหลต่อความเข้มข้นทางออกด้านบน ด้านล่าง และประสิทธิภาพการแยกของไฮโดรไลโคลนขนาด 40 มิลลิเมตร	1193
OT015	การศึกษาและออกแบบโปรแกรมตรวจจับการเกิดดิสชาร์จบางส่วนในหม้อแปลงไฟฟ้ากำลังตามหลักการปล่อยสัญญาณอะคูสติคด้วยเทคนิคความแตกต่างของเวลาการมาถึงของสัญญาณ	1199

XX

ภาควิชาวิศวกรรมเครื่องกลและภาควิชาวิศวกรรมไฟฟ้ากำลัง





รหัสบทความ:
OT005

การประชุมวิชาการเครือข่ายพลังงานแห่งประเทศไทยครั้งที่ 9
8-10 พฤษภาคม 2556 จังหวัดนครนายก

ระบบจำลองการขยายช่วงความเร็วและแรงบิดในมอเตอร์ไฟตรงไร้แปรงถ่านด้วยโปรแกรม
MATLAB/Simulink
Modeling of the speed-torque extending in Brushless DC Motor using
MATLAB/Simulink

สำเร็จ เต็มราม^๑ และ วันชัย ทรัพย์สิงห์^๒*

^๑ ภาควิชาไฟฟ้ากำลัง สำนักพัฒนาสมรรถนะครูและบุคลากรอาชีวศึกษา กรุงเทพมหานคร

^๒ ภาควิชาวิศวกรรมไฟฟ้า คณะวิศวกรรมศาสตร์ มหาวิทยาลัยเทคโนโลยีราชมงคลธัญบุรี ปทุมธานี ๑๒๑๑๐

*ผู้ติดต่อ: wanchai.s@en.mutt.ac.th

บทคัดย่อ

บทความนี้นำเสนอการศึกษาและพัฒนาแบบจำลองทางคณิตศาสตร์ ด้วยโปรแกรม MATLAB/Simulink เพื่อวิเคราะห์วิธีการขับเคลื่อน มอเตอร์ไฟตรงไร้แปรงถ่าน (Brushless DC Motor) แบบมีการชดเชยเฟสแบบก้าวหน้า (Phase Advance) ระหว่างกระแสขาเข้ากับแรงดัน Back EMF ในแต่ละเฟสของมอเตอร์ เพื่อปรับปรุงแรงบิดและเพิ่มความเร็วให้มอเตอร์ในย่านการทำงานแบบกำลังคงที่ (Constant Power Region) ซึ่งเป็นองค์ประกอบที่สำคัญต่อการออกแบบชุดควบคุมการขับเคลื่อนมอเตอร์ไฟตรงไร้แปรงถ่าน ทั้งนี้ในบทความจะศึกษาผลการตอบสนองทางด้านแรงบิดและความเร็วของมอเตอร์ในระบบวงปิด ที่มีค่าการชดเชยมุมเฟสแตกต่างกัน เพื่อนำผลที่ได้ไปวิเคราะห์และสร้างชุดควบคุมการขับเคลื่อนมอเตอร์ดังกล่าวให้เหมาะสมกับการนำไปใช้งานต่อไป

คำหลัก: การชดเชยมุมเฟสก้าวหน้า มอเตอร์ไฟตรงชนิดไร้แปรงถ่าน

Abstract

This paper presents the investigation and the development of a mathematical model of the Brushless Direct Current (BLDC) Motor using MATLAB / Simulink program. It concerns in Performance analysis of the BLDC Motor when it operates in a constant power region. This leads into an implemented of Phase Advanced Angle Compensation (PAAC) method in order to improve the torque/ speed characteristic when running in an over-rated speed range. Hence, this paper considers in studying of motor performances both without PAAC and without PAAC. Furthermore, it may useful for the implementation of the Phase Advance Angle Compensation method with the BLDC Motor in practice.

Keywords: Phase Advance Angle Compensation, Brushless DC Machine.

๑. บทนำ

ปัจจุบัน Brushless DC (BLDC) Motor เป็นที่สนใจในงานอุตสาหกรรมและมีการประยุกต์ใช้ในหลายๆ ด้านเช่น ในอุตสาหกรรมการบินและอวกาศ อุตสาหกรรมการแพทย์ ระบบควบคุมอัตโนมัติ และ อุตสาหกรรมยานยนต์ เป็นต้น โดยเฉพาะเป็นตัวขับเคลื่อนล้อ (In-Wheel Motor) ของรถยนต์ไฟฟ้าขนาดเล็กรุ่นใหม่ คุณสมบัติของ

BLDC Motor มีจุดเด่นเมื่อเทียบกับมอเตอร์แบบเหนี่ยวนำ [๑] เช่น

- คุณลักษณะของความเร็ว-แรงบิดคล้าย DC Motor
- ตอบสนองต่อการเปลี่ยนแปลงความเร็วได้ดี
- ประสิทธิภาพในการทำงานสูง
- ตอบสนองการทำงานในย่านความเร็วสูงได้ดี
- มีค่าแรงบิดสูงกว่าเมื่อเทียบกับขนาดมอเตอร์

ภาควิชาวิศวกรรมเครื่องกล
และภาควิชาวิศวกรรมไฟฟ้ากำลัง

1131

คณะวิศวกรรมศาสตร์
มหาวิทยาลัยเทคโนโลยีมหานคร

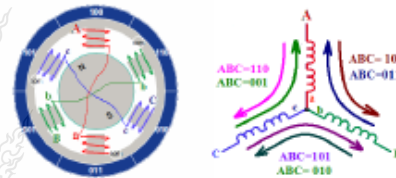


รหัสบทความ:
OT005

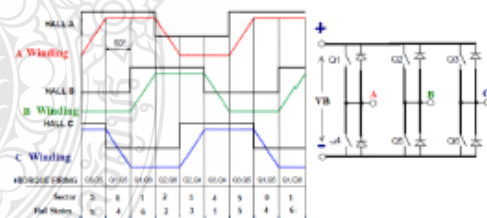
การประชุมวิชาการเครือข่ายพลังงานแห่งประเทศไทยครั้งที่ ๑
8-10 พฤษภาคม 2556 จังหวัดนครนายก

นอกจากนี้ยังมีขนาดน้ำหนักต่อพิกัดกำลัง (Weight/Watt) อยู่ในเกณฑ์ต่ำ สามารถนำไปใช้ในส่วนที่ถูกจำกัดพื้นที่ได้ดีกว่า

แรงบิดของ BLDC Motor ขึ้นอยู่กับรูปคลื่นของแรงดัน Back EMF ในขดลวดสเตเตอร์ [๑] โดยทั่วไปแรงดัน Back EMF จะเป็นรูปคลื่นสี่เหลี่ยมคางหมู และกระแสจะเป็นรูปคลื่นสามเหลี่ยม ขณะทำงานในย่านแรงบิดคงที่ ส่วนในย่านกำลังไฟฟ้าคงที่ มอเตอร์จะทำงานที่ความเร็วสูงขึ้นในขณะที่แรงบิดอาจลดลงต่ำกว่าแรงบิดไหลต จึงจำเป็นต้องควบคุมให้แรงบิดมีค่าเหมาะสมต่อการใช้งานในย่านการทำงานนี้ เนื่องจาก BLDC Motor ไม่สามารถควบคุมกระแสขดลวดสามขดได้เช่นเดียวกับ DC Motor ทั่วไป อย่างไรก็ตามค่าของแรงบิดและกระแส จากการจัดระบบโบทความนี้ อาจมีผลตอบสนอง ต่างจากผลทดลองที่ได้ในเชิงปฏิบัติ เนื่องจากในทางปฏิบัติ แรงบิดและกระแสจะมี ripple เกิดขึ้นได้ในขณะทำงาน แต่การจัดลงมีข้อดี ต่อการวิเคราะห์ระบบเพื่อควบคุมการทำงานให้สมบูรณ์ยิ่งขึ้น



รูปที่ ๒.๑ การควบคุมการไหลของกระแสสเตเตอร์



รูปที่ ๒.๒ การควบคุมสวิตซ์อิเล็กทรอนิกส์ให้สอดคล้องตามรูปที่ ๒.๑

๒.๑ แบบจำลองทางคณิตศาสตร์ของ BLDC Motor

๒. ทฤษฎีพื้นฐาน

BLDC Motor ใช้แม่เหล็กถาวรแทนขดลวดสนามจึงมีคุณสมบัติการทำงานคล้ายกับมอเตอร์ซิงโครนัส ซึ่งความถี่โรเตอร์จะเท่ากับความถี่สเตเตอร์ ควบคุมกระแสเข้าด้วยตำแหน่งโรเตอร์ ในปัจจุบัน BLDC Motor มีทั้งชนิด ๓ เฟส ๒ เฟสและ ๓ เฟส ขึ้นอยู่กับจำนวนขดขดลวดสเตเตอร์ ที่นิยมใช้ เป็นแบบ ๓ เฟส

การตรวจจับตำแหน่งโรเตอร์ที่ใช้ในการควบคุมการไหลของกระแสสเตเตอร์ ทำได้โดยใช้ Hall sensor ตรวจจับการเปลี่ยนแปลงสนามแม่เหล็ก หรือตรวจจับหาจุดตัดแรงดันต้านกลับ (Back EMF Zero Crossing Detection) เพื่อควบคุมแรงปฏิกิริยาจากสนามแม่เหล็ก ระหว่างโรเตอร์และสเตเตอร์ให้เกิดขึ้นที่มุมที่เหมาะสมต่อการทำงานในย่านนั้นๆ

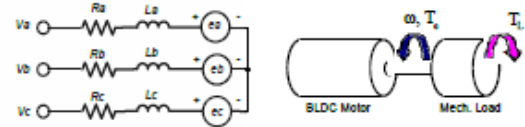
รูปที่ ๒.๑ และ ๒.๒ แสดงหลักการควบคุมการไหลของกระแสสเตเตอร์ด้วยตำแหน่งโรเตอร์โดยใช้ Hall sensor ตรวจจับการเปลี่ยนแปลงของสนามแม่เหล็ก

วงจรมุมลของ BLDC Motor แสดงดังรูปที่ ๒.๓ ซึ่งสามารถเขียนสมการทางคณิตศาสตร์ได้ดังนี้ [๒]

$$V_a = Ri_a + L \frac{di_a}{dt} + e_a \quad (๑)$$

$$V_b = Ri_b + L \frac{di_b}{dt} + e_b \quad (๒)$$

$$V_c = Ri_c + L \frac{di_c}{dt} + e_c \quad (๓)$$



รูปที่ ๒.๓ วงจรมุมลและแบบจำลองทางกลของ BLDC Motor

โดย	L	เป็น	armature self-inductance	[H]
	R	เป็น	armature resistance	[Ω]
	V_a, V_b, V_c	เป็น	terminal voltage	[V]
	i_a, i_b, i_c	เป็น	motor input current	[A]
	e_a, e_b, e_c	เป็น	motor back EMF	[V]



ดังนั้น Back EMF ที่เกิดขึ้นในแต่ละเฟสจะเป็นคังสมการ

$$e_a = K_e f(\theta_e) \omega \quad (๔)$$

$$e_b = K_e f(\theta_e - 2\pi/3) \omega \quad (๕)$$

$$e_c = K_e f(\theta_e + 2\pi/3) \omega \quad (๖)$$

$$\theta_e = \frac{P}{2} \cdot \theta_m \quad (๗)$$

สมการแรงบิดทางไฟฟ้าเป็นคังสมการ

$$T_e = \frac{e_a i_a + e_b i_b + e_c i_c}{\omega} \quad (๘)$$

และสมการแรงบิดทางกลจะเป็นไปตามสมการ

$$T_e - T_L = J \frac{d\omega}{dt} + B\omega \quad (๙)$$

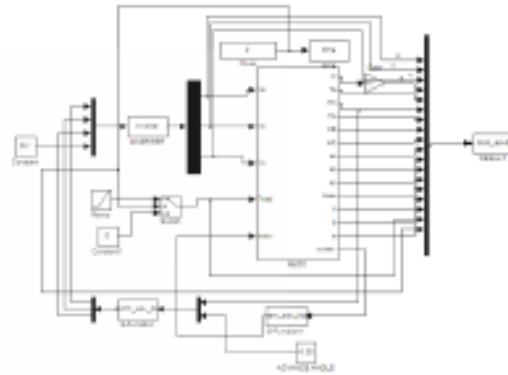
- โดย K_e เป็นค่าคงที่ [V/rad/s.]
 θ_e เป็นมุมทางไฟฟ้าของโรเตอร์ [rad]
 θ_m เป็นมุมทางกลของโรเตอร์ [rad]
 ω เป็นความเร็วที่เพลาของมอเตอร์ [rad/s.]
 P เป็น จำนวนขั้วแม่เหล็ก
 T_e เป็น แรงบิดทางไฟฟ้า [N.m]
 T_L เป็น แรงบิดทางกล [N.m]
 J เป็นค่าโมเมนต์ความเฉื่อยที่เพลาของมอเตอร์
 B เป็นค่าสัมประสิทธิ์ความหน่วงที่เพลา

การจ่ายกระแสให้กับขดลวดสเตเตอร์ ในแต่ละใช้คือ จะถูกแบ่งออกเป็น ๖ stop ดังแสดงในรูปที่ ๒.๓ ซึ่งแต่ละ stop จะสัมพันธ์กับตำแหน่งโรเตอร์ตามลำดับ ของสัญญาณออกจิกของ Hall sensor A B C ซึ่งติดตั้งอยู่ในสเตเตอร์ มีผลจากการจ่ายกระแสให้กับขดลวดสเตเตอร์ทั้ง ๓ เฟสเขียนได้คังสมการ [๑]

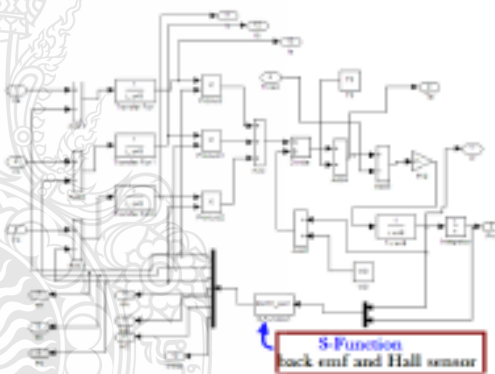
$$\left. \begin{aligned} 0 < \theta_e \leq 60 & \left| \begin{array}{l} V_a = VB, V_b = -VB, V_c = 0 \\ 60 < \theta_e \leq 120 & \left| \begin{array}{l} V_a = VB, V_b = 0, V_c = -VB \\ 120 < \theta_e \leq 180 & \left| \begin{array}{l} V_a = 0, V_b = VB, V_c = -VB \\ 180 < \theta_e \leq 240 & \left| \begin{array}{l} V_a = -VB, V_b = VB, V_c = 0 \\ 240 < \theta_e \leq 300 & \left| \begin{array}{l} V_a = -VB, V_b = 0, V_c = VB \\ 300 < \theta_e \leq 360 & \left| \begin{array}{l} V_a = 0, V_b = -VB, V_c = VB \end{array} \right. \end{array} \right. \end{array} \right. \end{array} \right. \end{array} \right. \end{array} \right. \quad (10)$$

สมการ (๑) - (๙) ใช้เขียนเป็นระบบจ่ายของอินเวอร์เตอร์ของ BLDC Motor ส่วนสมการ (๑๐) เป็น S-Function

โมเดลของ Inverter ดังแสดงในรูปที่ ๒.๔ และ ๒.๕ ตามลำดับ



รูปที่ ๒.๔ ระบบจ่ายของการทำงานของ BLDC Motor



รูปที่ ๒.๕ โมเดลภายในบล็อก BLDC Motor

๒.๒ หลักการชดเชยมุมเฟสีก้าวหน้าใน BLDC Motor

เนื่องจากความหน่วงนำในขดลวดมอเตอร์ทำให้กระแสเกิดการพ่วงตามค่าเวลา Time Constant และจะส่งผลให้กระแสในขดลวดสเตเตอร์ถึงระดับต้านกลับ (Back EMF) ที่ขึ้นจะแปรผันตามค่าความเร็วมอเตอร์ [๒] ค่ามุมต่างเฟสที่ขึ้นจะส่งผลทางลบต่อค่าแรงบิดมอเตอร์ ในขณะที่ทำงานในย่านความเร็วสูงเกินปกติ ดังนั้นการชดเชยให้กระแสมีมุมเฟสก้าวหน้าแรงดัน Back EMF ซึ่งเรียกหลักการนี้ว่า Phase advance angle เป็นวิธีหนึ่งที่ใช้ในการปรับปรุงค่าแรงบิดและควบคุมความเร็วให้กับมอเตอร์ ในย่าน Constant power



รหัสบทความ:
OT005

การประชุมวิชาการระดับชาติศึกษาค้นคว้าเพื่อพัฒนาประเทศไทย
๘-๑๐ พฤษภาคม ๒๕๕๘ จังหวัดนครนายก

๓. แบบจำลองและผลการจำลองระบบของการควบคุม มุมเฟสแกว่งหน้า

เพื่อให้เห็นลักษณะของการใช้หลักการ Phase Advance Angle ในการควบคุมแรงบิดและความเร็วที่ สอดคล้องการทำงานของมอเตอร์ จึงแบ่งการทดสอบระบบ จำลองเป็น ๒ รูปแบบดังนี้

๓.๑ การควบคุม ความเร็วมอเตอร์แบบเปิดที่มีการ ชักเชิงมุมเฟสที่ก้าวหน้าต่างกัน

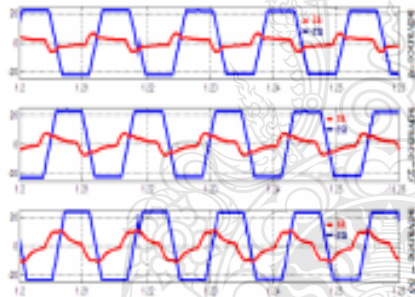
BLDC Motor ในระบบจำลอง ดังแสดงในรูปที่ ๒.๔ และ ๒.๕ มีพารามิเตอร์ที่สำคัญดังนี้

$$V_b = ๒๔ \text{ V}, R = ๑.๕ \text{ } \Omega, L = ๑.๑๖ \text{ mH}$$

$$J = ๑ \times ๑๐^{-๔} \text{ kgm}^2, B = ๑ \times ๑๐^{-๔}, P = ๔,$$

$$K_w = ๐.๐๕๕๕ \text{ และ } T_L = ๐ - ๐.๕ \text{ Nm. ที่เวลา } ๑.๕.$$

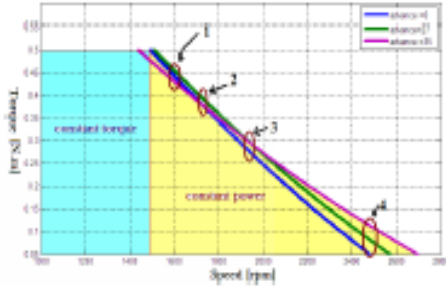
โดย มีการ ชักเชิงมุมเฟส ที่ ๐, ๒๙ และ ๓๕ ตามลำดับ



รูปที่ ๓.๑ ผลจำลองของรูปอื่นกระแสและแรงดันตัวนำ กลับที่มีการชักเชิงมุมเฟสที่ ๐, ๒๙ และ ๓๕ ตามลำดับ

Advance Angle Commutation (degree)	I_{peak} (Amp)
๐	๔
๒๙	๘
๓๕	๑๑

ตาราง ๓.๑ ค่ากระแสสูงสุดที่จ่ายให้กับมอเตอร์ที่มีการ ชักเชิงมุมเฟสที่ก้าวหน้า ๐, ๒๙ และ ๓๕ องศาตามลำดับ



รูปที่ ๓.๒ ผลจำลองของแรงบิด-ความเร็วมอเตอร์ ที่มีการ ชักเชิงมุมเฟสที่ ๐, ๒๙ และ ๓๕ ตามลำดับ

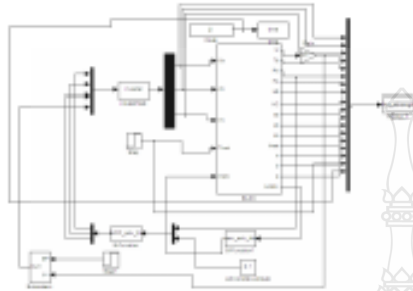
Speed	TORQUE		
	Advance Angle Commutation	Advance Angle Commutation	Advance Angle Commutation
๑๒๐๐	๐.๑๔	๐.๑๖	๐.๑
๑๒๖๐	๐.๑๗	๐.๑	๐.๑๗
๑๓๒๐	๐.๑๓	๐.๑๒	๐.๑๒
๑๓๘๐	๐	๐.๐๘	๐.๑๑

ตาราง ๓.๒ แสดงรายละเอียดความสัมพันธ์ระหว่าง ความเร็วและแรงบิดของมอเตอร์ที่มีการชักเชิงมุมเฟส ที่ ๐, ๒๙ และ ๓๕ ตามจุดที่ ๑-๔ ตามรูป ๓.๒

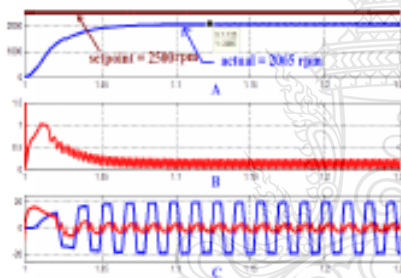
รูปที่ ๓.๑ แสดงผลการจำลอง ของรูปอื่นแรงดัน และ กระแสของ ระบบ ขณะ ที่มีการชักเชิงมุมเฟสที่ก้าวหน้า (Phase Advance Angle) ๐, ๒๙ และ ๓๕ โดยให้ การะโยกของมอเตอร์เปลี่ยนแปลงจาก ๐ ถึง ๐.๕ Nm. ตามที่กักของมอเตอร์ จะเห็นว่า กระแส น้ำหนักแรงดัน ตัวนำกลับตามค่าของการชักเชิงมุมเฟสที่ก้าวหน้าและ ค่าสูงสุดของกระแสที่จ่ายให้กับมอเตอร์ ซึ่งขึ้นตาม ค่าของ การชักเชิงมุมเฟสที่ก้าวหน้า ดังแสดงในตารางที่ ๓.๑ ในขณะที่ ความสัมพันธ์แรงบิด - ความเร็ว ขณะทำงานใน ย่าน Constant Power ค่าของการชักเชิงมุมเฟส ที่ก้าวหน้าเพิ่มขึ้นในสัดส่วนที่เป็นเชิงเส้น ดังแสดงใน รูปที่ ๒.๒ และตาราง ๓.๒ ตามลำดับ จะเห็นได้ว่าจากจุด ที่ ๑ ถึง จุดที่ ๓ ค่าของมุมเฟสที่ก้าวหน้าควรจะเป็น ๒๙ องศาและจากจุดที่ ๓ ถึงจุดที่ ๔ ควรจะเป็น ๓๕ องศา เป็นต้น



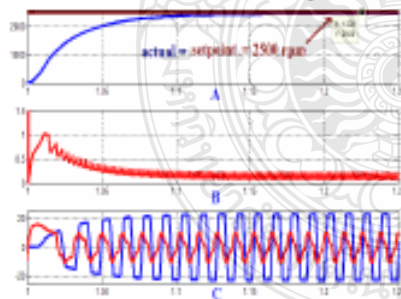
๓.๒ เปรียบเทียบการควบคุมความเร็วมอเตอร์แบบอุปปีดที่มีและไม่มีการใช้เซนเซอร์เฟสที่ตัวหน้า



รูปที่ ๓.๓ Simulink Model การควบคุมมอเตอร์ที่ตัวหน้าใน BLDCM แบบอุปปีด



รูปที่ ๓.๔ ความเร็ว แรงบิด และรูปคลื่นกระแส-แรงดัน BLDC Motor ขณะไม่มีการใช้เซนเซอร์เฟส



รูปที่ ๓.๕ ความเร็ว แรงบิด และรูปคลื่นกระแส-แรงดัน BLDC Motor ขณะเซนเซอร์เฟสที่ตัวหน้า

การจำลองในส่วนนี้เป็นการทำงานของ BLDC Motor ในส่วนกำลังคนที่ ซึ่งมีความเร็วเกินพิกัด ทั้งนี้กำหนดให้

โมเมนต์ทางออกมีค่าคงที่ ๐.๑ Nm.

PI Controller; $K_p = ๐.๑, K_i = ๑๐๐$

จากการจำลอง ขณะควบคุม ความเร็วของมอเตอร์แบบอุปปีด จะเห็นได้ว่าขณะไม่มีการใช้เซนเซอร์เฟส (๐) มอเตอร์ไม่สามารถทำความเร็วเข้าหาความเร็วกำหนดได้ ดังแสดงในรูป ๓.๔[A] โดยค่าเฉลี่ยของแรงบิดของมอเตอร์ที่ความเร็วคงที่ อยู่ที่ ๐.๒ Nmตามรูป ๓.๔[B] สำหรับส่วนของกระแสที่จ่ายให้กับมอเตอร์ จะเห็นได้ว่าอัตราการเพิ่มขึ้น (Rising) มีค่าน้อยเมื่อเทียบกับ รูปคลื่นของค่าของแรงดันตามกับ โดยค่ากระแสสูงสุดอยู่ที่ ๓ Amp ตามรูป ๓.๔[C]

เมื่อระบบมีการใช้เซนเซอร์เฟสที่ ๓๕ ขณะอุปปีดการควบคุมความเร็วทำให้เข้าสู่ค่าเป้าหมายได้ (ค่าผลิตภาคเป็นศูนย์)ตามรูป ๓.๕[A] โดยค่าแรงบิดเฉลี่ยอยู่ที่ ๐.๒ Nm ตามรูป ๓.๕[B] ในส่วนของกระแสที่จ่ายให้กับมอเตอร์จะเห็นได้ว่าเมื่ออัตราการเพิ่มขึ้น(Rising)สูง ความเร็วเทียบกับขณะที่ไม่มีการใช้เซนเซอร์เฟสที่ตัวหน้า ดังแสดงในรูป ๓.๔[C]

๔. สรุป

ผลที่ได้จากการทดสอบระบบจำลอง พบว่าการใช้หลักการเซนเซอร์เฟสที่ตัวหน้าสามารถเพิ่มความเร็วและแรงบิดของมอเตอร์ในส่วนกำลังคนที่ได้ดังได้จากการจำลองดังรูป ๓.๒ ซึ่งหลักการนี้สามารถนำไปประยุกต์ใช้เป็นแนวทางในการออกแบบชุดควบคุมการขับเคลื่อน BLDC Motor เพื่อให้ได้คุณสมบัติแรงบิด- ความเร็วที่เหมาะสม โดย เฉพาะในส่วนความเร็วสูง ทั้งนี้สามารถนำไปประยุกต์ใช้งานเชิงปฏิบัติ ด้วยแผงวงจรประมวลผลสัญญาณดิจิทัล (DSP Board) เช่นกัน อย่างไรก็ตามบทความนี้ วิธีการ การใช้เซนเซอร์เฟสที่ตัวหน้า เป็นแบบคนที่ ๒๗ และ ๓๕ องศาตามลำดับ ตามรูป ๓.๒ จะเห็นได้ว่าในช่วงความเร็วจากค่าแรกขงที่ ๑ - ๓ ควรใช้มุมเฟสที่ตัวหน้าที่ ๒๗ องศาและจากช่วงที่ ๓ - ๔ ควรใช้มุมเฟสที่ตัวหน้าที่ ๓๕ องศา เพื่อให้เกิดแรงบิดมอเตอร์ที่สูงสุด ดังนั้นการปรับมุมเฟสที่ตัวหน้าให้เหมาะสม ในแต่ละย่านความเร็ว ของมอเตอร์ ถือเป็นส่วน สำคัญอย่างหนึ่งที่นักวิจัยจะต้องทำการศึกษาค้นต่อไป



๘. เอกสารอ้างอิง

- [๑] B. Tibor, V. Fedak and F. Durovsky, "Modeling and simulation of the BLDC Motor in MATHLAB GUI", IEEE International Symposium on Industrial Electronics (ISIE) pp. ๑๔๐๓-๑๔๐๗, ๒๐๑๑
- [๒] S.K. Safi ,P.P. Acarnley and A.G.Jack "Analysis and simulation of the high speed torque performance of Brushless DC Motor drives", IEE Proceedings on Electric Power Applications, Vol. ๑๔๒-๓, pp. ๑๙๑-๒๐๐, ๑๙๙๕.
- [๓] I. Janpan, R. Chaisricharoen and P. Banyanant, "Control of the BLDC Motor in Combine Mode", Procedia Engineering ๓๒ (๒๐๑๒), pp. ๒๗๙-๒๘๕, SciVerse ScienceDirect, Elsevier Publication, ๒๐๑๒.



นายสำเร็จ เต็มราม ปี ปัจจุบันเป็น นักศึกษาวิศวกรรมศาสตรมหาบัณฑิต ภาควิชาวิศวกรรมไฟฟ้า มหาวิทยาลัยเทคโนโลยีราชมงคลธัญบุรี งานวิจัยที่สนใจระบบ Embedded Systems การประยุกต์ DSP Board ในการควบคุม BLDC Motor และระบบขับเคลื่อนในรถไฟฟ้านครนายก



นายวันชัย ทรัพย์สิงห์ ปัจจุบันเป็น อาจารย์ประจำภาควิชาวิศวกรรมไฟฟ้า คณะวิศวกรรมศาสตร์ มหาวิทยาลัยเทคโนโลยีราชมงคลธัญบุรี งานวิจัยที่สนใจ Power Electronics and Applications, Renewable Energy, FACTs และระบบขับเคลื่อนในรถไฟฟ้านครนายก

2013
EENET
5 ELECTRICAL ENGINEERING NETWORK



การประชุมวิชาการเครือข่ายวิศวกรรมไฟฟ้า มหาวิทยาลัยเทคโนโลยีราชมงคล ครั้งที่ 5

บทความวิจัย

- ไฟฟ้ากำลัง
- อิเล็กทรอนิกส์กำลัง
- ไฟฟ้าสื่อสารและโทรคมนาคม
- ระบบควบคุมและการวัดคุม
- คอมพิวเตอร์และเทคโนโลยีสารสนเทศ
- พลังงานและการอนุรักษ์พลังงาน
- นวัตกรรมและสิ่งประดิษฐ์
- งานวิจัยที่เกี่ยวข้องกับวิศวกรรมไฟฟ้า

บทความวิชาการ

27-29 มีนาคม 2556 โรงแรมหัวหินแกรนด์ แอนด์ พลาซ่า จังหวัดประจวบคีรีขันธ์
คณะวิศวกรรมศาสตร์ มหาวิทยาลัยเทคโนโลยีราชมงคลพระนคร

EENET2013



คณะกรรมการอำนวยการจัดงาน EENET2013

- | | |
|--|---------------------|
| 1. รองศาสตราจารย์ดวงสุดา เตโชติรส
อธิการบดีมหาวิทยาลัยเทคโนโลยีราชมงคลพระนคร | ประธานกรรมการ |
| 2. ผู้ช่วยศาสตราจารย์สุภัทรา โกไศยกานนท์
รองอธิการบดีด้านวิชาการและวิเทศสัมพันธ์ | กรรมการ |
| 3. ผู้ช่วยศาสตราจารย์เฟื่องฟ้า เมฆเกรียงไกร
รองอธิการบดีด้านวิจัยและบริการวิชาการ | กรรมการ |
| 4. ผู้ช่วยศาสตราจารย์ฉัตรชัย เขียวหิรัญ
รองอธิการบดีด้านเทคโนโลยีสารสนเทศและพัฒนาคุณภาพ | กรรมการ |
| 5. ผู้ช่วยศาสตราจารย์ ดร.วัลลภ ภูผา
คณบดีคณะวิศวกรรมศาสตร์ | กรรมการและเลขานุการ |



คณะกรรมการวิชาการเครือข่ายวิศวกรรมไฟฟ้า

- | | |
|---|---------------------|
| 1. รองศาสตราจารย์ ดร.โกศล โอฬารไพโรจน์
มหาวิทยาลัยเทคโนโลยีราชมงคล | ประธานกรรมการ |
| 2. รองศาสตราจารย์ ดร.ธวัช เกิดชื่น
มหาวิทยาลัยเทคโนโลยีราชมงคลธัญบุรี | กรรมการ |
| 3. ผู้ช่วยศาสตราจารย์ ดร.เจนศักดิ์ เอกบุรณะวัฒน์
มหาวิทยาลัยเทคโนโลยีราชมงคลรัตนโกสินทร์ | กรรมการ |
| 4. ผู้ช่วยศาสตราจารย์วิศุทธิ์ พงศ์พฤกษ์ธาดู
มหาวิทยาลัยเทคโนโลยีราชมงคลศรีวิชัย | กรรมการ |
| 5. ผู้ช่วยศาสตราจารย์ ดร.ศักดิ์ระวี ระวีกุล
มหาวิทยาลัยเทคโนโลยีราชมงคลธัญบุรี | กรรมการ |
| 6. ผู้ช่วยศาสตราจารย์ ดร.กฤษณ์ชนม์ ภูมิภคพิชญ์
มหาวิทยาลัยเทคโนโลยีราชมงคลธัญบุรี | กรรมการ |
| 7. ผู้ช่วยศาสตราจารย์ประสิทธิ์ นางทิน
สถาบันเทคโนโลยีปทุมวัน | กรรมการ |
| 8. อาจารย์ ดร.สุริยา แก้วอาษา
มหาวิทยาลัยเทคโนโลยีราชมงคลธัญบุรี | กรรมการ |
| 9. ผู้ช่วยศาสตราจารย์ ดร.อุเทน คำน่าน
มหาวิทยาลัยเทคโนโลยีราชมงคลล้านนา | กรรมการ |
| 10. อาจารย์ ดร.วุฒิวัฒน์ คงรัตน์ประเสริฐ
มหาวิทยาลัยเทคโนโลยีราชมงคลกรุงเทพ | กรรมการ |
| 11. อาจารย์ ดร.นัฐโชติ รักไทยเจริญชีพ
มหาวิทยาลัยเทคโนโลยีราชมงคลพระนคร | กรรมการ |
| 12. อาจารย์ประหัด กอสุข
มหาวิทยาลัยเทคโนโลยีราชมงคลตะวันออก | กรรมการ |
| 13. ผู้ช่วยศาสตราจารย์ ดร.ประมุข อุณหเลขกะ
มหาวิทยาลัยเทคโนโลยีราชมงคลสุวรรณภูมิ | กรรมการและเลขานุการ |



คณะกรรมการดำเนินงานประชุมวิชาการ EENET2013 ประจำปีเครือข่าย

- | | |
|--|---------------|
| 1. ผู้ช่วยศาสตราจารย์ ดร.วัลลภ ภูผา
มหาวิทยาลัยเทคโนโลยีราชมงคลพระนคร | ประธานกรรมการ |
| 2. อาจารย์ ดร.ณัฐพงศ์ พันธุ์นะ
มหาวิทยาลัยเทคโนโลยีราชมงคลพระนคร | กรรมการ |
| 3. ผู้ช่วยศาสตราจารย์วารุณี ศรีสงคราม
มหาวิทยาลัยเทคโนโลยีราชมงคลสุวรรณภูมิ | กรรมการ |
| 4. อาจารย์ ดร.นิธิโรจน์ พรสุวรรณเจริญ
มหาวิทยาลัยเทคโนโลยีราชมงคลอีสาน | กรรมการ |
| 5. อาจารย์ ดร.สาขชล ชูเจ็จจัน
มหาวิทยาลัยเทคโนโลยีราชมงคลกรุงเทพ | กรรมการ |
| 6. อาจารย์ ดร.ณัฐภัทร พันธุ์คง
มหาวิทยาลัยเทคโนโลยีราชมงคลธัญบุรี | กรรมการ |
| 7. อาจารย์ณรงค์ นันทกุล
มหาวิทยาลัยเทคโนโลยีราชมงคลล้านนา | กรรมการ |
| 8. อาจารย์ ดร.วิวัฒน์ ทิพย์จร
มหาวิทยาลัยเทคโนโลยีราชมงคลล้านนา | กรรมการ |
| 9. อาจารย์พิทักษ์ บุญนุ่น
มหาวิทยาลัยเทคโนโลยีราชมงคลล้านนา | กรรมการ |
| 10. อาจารย์ณรงค์ฤทธิ์ พิมพ์คำวงศ์
มหาวิทยาลัยเทคโนโลยีราชมงคลล้านนา | กรรมการ |
| 11. อาจารย์จิระยุทธ เนื่องรินทร์
มหาวิทยาลัยเทคโนโลยีราชมงคลอีสาน | กรรมการ |
| 12. อาจารย์วิเชียร หทัยรัตน์ศิริ
มหาวิทยาลัยเทคโนโลยีราชมงคลกรุงเทพ | กรรมการ |
| 13. อาจารย์ภัทรพงศ์ อัญชันภาติ
มหาวิทยาลัยเทคโนโลยีราชมงคลตะวันออก | กรรมการ |



- | | |
|---|---------------------|
| 14. อาจารย์ ดร.ประสพโชค โห้ทองคำ
มหาวิทยาลัยเทคโนโลยีราชมงคลรัตนโกสินทร์ | กรรมการ |
| 15. อาจารย์ปฎิวัติ นุญมา
มหาวิทยาลัยเทคโนโลยีราชมงคลสุวรรณภูมิ | กรรมการ |
| 16. อาจารย์ทศพร พรหมสิทธิ์
สถาบันเทคโนโลยีปทุมวัน | กรรมการ |
| 17. อาจารย์ ดร.นัฐโชติ รักไทยเจริญชีพ
มหาวิทยาลัยเทคโนโลยีราชมงคลพระนคร | กรรมการและเลขานุการ |

คณะกรรมการดำเนินงานประชุมวิชาการ EENET2013 ด้านประชาสัมพันธ์

- | | |
|--|---------------------|
| 1. อาจารย์ ดร.ฉัฐพงศ์ พันธนะ | ประธานกรรมการ |
| 2. อาจารย์ยุฑธนา สรวลสวรรค์ | กรรมการ |
| 3. ผู้ช่วยศาสตราจารย์สถิตศักดิ์ วรรคิชญ์ | กรรมการ |
| 4. อาจารย์อภิษฎา ทองรักษ์ | กรรมการ |
| 5. อาจารย์ ดร.อดิศร ก้อนวัน | กรรมการ |
| 6. นายสมยศ แสงจันทร์ | กรรมการ |
| 7. อาจารย์เกรียงไกร เหลืองอำพล | กรรมการและเลขานุการ |

คณะกรรมการดำเนินงานประชุมวิชาการ EENET2013 ด้านบทความ

- | | |
|---|---------------|
| 1. อาจารย์ ดร.นัฐโชติ รักไทยเจริญชีพ | ประธานกรรมการ |
| 2. ผู้ช่วยศาสตราจารย์โกศล นิธิโสภา | กรรมการ |
| 3. ผู้ช่วยศาสตราจารย์กมลทิพย์ วัฒนีกำธร | กรรมการ |
| 4. อาจารย์ ดร.อดิศร ก้อนวัน | กรรมการ |
| 5. อาจารย์เกรียงไกร เหลืองอำพล | กรรมการ |
| 6. อาจารย์จตุรงค์ จตุรเชิดชัยสกุล | กรรมการ |
| 7. อาจารย์พูนศรี วรรณการ | กรรมการ |



8. อาจารย์พนา คูตีตากร	กรรมการ
9. อาจารย์อดิศักดิ์ วิริยกรรม	กรรมการ
10. อาจารย์นิลमित นิลาศ	กรรมการ
11. อาจารย์ธนะกิจ วัฒนีกำธร	กรรมการ
12. อาจารย์สาคร วุฒิพัฒน์พันธุ์	กรรมการและเลขานุการ

คณะกรรมการดำเนินงานประชุมวิชาการ EENET2013 ด้านจัดทำเล่มบทความ

1. อาจารย์อรุณ ชลิ่งสุทธิ	ประธานกรรมการ
2. อาจารย์สมเกียรติ ทองแก้ว	กรรมการ
3. นายสมยศ แสงจันทร์	กรรมการ
4. อาจารย์มนัส บุญเทียรทอง	กรรมการ
5. อาจารย์เวทรินทร์ ธัญสิประเสริฐ	กรรมการ
6. อาจารย์ ดร.นัฐโชติ รักไทยเจริญชีพ	กรรมการและเลขานุการ

คณะกรรมการดำเนินงานประชุมวิชาการ EENET2013 ด้านสถานที่

1. อาจารย์ทง ลานธารทอง	ประธานกรรมการ
2. อาจารย์อดิศักดิ์ วิริยกรรม	กรรมการ
3. อาจารย์พูนศรี วรรณการ	กรรมการ
4. อาจารย์จตุรงค์ จตุรเชิดชัยสกุล	กรรมการ
5. อาจารย์สาคร วุฒิพัฒน์พันธุ์	กรรมการ
6. อาจารย์พนา คูตีตากร	กรรมการ
7. อาจารย์มนัส บุญเทียรทอง	กรรมการและเลขานุการ



คณะกรรมการดำเนินงานประชุมวิชาการ EENET2013 ด้านต้อนรับ

- | | |
|----------------------------|---------------------|
| 1. นางจุรีพร แสนสิ่ง | ประธานกรรมการ |
| 2. นางอัจฉรา เหลือพงษ์ | กรรมการ |
| 3. อาจารย์อภิษฎา ทองรักษ์ | กรรมการ |
| 4. นางสาววรรณรัฐ ประจิมนอก | กรรมการ |
| 5. นางนงเยาว์ เขียวจิตร | กรรมการ |
| 6. นางสาวนงนภัส สายแก้ว | กรรมการ |
| 7. นางสาวสุภาภรณ์ ลาทุม | กรรมการและเลขานุการ |

คณะกรรมการดำเนินงานประชุมวิชาการ EENET2013 ด้านงานทั่วไป

- | | |
|--------------------------------|---------------------|
| 1. อาจารย์สมเกียรติ ทองแก้ว | ประธานกรรมการ |
| 2. นายสมยศ แสงจันทร์ | กรรมการ |
| 3. นางสาวศิริกุล ภูจันทังค์ | กรรมการ |
| 4. นายไพฑูรย์ อาราเบีย | กรรมการ |
| 5. นายกิตติศักดิ์ กิ่งแก้ว | กรรมการ |
| 6. นายปิยะพันธ์ บำรอดิจิตร | กรรมการ |
| 7. นางกัญญ์ชิสรา ฐณฺสีประเสริฐ | กรรมการและเลขานุการ |

คณะกรรมการดำเนินงานประชุมวิชาการ EENET2013 ด้านทะเบียน

- | | |
|--|---------------------|
| 1. ผู้ช่วยศาสตราจารย์ ดร.สมใจ เพียรประสิทธิ์ | ประธานกรรมการ |
| 2. นางวิไลวรรณ คำปาน | กรรมการ |
| 3. นางนวพร พานอุป | กรรมการ |
| 4. นางสาวเนตรนภา แสงเงิน | กรรมการ |
| 5. นางสมศรี จันทร์ชนะ | กรรมการ |
| 6. นางสาวแสงเดือน พุทธิง | กรรมการและเลขานุการ |



การประชุมวิชาการเครือข่ายวิศวกรรมไฟฟ้า มหาวิทยาลัยเทคโนโลยีราชมงคล ครั้งที่ 5
Proceedings of The 5th Conference of Electrical Engineering Network of Rajamangala University of Technology (EENET2013)



คณะกรรมการดำเนินงานประชุมวิชาการ EENET2013 ด้านติดตามและประเมินผล

1. นางรัตนา เหล่าสินชัย
2. นางกุสุมา ระวังภัย

ประธานกรรมการ

กรรมการและเลขานุการ



27-29 มีนาคม 2556 โรงแรมหัวหินแกรนด์ แอนด์ พลาซ่า จังหวัดประจวบคีรีขันธ์



สารบัญ

ตามบทความงานวิจัยที่เกี่ยวข้องกับวิศวกรรมไฟฟ้า

รหัสบทความ	ชื่อเรื่อง	หน้า
EEN01	มือเทียมสำหรับคนมือขาดด้วยระบบไมโครคอนโทรลเลอร์ ศักดิ์ระวี ระวังกุล ณรงค์กร คุประพันธ์ เรืองศิลป์ ถิ่นน้ำใส และวิรัช เหล่าวงศรี มหาวิทยาลัยเทคโนโลยีราชมงคลธัญบุรี	517
EEN02	การออกแบบตัวควบคุมด้วยวิธีรู้ทูลด์สำหรับชุดทดลองระบบยกด้วยสนามแม่เหล็ก ปรีชา สาครรังค์ มหาวิทยาลัยเทคโนโลยีราชมงคลสุวรรณภูมิ	521
EEN03	การออกแบบและผลการใช้ตัวกรองขั้วแคโทดที่เฟสเดียวสำหรับกำจัดฮาร์มอนิกภายใต้ สภาวะโหลดเครื่องหรีไฟฟ้าด้วยไตรแอด วิสูตร อาสนวิจิตร สาคร ปิ่นดา ชาญชัย เศรษฐธรรมรงค์ และมังกร ศิริจันทร์ชื่น มหาวิทยาลัยเทคโนโลยีราชมงคลล้านนา	525
EEN04	ชุดขับเคลื่อนมอเตอร์ไฟฟ้าสามเฟส ควบคุมด้วย MC3PHAC ศุภกร วิสวภัทรธนธร กมลรัตน์ แก้วทา นพรัตน์ ชาญประไพ และวริทธิ์ อุปพงษ์ มหาวิทยาลัยเทคโนโลยีราชมงคลธัญบุรี	529
EEN05	ชุดทดสอบเพื่อการศึกษาผลกระทบของอุณหภูมิต่อการทำงานของเบตเตอรี่ตะกั่ว – กรด บุญยัง ปลั่ง กลาง พลพจน์ จันทร์คำ และคุณพล พลุสวัสดิ์ มหาวิทยาลัยเทคโนโลยีราชมงคลธัญบุรี	533
EEN06	เครื่องทดสอบเซอร์กิตเบรกเกอร์แรงต่ำ ทศพร พรหมสิทธิ์ และสันติ หวังนิพนาน โด สถาบันเทคโนโลยีปทุมวัน	537
EEN07	โปรแกรมจำลองสำหรับการศึกษาสถานะชั่วคราวของวงจรไฟฟ้ากระแสตรงที่ประกอบไปด้วย ตัวต้านทาน ตัวเก็บประจุ และตัวเหนี่ยวนำต่อแบบอนุกรม สมมาตร ขำเกลี้ยง ธนุศิลป์ บุญจันทร์ และอนุวัฒน์ แก้วศรีสังข์ มหาวิทยาลัยเทคโนโลยีราชมงคลศรีวิชัย	541
EEN08	EELab: โปรแกรมจำลองสำหรับการศึกษาทฤษฎีวงจรรีเล็กทรอนิกส์เบื้องต้น สิวล นวณภคด สมมาตร ขำเกลี้ยง ชาคริน ดวงพัตรา และประสิทธิ์ จุฬทอง มหาวิทยาลัยเทคโนโลยีราชมงคลศรีวิชัย	545



สาขาพลความงานวิจัยที่เกี่ยวข้องกับวิศวกรรมไฟฟ้า

รหัสบทความ	ชื่อเรื่อง	หน้า
GN09	ระบบจำลองการชดเชยมุมเฟสที่หัวหน้าในมอเตอร์ไฟตรงไร้แปรงถ่านด้วยโปรแกรม MATLAB/Simulink สำเร็จ เต็มราม และ วันชัย ทรัพย์สิงห์ มหาวิทยาลัยเทคโนโลยีราชมงคลธัญบุรี	549
GN10	การตรวจสอบหาตำแหน่งและขนาดจุดเปิดหนึ่งของแผ่นฐานฮาร์ดดิสก์ โดยใช้โปรแกรม LabVIEW วุฒิชัย สง่างาม ยุทธพล พัทกระ โทก และศิริมงคล เป็นวงศ์ มหาวิทยาลัยเทคโนโลยีราชมงคลอีสาน	553
GN11	การจำลองการทำงานวงจรถอยเล็กทรอนิกส์กำลังโดยใช้โปรแกรม Proteus กับการทดลองในห้องปฏิบัติการ เพื่อใช้ประกอบการสอนวิชาอิเล็กทรอนิกส์กำลัง ชูธง สัมมัตตะ และเสกสรรค์ เขียวสุวรรณ มหาวิทยาลัยเทคโนโลยีราชมงคลธัญบุรี	557
GN12	การพัฒนาโปรแกรมฝึกปฏิบัติการด้านวิศวกรรมโทรคมนาคมด้วย Software-Defined Radio คิสพล จำเริญกุล มหาวิทยาลัยเทคโนโลยีราชมงคลรัตนโกสินทร์	561
GN13	ชุดปฏิบัติการและโปรแกรมช่วยสอนคุณสมบัติของหม้อแปลงกระแส พัศวีร์ ศรีโหมค ธนภัทร พรหมวัฒน์ภักดี และกิริติ ชยะกุลศิริ มหาวิทยาลัยศรีปทุม	565
GN14	สื่อภาพเคลื่อนไหว เรื่อง โรงเดินกำลังไฟฟ้า ปรมรัตน์ สุขสายอัน สุรสิทธิ์ แสนทอง และอมร อินทรอง มหาวิทยาลัยเทคโนโลยีราชมงคลธัญบุรี	569
GN15	ชุดขับเคลื่อนรถเข็นคนพิการด้วยมอเตอร์ไฟฟ้าแบบลอคประกอบ เจษฎา พรหมเกษ และอาภาพล มหาวิระ มหาวิทยาลัยเทคโนโลยีราชมงคลอีสาน	573
GN16 บทความชมเชย	การสร้างและศึกษาคุณสมบัติของเฟอร์โรแมกเนติกชนิดอ่อน CoFe โดยวิธีการไฟฟ้าเคมีแบบพัลส์ที่กระแสต่ำ ชงยุทธ แก้วจรัส อธิโรจน์ มะโน ปุณยภูงก์ พงษ์ระวางกูร สุรศักดิ์ เนียมเจริญ และวิสุทธิ รุติรุ่งเรือง สถาบันเทคโนโลยีพระจอมเกล้าเจ้าคุณทหารลาดกระบัง	577
GN17	เครื่องล้างมือด้วยแอลกอฮอล์อัตโนมัติ วิสุทธิ พงษ์พฤกษ์ชาติ และสมคิด ลีลาชนะชัยพงษ์ มหาวิทยาลัยเทคโนโลยีราชมงคลศรีวิชัย	581

บทความวิจัย

การประชุมวิชาการเครือข่ายวิศวกรรมไฟฟ้า มหาวิทยาลัยเทคโนโลยีราชมงคล ครั้งที่ 5

Proceedings of The 5th Conference of Electrical Engineering Network of Rajamangala University of Technology (EENET 2013)

ระบบจำลองการชดเชยมุมเฟสก้าวหน้าในมอเตอร์ไฟตรงไร้แปรงถ่านด้วยโปรแกรม MATLAB/Simulink
Modeling of Phase Advance Angle Commutation in Brushless DC Motor using MATLAB/Simulink

ถำริง เต็มราม¹ และวันชัย ทรัพย์สิงห์²

¹ภาควิชาไฟฟ้ากำลัง สำนักพัฒนาสมรรถนะและบุคลากรอาชีวศึกษา

ถนนรามอินทรา กม. 5-6 แขวงท่าแร้ง เขตบางเขน กรุงเทพมหานคร โทรศัพท์ : 02-5093654-5 ต่อ 431 E-mail:elect_2510@hotmail.com

²ภาควิชาวิศวกรรมไฟฟ้า คณะวิศวกรรมศาสตร์ มหาวิทยาลัยเทคโนโลยีราชมงคลธัญบุรี

39 หมู่ 1 ถนนรังสิต-นครนายก อ.คลองหลวง อ.ธัญบุรี จ.ปทุมธานี 12110 โทรศัพท์ : 025-493420 E-mail: wanchais@en.rmutt.ac.th

บทคัดย่อ

บทความนี้นำเสนอการศึกษาและพัฒนาแบบจำลองทางคณิตศาสตร์ ด้วยโปรแกรม MATLAB/Simulink เพื่อวิเคราะห์สมรรถนะการทำงานของมอเตอร์ไฟตรงไร้แปรงถ่าน (Brushless DC Motor) โดยพิจารณาในส่วนการชดเชยมุมเฟส แบบก้าวหน้า (Phase Advance Angle Compensation) ระหว่างกระแสขาเข้ากับแรงดัน Back EMF ในแต่ละเฟสของมอเตอร์ ในย่านการทำงานแบบ กำลังคงที่ (Constant Power Region) ที่ส่งผลต่อแรงบิดและความเร็วของมอเตอร์ทำงานที่ความเร็วเกิน ทิศัก ซึ่งเป็นองค์ประกอบที่สำคัญต่อการออกแบบชุดควบคุมการขับเคลื่อนมอเตอร์ไฟตรงไร้แปรงถ่านนี้ ทั้งนี้ในบทความจะศึกษาผลการตอบสนองทางด้านแรงบิดและความเร็วของมอเตอร์ในระบบเบ็ด ทั้งในขณะ ไม่มีการชดเชยมุมเฟส และขณะมีการชดเชยมุมเฟส เพื่อนำผลที่ได้ไปวิเคราะห์ และสร้างชุดควบคุมการขับเคลื่อนมอเตอร์ดังกล่าวให้เหมาะสมกับการนำไปใช้งานต่อไป

คำสำคัญ: การชดเชยมุมเฟสก้าวหน้า มอเตอร์ไฟตรงไร้แปรงถ่าน

Abstract

This paper presents the investigation and the development of a mathematical model of the Brushless Direct Current (BLDC) Motor using MATLAB / Simulink program. It concerns in Performance analysis of the BLDC Motor when it operates in a constant power region. This leads into an implemented of Phase Advanced Angle Compensation (PAAC) method in order to improve the torque/ speed characteristic when running in an over-rated speed range. Hence, this paper considers in studying of motor performances both without PAAC and without PAAC. Furthermore, it may useful for the implementation of the Phase Advance Angle Compensation method with the BLDC Motor in practice.

Keywords: Phase Advance Angle Commutation, Brushless DC Motor

1. บทนำ

ในปัจจุบันมอเตอร์ไฟตรงไร้แปรงถ่าน (BLDCM) กำลังเป็นที่สนใจในงานอุตสาหกรรมและมีการนำไปประยุกต์ใช้งานต่างๆหลายด้านเช่น ในอุตสาหกรรมการบินและอวกาศ อุตสาหกรรมรถยนต์ ระบบควบคุมอัตโนมัติ และ อุตสาหกรรมยานยนต์ เป็นต้น โดยเฉพาะเป็นตัวขับเคลื่อน (In-Wheel Motor) ของรถยนต์ไฟฟ้าขนาดเล็กรุ่นใหม่ซึ่งเป็นที่สนใจปัจจุบัน คุณสมบัติของมอเตอร์ไฟตรงไร้แปรงถ่านที่มีจุดเด่นหลายด้านเมื่อเทียบกับมอเตอร์ไฟฟ้าแบบเหนี่ยวนำ [1] เช่น

- คุณลักษณะของความเร็ว-แรงบิดดีกว่า
- ควบคุมองศาการเปลี่ยนแปลงความเร็วได้ดี
- มีประสิทธิภาพในการทำงานสูง
- อนุกรมใช้งานยาวนาน
- ไม่มีสัญญาณเสียงรบกวนขณะทำงาน
- ควบคุมองศาการทำงานในย่านความเร็วสูงได้ดี
- มีค่าแรงบิดสูงกว่าเมื่อเทียบกับขนาดของมอเตอร์

นอกจากนี้ยังมีขนาดน้ำหนักต่อวัตต์กำลัง (Weight / Watt) อยู่ในเกณฑ์ต่ำ สามารถนำไปใช้ในพื้นที่ถูกจำกัดพื้นที่ได้ดีกว่าแรงบิดของ BLDC Motor ขึ้นอยู่กับรูปคลื่น Back EMF ในขดลวดสเตเตอร์ [1] ซึ่งโดยทั่วไปจะเป็นรูปคลื่นสี่เหลี่ยมคางหมู และกระแสจะเป็นรูปคลื่นสามเหลี่ยม ขณะทำงานในย่านแรงบิดคงที่ ส่วนในย่านกำลังไฟฟ้าคงที่ มอเตอร์จะทำงานที่ความเร็วสูง ขึ้นในขณะที่แรงบิดลดลง จึงจำเป็นต้องควบคุมให้แรงบิดมีค่านเหมาะสมต่อการใช้งาน เนื่องจาก ไม่สามารถควบคุมกระแสขดลวดสนาม ได้เช่นเดียวกับมอเตอร์ไฟฟ้ากระแสตรงทั่วไป อย่างไรก็ตามผลตอบสนองของแรงบิดและกระแสจากการจำลองระบบจะต่างจากผลทดลองที่ได้ทางปฏิบัติบ้าง เนื่องจากในทางปฏิบัติแรงบิดและกระแสจะมี ripple เกิดขึ้น แต่การจำลองระบบมีข้อดี สำหรับใช้ในการวิเคราะห์เพื่อควบคุมการทำงานระบบในอนาคต

บทความวิจัย

การประชุมวิชาการเครือข่ายวิศวกรรมไฟฟ้า มหาวิทยาลัยเทคโนโลยีราชมงคล ครั้งที่ 5

Proceedings of The 5th Conference of Electrical Engineering Network of Rajamangala University of Technology (EENET 2013)

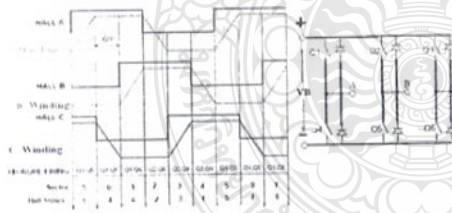
2. ทฤษฎีพื้นฐาน

BLDC Motor อยู่ในกลุ่มของ Synchronous Motor ซึ่งความเร็วที่โรเตอร์จะเท่ากับที่สเตเตอร์ จึงไม่มีค่าสลิปเหมือนในมอเตอร์เหนี่ยวนำ เนื่องจากใช้แม่เหล็กถาวรแทนขดลวดสนาม และควบคุมการไหลของกระแสสเตเตอร์ด้วยค่านำของโรเตอร์ BLDC Motor ในปัจจุบันมีทั้ง 1 เฟส 2 เฟสและ 3 เฟส ขึ้นอยู่กับจำนวนขดลวดสเตเตอร์ แต่ที่นิยมใช้ทั่วไปเป็นแบบ 3 เฟส

ค่านำของโรเตอร์ที่ใช้ในการควบคุมการไหลของกระแสสเตเตอร์ ปัจจุบันนิยมใช้ Hall sensor ในการตรวจจับการเปลี่ยนแปลงสนามแม่เหล็ก และการตรวจจับจุดตัดแรงดันค้ำกลับ (Back EMF Zero Crossing Detection) ทั้งนี้เพื่อควบคุมให้แรงปฏิกิริยาจากสนามแม่เหล็กที่โรเตอร์มีโรเตอร์และสเตเตอร์ เกิดขึ้นที่มุมที่เหมาะสม รูปที่ 1.1 และ 1.2 แสดงหลักการควบคุมการไหลของกระแสสเตเตอร์ด้วยค่านำของโรเตอร์ โดยใช้ Hall sensor ตรวจจับการเปลี่ยนแปลงของสนามแม่เหล็ก



รูปที่ 1.1 การควบคุมการไหลของกระแสสเตเตอร์



รูปที่ 1.2 การควบคุมสวิตซ์อิเล็กทรอนิกส์ให้สอดคล้องตามรูปที่ 1.1

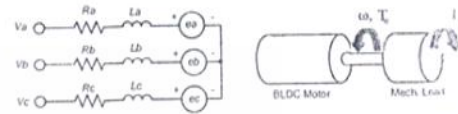
2.1 แบบจำลองทางคณิตศาสตร์ของ BLDC Motor

วงจรมุมของ BLDC Motor [2] แสดงดังรูปที่ 2.1 ซึ่งสามารถเขียนสมการทางคณิตศาสตร์ได้(1-3)

$$V_a = Ri_a + L \frac{di_a}{dt} + e_a$$

$$V_b = Ri_b + L \frac{di_b}{dt} + e_b$$

$$V_c = Ri_c + L \frac{di_c}{dt} + e_c$$



รูป 2.1 วงจรสมมูลและแบบจำลองทางกลของ BLDCM

โดย	L	เป็น armature self-inductance [H]
	R	เป็น armature resistance [Ω]
	V_a, V_b, V_c	เป็น terminal voltage [V]
	i_a, i_b, i_c	เป็น motor input current [A]
	e_a, e_b, e_c	เป็น motor back EMF [V]

ในวงจรมุม Back EMF ที่เกิดขึ้นในแต่ละเฟสจะเป็นดังสมการ(4-6)

$$e_a = K_w f(\theta_r) \omega \tag{4}$$

$$e_b = K_w f(\theta_r - 2\pi/3) \omega \tag{5}$$

$$e_c = K_w f(\theta_r + 2\pi/3) \omega \tag{6}$$

สมการทางไฟฟ้าที่อธิบายองศาการกลเขียนได้ดังสมการ(7)

$$\theta_r = \frac{P}{2} \theta_m \tag{7}$$

ในส่วนสมการวงจรมุมทางไฟฟ้าและแรงบิดทางกลเป็นไปตามสมการ(8-9)

$$T_e = \frac{e_a i_a + e_b i_b + e_c i_c}{\omega} \tag{8}$$

$$T_e - T_L = J \frac{d\omega}{dt} + B\omega \tag{9}$$

โดย	K_w	เป็นค่าคงที่ [v/rad/s.]
	θ_r	เป็นมุมทางไฟฟ้าของโรเตอร์ [°]
	θ_m	เป็นมุมทางกลของโรเตอร์ [°]
	ω	เป็นความเร็วที่เพลามอเตอร์ [rad/s.]
	P	เป็นจำนวนขั้วแม่เหล็ก
	T_e	เป็น แรงบิดสนามแม่เหล็ก [N.m]
	J	เป็นค่าโมเมนต์ความเฉื่อยที่เพลามอเตอร์
	B	เป็นค่าสัมประสิทธิ์ความหน่วงที่เพล

การจ่ายกระแสให้กับขดลวดสเตเตอร์ในแต่ละไซเคิล จะถูก

- แบ่งออกเป็น 6 step ดังแสดงในรูปที่ 1.2 ซึ่ง ในแต่ละ step จะเริ่มพันรับกับตำแหน่งของ rotor ตามลำดับสัญญาณออกของ Hall sensor A B C ซึ่งฝังตัวอยู่ในสเตเตอร์ ตามลำดับ(3) ทั้งนี้มีผลการจ่ายกระแสให้กับขดลวดสเตเตอร์ทั้งสามเฟสเขียนได้ดังสมการ(10)

บทความวิจัย

การประชุมวิชาการเครือข่ายวิศวกรรมไฟฟ้า มหาวิทยาลัยเทคโนโลยีราชมงคล ครั้งที่ 5

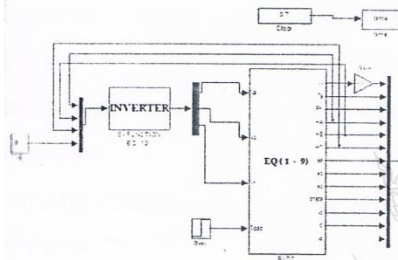
Proceedings of The 5th Conference of Electrical Engineering Network of Rajamangala University of Technology (EENET 2013)

$$\left. \begin{aligned}
 0 < \theta_e \leq 60 & \left\{ \begin{array}{l} V_a = VB, V_b = -VB, V_c = 0 \\ 60 < \theta_e \leq 120 & \left\{ \begin{array}{l} V_a = VB, V_b = 0, V_c = -VB \\ 120 < \theta_e \leq 180 & \left\{ \begin{array}{l} V_a = 0, V_b = VB, V_c = -VB \\ 180 < \theta_e \leq 240 & \left\{ \begin{array}{l} V_a = -VB, V_b = VB, V_c = 0 \\ 240 < \theta_e \leq 300 & \left\{ \begin{array}{l} V_a = -VB, V_b = 0, V_c = VB \\ 300 < \theta_e \leq 360 & \left\{ \begin{array}{l} V_a = 0, V_b = -VB, V_c = VB \end{array} \right. \end{array} \right. \end{array} \right. \end{array} \right. \end{array} \right. \end{array} \right\} \quad (10)
 \end{aligned}$$

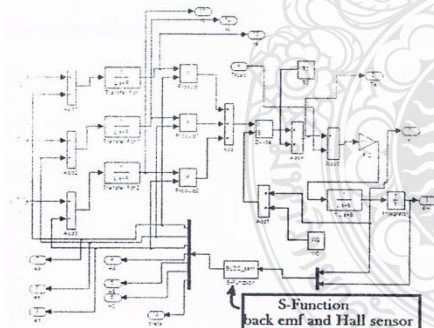
สมการ (1) - (9) เขียนเป็นระบบจำลองในบล็อก BLDCM

ส่วนสมการ (10) เป็น S-Function ในบล็อก Inverter ดังแสดงในรูปที่ 2.2

และ 2.3 ตามลำดับ



รูปที่ 2.2 ระบบจำลองการทำงานทั้งหมดของ BLDC Motor

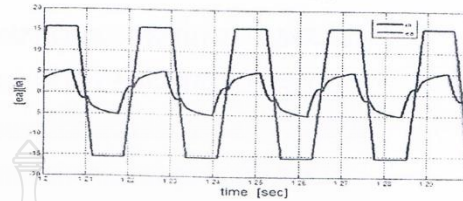


รูปที่ 2.3 โมเดลภายในบล็อก BLDCM

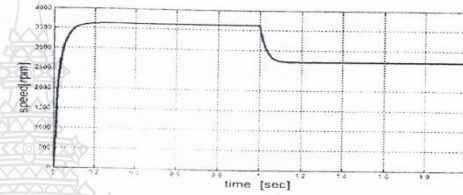
2.2 ผลการจำลองขณะไม่มีการชดเชยมุมเฟสก้าวหน้า

BLDC Motor ที่ใช้ในการจำลองระบบมีพารามิเตอร์ที่สำคัญ

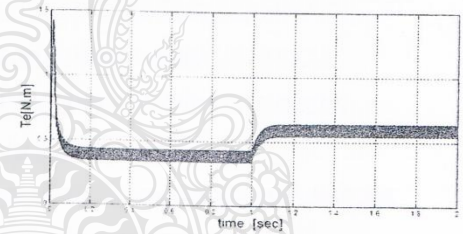
ดังนี้ $V_B = 24 \text{ V}$, $R = 1.5 \Omega$, $L = 5.72 \text{ mH}$, $J = 2 \times 10^{-4} \text{ kgm}^2$, $B = 2 \times 10^{-3}$, $P = 4$, $K_w = 0.0545$ และ $T_L = 0.3 \text{ Nm}$ ที่เวลา 1 s.



รูปที่ 2.4 รูปคลื่นกระแสและ Back EMF ขณะไม่มีการชดเชยมุมเฟสก้าวหน้า



รูปที่ 2.5 กราฟความเร็วมอเตอร์ขณะไม่มีการชดเชยมุมเฟสก้าวหน้า



รูปที่ 2.6 กราฟแรงบิดมอเตอร์ขณะไม่มีการชดเชยมุมเฟสก้าวหน้า

การจำลองนี้กระทำขณะมอเตอร์ถูกควบคุมแบบ Open Loop ขณะทำงานในอัตราความเร็วสูงกว่าที่คิด ซึ่งจะไม่มีการชดเชยมุมเฟสก้าวหน้า (มุมนำกระแสที่หน้าเป็นศูนย์) ผลการจำลองจะเป็นดังแสดงในรูปที่ 2.4 - 2.6 ซึ่งจะเห็นว่ารูปคลื่นกระแสจะมีการเปลี่ยนแปลงช้ากว่าของแรงดันค้ำกลับ (ดูจากจุดสูงสุดของแรงดันค้ำกลับเทียบกับของกระแส) ความเร็วจะลดลงและแรงบิดจะเพิ่มขึ้นเมื่อเพิ่ม โหลดที่ 1 sec.

2.3 หลักการชดเชยมุมเฟสก้าวหน้า

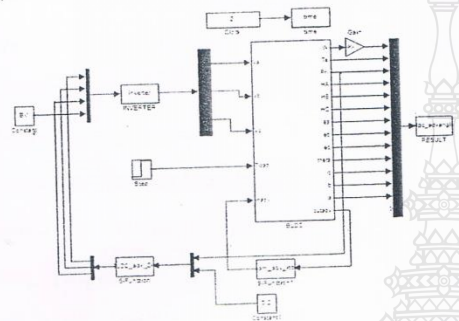
เนื่องจากความหน่วงในขดลวดมอเตอร์ทำให้เกิดการหน่วงของกระแสตามเวลาค่าคงตัว (Time Constant) และจะส่งผลให้เกิดมุมค่าที่ต่ำกว่าที่กระแสมอเตอร์และแรงดัน Back EMF ซึ่งจะแปรผันตามค่าความเร็วมอเตอร์ [2] ค่ามุมค่าที่ต่ำจะส่งผลทางลบต่อค่าแรงบิดมอเตอร์ด้วย ดังนั้นการชดเชยมุมเฟสที่หน้าให้แรงดัน Back EMF ซึ่งเรียก

บทความวิจัย

การประชุมวิชาการเครือข่ายวิศวกรรมไฟฟ้า มหาวิทยาลัยเทคโนโลยีราชมงคล ครั้งที่ 5

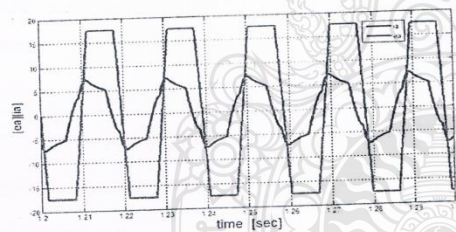
Proceedings of The 5th Conference of Electrical Engineering Network of Rajamangala University of Technology (EENET 2013)

หลักการนี้ว่า Phase advance angle เป็นวิธีหนึ่งในการปรับปรุงค่าแรงบิดของมอเตอร์ขณะทำงานที่ความเร็วสูง แบบจำลองของหลักการชดเชยมุมเฟสก้าวหน้า (Phase Advance Angle Commutation) แสดงดังรูปที่ 2.7

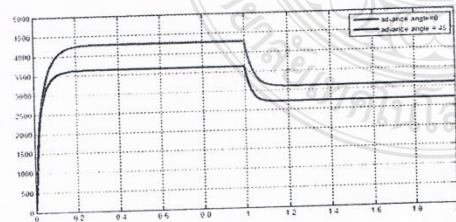


รูปที่ 2.7 แสดง Simulink Model ตามหลักการชดเชยมุมเฟสก้าวหน้า

2.4 ผลการจำลองขณะมีการชดเชยมุมเฟสก้าวหน้า

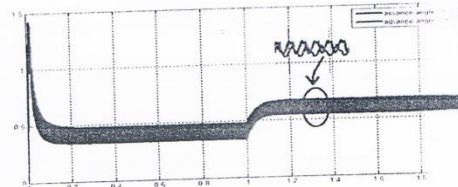


รูปที่ 2.8 รูปคลื่นกระแสและ Back EMF ที่มีการชดเชยมุมเฟสก้าวหน้า 42 องศา



รูปที่ 2.9 กราฟความเร็วมอเตอร์ที่มีและไม่มีการชดเชยมุมเฟสก้าวหน้า

จากผลการจำลองตามรูป 2.8 – รูปที่ 2.10 ขณะมีการชดเชยมุมเฟสก้าวหน้า จะเห็นว่ากระแสมีรูปคลื่น น้้ำหนัก้าแรงดัน Back EMF รวมทั้งรูปคลื่นกระแสมีความหน่วงน้อยลง



รูปที่ 2.10 กราฟแรงบิดมอเตอร์ที่มีและไม่มีการชดเชยมุมเฟสก้าวหน้า

ซึ่งขณะมอเตอร์ได้รับ Load Torque 0.3 Nm ที่เวลา 1 sec นั้น ความเร็วมอเตอร์ลดลงและแรงบิดขับของมอเตอร์เพิ่มขึ้น เช่นเดียวกับ ขณะไม่มีการชดเชยมุมเฟส จากการพิจารณาจะเห็นว่าค่าแรงบิดขับของมอเตอร์สูงกว่าขณะไม่มีการชดเชยมุมเฟส และหลังจากมีการชดเชยมุมเฟส จะทำให้ความเร็วของมอเตอร์สูงขึ้นเช่นกัน ทั้งในขณะมอเตอร์ไม่โหลดและขณะมีโหลด

3. สรุป

ผลที่ได้จากการทดสอบระบบจำลอง พบว่า ที่มีการชดเชยมุมเฟสก้าวหน้า 42 องศา ทำให้ความเร็วและค่าเฉลี่ยของแรงบิดมอเตอร์เพิ่มขึ้น ดังแสดงในรูป 2.9 และ 2.10 ตามลำดับ ผลที่ได้จากการจำลองดังกล่าว สามารถนำไปใช้เป็นแนวทางในการออกแบบชุดควบคุมการขับเคลื่อน BLDC Motor เพื่อให้ได้คุณสมบัติแรงบิด-ความเร็วที่เหมาะสม โดยจะได้นำไปประยุกต์ใช้งานเชิงปฏิบัติด้วยแผงวงจรประมวลผลสัญญาณดิจิทัล (DSP Board) ต่อไปเช่นกัน รวมทั้งให้คำแนะนำต่อการควบคุมแบบระบบปิด (Closed Loop System) อีกด้วย

เอกสารอ้างอิง

- [1] B. Tibor, V. Fedak and F. Durovsky, "Modeling And simulation of the BLDC Motor in MATHLAB GUT", 2011
- [2] S.K. Safi ,P.P. Acamley and A.G.Jack "Analysis and simulation of the high speed torque performance of Brushless DC Motor", May 1995
- [3] I. Janpan, R. Chaisricharoen and P. Banyanant, "Control of the BLDC Motor in Combine Mode", Procedia Engineering 32 (2012) pp. 279-285, SciVerse ScienceDirect, Elsevier Publication, 2012



นายสำเริง เต็มราม ปัจจุบันเป็นนักศึกษาระดับปริญญาโท สาขาวิศวกรรมไฟฟ้า มหาวิทยาลัยเทคโนโลยีราชมงคลธัญบุรี งานวิจัยที่สนใจ ระบบฝังตัว (Embedded System) การประยุกต์ DSP Board ในการควบคุม BLDC Motor และระบบขับเคลื่อนไฟฟ้าขนาดเล็ก

ประวัติผู้เขียน

ชื่อ – นามสกุล	นายสำเร็จ เต็มราม
วัน เดือน ปีเกิด	24 ตุลาคม 2510
ที่อยู่	บ้านเลขที่ 3 ตำบลวังพัฒนา อำเภอบางซำย จังหวัด พระนครศรีอยุธยา
การศึกษา	
พ.ศ. 2540	สำเร็จการศึกษาระดับวิศวกรรมศาสตรบัณฑิต สาขาวิศวกรรมไฟฟ้า มหาวิทยาลัยเทคโนโลยีราชมงคลกรุงเทพ
ประสบการณ์การทำงาน	
2540 – ปัจจุบัน	ตำแหน่งนักทรัพยากรบุคคลชำนาญการ สำนักพัฒนาสมรรถนะครูและบุคลากรอาชีวศึกษา

